

N° 13

FUNDAMENTOS DE  
ECONOMETRÍA

Juan León Jara Almonte y  
Marcelo Manuel Gallardo Burga

MATERIAL DE ENSEÑANZA N° 13

## **Fundamentos de Econometría**

Juan León Jara Almonte  
Marcelo Manuel Gallardo Burga

Febrero, 2025



**PUCP**

**Departamento  
Académico de Economía**

Fundamentos de Econometría

© Juan León Jara Almonte y Marcelo Manuel Gallardo Burga

Editado

© Departamento de Economía – Pontificia Universidad Católica del Perú

Av. Universitaria 1801, Lima 32 – Perú.

Teléfono: (51-1) 626-2000 anexos 4950 - 4951

[econo@pucp.edu.pe](mailto:econo@pucp.edu.pe)

<https://departamento-economia.pucp.edu.pe/investigacion/materiales-de-ensenanza>

Encargado de la Serie: Gabriel Rodriguez

Departamento de Economía – Pontificia Universidad Católica del Perú

# Fundamentos de Econometría

Juan León Jara Almonte

&

Marcelo Manuel Gallardo Burga

## Prefacio

Este documento tiene como objetivo proporcionar una base sólida en los fundamentos matemáticos y estadísticos necesarios para la estimación y análisis de modelos de regresión lineal múltiple. A través de una exposición clara y concisa, se exploran los conceptos clave del álgebra matricial, sentando las bases para la comprensión del modelo de regresión multivariado y sus supuestos.

Se dedica especial atención a los factores que pueden comprometer la calidad de las estimaciones y la validez de las inferencias estadísticas. En particular, se analizan en profundidad problemas como la multicolinealidad, la heterocedasticidad, la autocorrelación serial y los cambios estructurales. Para cada uno de estos problemas, se presentan tanto la teoría subyacente como las pruebas estadísticas adecuadas y las estrategias de mitigación.

Adicionalmente, se abordan temas relevantes como la incorporación de variables cualitativas en los modelos de regresión, la importancia del diseño muestral y la aplicación del método de variables instrumentales para abordar problemas de endogeneidad. Se presta especial atención a la interpretación de los resultados y a la construcción de modelos que permitan analizar relaciones causales. En el último capítulo, desarrollamos una introducción a la teoría y análisis de series de tiempo.

Para complementar la exposición teórica principal, se incluye un anexo centrado en la teoría de la probabilidad y la estadística. En este anexo, se presentan los conceptos fundamentales de probabilidades, distribuciones, estimación y teoría asintótica. Se discuten las herramientas estadísticas clave que sustentan el análisis econométrico expuesto en el texto principal, proporcionando un marco sólido para la inferencia y el desarrollo de modelos econométricos rigurosos. La discusión incluye el papel esencial que juegan estos conceptos en la validación de los modelos, así como en la estimación precisa de parámetros y la evaluación de su robustez.

En resumen, este documento busca equipar al lector con las herramientas necesarias para llevar a cabo un análisis de regresión lineal múltiple de manera rigurosa y eficiente. A través de una combinación de teoría, ejemplos prácticos y discusión de los desafíos comunes, se pretende fomentar una comprensión profunda de esta técnica estadística fundamental.

Juan León,  
Profesor Auxiliar  
del Departamento de Economía de la  
Pontificia Universidad Católica del Perú

Marcelo Gallardo,  
Asistente de investigación y docencia  
de la Facultad de Ciencias e Ingeniería de la  
Pontificia Universidad Católica del Perú

## Agradecimientos

Agradecemos a Alexandra Quispe por su apoyo en la revisión de este documento. Asimismo, agradecemos al profesor José Gallardo, de la especialidad de Economía en la PUCP, cuyas notas de clase de Microeconomía 1 fueron fundamentales para algunos ejemplos en el capítulo de álgebra matricial. El capítulo de series de tiempo se basa en las notas de clase del profesor Miguel Ataurima (Econometría Avanzada: Series de Tiempo) y, para los conceptos de procesos estocásticos, en las clases del profesor de la especialidad de matemáticas Johel Beltrán. El anexo de teoría de la probabilidad e inferencia estadística se fundamenta en las notas de clase de los cursos de Estadística Inferencial dictado por el profesor Luis Valdivieso (Economía PUCP) y Probabilidad y Estadística I, dictado por el profesor Jonathan Farfán (Matemática PUCP). Finalmente, agradecemos a Carolina Guzmán y Loretta Gamio, alumnas de la especialidad de economía (PUCP), por señalar algunos typos y correcciones de estilo.

## LISTA DE SÍMBOLOS

$\mathbb{N}$ : conjunto de números naturales,  $\mathbb{N} \triangleq \{1, 2, \dots\}$ .

$\mathbb{Z}$ : conjunto de números enteros,  $\mathbb{Z} \triangleq \{\dots, -3, -2, -1, 0, 1, 2, 3, \dots\}$ .

$\mathbb{Z}_+$ : conjunto de números enteros positivos incluido el cero,  $\mathbb{Z}_+ \triangleq \{0, 1, 2, 3, \dots\}$ .

$\mathbb{Q}$ : conjunto de números racionales.

$\mathbb{R}$ : conjunto de números reales.

$\mathbb{R}_+$ : conjunto de números reales mayores o iguales a cero.

$\mathbb{R}_{++}$ : conjunto de números reales estrictamente mayores a cero.

$\overline{\mathbb{R}}_+$ : conjunto de números reales mayores o iguales a cero unidos con  $\{\infty\}$ .

$A^c$ : si  $A$  es un conjunto,  $A^c$  denota el complemento de dicho conjunto.

$A \subset B$ : el conjunto  $A$  está incluido en el conjunto  $B$ .

$\mathbb{R}^n$ : espacio euclidiano de dimensión  $n \in \mathbb{N}$ .

$\|x\|$ : si  $x$  es un vector del espacio vectorial  $V$ ,  $\|x\|$  denota la norma Euclidiana de dicho vector.

$\mathcal{B}_{\mathbb{R}^k}$   $\sigma$ -álgebra de Borel en  $\mathbb{R}^k$ .

$\sup\{A\}$ : supremo del conjunto  $A$ .

$\inf\{A\}$ : ínfimo del conjunto  $A$ .

$t \downarrow c$ :  $t$  tiende a  $c$  y  $t > c$ . Lo mismo aplica para sucesiones de variables aleatorias  $X_n \downarrow X$ . Se define de manera análoga  $t \uparrow c$  y  $X_n \uparrow X$ .

$\emptyset$ : el conjunto vacío.

$\uplus$ : unión disjunta.

$\mathbb{P}$  lím: probabilidad límite.

$\xrightarrow{d}$ : converge en distribución.

$\xrightarrow{\mathbb{P}}$ : converge en probabilidad.

$\mathbb{E}[\cdot]$ : valor esperado.

$\text{Var}(\cdot)$ : varianza.

$\text{Cov}(\cdot, \cdot)$ : covarianza.

$\text{Avar}$ : varianza asintótica.

$\mathbf{1}_A$ : función indicatriz,  $\mathbf{1}_A(x) = 1$  si  $x \in A$  y 0 caso contrario.

# Índice general

Índice general	6
<b>1. Álgebra Matricial</b>	<b>1</b>
1.1. Matrices y operaciones	1
1.2. Matriz transpuesta y rango	8
1.3. Matriz inversa y determinante	11
1.4. Aplicaciones	16
<b>2. El modelo <math>k</math>-lineal</b>	<b>23</b>
2.0.1. Supuestos del modelo $k$ -lineal	25
2.1. El problema de optimización	26
2.1.1. Condiciones de segundo orden	31
2.2. Análisis de los parámetros	35
2.2.1. Insesgadez de los parámetros	35
2.2.2. Varianza de los parámetros estimados	38
2.2.3. Teorema de Gauss-Markov	42
2.3. Interpretaciones	44
2.3.1. Indicadores de ajuste global	44
2.3.2. Parámetros estimados	49
2.4. Pruebas de hipótesis	51
2.5. Restricciones lineales	56
2.5.1. Intervalos de confianza y $t$ -Student	59
2.5.2. Método de los residuos	60
2.5.3. Estimador con restricciones	61
2.6. Propiedades asintóticas	62

---

<b>3. Variables cualitativas</b>	<b>69</b>
3.1. Conceptos básicos . . . . .	69
3.2. Interacciones . . . . .	74
<b>4. Muestreo</b>	<b>79</b>
4.1. Introducción y conceptos básicos . . . . .	79
4.2. Tamaño de muestra . . . . .	80
4.2.1. Intervalos de confianza . . . . .	81
4.2.2. Aplicaciones . . . . .	84
4.3. Selección de la muestra . . . . .	86
4.4. Diseños experimentales . . . . .	91
<b>5. Multicolinealidad</b>	<b>100</b>
5.1. Análisis de la varianza . . . . .	100
5.2. Métodos de detección . . . . .	106
5.3. Soluciones ante casos de multicolinealidad . . . . .	109
<b>6. Estabilidad de los parámetros estimados</b>	<b>113</b>
6.1. Residuos Recursivos . . . . .	114
6.2. Test de Chow . . . . .	117
<b>7. Heterocedasticidad</b>	<b>124</b>
7.1. Tests de normalidad . . . . .	125
7.2. Métodos de detección de heterocedasticidad . . . . .	129
7.3. Métodos para corregir la heterocedasticidad . . . . .	133
<b>8. Autocorrelación serial</b>	<b>145</b>
8.1. Modelo autorregresivo <i>AR</i> . . . . .	146
8.2. Modelo de medias móviles <i>MA</i> . . . . .	148
8.3. Contrastes estadísticos de detección . . . . .	149

---

8.4. Métodos correctivos . . . . .	151
<b>9. Endogeneidad</b>	<b>161</b>
9.1. Variables Instrumentales . . . . .	161
9.2. Múltiples instrumentos 2SLS . . . . .	167
9.3. Método Generalizado de Momentos . . . . .	169
9.4. Instrumentos débiles . . . . .	172
9.5. Estimador de Wald . . . . .	175
<b>10. Máxima Verosimilitud</b>	<b>208</b>
10.1. Estimación . . . . .	208
10.2. La cota inferior de Cramer-Rao . . . . .	216
10.3. Propiedades asintóticas . . . . .	218
10.4. Estimador de MV vs el estimador de MCO . . . . .	220
10.5. Computación . . . . .	223
<b>11. Introducción al análisis de series de tiempo</b>	<b>228</b>
11.1. Conceptos básicos . . . . .	228
11.2. Ecuaciones en diferencia y operadores de rezagos . . . . .	229
11.3. Modelos univariados estacionarios . . . . .	235
11.4. Descomposición y estacionariedad . . . . .	237
11.5. Procesos ARMA . . . . .	238
11.6. Predicción . . . . .	250
11.7. Raíz unitaria . . . . .	253
<b>Anexo</b>	<b>255</b>
<b>A. Elementos de teoría de la probabilidad</b>	<b>256</b>
<b>B. Elementos de estadística</b>	<b>290</b>
<b>C. Distribuciones usuales</b>	<b>302</b>
<b>Bibliografía</b>	<b>306</b>

# Capítulo 1

## Álgebra Matricial

El álgebra matricial es una herramienta de gran utilidad en econometría y, en general, en economía. Este capítulo tiene como objetivo presentar de manera resumida dicha herramienta, manteniendo el rigor matemático y proveyendo ejemplos de aplicación en economía. El enfoque es más práctico y se invita al lector a ahondar en temas subyacentes, como lo son el Álgebra Lineal o el Análisis en Espacios Vectoriales Normados. Véase por ejemplo (Axler, 2015) o (Simon and Blume, 1994). La organización de este capítulo es la siguiente: en una primera instancia, se definirán las diversas propiedades sobre el álgebra de matrices. Enseguida, se presentarán propiedades de las matrices de gran interés práctico: matriz transpuesta y rango de una matriz. Luego, se abordarán las nociones de matriz inversa y determinante. Finalmente, se estudiarán algunas aplicaciones de los conceptos teóricos abordados en este capítulo.

### 1.1. Matrices y operaciones

**Definición 1.1.1.** Una matriz, es un arreglo rectangular con entradas reales<sup>1</sup>:

$$A \triangleq [a_{ij}] = \begin{pmatrix} a_{11} & a_{12} & \cdots & a_{1n} \\ a_{21} & a_{22} & \cdots & a_{2n} \\ \vdots & \vdots & \ddots & \vdots \\ a_{m1} & \cdots & \cdots & a_{mn} \end{pmatrix}.$$

---

<sup>1</sup>Si bien las entradas podrían tener elementos de  $\mathbb{C}$ , funciones etc., nos limitamos al estudio de matrices con entradas  $a_{ij} \in \mathbb{R}$ .

El elemento  $(a_{ij})$  denota al elemento de la  $i$ -ésima fila y  $j$ -ésima columna del arreglo.

**Ejemplo 1.1.** Considere la siguiente matriz

$$A = \begin{pmatrix} 1 & 0 & 2 \\ 3\pi & \ln(2,5) & -1,8 \\ e^2 & 2\sqrt{\pi} & 100 \end{pmatrix}.$$

Entonces, por ejemplo,  $a_{11} = 1$ ,  $a_{21} = 3\pi$  y  $a_{33} = 100$ .

**Definición 1.1.2.** Una matriz tiene dimensión  $m \times n$  cuando el número de filas de dicha matriz es  $m \in \mathbb{N}$ , y su número de columnas es  $n \in \mathbb{N}$ . El espacio de matrices (o conjunto de matrices) de dimensión  $m \times n$ , con entradas reales, se denota  $\mathcal{M}_{m \times n}$ <sup>2</sup>. Eventualmente, si  $A \in \mathcal{M}_{m \times n}$ , se escribe  $A \triangleq A_{m \times n}$ .

**Ejemplo 1.2.** Sean las matrices:

$$A = \begin{pmatrix} 1 & 5 \\ 3,5 & -6 \\ 1,2 & 7 \end{pmatrix}, \quad B = \begin{pmatrix} 8 & 9,4 & 0,2 & 3,2 \\ 10550 & 103 & 97 & 1,2 \end{pmatrix}.$$

La matriz  $A$  tiene dimensión  $3 \times 2$  mientras que la matriz  $B$  tiene dimensión  $2 \times 4$ .

Enseguida, presentaremos algunas propiedades de las operaciones usuales<sup>3</sup> con matrices: la suma, multiplicación por escalar, y finalmente, la multiplicación entre matrices.

**Definición 1.1.3.** Sean dos matrices  $A$  y  $B$ . Si estas matrices tienen misma dimensión, es decir, si tienen el mismo número de filas y el mismo número de columnas, definimos

<sup>2</sup>Este conjunto es un espacio vectorial. Este concepto no se aborda en este capítulo, pero puede ser de gran interés para el lector y se le invita a consultar bibliografía relacionada al Álgebra Lineal. Véase (Axler, 2015) o (Chavez and Gallardo, 2025).

<sup>3</sup>Existen otras como el producto Kronecker. Sin embargo, no lo estudiamos en este texto.

de la siguiente manera la suma  $A + B$ :

$$\begin{aligned} A + B &= \begin{pmatrix} a_{11} & a_{12} & \cdots & a_{1n} \\ a_{21} & a_{22} & \cdots & a_{2n} \\ \vdots & \vdots & \ddots & \vdots \\ a_{m1} & \cdots & \cdots & a_{mn} \end{pmatrix} + \begin{pmatrix} b_{11} & b_{12} & \cdots & b_{1n} \\ b_{21} & b_{22} & \cdots & b_{2n} \\ \vdots & \vdots & \ddots & \vdots \\ b_{m1} & \cdots & \cdots & b_{mn} \end{pmatrix} \\ &= \begin{pmatrix} a_{11} + b_{11} & a_{12} + b_{12} & \cdots & a_{1n} + b_{1n} \\ a_{21} + b_{21} & a_{22} + b_{22} & \cdots & a_{2n} + b_{2n} \\ \vdots & \vdots & \ddots & \vdots \\ a_{m1} + b_{m1} & \cdots & \cdots & a_{mn} + b_{mn} \end{pmatrix}. \end{aligned}$$

Por como se ha definido la suma entre matrices, claramente  $A + B = B + A$ . Es decir, la suma entre matrices es una operación conmutativa.

**Ejemplo 1.3.** Considere las siguientes matrices

$$\begin{aligned} A &= \begin{pmatrix} 4 & 0 & 5,6 \\ 0,5 & 1 & -2 \\ 0 & 4,7 & 3 \end{pmatrix}, \quad B = \begin{pmatrix} 4 & 4,2 & 0 \\ 0 & 0,8 & -2,4 \\ 0,3 & 2 & 11 \end{pmatrix} \\ &\text{y } C = \begin{pmatrix} 2,3 & 2 & 1,3 \\ 54 & 88 & 1 \end{pmatrix}. \end{aligned}$$

Las matrices  $A$  y  $B$  tienen la misma dimensión ( $3 \times 3$ ), pero la matriz  $C$  tiene dimensión  $2 \times 3$ . Por ende, pueden sumarse las matrices  $A$  y  $B$ , pero no pueden ser sumadas con la matriz  $C$ . En este caso

$$A + B = \begin{pmatrix} 8 & 4,2 & 5,6 \\ 0,5 & 1,8 & -4,4 \\ 0,3 & 6,7 & 14 \end{pmatrix}.$$

La suma entre matrices es una operación asociativa. Esto es, si se tienen 3 matrices  $A$ ,  $B$  y  $C$  cuya dimensión es la misma, entonces  $(A + B) + C = A + (B + C)$ . Por otro lado, la matriz nula  $0$  de dimensión  $m \times n$ , que corresponde a la matriz cuyas entradas son iguales a cero, cumple la siguiente propiedad:  $A + 0 = 0 + A = A$ .

$$\begin{pmatrix} a_{11} & a_{12} & \cdots & a_{1n} \\ a_{21} & a_{22} & \cdots & a_{2n} \\ \vdots & \vdots & \ddots & \vdots \\ a_{m1} & \cdots & \cdots & a_{mn} \end{pmatrix} + \begin{pmatrix} 0 & 0 & \cdots & 0 \\ 0 & 0 & \cdots & 0 \\ \vdots & \vdots & \ddots & \vdots \\ 0 & \cdots & \cdots & 0 \end{pmatrix} = \begin{pmatrix} a_{11} & a_{12} & \cdots & a_{1n} \\ a_{21} & a_{22} & \cdots & a_{2n} \\ \vdots & \vdots & \ddots & \vdots \\ a_{m1} & \cdots & \cdots & a_{mn} \end{pmatrix}.$$

En el lenguaje del álgebra lineal, la matriz  $0$  de dimensión  $m \times n$  corresponde al elemento neutro del espacio  $\mathcal{M}_{m \times n}$ . Definamos ahora el producto de una matriz por un escalar.

**Definición 1.1.4.** Sea  $A \in \mathcal{M}_{m \times n}$  y  $\alpha \in \mathbb{R}$ . Definimos  $\alpha \cdot A = A \cdot \alpha$  de la siguiente manera:

$$\alpha \cdot A = \alpha \cdot \begin{pmatrix} a_{11} & a_{12} & \cdots & a_{1n} \\ a_{21} & a_{22} & \cdots & a_{2n} \\ \vdots & \vdots & \ddots & \vdots \\ a_{m1} & \cdots & \cdots & a_{mn} \end{pmatrix} = \begin{pmatrix} \alpha a_{11} & \alpha a_{12} & \cdots & \alpha a_{1n} \\ \alpha a_{21} & \alpha a_{22} & \cdots & \alpha a_{2n} \\ \vdots & \vdots & \ddots & \vdots \\ \alpha a_{m1} & \cdots & \cdots & \alpha a_{mn} \end{pmatrix}.$$

Definiendo esta operación, podemos definir la resta de dos matrices  $A$  y  $B$  como la suma de  $A$  con  $(-1) \cdot B$ .

**Ejemplo 1.4.** Sea  $\alpha = 5$  y

$$A = \begin{pmatrix} 3 & -2 & 4 & 5,4 \\ -7432 & 88 & 2,1 & 0,3 \end{pmatrix}.$$

Entonces,

$$\alpha A = 5A = \begin{pmatrix} 15 & -10 & 20 & 27 \\ -37160 & 440 & 10,5 & 1,5 \end{pmatrix}.$$

La multiplicación entre matrices es una operación más delicada pues, a diferencia de los números, no es conmutativa y no siempre puede efectuarse. Veamos.

Sean  $A \in \mathcal{M}_{m \times n}$  y  $B \in \mathcal{M}_{\ell \times p}$  dos matrices. Las matrices  $A$  y  $B$  pueden multiplicarse en el sentido  $A \times B$ , solo si  $n = \ell$ .

**Ejemplo 1.5.** Sean las matrices,

$$A = \begin{pmatrix} 5 & 4 \\ 1 & -3 \\ -18 & 11 \end{pmatrix}, B = \begin{pmatrix} 5 & 12 & -14 & 3 \\ -2 & 1 & 9 & 8 \end{pmatrix}, C = \begin{pmatrix} 4 & -1 \end{pmatrix}.$$

Obsérvese que  $A \in \mathcal{M}_{3 \times 2}$ ,  $B \in \mathcal{M}_{2 \times 4}$  y  $C \in \mathcal{M}_{1 \times 2}$ . Las únicas multiplicaciones entre matrices posibles son  $A_{3 \times 2} \times B_{2 \times 4}$  y  $C_{1 \times 2} \times B_{2 \times 4}$ .

Ya hemos visto cual es la condición necesaria para que puedan multiplicarse dos matrices, esto es, que el número de columnas de  $A$  sea igual al número de filas de  $B$ . Veamos ahora como se ejecuta el producto matricial.

**Definición 1.1.5.** Formalmente, la multiplicación de dos matrices se define de la siguiente forma:

- Sea  $A_{m \times n} = (a_{ij})$  con  $1 \leq i \leq m$  y  $1 \leq j \leq n$ .
- Sea  $B_{n \times p} = (b_{ij})$  con  $1 \leq i \leq n$  y  $1 \leq j \leq p$ .
- Entonces,  $C = A \times B$  corresponde a la matriz cuyas entradas están dadas por

$$c_{ij} = \sum_{k=1}^n a_{ik}b_{kj}.$$

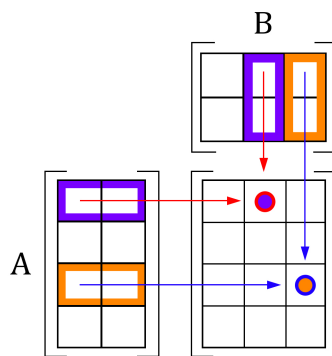


Figura 1.1 Multiplicación de matrices (1).

$$\begin{pmatrix} \boxed{1} & \boxed{2} \\ 3 & 4 \\ 5 & 6 \end{pmatrix} \cdot \begin{pmatrix} \boxed{1} & 2 & 3 \\ 4 & 5 & 6 \end{pmatrix} = \begin{pmatrix} \boxed{9} & 12 & 15 \\ 19 & 26 & 33 \\ 29 & 40 & 51 \end{pmatrix}$$

$1 \cdot 1 + 2 \cdot 4 = 9$

Figura 1.2 Multiplicación de matrices (2).

Note que si tenemos dos matrices  $A \in \mathcal{M}_{m \times n}$  y  $B \in \mathcal{M}_{n \times p}$ , el producto  $C$ , es decir, la matriz generada por la multiplicación de  $A$  con  $B$ , pertenece a  $\mathcal{M}_{m \times p}$ .

**Ejemplo 1.6.** Sean

$$A = \begin{pmatrix} 1 & 10 \\ -2 & 15 \\ 3 & 8 \end{pmatrix} \text{ y } B = \begin{pmatrix} 5 & 6 & 1 \\ 3 & 4 & 2 \end{pmatrix}.$$

Entonces:

$$\begin{aligned} A \times B &= \begin{pmatrix} 1 & 10 \\ -2 & 15 \\ 3 & 8 \end{pmatrix} \times \begin{pmatrix} 5 & 6 & 1 \\ 3 & 4 & 2 \end{pmatrix} \\ &= \begin{pmatrix} 1 \cdot 5 + 10 \cdot 3 & 1 \cdot 6 + 10 \cdot 4 & 1 \cdot 1 + 10 \cdot 2 \\ -2 \cdot 5 + 15 \cdot 3 & -2 \cdot 6 + 15 \cdot 4 & -2 \cdot 1 + 15 \cdot 2 \\ 3 \cdot 5 + 8 \cdot 3 & 3 \cdot 6 + 8 \cdot 4 & 3 \cdot 1 + 8 \cdot 2 \end{pmatrix}. \end{aligned}$$

Finalmente, operando, obtenemos

$$C = A \times B = \begin{pmatrix} 35 & 46 & 21 \\ 35 & 48 & 28 \\ 39 & 50 & 19 \end{pmatrix}.$$

El caso particular de matrices  $A \in \mathcal{M}_{1 \times n}$  y  $B \in \mathcal{M}_{n \times 1}$  son de interés pues cuando se multiplica  $A \times B$ , se obtiene la operación producto interno entre dos vectores, la cual corresponde en  $\mathbb{R}^n$  a

$$A \times B = \begin{pmatrix} x_1 & x_2 & \cdots & x_n \end{pmatrix} \times \begin{pmatrix} y_1 \\ y_2 \\ \vdots \\ y_n \end{pmatrix} \triangleq x \cdot y = \sum_{i=1}^n x_i y_i.$$

Ya hemos mencionado que el producto matricial es una operación delicada y más compleja que las operaciones usuales en  $\mathbb{R}$ . Sin embargo, también mencionamos que no es lo mismo, dadas dos matrices  $A$  y  $B$ , efectuar  $A \times B$  que  $B \times A$ . Más aún, puede ocurrir que no sea posible efectuar  $B \times A$ , siendo sin embargo posible efectuar  $A \times B$ . No obstante, en caso sea posible, puede darse que  $A \times B \neq B \times A$ . Veamos.

**Ejemplo 1.7.** Considere las siguientes matrices

$$A = \begin{pmatrix} 1 & 1 \\ 3 & 2 \end{pmatrix}, \quad B = \begin{pmatrix} 1 & 0 \\ -1 & 2 \end{pmatrix}.$$

Si bien

$$A \times B = \begin{pmatrix} 0 & 2 \\ 1 & 4 \end{pmatrix},$$

tenemos que

$$B \times A = \begin{pmatrix} 1 & 1 \\ 5 & 3 \end{pmatrix}.$$

Terminamos esta sección presentando 3 tipos de matrices que serán de utilidad a continuación:

1. La matriz identidad  $I$ : una matriz cuyas entradas son cero salvo en la diagonal, donde valen uno:

$$I = \begin{pmatrix} 1 & 0 & \cdots & 0 \\ 0 & \ddots & \ddots & \vdots \\ \vdots & \ddots & 1 & 0 \\ 0 & \cdots & 0 & 1 \end{pmatrix}.$$

Obsérvese que cuando se multiplica esta matriz por una matriz  $A$ , se obtiene la misma matriz  $A$  (siempre y cuando la multiplicación sea posible).

2. Las matrices simétricas: matrices cuyas entradas son las mismas en las coordenadas  $a_{ij}$  y  $a_{ji}$ . Por ejemplo:

$$A = \begin{pmatrix} a_{11} & a_{12} & a_{13} & a_{14} \\ a_{12} & a_{22} & a_{23} & a_{24} \\ a_{13} & a_{23} & a_{33} & a_{34} \\ a_{14} & a_{24} & a_{34} & a_{44} \end{pmatrix}.$$

3. Las matrices triangulares superiores<sup>4</sup>: las matrices cuyas entradas son iguales a cero por debajo de la diagonal:

$$\mathbb{T} = \begin{pmatrix} t_{11} & t_{12} & \cdots & t_{1n} \\ 0 & \ddots & \ddots & t_{2n} \\ \vdots & \ddots & t_{n-1,n-1} & t_{n-1,n} \\ 0 & \cdots & 0 & t_{nn} \end{pmatrix}.$$

En los casos anteriores, las matrices han sido cuadradas, i.e., el número de filas es igual al número de columnas. De no haber sido el caso, las definiciones pierden sentido. Note también que dadas 2 matrices cuadradas  $A$  y  $B$  de misma dimensión, siempre es posible multiplicar  $A$  con  $B$  así como  $B$  con  $A$ .

<sup>4</sup>La definición es análoga para las matrices triangulares inferiores.

**Ejemplo 1.8.** La matriz  $Q$

$$Q = \begin{pmatrix} a & b \\ c & d \end{pmatrix}$$

es una matriz cuadrada de orden  $2 \times 2$ .

## 1.2. Matriz transpuesta y rango

En esta sección presentaremos las nociones de matriz transpuesta y rango, centrales para el desarrollo de la teoría de las matrices no singulares (invertibles).

**Definición 1.2.1.** La transpuesta de una matriz  $A_{m \times n}$ , es la matriz que se obtiene al intercambiar las filas y columnas de la matriz  $A$ . Esta matriz se denota usualmente como  $A^T$ . De manera más analítica, la entrada  $a_{ij}$  toma el valor  $a_{ji}$  y la entrada  $a_{ji}$  toma el valor  $a_{ij}$ . Más aún, si la matriz era de dimensión  $m \times n$ , su transpuesta será de dimensión  $n \times m$ .

**Ejemplo 1.9.** Sean las matrices

$$A = \begin{pmatrix} a_{11} & a_{12} & a_{13} & a_{14} \\ a_{21} & a_{22} & a_{23} & a_{24} \\ a_{31} & a_{32} & a_{33} & a_{34} \\ a_{41} & a_{42} & a_{43} & a_{44} \end{pmatrix} \text{ y } B = \begin{pmatrix} b_{11} & b_{12} & b_{13} & b_{14} \\ b_{21} & b_{22} & b_{23} & b_{24} \end{pmatrix}.$$

Entonces sus transpuestas son, respectivamente

$$A^T = \begin{pmatrix} a_{11} & a_{21} & a_{31} & a_{41} \\ a_{12} & a_{22} & a_{32} & a_{42} \\ a_{13} & a_{23} & a_{33} & a_{43} \\ a_{14} & a_{24} & a_{34} & a_{44} \end{pmatrix} \text{ y } B^T = \begin{pmatrix} b_{11} & b_{21} \\ b_{12} & b_{22} \\ b_{13} & b_{23} \\ b_{14} & b_{24} \end{pmatrix}.$$

Note que si tenemos una matriz  $A \in \mathcal{M}_{m \times n}$ , entonces, multiplicarla por su transpuesta, siempre genera una matriz cuadrada. En este caso

$$A \times A^T = Q_{m \times m}$$

$$A^T \times A = P_{n \times n}.$$

**Teorema 1.1.** Sean  $A, B \in \mathcal{M}_{m \times n}$  y  $\alpha \in \mathbb{R}$ . Entonces

- $(A + B)^T = A^T + B^T$ .
- $(A - B)^T = A^T - B^T$ .
- $(A^T)^T = A$ .
- $(\alpha A)^T = \alpha A^T$ .

Estas propiedades pueden ser probadas directamente y las dejamos como ejercicios para el lector interesado. El siguiente resultado sin embargo, es menos directo y por ello su prueba es desarrollada.

**Teorema 1.2.** Sean  $A \in \mathcal{M}_{m \times n}$  y  $B \in \mathcal{M}_{n \times p}$ . Entonces

$$(AB)^T = B^T A^T.$$

*Demostración.* Permítanos denotar  $(C)_{ij} = c_{ij}$ . Tenemos entonces

$$\begin{aligned} ((AB)^T)_{ij} &= (AB)_{ji} \\ &= \sum_k a_{jk} b_{ki} \\ &= \sum_k (A^T)_{kj} (B^T)_{ik} \\ &= \sum_k (B^T)_{ik} (A^T)_{kj} \\ &= (B^T A^T)_{ij}. \end{aligned}$$

□

**Ejemplo 1.10.** Sean  $A$  y  $B$  las siguientes matrices

$$A = \begin{pmatrix} a_{11} & a_{12} & a_{13} \\ a_{21} & a_{22} & a_{23} \end{pmatrix}, \quad B = \begin{pmatrix} b_{11} & b_{12} \\ b_{21} & b_{22} \\ b_{31} & b_{32} \end{pmatrix}.$$

Mediante un cálculo directo de  $A \times B$  obtenemos

$$AB = \begin{pmatrix} a_{11}b_{11} + a_{12}b_{21} + a_{13}b_{31} & a_{11}b_{12} + a_{12}b_{22} + a_{13}b_{32} \\ a_{21}b_{11} + a_{22}b_{21} + a_{23}b_{31} & a_{21}b_{12} + a_{22}b_{22} + a_{23}b_{32} \end{pmatrix}.$$

Transponiendo, obtenemos

$$(AB)^T = \begin{pmatrix} a_{11}b_{11} + a_{12}b_{21} + a_{13}b_{31} & a_{21}b_{11} + a_{22}b_{21} + a_{23}b_{31} \\ a_{11}b_{12} + a_{12}b_{22} + a_{13}b_{32} & a_{21}b_{12} + a_{22}b_{22} + a_{23}b_{32} \end{pmatrix}.$$

Ahora, por otro lado,

$$\begin{aligned} B^T A^T &= \begin{pmatrix} b_{11} & b_{21} & b_{31} \\ b_{12} & b_{22} & b_{32} \end{pmatrix} \times \begin{pmatrix} a_{11} & a_{21} \\ a_{12} & a_{22} \\ a_{13} & a_{23} \end{pmatrix} \\ &= \begin{pmatrix} a_{11}b_{11} + a_{12}b_{21} + a_{13}b_{31} & a_{21}b_{11} + a_{22}b_{21} + a_{23}b_{31} \\ a_{11}b_{12} + a_{12}b_{22} + a_{13}b_{32} & a_{21}b_{12} + a_{22}b_{22} + a_{23}b_{32} \end{pmatrix}. \end{aligned}$$

Ya habiendo expuesto la noción y propiedades de la matriz transpuesta, seguimos con el concepto de rango de una matriz.

**Definición 1.2.2.** Decimos que los vectores  $\{v_\ell\}_{\ell=1}^n$  son linealmente independientes (l.i.) si no existen escalares  $\gamma_1, \dots, \gamma_n$  diferentes a cero tales que

$$\sum_{\ell=1}^n \gamma_\ell v_\ell = 0.$$

Contrariamente, si los vectores  $\{v_\ell\}_{\ell=1}^n$  son linealmente dependientes (l.d.), entonces existen  $\gamma_1, \dots, \gamma_n$  no todos iguales a cero, tales que

$$\sum_{\ell=1}^n \gamma_\ell v_\ell = 0.$$

Alternativamente, existe al menos un vector  $v_j$  en el conjunto de vectores  $\{v_\ell\}_{\ell=1}^n$  que es combinación lineal del resto:

$$v_j = \sum_{\ell \neq j} \theta_\ell v_\ell.$$

Note que si la colección de vectores  $\{v_\ell\}_{\ell=1}^n$  contiene al vector nulo, siempre es l.d.

**Definición 1.2.3.** El rango de una matriz  $A_{m \times n}$  corresponde al número de columnas (o filas) linealmente independientes. Esto es, si identificamos cada columna de la matriz  $A$  como vector en  $\mathbb{R}^m$ :

$$A = \begin{pmatrix} a_{11} & \cdots & a_{1j} & \cdots & a_{1n} \\ a_{21} & \cdots & a_{2j} & \cdots & a_{2n} \\ \vdots & \vdots & \vdots & \vdots & \vdots \\ a_{m1} & \cdots & a_{mj} & \cdots & a_{mn} \end{pmatrix} \implies v_j = \begin{pmatrix} a_{1j} \\ a_{2j} \\ \vdots \\ a_{mj} \end{pmatrix}$$

entonces el rango de  $A$  es el número de vectores  $v_j$  linealmente independientes. Note que, en cualquier caso, el rango será menor o igual a  $N = \min\{m, n\}$ .

**Ejemplo 1.11.** Sea

$$A = \begin{pmatrix} 2 & 1 & 3 & 0 \\ 5 & 2 & 7 & 0 \\ 4 & 1 & 5 & 0 \end{pmatrix}.$$

Vemos que la tercera columna es combinación lineal de las dos primeras:

$$\begin{pmatrix} 2 \\ 5 \\ 4 \end{pmatrix} + \begin{pmatrix} 1 \\ 2 \\ 1 \end{pmatrix} = \begin{pmatrix} 3 \\ 7 \\ 5 \end{pmatrix}.$$

Por otro lado, la cuarta columna es combinación lineal del resto también pues,

$$\begin{pmatrix} 2 \\ 5 \\ 4 \end{pmatrix} + \begin{pmatrix} 1 \\ 2 \\ 1 \end{pmatrix} - \begin{pmatrix} 3 \\ 7 \\ 5 \end{pmatrix} = 0_{3 \times 1}.$$

Finalmente, como la columna 1 no es múltiplo de la segunda, el rango de la matriz  $A$  es 2.

### 1.3. Matriz inversa y determinante

En el caso de los números reales, si tenemos  $x \in \mathbb{R}$ , con  $x \neq 0$ , podemos encontrar un número  $y$  tal que  $xy = yx = 1$ . Este número  $y = x^{-1} = \frac{1}{x}$  es conocido como la inversa de  $x$ . En el caso de las matrices, existe una idea muy similar. Dada una matriz  $A \in \mathcal{M}_{m \times n}$  nos preguntamos cuando es posible encontrar una matriz  $B$  tal que  $A \times B = B \times A = I$ . Recordemos que una propiedad de interés de la matriz identidad  $I \in \mathcal{M}_{n \times n}$  es que, para cualquier matriz  $A \in \mathcal{M}_{n \times n}$ :

$$I \times A = A \times I = A.$$

Puesto que deseamos poder realizar la multiplicación  $A \times B$  tanto como la multiplicación  $B \times A$ , la matrices  $A$  y  $B$  deben ser cuadradas y de misma dimensión  $n \times n$ . La matriz identidad resultante tendrá entonces orden  $n \times n$ :  $I \triangleq I_{n \times n}$ .

**Definición 1.3.1.** Dada una matriz  $A \in \mathcal{M}_{n \times n}$ , si  $B \in \mathcal{M}_{n \times n}$  es tal que

$$A \times B = B \times A = \mathbb{I},$$

entonces la matriz  $B$  es la matriz inversa de  $A$ , y se denota  $A^{-1}$ .

Ciertamente, puede que dicha matriz  $A^{-1}$  no exista. Nos preguntamos entonces ¿cuándo existe la matriz  $A^{-1}$ ? Para responder esta pregunta, es necesario definir el concepto de determinante de una matriz.

**Definición 1.3.2.** Sea  $A \triangleq (a_{ij}) \in \mathcal{M}_{n \times n}(\mathbb{R})$ , definimos la aplicación

$$\det : \mathcal{M}_{n \times n}(\mathbb{R}) \rightarrow \mathbb{R},$$

conocida como determinante, de manera recursiva tal y como sigue:

- Si  $n = 1$ ,  $\det(A) = |A| = a_{11}$ .
- Si  $n > 1$ , definimos  $A_{ij}$  como la matriz que corresponde a la matriz  $A$  eliminando la fila  $i$  y la columna  $j$ <sup>5</sup>:

$$|A| = a_{11}|A_{11}| + \dots + (-1)^{k+1}a_{1k}|A_{1k}| + \dots + (-1)^{n+1}a_{1n}|A_{1n}|.$$

Dada una matriz  $A$ ,

$$A = \begin{pmatrix} a_{11} & \cdots & a_{1n} \\ \vdots & \ddots & \vdots \\ a_{n1} & \cdots & a_n \end{pmatrix}$$

usualmente se denota su determinante de la manera siguiente:

$$|A| = \begin{vmatrix} a_{11} & \cdots & a_{1n} \\ \vdots & \ddots & \vdots \\ a_{n1} & \cdots & a_n \end{vmatrix}.$$

Es decir,  $\det(A) \triangleq |A|$ .

**Ejemplo 1.12.** Sea

$$A = \begin{pmatrix} a & b \\ c & d \end{pmatrix}.$$

Entonces, su determinante estará dado por

$$|A| = ad - bc.$$

---

<sup>5</sup>Note que  $A_{ij} \in \mathcal{M}_{n-1 \times n-1}(\mathbb{R})$ .

**Ejemplo 1.13.** Sea

$$B = \begin{pmatrix} 1 & -2 & 3 \\ 2 & 1 & -1 \\ 1 & 5 & 2 \end{pmatrix}.$$

Entonces, su determinante estará dado por

$$|B| = 1 \begin{vmatrix} 1 & -1 \\ 5 & 2 \end{vmatrix} - (-2) \begin{vmatrix} 2 & -1 \\ 1 & 2 \end{vmatrix} + 3 \begin{vmatrix} 2 & 1 \\ 1 & 5 \end{vmatrix} = 44.$$

La teoría del determinante de una matriz se extiende mucho más allá de los ejemplos prácticos y la definición brindada. Se puede ahondar desde la perspectiva de las formas multilineales alternadas, introduciendo el concepto de permutación. Sin embargo, este no es el objetivo ni será necesario para los siguientes capítulos. El lector interesado puede consultar (Girfone, 2018) o (Roman, 2008). Enseguida, vamos a presentar las principales propiedades del determinante. Luego, usando esta nueva herramienta, podremos caracterizar de manera sistemática el concepto de matriz invertible y de matriz inversa.

**Teorema 1.3.** Sean  $A, B \in \mathcal{M}(\mathbb{R})$ ,  $\alpha \in \mathbb{R}$ . Entonces

- $\det(AB) = \det(A) \cdot \det(B)$ .
- $|A^{-1}| = \frac{1}{|A|}$ .
- $|A| = (-1)^p |\sigma_p(A)|$  donde  $\sigma_p(A)$  corresponde a la matriz que se genera vía la permutación (intercambio) de columnas de la matriz inicial  $A$ , siendo  $p$  el número de cambios.<sup>6</sup>
- $|\alpha A| = \alpha^n |A|$ .
- $|A| = |A_{\Sigma_i}|$ , donde  $A_{\Sigma_i}$  es la matriz  $A$  cuyas columnas corresponden a las columnas iniciales sumándoles combinaciones lineales de las otras.<sup>7</sup>

---

<sup>6</sup>Por ejemplo

$$A = \begin{pmatrix} 1 & 4 \\ 3 & -2 \end{pmatrix}, \quad \sigma_{p=1}(A) = \begin{pmatrix} 4 & 1 \\ -2 & 3 \end{pmatrix}.$$

<sup>7</sup>Por ejemplo,

$$A = \begin{pmatrix} 2 & 4 & 7 \\ 3 & -2 & 5 \\ 1 & 0 & 2 \end{pmatrix}, \quad A_{\Sigma_i} = \begin{pmatrix} 2 & 13 & 7 \\ 3 & 6 & 5 \\ 1 & 3 & 2 \end{pmatrix}.$$

La prueba de estas propiedades son consecuencia directa de la definición 1.3.2. Dado el enfoque de este texto, se deja como ejercicio para el lector interesado demostrar las propiedades. Como sugerencia, aplique inducción.

**Definición 1.3.3.** Una matriz es invertible o no singular si su determinante es diferente de cero.

**Definición 1.3.4.** La matriz de cofactores asociada a una matriz  $A$  está definida de la siguiente manera<sup>8</sup>:

$$[\text{cof}(A)]_{ij} = (-1)^{i+j}|A_{ij}|.$$

**Ejemplo 1.14.** Sea

$$A = \begin{pmatrix} 1 & 2 & 4 \\ 3 & 5 & 1 \\ -1 & 2 & 3 \end{pmatrix}.$$

Entonces,

$$[\text{cof}(A)]_{11} = (-1)^{1+1} \begin{vmatrix} 5 & 1 \\ 2 & 3 \end{vmatrix} = 13.$$

**Definición 1.3.5.** Si  $A \in \mathcal{M}_{n \times n}$  es invertible, entonces su inversa  $A^{-1}$  se define de la manera siguiente

$$A^{-1} = \frac{1}{|A|} \text{cof}(A)^T.$$

**Ejemplo 1.15.** Sea por ejemplo la matriz

$$A = \begin{pmatrix} 1 & 0 & 1 \\ 4 & 3 & 1 \\ 1 & 2 & 4 \end{pmatrix}.$$

Primero, calculamos el determinante y verificamos que no sea igual a cero

$$|A| = 1 \begin{vmatrix} 3 & 1 \\ 2 & 4 \end{vmatrix} - 0 \begin{vmatrix} 4 & 1 \\ 1 & 4 \end{vmatrix} + 1 \begin{vmatrix} 4 & 3 \\ 1 & 2 \end{vmatrix} = 15.$$

La matriz  $A_{\Sigma_i}$  es prácticamente idéntica a la matriz  $A$  salvo que a la columna 2 se le sumó (vectorialmente) las columnas 1 y 3. Obsérvese que en ambos casos el determinante es igual a 2.

<sup>8</sup>Recordar que  $A_{ij}$  es la matriz que resulta de eliminar la fila  $i$  y columna  $j$  de  $A$ .

Enseguida, obtenemos los cofactores

$$[\text{cof}(A)]_{11} = 10$$

$$[\text{cof}(A)]_{12} = -15$$

$$[\text{cof}(A)]_{13} = 5$$

$$[\text{cof}(A)]_{21} = -10$$

$$[\text{cof}(A)]_{22} = 3$$

$$[\text{cof}(A)]_{23} = -2$$

$$[\text{cof}(A)]_{31} = -3$$

$$[\text{cof}(A)]_{32} = 3$$

$$[\text{cof}(A)]_{33} = 3.$$

Luego, la matriz de cofactores sería:

$$\text{cof}(A) = \begin{pmatrix} 10 & -15 & 5 \\ -10 & 3 & -2 \\ -3 & 3 & 3 \end{pmatrix}.$$

Transponemos:

$$[\text{cof}(A)]^T = \begin{pmatrix} 10 & -10 & -3 \\ -15 & 3 & 3 \\ 5 & -2 & 3 \end{pmatrix}.$$

Finalmente, multiplicando por  $1/|A|$ , se obtiene la inversa de  $A$ :

$$A^{-1} = \begin{pmatrix} 2/3 & 2/15 & -1/5 \\ -1 & 1/5 & 1/5 \\ 1/3 & -2/15 & 1/5 \end{pmatrix}.$$

Terminamos esta sección con una definición que es de gran utilidad en la práctica. En la última sección, a través de tres ejemplos de interés, exhibiremos como las herramientas presentadas hasta el momento son empleadas en el contexto económico.

**Definición 1.3.6.** Se dice que dos matrices  $A, B \in \mathcal{M}_{n \times n}$  son semejantes si existe una matriz  $P$  no singular tal que

$$P^{-1}AP = B.$$

Note que dadas dos matrices semejantes,

$$\det(A) = \det(B).$$

En efecto, existe  $P$  invertible tal que

$$\begin{aligned} \det(A) &= \det(P^{-1}BP) = \det(P^{-1})\det(B)\det(P) \\ &= \frac{1}{\det(P)}\det(B)\det(P) = \det(B). \end{aligned}$$

Con esto, hemos concluido nuestro breve repaso sobre el determinante de una matriz y la inversa de una matriz. A continuación, pasamos a las aplicaciones de estas herramientas, y con ello, concluimos este breve capítulo.

## 1.4. Aplicaciones

Si bien existen numerosas aplicaciones de la teoría desarrollada en las secciones previas, presentamos tres que aparecen frecuentemente en la práctica. Empezamos con la aplicación en la determinación de conjuntos de vectores l.i.

Dado un conjunto finito de vectores  $\{v_\ell\}_{\ell=1}^n \in \mathbb{R}^n$ , podemos verificar que este conjunto es linealmente independiente definiendo la matriz  $A$  como la matriz cuyas columnas corresponden a estos vectores

$$A = \begin{bmatrix} v_1 & v_2 & \cdots & v_n \end{bmatrix}$$

y verificando que su determinante es diferente de 0.

**Ejemplo 1.16.** Sean los vectores  $v_1 = \begin{pmatrix} 1 \\ 2 \end{pmatrix}$  y  $v_2 = \begin{pmatrix} 2 \\ 4 \end{pmatrix}$ . Entonces,

$$A = \begin{pmatrix} 1 & 2 \\ 2 & 4 \end{pmatrix}.$$

Calculando, se observa que  $|A| = 0$ . Uno puede verificar que, en efecto, los vectores no son linealmente independientes pues  $v_2 = 2v_1$ .

**Ejemplo 1.17.** Sean ahora los vectores  $v_1 = \begin{pmatrix} 1 \\ 3 \end{pmatrix}$  y  $v_2 = \begin{pmatrix} 2 \\ 4 \end{pmatrix}$ . Tenemos que

$$A = \begin{pmatrix} 1 & 2 \\ 3 & 4 \end{pmatrix}.$$

Luego,  $|A| = -1$ . Uno puede verificar que, en efecto, los vectores son linealmente independientes pues no existe  $\alpha \in \mathbb{R}$  tal que  $v_2 = \alpha v_1$ .

Una segunda aplicación es en la resolución de sistemas lineales, es decir, ecuaciones del tipo:

$$\begin{aligned} a_{11}x_1 + \dots + a_{1n}x_n &= y_1 \\ a_{21}x_1 + \dots + a_{2n}x_n &= y_2 \\ &\vdots \\ a_{n1}x_1 + \dots + a_{nn}x_n &= y_n. \end{aligned}$$

Este tipo de problema aparece por ejemplo en modelo insumo-producto de Leontief, (Chavez and Gallardo, 2025). Lo primero que se observa es que este tipo de sistema de ecuaciones puede expresarse de la manera siguiente,

$$Ax = y$$

siendo  $x = (x_1, \dots, x_n)^T$  (desconocido),  $y = (y_1, \dots, y_n)^T$  (dato) y

$$A = \begin{pmatrix} a_{11} & a_{12} & \cdots & a_{1n} \\ a_{21} & a_{22} & \cdots & a_{2n} \\ \vdots & \vdots & \ddots & \vdots \\ a_{n1} & a_{n2} & \cdots & a_{nn} \end{pmatrix}.$$

Si  $|A| \neq 0$ , entonces el sistema puede resolverse, y su solución será:

$$x = A^{-1}y.$$

**Ejemplo 1.18.** Considere el siguiente sistema de ecuaciones lineales

$$\begin{aligned} 2x_1 + 3x_2 - x_3 &= 1 \\ 4x_1 + 2x_3 &= 2 \\ x_1 + x_2 &= 1. \end{aligned}$$

Este sistema se expresa se la siguiente manera, de forma matricial:

$$\begin{pmatrix} 2 & 3 & -1 \\ 4 & 0 & 2 \\ 1 & 1 & 0 \end{pmatrix} \begin{pmatrix} x_1 \\ x_2 \\ x_3 \end{pmatrix} = \begin{pmatrix} y_1 \\ y_2 \\ y_3 \end{pmatrix}.$$

Entonces,

$$x = A^{-1}y = \begin{pmatrix} 1 & 1/2 & -3 \\ -1 & -1/2 & 4 \\ -2 & -1/2 & 6 \end{pmatrix} \begin{pmatrix} 1 \\ 2 \\ 1 \end{pmatrix} = \begin{pmatrix} -1 \\ 2 \\ 3 \end{pmatrix}.$$

Pasamos a nuestra última aplicación. Si bien el enfoque a continuación es un tanto informal<sup>9</sup>, nos permite apreciar la importancia de los conceptos presentados en este capítulo en el contexto de la teoría microeconómica. En particular, se hará uso de la regla de Cramer, explicada para el caso tridimensional a continuación.

Dado el sistema de ecuaciones

$$\underbrace{\begin{pmatrix} a & b & c \\ d & e & f \\ g & h & i \end{pmatrix}}_{=A} \begin{pmatrix} x \\ y \\ z \end{pmatrix} = \begin{pmatrix} j \\ k \\ \ell \end{pmatrix},$$

se tiene que, siempre y cuando  $A$  sea invertible,

$$x = \frac{1}{|A|} \begin{vmatrix} j & b & c \\ k & e & f \\ \ell & h & i \end{vmatrix}$$

$$y = \frac{1}{|A|} \begin{vmatrix} a & j & c \\ d & k & f \\ g & \ell & i \end{vmatrix},$$

$$z = \frac{1}{|A|} \begin{vmatrix} a & b & j \\ d & e & k \\ g & h & \ell \end{vmatrix}.$$

A esto se le conoce como la regla de Cramer.

**Ejemplo 1.19.** Dado el problema de maximización de la utilidad ([Mas-Colell et al., 1995](#)), asumiendo que se satisfacen las condiciones de Inada para la función de utilidad  $U(x, y)$ , el problema se escribe

$$\begin{aligned} &\text{máx } U(x, y) \\ &\text{s.a. : } p_x x + p_y y = I. \end{aligned}$$

---

<sup>9</sup>Una justificación más rigurosa hace uso del teorema de la función implícita, véase ([de la Fuente, 2000](#)).

Deseamos conocer  $\frac{dx}{dI}$  y  $\frac{dy}{dp_x}$ . Para simplificar la notación, definimos

$$\frac{\partial U}{\partial x} = U_x, \text{ y } \frac{\partial U}{\partial y} = U_y.$$

De las condiciones de primer orden, obtenemos el siguiente sistema

$$\begin{aligned} \frac{\partial \mathcal{L}}{\partial x} &= U_x - \lambda p_x = 0 \\ \frac{\partial \mathcal{L}}{\partial y} &= U_y - \lambda p_y = 0 \\ \frac{\partial \mathcal{L}}{\partial \lambda} &= I - p_x x - p_y y = 0. \end{aligned}$$

Sacando diferenciales en estas tres ecuaciones, se obtiene

$$\begin{aligned} d(U_x - \lambda p_x) &= U_{xx}dx + U_{xy}dy - d\lambda p_x - \lambda dp_x = 0 \\ d(U_y - \lambda p_y) &= U_{yy}dy + U_{yx}dx - d\lambda p_y - \lambda dp_y = 0 \\ d(I - p_x x - p_y y) &= dI - dxp_x - xdp_x - dyp_y - ydp_y = 0. \end{aligned}$$

Las condiciones de Inada aseguran que los bienes son normales y las preferencias convexas (Mas-Colell et al., 1995). Por ende:

$$U_{xy} > 0, U_{xx}, U_{yy} < 0.$$

Luego, el sistema de ecuaciones se convierte en

$$\begin{pmatrix} U_{xx} & U_{xy} & -p_x \\ U_{yx} & U_{yy} & -p_y \\ -p_x & -p_y & 0 \end{pmatrix} \begin{pmatrix} dx \\ dy \\ d\lambda \end{pmatrix} = \begin{pmatrix} \lambda dp_x \\ \lambda dp_y \\ xdp_x + ydp_y - dI \end{pmatrix}.$$

Aplicando la regla de Cramer para obtener

$$\frac{dx}{dI},$$

considerando  $dp_x = dp_y = 0$  (mantener precios constantes), se calcula

$$dx = \frac{1}{|A|} \begin{vmatrix} 0 & U_{xy} & -p_x \\ 0 & U_{yy} & -p_y \\ -dI & -p_y & 0 \end{vmatrix},$$

donde

$$\begin{aligned}
 |A| &= \det \begin{pmatrix} U_{xx} & U_{xy} & -p_x \\ U_{yx} & U_{yy} & -p_y \\ -p_x & -p_y & 0 \end{pmatrix} \\
 &= \underbrace{-U_{xx}p_y^2 + U_{xy}p_xp_y + U_{yx}p_xp_y - U_{yy}p_x^2}_{\text{preferencias convexas, i.e., } u \text{ cuasi cóncava}} > 0.
 \end{aligned}$$

Luego,

$$\frac{dx}{dI} = \frac{U_{xy}p_y - p_xU_{yy}}{|A|} > 0.$$

La desigualdad se obtiene teniendo en cuenta que la utilidad marginal es decreciente en cada bien  $U_{xx}, U_{yy} < 0$ , pero las derivadas cruzadas, puesto que las preferencias se suponen convexas, son positivas  $U_{xy}, U_{yx} > 0$  (Mas-Colell et al., 1995).

En relación a  $\frac{dx}{dp_x}$ , considerando  $dp_y = dI = 0$

$$dx = \frac{1}{|A|} \begin{vmatrix} \lambda dp_x & U_{xy} & -p_x \\ 0 & U_{yy} & -p_y \\ x dp_x & -p_y & 0 \end{vmatrix}.$$

Expandiendo el determinante del numerador,

$$\begin{aligned}
 \frac{dx}{dp_x} &= \frac{-\lambda p_y^2 - x p_y U_{xy} + x p_x U_{xx}}{|A|} \\
 &= \frac{-\lambda p_y^2 + x(U_{yy}p_x - U_{xy}p_y)}{|A|} \\
 &= -\frac{\lambda p_y^2}{|A|} - x \frac{dx}{dI} < 0.
 \end{aligned}$$

Esta ecuación indica que cuando el precio de un bien aumenta, la demanda por este bien se ve reducida por un efecto sustitución y un efecto ingreso<sup>10</sup>.

Si bien ya hemos concluido con los conceptos de álgebra matricial que serán requeridos a continuación, existe aún una vasta cantidad de tópicos por explorar. Estos, fundamentan algunos de los resultados que serán obtenidos en capítulos posteriores, pero van más allá del alcance de este libro. Por ejemplo, la diagonalización de matrices, la ortogonalización de vectores, la descomposición polar, la forma canónica de Jordan,

<sup>10</sup>Este resultado gana en interpretación cuando se deriva la ecuación de Slutsky.

etc. Estos temas pueden ser explorados en ([Chavez and Gallardo, 2025](#)), ([Axler, 2015](#)) o ([Roman, 2008](#)). Con respecto a los aspectos computacionales y numéricos del álgebra matricial, la literatura es extensa y el estado del arte en constante movimiento, ver por ejemplo ([Kalai et al., 2023](#)). Entre los métodos numéricos más relevantes, se pueden mencionar las descomposiciones  $LU$ ,  $QR$  y  $SVD$ , todas orientadas a resolver de manera eficiente sistemas de ecuaciones de la forma  $Ax = b$ , ver ([Suli and Mayers, 2003](#)) o ([Quarteroni et al., 2000](#)).

## Ejercicios

**Ejercicio 1.1.** Considere las siguientes matrices:

$$A = \begin{bmatrix} 1 & 2 \\ 3 & 4 \end{bmatrix}, \quad B = \begin{bmatrix} 2 & -1 & 0 \\ 4 & 1 & 3 \\ -2 & 5 & 1 \end{bmatrix}, \quad C = \begin{bmatrix} 0 & 3 \\ -1 & 1 \end{bmatrix},$$

$$D = \begin{bmatrix} 1 & 2 & 3 \\ 4 & 5 & 6 \end{bmatrix}, \quad E = \begin{bmatrix} 1 & 0 \\ 0 & -2 \\ 3 & 1 \end{bmatrix}.$$

Realice lo siguiente para las matrices cuadradas  $A$ ,  $B$  y  $C$ :

1. Calcule su transpuesta.
2. Determine el determinante.
3. Si existe, calcule la matriz inversa.

Para las matrices rectangulares  $D$  y  $E$ , calcule únicamente la transpuesta. Luego, calcule  $D^T D$  y analice si es invertible.

**Ejercicio 1.2.** Considere la función de utilidad:

$$U(x, y) = x^a y^b, \tag{1.1}$$

donde  $x > 0$ ,  $y > 0$ ,  $a > 0$  y  $b > 0$ . Responda lo siguiente:

1. Determine los valores de  $a$  y  $b$  que cumplen las condiciones de Inada (véase ([Barro and Martin, 2003](#)) para la definición de la condiciones de Inada).

2. Verifique, derivando las demandas Walrasianas, que se cumplen los resultados de estática comparativa derivados en el ejemplo 1.19.

**Ejercicio 1.3.** Considere los siguientes sistemas lineales de  $2 \times 2$ :

- Sistema 1:

$$\begin{aligned}x + y &= 2, \\ 2x - y &= 0.\end{aligned}\tag{1.2}$$

- Sistema 2:

$$\begin{aligned}x + y &= 3, \\ 2x + 2y &= 6.\end{aligned}\tag{1.3}$$

- Sistema 3:

$$\begin{aligned}x + y &= 1, \\ x + y &= 3.\end{aligned}\tag{1.4}$$

Responda las siguientes preguntas:

1. Resuelva el sistema 1 y determine su solución única.
2. Interprete geoméricamente por qué el sistema 3 no tiene solución.
3. Interprete geoméricamente por qué el sistema 2 tiene infinitas soluciones.
4. Encuentre todas las soluciones del sistema 2.

# Capítulo 2

## El modelo $k$ -lineal

Dada una variable aleatoria, esta puede descomponerse de la siguiente forma:

$$Y = \mathbb{E}[Y|X] + \varepsilon,$$

donde, recordemos  $\mathbb{E}[Y|X] = \mathbb{E}[Y|\sigma(X)]$ <sup>1</sup> y, debido a la ley de esperanzas iteradas,  $\mathbb{E}[\varepsilon|X] = 0$ . El modelo  $k$ -lineal plantea que

$$\mathbb{E}[Y|X] = X\beta = \beta_0 + \sum_{i=1}^k \beta_i X_i. \quad (2.1)$$

En la práctica, lo que se tiene es un conjunto de observaciones  $\{Y_i\}_{1 \leq i \leq n}$  y un conjunto de datos  $\{X_{ji}\}_{1 \leq i \leq n, 1 \leq j \leq k}$ . La variable  $Y$  es una variable que buscamos predecir, mientras que  $X_j$  para  $j = 1, \dots, k$ , es una variable «explicativa». En el modelo  $k$ -lineal, tal y como especifica la ecuación 2.1, se adopta la siguiente forma funcional<sup>2</sup>

$$Y_i = \beta_0 + \beta_1 X_{1i} + \beta_2 X_{2i} + \dots + \beta_k X_{ki} + \varepsilon_i, \quad i = 1, \dots, n. \quad (2.2)$$

Esta ecuación puede expresarse matricialmente como

$$\begin{bmatrix} Y_1 \\ \vdots \\ Y_n \end{bmatrix} = \begin{bmatrix} 1 & X_{11} & X_{21} & \cdots & X_{k1} \\ \vdots & \vdots & \vdots & \cdots & \vdots \\ 1 & X_{1n} & X_{2n} & \cdots & X_{kn} \end{bmatrix} \begin{bmatrix} \beta_0 \\ \beta_1 \\ \vdots \\ \beta_k \end{bmatrix} + \begin{bmatrix} \varepsilon_1 \\ \vdots \\ \varepsilon_n \end{bmatrix}$$

$$Y_{n \times 1} = X_{n \times (k+1)} \beta_{(k+1) \times 1} + \varepsilon_{n \times 1}.$$

<sup>1</sup> $\sigma(X)$  denota el  $\sigma$ -álgebra generado por la v.a.  $X$ . Véase el apéndice.

<sup>2</sup>La forma funcional es el término lineal, el error estocástico  $\varepsilon$  refleja la incertidumbre en el modelo.

En este modelo, se asume que  $\varepsilon \sim \mathcal{N}(0_n, \sigma^2 I_n)$ .

Antes de continuar, permítanos hacer énfasis en algunos puntos. Matemáticamente, lo que tenemos es un conjunto de puntos en un espacio, usualmente  $\mathbb{R}^p$  para cierto  $p \in \mathbb{Z}_+$ , donde  $X \in \mathcal{M}_{n \times k}$  representa el conjunto de observaciones de las variables predictoras,  $Y$  es el conjunto de observaciones de la variable dependiente y  $\beta$  es un vector de parámetros. El objetivo es determinar los parámetros.

Ahora bien,  $Y_1, \dots, Y_n$  es una muestra aleatoria. Es decir, cada  $Y_i$  es una variable aleatoria y observamos una realización  $Y_i(\omega)$ . Lo mismo aplica para los  $X_{ki}$ . Sin embargo, asumiremos que los regresores son determinísticos, por lo que  $\mathbb{E}[Y|X] = \mathbb{E}[Y] = X\beta$ , y todo lo estocástico queda almacenado en  $\varepsilon$ .

**Ejemplo 2.1.** Supongamos que se busca estimar la producción en función de las variables clásicas del modelo de la demanda agregada

$$Y_i = \beta_0 + \beta_1 C_i + \beta_2 G_i + \beta_3 I_i + \beta_4 (X_i - M_i) + \varepsilon_i, \quad i = 1, \dots, n.$$

En esta ecuación,  $Y_i$  es la producción,  $C_i$  el consumo,  $G_i$  el gasto público,  $I_i$  la inversión y  $X_i - M_i$  la balanza comercial. Estas últimas, son las variables explicativas en el modelo pues, en función de estas uno predice la variable dependiente. Luego, el índice  $i$  indica el elemento de la muestra considerado. Por ejemplo, cada  $i$  determina un país, un instante de tiempo (en dicho caso sería más apropiado denotar  $t$  en vez de  $i$ ). El objetivo, es estimar los parámetros  $\beta_0, \beta_1, \beta_2, \beta_3$  y  $\beta_4$ .

El ejemplo 2.1 nos invita a reflexionar sobre el tipo de datos que se consideran en una regresión lineal. La siguiente definición es clave para distinguir los tipos de datos que aparecen en la práctica.

**Definición 2.0.1.** Identificamos tres tipos de datos:

- Datos transversales: se cuenta con solo una observación en el tiempo para diferentes variables. Por ejemplo, los datos recolectados en una encuesta  $\{X_{1i}, X_{2i}, \dots, X_{ki}\}_{1 \leq i \leq n}$ .
- Series de tiempo: más de 2 observaciones en el tiempo:  $X_0, X_1, \dots, X_t, \dots, X_T$ . En estos casos tendríamos un modelo del tipo

$$Y_t = f(X_t, Z_t, \dots, W_t) + \varepsilon_t.$$

- Datos panel o longitudinales: dos o más observaciones en el tiempo del mismo individuo, país  $\{X_{it}\}_{1 \leq i \leq n, 1 \leq t \leq T}$ .

### 2.0.1. Supuestos del modelo $k$ -lineal

Enseguida, presentamos los supuestos del modelo (2.2). La hoja de ruta en los siguientes capítulos consiste justamente en levantar estos supuestos.

**Teorema 2.1.** En el modelo  $k$ -lineal se efectúan los siguientes supuestos:

- El modelo de regresión es lineal en los parámetros. Es decir, no se puede tener algo de la siguiente forma

$$Y_i = \beta_1^2 X_{1i} + \ln(\beta_2) X_{2i} + \varepsilon_i.$$

- La muestra es aleatoria. Es decir, la selección de los datos se lleva a cabo siguiendo metodologías específicas que buscan reducir el sesgo de selección y/o adaptarse a los objetivos del estudio.
- El valor esperado de los errores es igual a cero:  $\mathbb{E}[\varepsilon_i] = 0, \forall i$ . Más aún, como consecuencia

$$\mathbb{E} \left[ \sum_{i=1}^n \varepsilon_i \right] = 0.$$

- Los errores tienen varianza constante:  $\text{Var}(\varepsilon_i) = \sigma^2, \forall i$ . Usualmente, el término de error está normalmente distribuido  $\varepsilon_i \sim N(0, \sigma^2), \forall i$ .
- No existe correlación entre las explicativas y los errores medidos:  $X^T \varepsilon = 0$ .
- No existe colinealidad perfecta entre las variables explicativas incluidas en el modelo:

$$\sum_{\ell=1}^k \gamma_\ell X_\ell = 0 \implies \gamma_\ell = 0, \forall \ell.$$

Este supuesto es por ejemplo muy útil para asegurar más adelante la invertibilidad de  $X^T X$ .

- En el caso de series de tiempo, los errores no tienen correlación serial, es decir, no existe correlación entre los errores de diferentes periodos de tiempo  $\text{Cov}(\varepsilon_t, \varepsilon_{t+k}) = \sigma_k = 0$ . Para corte transversal,  $\text{Cov}(\varepsilon_i, \varepsilon_j) = \sigma_{ij} = 0, \forall i \neq j$ .

- El modelo está perfectamente identificado, esto es, el modelo incluye todas las variables explicativas relevantes. Así,

$$\mathbb{E}[\hat{\beta}] = \beta$$

donde  $\hat{\beta}$  es el vector de parámetros que se estima. Para asegurar esto, se realiza una revisión de literatura exhaustiva.

- El número de observaciones debe ser mayor al número de parámetros a estimar  $n > k$ .

Note que el supuesto de linealidad en los parámetros cubre casos como el siguiente

$$e^{Y_i} = \prod_{j=1}^k e^{\beta_j} e^{X_j} e^{\varepsilon_i},$$

pues, sacando logaritmos en ambos lados, se obtiene

$$\begin{aligned} \ln[e^{Y_i}] &= \ln \left[ \prod_{j=1}^k e^{\beta_j} e^{X_j} e^{\varepsilon_i} \right] \\ &= \sum_{j=1}^k \beta_j \ln[X_j] + \varepsilon_i. \end{aligned}$$

Por otro lado, los supuestos de no colinealidad perfecta y el hecho que  $n > k$ , aseguran que el rango de  $X_{n \times k}$  sea  $k$ .

**Ejemplo 2.2.** Otro ejemplo de modelo de regresión lineal es el semi-logarítmico

$$\ln Y_t = X_t \beta + \delta t + \varepsilon_t.$$

Este modelo cumple la linealidad en los parámetros, que son  $\beta$  y  $\delta$ . Note que el tiempo es un regresor. Por otro lado, el error es denotado  $\varepsilon_t$  en vez de  $\varepsilon_i$  pues las observaciones son en el tiempo. Finalmente, debe verificarse que  $\mathbb{E}[\varepsilon_t] = 0$  y  $\text{Var}(\varepsilon_t) = \sigma^2, \forall t$ .

## 2.1. El problema de optimización

El método más frecuente usado para estimar los coeficientes de una regresión lineal ( $k$ -lineal) es el Método de Mínimos Cuadrados Ordinarios (MCO). ¿En qué consiste

este método? Lo que buscamos es, dadas las observaciones, determinar un vector de parámetros que nos permita predecir la variable dependiente. Denotemos por  $\hat{\beta}$  los parámetros que se obtienen luego de la estimación<sup>3</sup>. Entonces, si  $X \in \mathbb{R}^k$  es un conjunto de variables explicativas (usadas en la estimación), la predicción para  $Y$ , dado dicho conjunto de información, es

$$\hat{Y} = X\hat{\beta}.$$

Cuando incorporamos una constante  $\beta_0$ , la primera componente de  $X$  es un (vector) de unos. Luego, la perturbación asociada a la  $i$ -ésima observación es igual a

$$\hat{\varepsilon}_i = Y_i - X_i^T \hat{\beta}.$$

Lo que se busca es que este error sea el más pequeño posible, para todo  $i$ . Por ello, el MCO propone minimizar la siguiente suma (Greene, 2015)

$$\sum_{i=1}^n \varepsilon_i^2 = \sum_{i=1}^n (Y_i - X_i^T \beta)^2 = (Y - X\beta)^T (Y - X\beta),$$

respecto al vector de parámetros. Este programa de optimización tiene una interpretación geométrica que discutiremos más adelante. Ahora bien, notemos que

$$\sum_{i=1}^n \varepsilon_i^2 = \|\varepsilon\|_2^2.$$

Cabe la pregunta, ¿por qué no escoger  $\|\varepsilon\|_p^p$  con  $p \geq 1$  diferente de 2? Sucede que al escoger, por ejemplo  $p = 1$ <sup>4</sup>, no se obtiene una solución analítica exacta al problema de optimización, dada la no diferenciable del valor absoluto aparecen sub-diferenciales, ver (Boyd and Vandenberghe, 2004).<sup>5</sup>

De este modo, el problema de optimización que buscamos resolver, con la finalidad de encontrar los parámetros, es el siguiente:

$$\begin{aligned} \text{mín } Q(\beta) &= \sum_{i=1}^n (Y_i - X_i^T \beta) \\ \text{s.a } \beta &\in \mathbb{R}^{k+1}. \end{aligned}$$

<sup>3</sup>A continuación detallamos el origen del vector  $\hat{\beta}$ .

<sup>4</sup> $\|\varepsilon\|_1 = \sum_{i=1}^n |\varepsilon_i|$

<sup>5</sup>Sin embargo, considerar  $|\cdot|$  resulta ser un método insensible a outliers y se le conoce como Regresión Robusta, ver (Rau, 2016).

Alternativamente, podemos escribir

$$\begin{aligned} \text{mín } Q(\beta) &= (Y - X\beta)^T(Y - X\beta) \\ \text{s.a } \beta &\in \mathbb{R}^{k+1}. \end{aligned}$$

Note que  $\beta \in \mathbb{R}^{k+1}$  pues se incorpora la constante (también referido como intercepto).

**Teorema 2.2.** La solución al problema de minimización es

$$\hat{\beta} = (X^T X)^{-1} X^T Y.$$

*Demostración.* Expandiendo la función  $Q(\beta)$  se tiene

$$\begin{aligned} Q(\beta) &= Y^T Y - \beta^T X^T Y - Y^T X \beta + \beta^T X^T X \beta \\ &= Y^T Y - 2\beta^T X^T Y + \beta^T X^T X \beta \\ &= Y^T Y - 2Y^T X \beta + \beta^T X^T X \beta. \end{aligned}$$

Aquí hemos usado que  $\beta^T X^T Y = Y^T X \beta$ , pues, ambos términos son escalares y la transpuesta de un escalar es el mismo escalar. Ahora bien, por las condiciones de primer orden ([Sundaram, 1996](#))

$$\frac{\partial Q(\beta)}{\partial \beta} = -2Y^T X + 2X^T X \beta = 0.$$

Luego,

$$X^T X \beta = X^T Y.$$

Como  $X$  tiene rango completo,  $\det(X^T X) \neq 0$ . Así, puede invertirse y por ende<sup>6</sup>

$$\begin{aligned} \hat{\beta} &= (X^T X)^{-1} X^T Y \\ &= \left( \frac{1}{N} \sum_{i=1}^N X_i^T X_i \right)^{-1} \left( \sum_{i=1}^N X_i^T Y_i \right) \end{aligned}$$

□

Es posible que las ecuaciones, conocidas como ecuaciones normales,  $X^T X \beta = X^T Y$  no puedan resolverse invirtiendo  $X^T X$ , pues esta última puede no ser invertible. En dicho caso, se trabaja con la pseudo-inversa de la matriz  $X$ , ver ([Laub, 2005](#)).

<sup>6</sup>El candidato a óptimo es justamente  $\hat{\beta}$ .

**Definición 2.1.1.** Una regresión lineal simple es una relación de la forma

$$Y_i = \beta_0 + \beta_1 X_i + \varepsilon_i,$$

siendo  $\varepsilon_i$  un error aleatorio tal que  $\varepsilon_i \sim N(0, \sigma^2)$ . Este es un caso particular de (2.2), donde  $k = 1$ .

**Ejemplo 2.3.** En el caso de una regresión lineal simple, los estimadores obtenidos vía Mínimos Cuadrados Ordinarios se obtienen resolviendo el siguiente problema de optimización:

$$\min \sum_{i=1}^n \varepsilon_i^2 = Q(\beta_0, \beta_1) = \sum_{i=1}^n (Y_i - \beta_0 - \beta_1 X_i)^2,$$

la solución es

- $\hat{\beta}_0 = \bar{Y} - \hat{\beta}_1 \bar{X}$ .
- $\hat{\beta}_1 = \frac{\sum_{i=1}^n (Y_i - \bar{Y})(X_i - \bar{X})}{\sum_{i=1}^n (X_i - \bar{X})^2}$ .

En efecto, las condiciones de primer orden son

$$\begin{aligned} \frac{\partial Q(\beta_0, \beta_1)}{\partial \beta_0} &= -2 \sum_{i=1}^n (Y_i - \beta_0 - \beta_1 X_i) = 0 \\ \frac{\partial Q(\beta_0, \beta_1)}{\partial \beta_1} &= -2 \sum_{i=1}^n X_i (Y_i - \beta_0 - \beta_1 X_i) = 0. \end{aligned}$$

Despejando  $\beta_0$  en la primera ecuación se tiene  $\beta_0 = \bar{Y} - \beta_1 \bar{X}$ . Ahora, de la segunda ecuación, se obtiene

$$\sum_{i=1}^n X_i (Y_i - \beta_0 - \beta_1 X_i) = 0.$$

Luego,

$$\begin{aligned} 0 &= \sum_{i=1}^n X_i Y_i - \beta_0 n \bar{X} - \beta_1 \sum_{i=1}^n X_i^2 \\ &= \sum_{i=1}^n X_i Y_i - (\bar{Y} - \beta_1 \bar{X}) n \bar{X} - \beta_1 \sum_{i=1}^n X_i^2 \\ &= \left( \sum_{i=1}^n X_i Y_i \right) - n \bar{Y} \bar{X} + \beta_1 n \bar{X}^2 - \beta_1 \sum_{i=1}^n X_i^2. \end{aligned}$$

Despejando, se obtienen

$$\hat{\beta}_1 = \frac{\sum_{i=1}^n X_i Y_i - n\bar{X}\bar{Y}}{\sum_{i=1}^n X_i^2 - n\bar{X}^2} = \frac{\sum_{i=1}^n (Y_i - \bar{Y})(X_i - \bar{X})}{\sum_{i=1}^n (X_i - \bar{X})^2}$$

y

$$\hat{\beta}_0 = \bar{Y} - \hat{\beta}_1 \bar{X}.$$

Antes de pasar a las condiciones de segundo orden, proveemos una derivación alternativa del estimador de MCO desde la estadística y la ya anticipada interpretación geométrica.

Dado que  $\mathbb{E}[\varepsilon|X] = 0$ , se sigue a partir de

$$Y = X\beta + \varepsilon$$

y multiplicando por  $X^T$  en ambos lados

$$\begin{aligned} X^T Y &= X^T X \beta + X^T \varepsilon \\ \mathbb{E}[X^T Y] &= \mathbb{E}[X^T X \beta + X^T \varepsilon] \\ &= \mathbb{E}[X^T X] \beta + \underbrace{\mathbb{E}[X^T \varepsilon]}_{=0} \\ \beta &= \mathbb{E}[X^T X]^{-1} \mathbb{E}[X^T Y]. \end{aligned}$$

Así pues, debido al principio de analogía ([Manski, 1988](#))

$$\hat{\beta}_{MCO} = \left( \frac{1}{N} \sum_{i=1}^N X_i^T X_i \right)^{-1} \left( \sum_{i=1}^N X_i^T Y_i \right).$$

Note que hemos usado las propiedades de la esperanza condicional (véase apéndice [A](#)):

$$\begin{aligned} \int \mathbb{E}[\varepsilon|X] &= \int \varepsilon \\ \mathbb{E}[\mathbb{E}[\varepsilon|X]] &= \mathbb{E}[\varepsilon] \\ \mathbb{E}[X^T \varepsilon] &= \mathbb{E}[X^T \varepsilon|X] \\ &= X^T \mathbb{E}[\varepsilon|X] \\ &= 0. \end{aligned}$$

Respecto a la interpretación geométrica, notemos que

$$\begin{aligned} \hat{Y} &= X \hat{\beta} \\ &= X (X^T X)^{-1} X^T Y \\ &= \text{Proj}_X(Y) \end{aligned}$$

donde  $\text{Proj}_X$  es la matriz proyección del espacio generado vectorial por las columnas de  $X$ . Por otro lado,

$$\begin{aligned}\hat{\varepsilon} &= Y - X\hat{\beta} \\ &= (I - X(X^T X)^{-1} X^T)Y \\ &= N_X Y\end{aligned}$$

donde  $N_X$  es la matriz proyección en el espacio nulo de las columnas de  $X$ . Note que las matrices proyección son idempotentes<sup>7</sup> y simétricas (Axler, 2015).

### 2.1.1. Condiciones de segundo orden

Recordemos que para asegurarnos que  $\hat{\beta}$  se trata de un mínimo, es necesario verificar la condición de segundo orden. Esto es, verificar que, la matriz hessiana evaluada en el punto estacionario  $\hat{\beta}$ , es definida positiva, i.e., que dado cualquier vector  $v \in \mathbb{R}^{k+1}$ ,  $v^T(2X^T X)v \geq 0$ .

*Demostración.*

$$\frac{\partial^2 Q(\beta)}{\partial \beta \partial \beta^T} = 2X^T X.$$

Luego, definiendo  $z = Xv \in \mathbb{R}^n$ ,

$$\begin{aligned}v^T(2X^T X)v &= 2z^T z \\ &= 2 \sum_{i=1}^n z_i^2 \geq 0.\end{aligned}$$

□

**Ejemplo 2.4.** En el caso de la regresión lineal simple, podemos calcular directamente la matriz hessiana de  $Q(\beta_0, \beta_1)$  evaluada en el óptimo  $(\hat{\beta}_0, \hat{\beta}_1)$ :

$$HQ(\hat{\beta}_0, \hat{\beta}_1) = \begin{bmatrix} \frac{\partial^2 Q(\hat{\beta}_0, \hat{\beta}_1)}{\partial \beta_0^2} & \frac{\partial^2 Q(\hat{\beta}_0, \hat{\beta}_1)}{\partial \beta_0 \partial \beta_1} \\ \frac{\partial^2 Q(\hat{\beta}_0, \hat{\beta}_1)}{\partial \beta_0 \partial \beta_1} & \frac{\partial^2 Q(\hat{\beta}_0, \hat{\beta}_1)}{\partial \beta_1^2} \end{bmatrix} = \begin{pmatrix} 2n & 2n\bar{X} \\ 2n\bar{X} & 2\sum_{i=1}^n X_i^2 \end{pmatrix},$$

---

<sup>7</sup> $A^2 = A$ .

siendo

$$\bar{X} = \frac{1}{n} \sum_{i=1}^n X_i.$$

Tenemos que verificar que  $\frac{\partial^2 Q(\hat{\beta}_0, \hat{\beta}_1)}{\partial \beta_0^2}$  y  $|HQ(\hat{\beta}_0, \hat{\beta}_1)|$  son positivos (al menos uno de los dos términos y el otro no negativo). Ciertamente

$$\frac{\partial^2 Q}{\partial \beta_0^2} = 2n > 0.$$

Finalmente,

$$|HQ| = 4n \left[ \sum_{i=1}^n X_i^2 - n\bar{X}^2 \right] = 4n \left[ \sum_{i=1}^n (X_i - \bar{X})^2 \right] \geq 0.$$

Con ello, concluimos que se cumple la condición de mínimo.

**Ejemplo 2.5.** Sean  $\hat{\beta}_1$  y  $\hat{\beta}_2$  el intercepto y la pendiente estimados, respectivamente, de la regresión de  $Y_i$  contra  $X_i$  para una muestra de  $n$  observaciones. Sean  $c_1$  y  $c_2$  dos constantes ( $c_1, c_2 \neq 0$ ),  $\bar{\beta}_1$  y  $\bar{\beta}_2$  el intercepto y la pendiente estimados, respectivamente, de la regresión  $c_1 Y_i$  contra  $c_2 X_i$ . Buscamos una expresión de  $\bar{\beta}_1$  y  $\bar{\beta}_2$  en función de  $\hat{\beta}_1$ ,  $\hat{\beta}_2$  y las constantes  $c_1, c_2$ . Al plantearse el modelo

$$Y_i = \beta_1 + \beta_2 X_i + \varepsilon_i$$

se estiman los parámetros  $\hat{\beta}_1$  y  $\hat{\beta}_2$ . Ahora, nos interesamos en la regresión

$$c_1 Y_i = \beta_1 + \beta_2 c_2 X_i + \varepsilon_i.$$

Para obtener los parámetros  $\bar{\beta}_1, \bar{\beta}_2$  via MCO, resolvemos el problema de minimización

$$\text{mín } Q(\bar{\beta}_1, \bar{\beta}_2) = \sum_{i=1}^n (c_1 Y_i - \bar{\beta}_1 - \bar{\beta}_2 c_2 X_i)^2.$$

Aplicando condiciones de primer orden, obtenemos

$$\begin{aligned} \frac{\partial Q}{\partial \bar{\beta}_1} &= -2 \sum_{i=1}^n (c_1 Y_i - \bar{\beta}_1 - c_2 \bar{\beta}_2 X_i) = 0 \\ \frac{\partial Q}{\partial \bar{\beta}_2} &= -2 \sum_{i=1}^n c_2 X_i (c_1 Y_i - \bar{\beta}_1 - c_2 \bar{\beta}_2 X_i) = 0. \end{aligned}$$

De la primera ecuación se obtiene la relación

$$c_1 \sum_{i=1}^n Y_i - n\bar{\beta}_1 - c_2\bar{\beta}_2 \sum_{i=1}^n X_i = 0$$

y por ende

$$\bar{\beta}_1 = c_1\bar{Y} - c_2\bar{\beta}_2\bar{X}.$$

Ahora, de la segunda condición de primer orden, y reemplazando con la expresión de  $\bar{\beta}_1$

$$c_2c_1 \sum_{i=1}^n X_iY_i - (c_1\bar{Y} - c_2\bar{\beta}_2\bar{X}) \sum_{i=1}^n c_2X_i - c_2^2\bar{\beta}_2 \sum_{i=1}^n X_i^2 = 0.$$

Desarrollando se tiene

$$c_1c_2 \sum_{i=1}^n X_iY_i - c_1c_2n\bar{Y}\bar{X} + c_2^2\bar{\beta}_2n\bar{X}^2 - c_2^2\bar{\beta}_2 \sum_{i=1}^n X_i^2 = 0.$$

Luego, despejando  $\bar{\beta}_2$

$$\begin{aligned} \bar{\beta}_2 &= \frac{c_1c_2n\bar{Y}\bar{X} - c_1c_2 \sum_{i=1}^n X_iY_i}{c_2^2n\bar{X}^2 - c_2^2 \sum_{i=1}^n X_i^2} \\ &= \frac{c_1c_2 (\sum_{i=1}^n X_iY_i - n\bar{X} \cdot \bar{Y})}{c_2^2 (\sum_{i=1}^n X_i^2 - n\bar{X}^2)} \\ &= \frac{c_1}{c_2} \hat{\beta}_2, \end{aligned}$$

donde

$$\hat{\beta}_2 = \frac{\sum_{i=1}^n Y_iX_i - n\bar{Y}\bar{X}}{\sum_{i=1}^n X_i^2 - n\bar{X}^2}.$$

Así pues,

$$\begin{aligned} \bar{\beta}_1 &= c_1\bar{Y} - c_2\bar{\beta}_2\bar{X} \\ &= c_1\bar{Y} - c_2\frac{c_1}{c_2}\hat{\beta}_2\bar{X} \\ &= c_1(\bar{Y} - \hat{\beta}_2\bar{X}) \\ &= c_1\hat{\beta}_1. \end{aligned}$$

Concluimos entonces que  $\bar{\beta}_1 = c_1\hat{\beta}_1$  y  $\bar{\beta}_2 = \frac{c_1}{c_2}\hat{\beta}_2$ . Note que la convexidad del paraboloido (función objetivo) asegura que se trata de un mínimo.

**Ejemplo 2.6.** De manera similar al ejemplo anterior, sean ahora  $\bar{\beta}_1$  y  $\bar{\beta}_2$  el intercepto y la pendiente estimados, respectivamente, de la regresión  $Y_i + c_1$  contra  $X_i + c_2$ . Obtengamos una expresión de  $\bar{\beta}_1$  y  $\bar{\beta}_2$  en función de  $\hat{\beta}_1, \hat{\beta}_2$  y las constantes  $c_i$ . En este caso, la especificación del modelo es la siguiente

$$Y_i + c_1 = \beta_1 + \beta_2(X_i + c_2) + \varepsilon_i.$$

Procedemos análogamente. Buscamos minimizar

$$Q(\bar{\beta}_1, \bar{\beta}_2) = \sum_{i=1}^n (Y_i + c_1 - \bar{\beta}_1 - \bar{\beta}_2 X_i - \bar{\beta}_2 c_2)^2.$$

Las condiciones de primer orden nos dan

$$\begin{aligned} \frac{\partial Q}{\partial \bar{\beta}_1} &= -2 \sum_{i=1}^n (Y_i + c_1 - \bar{\beta}_1 - \bar{\beta}_2 X_i - \bar{\beta}_2 c_2) = 0 \\ \frac{\partial Q}{\partial \bar{\beta}_2} &= -2 \sum_{i=1}^n (X_i + c_2)(Y_i + c_1 - \bar{\beta}_1 - \bar{\beta}_2 X_i - \bar{\beta}_2 c_2) = 0. \end{aligned}$$

De la primera ecuación, despejando para  $\bar{\beta}_1$  se obtiene

$$\bar{\beta}_1 = \bar{Y} + c_1 - \bar{\beta}_2 \bar{X} - \bar{\beta}_2 c_2.$$

Ahora, de la segunda ecuación, reemplazando con la expresión de  $\bar{\beta}_1$ , se tiene

$$\sum_{i=1}^n (X_i + c_2)(Y_i + c_1 - (\bar{Y} + c_1 - \bar{\beta}_2 \bar{X} - \bar{\beta}_2 c_2) - \bar{\beta}_2 X_i - \bar{\beta}_2 c_2) = 0.$$

Simplificando

$$\sum_{i=1}^n (X_i + c_2)(Y_i + c_1 - \bar{Y} - c_1 + \bar{\beta}_2 c_2 - \bar{\beta}_2 X_i - \bar{\beta}_2 c_2) = 0,$$

se llega a la siguiente expresión

$$\sum_{i=1}^n (X_i + c_2)(Y_i - \bar{Y} + \bar{\beta}_2 \bar{X} - \bar{\beta}_2 X_i) = 0.$$

Desarrollando obtenemos

$$\sum_{i=1}^n (X_i Y_i - X_i \bar{Y} + \bar{\beta}_2 \bar{X} X_i - \bar{\beta}_2 X_i^2 + c_2 Y_i - c_2 \bar{Y} + \bar{\beta}_2 c_2 \bar{X} - \bar{\beta}_2 c_2 X_i) = 0.$$

Aplicando la suma a cada término

$$\sum_{i=1}^n X_i Y_i - n\bar{X} \cdot \bar{Y} + \bar{\beta}_2 n\bar{X}^2 - \bar{\beta}_2 \sum_{i=1}^n X_i^2 + c_2 n\bar{Y} - n\bar{Y}c_2 + \bar{\beta}_2 c_2 n\bar{X} - \bar{\beta}_2 c_2 n\bar{X}.$$

Simplificando y despejando para  $\bar{\beta}_2$  se llega a

$$\bar{\beta}_2 = \frac{\sum_{i=1}^n X_i Y_i - n\bar{X}\bar{Y}}{\sum_{i=1}^n X_i^2 - n\bar{X}^2} = \hat{\beta}_2.$$

Así,

$$\begin{aligned} \bar{\beta}_1 &= \bar{Y} + c_1 - \bar{\beta}_2 \bar{X} - \bar{\beta}_2 c_2 \\ &= \bar{Y} + c_1 - \hat{\beta}_2 \bar{X} - \hat{\beta}_2 c_2 \\ &= c_1 + \hat{\beta}_1 - \hat{\beta}_2 c_2. \end{aligned}$$

## 2.2. Análisis de los parámetros

Previamente ya se ha abordado el problema de la estimación de parámetros desde un enfoque puramente algebraico y siguiendo el método propuesto por MCO. Sin embargo, no nos hemos preguntado si este método es el más adecuado, o si existen otros métodos. Más aún, es de interés conocer las diferentes propiedades de los parámetros estimados  $\hat{\beta}$  (estimadores). En ese sentido, vamos a estudiar en la presente sección, la varianza y el valor esperado de los parámetros estimados. Esto va a permitirnos introducir el Teorema de Gauss Markov, el cual explica el interés de la estimación de los parámetros usando este método.

### 2.2.1. Insensatez de los parámetros

Recordemos que si  $A \in \mathcal{M}_{m \times n}$  y  $X : \Omega \rightarrow \mathbb{R}^n$ ,

$$\mathbb{E}[AX] = A\mathbb{E}[X]$$

$$\text{Var}(AX) = A\text{Var}(X)A^T.$$

Recordemos también que los parámetros estimados tienen la siguiente forma

$$\hat{\beta} = (X^T X)^{-1} X^T Y.$$

Luego, usando que  $Y = (X\beta + \varepsilon)$ ,

$$\begin{aligned}\hat{\beta} &= (X^T X)^{-1} X^T Y \\ &= (X^T X)^{-1} X^T (X\beta + \varepsilon) \\ &= (X^T X)^{-1} X^T (X\beta + \varepsilon) \\ &= (X^T X)^{-1} X^T X\beta + (X^T X)^{-1} X^T \varepsilon \\ &= \beta + (X^T X)^{-1} X^T \varepsilon.\end{aligned}$$

**Teorema 2.3.** Si  $\hat{\beta}$  es el vector de parámetros estimados vía MCO, entonces

$$\mathbb{E}[\hat{\beta}] = \beta.$$

*Demostración.* Usando el resultado anterior, aplicando las propiedades del valor esperado y usando que  $\mathbb{E}[\varepsilon] = 0$ , calculamos

$$\begin{aligned}\mathbb{E}[\hat{\beta}] &= \mathbb{E}[\beta + (X^T X)^{-1} X^T \varepsilon] \\ &= \mathbb{E}[\beta] + \mathbb{E}[(X^T X)^{-1} X^T \varepsilon] \\ &= \beta + (X^T X)^{-1} X^T \mathbb{E}[\varepsilon] \\ &= \beta + (X^T X)^{-1} X^T 0 \\ &= \beta.\end{aligned}$$

□

**Ejemplo 2.7.** Recordemos cuales son los parámetros estimados en el caso del modelo bivariado

$$\begin{aligned}\hat{\beta}_1 &= \frac{\sum_{i=1}^n X_i Y_i - n\bar{X}\bar{Y}}{\sum_{i=1}^n X_i^2 - n\bar{X}^2} = \frac{\sum_{i=1}^n (Y_i - \bar{Y})(X_i - \bar{X})}{\sum_{i=1}^n (X_i - \bar{X})^2} \\ \hat{\beta}_0 &= \bar{Y} - \hat{\beta}_1 \bar{X}.\end{aligned}$$

Veamos que  $\mathbb{E}[\hat{\beta}_0] = \beta_0$  y  $\mathbb{E}[\hat{\beta}_1] = \beta_1$

$$\begin{aligned}\hat{\beta}_1 &= \frac{\sum_{i=1}^n (Y_i - \bar{Y})(X_i - \bar{X})}{\sum_{i=1}^n (X_i - \bar{X})^2} \\ &= \frac{\sum_{i=1}^n [(X_i - \bar{X})Y_i - (X_i - \bar{X})\bar{Y}]}{\sum_{i=1}^n (X_i - \bar{X})^2} \\ &= \frac{\sum_{i=1}^n (X_i - \bar{X})Y_i}{\sum_{i=1}^n (X_i - \bar{X})^2} \\ &= \frac{\sum_{i=1}^n (X_i - \bar{X})(\beta_0 + \beta_1 X_i + \epsilon_i)}{\sum_{i=1}^n (X_i - \bar{X})^2} \\ &= \beta_0 \frac{\sum_{i=1}^n (X_i - \bar{X})}{\sum_{i=1}^n (X_i - \bar{X})^2} + \beta_1 \frac{\sum_{i=1}^n (X_i - \bar{X})X_i}{\sum_{i=1}^n (X_i - \bar{X})^2} + \frac{\sum_{i=1}^n (X_i - \bar{X})\epsilon_i}{\sum_{i=1}^n (X_i - \bar{X})^2}.\end{aligned}$$

Luego, aplicando la linealidad del valor esperado,

$$\begin{aligned}\mathbb{E}[\hat{\beta}_1] &= \mathbb{E}\left[\beta_1 \frac{\sum_{i=1}^n (X_i - \bar{X})X_i}{\sum_{i=1}^n (X_i - \bar{X})^2} + \frac{\sum_{i=1}^n (X_i - \bar{X})\epsilon_i}{\sum_{i=1}^n (X_i - \bar{X})^2}\right] \\ &= \beta_1 \frac{\sum_{i=1}^n \mathbb{E}[(X_i - \bar{X})X_i]}{\sum_{i=1}^n (X_i - \bar{X})^2} + \frac{\sum_{i=1}^n \mathbb{E}[X_i - \bar{X}]\mathbb{E}[\epsilon_i]}{\sum_{i=1}^n (X_i - \bar{X})^2} \\ &= \beta_1.\end{aligned}$$

Finalmente,

$$\mathbb{E}[\hat{\beta}_0] = \mathbb{E}[\bar{Y} - \hat{\beta}_1 \bar{X}] = \bar{Y} - \beta_1 \bar{X} = \beta_0.$$

A esta propiedad, i.e.,  $\mathbb{E}[\hat{\beta}] = \beta$  se conoce como insesgidez de los parámetros.

**Ejemplo 2.8.** Considere dos estimadores,  $\hat{\beta}$  y  $\bar{\beta}$ , construidos para estimar el parámetro poblacional  $\beta$ . El primer estimador  $\hat{\beta}$  es el de Mínimos Cuadrados Ordinarios (que cumple con todos los supuestos) y el segundo es otro estimador lineal e insesgado. Luego, se construye un tercer estimador  $\beta^*$  que es una combinación convexa de  $\hat{\beta}$  y  $\bar{\beta}$ ; es decir,  $\beta^* = \delta \hat{\beta} + (1 - \delta) \bar{\beta}$ , con  $\delta \in [0, 1]$ . Este estimador sigue siendo insesgado. En efecto

$$\begin{aligned}\mathbb{E}[\beta^*] &= \mathbb{E}[\delta \hat{\beta} + (1 - \delta) \bar{\beta}] \\ &= \mathbb{E}[\delta \hat{\beta}] + \mathbb{E}[(1 - \delta) \bar{\beta}] \\ &= \delta \mathbb{E}[\hat{\beta}] + (1 - \delta) \mathbb{E}[\bar{\beta}].\end{aligned}$$

Como el estimador MCO es insesgado, así como el estimador lineal  $\bar{\beta}$ ,  $\mathbb{E}[\hat{\beta}] = \beta$  y  $\mathbb{E}[\bar{\beta}] = \beta$ . Así

$$\delta \mathbb{E}[\hat{\beta}] + (1 - \delta) \mathbb{E}[\bar{\beta}] = \delta \beta + (1 - \delta) \beta = \beta.$$

Concluimos que  $\beta^*$  es insesgado. Más aún, esto nos permite concluir que la combinación convexa de estimadores insesgados siempre provee un estimador insesgado<sup>8</sup>.

### 2.2.2. Varianza de los parámetros estimados

Ya habiendo estudiado el valor esperado de los parámetros estimados por MCO, nos interesamos en la varianza de dichos parámetros.

**Teorema 2.4.** Si  $\hat{\beta}$  es el vector de parámetros estimados por MCO, entonces

$$\text{Var}(\hat{\beta}) = \sigma^2(X^T X)^{-1}.$$

*Demostración.*

$$\begin{aligned} \text{Var}(\hat{\beta}) &= \mathbb{E} \left[ (\hat{\beta} - \beta)(\hat{\beta} - \beta)^T \right] \\ &= \mathbb{E} \left[ (\beta + (X^T X)^{-1} X^T \varepsilon - \beta)(\beta + (X^T X)^{-1} X^T \varepsilon - \beta)^T \right] \\ &= \mathbb{E} \left[ ((X^T X)^{-1} X^T \varepsilon)((X^T X)^{-1} X^T \varepsilon)^T \right] \\ &= \mathbb{E} \left[ (X^T X)^{-1} X^T \varepsilon \varepsilon^T X (X^T X)^{-1} \right] \\ &= (X^T X)^{-1} X^T \mathbb{E}[\varepsilon \varepsilon^T] X (X^T X)^{-1}. \end{aligned}$$

Como

$$\mathbb{E}[\varepsilon \varepsilon^T] = \text{Var}(\varepsilon) - \mathbb{E}[\varepsilon] \mathbb{E}[\varepsilon^T] = \text{Var}(\varepsilon),$$

$$\begin{aligned} \text{Var}(\hat{\beta}) &= (X^T X)^{-1} X^T \sigma^2 I X (X^T X)^{-1} \\ &= \sigma^2 (X^T X)^{-1} X^T X (X^T X)^{-1} \\ &= \sigma^2 (X^T X)^{-1} (X^T X) (X^T X)^{-1} \\ &= \sigma^2 (X^T X)^{-1} I \\ &= \sigma^2 (X^T X)^{-1}. \end{aligned}$$

□

**Ejemplo 2.9.** En el caso de la regresión lineal simple,

$$\text{Var}(\hat{\beta}_0) = \sigma^2 \frac{\sum_{i=1}^n X_i^2}{n \sum_{i=1}^n (X_i - \bar{X})^2}, \quad \text{Var}(\hat{\beta}_1) = \frac{\sigma^2}{\sum_{i=1}^n (X_i - \bar{X})^2}.$$

<sup>8</sup>A nivel de conjunto, el conjunto de estimadores lineales insesgados es convexo.

Note que el parámetro  $\sigma^2$  sigue siendo a priori desconocido.

**Definición 2.2.1.** Se define el estimador de la varianza, ajustado por grados de libertad

$$\hat{\sigma}^2 = \frac{1}{n-k} \sum_{i=1}^n \hat{\epsilon}_i^2. \quad (2.3)$$

**Proposición 2.1.** El estimador definido en (2.3) es insesgado.

*Demostración.* Hacemos la prueba para  $n = 2$ .

$$\begin{aligned} \sum_{i=1}^n \hat{\epsilon}_i^2 &= \sum_{i=1}^n (Y_i - \hat{Y}_i)^2 \\ &= \sum_{i=1}^n (Y_i - \hat{\beta}_0 - \hat{\beta}_1 X_i)^2 \\ &= \sum_{i=1}^n (Y_i - \bar{Y} + \hat{\beta}_1 \bar{X} - \hat{\beta}_1 X_i)^2 \\ &= \sum_{i=1}^n ((Y_i - \bar{Y}) - \hat{\beta}_1 (X_i - \bar{X}))^2 \\ &= \sum_{i=1}^n (Y_i - \bar{Y})^2 + \hat{\beta}_1^2 \sum_{i=1}^n (X_i - \bar{X})^2 - 2\hat{\beta}_1 \sum_{i=1}^n (X_i - \bar{X})(Y_i - \bar{Y}) \\ &= \sum_{i=1}^n (Y_i - \bar{Y})^2 - \hat{\beta}_1^2 \sum_{i=1}^n (X_i - \bar{X})^2. \end{aligned}$$

Luego, nos enfocamos en  $\sum_{i=1}^n (Y_i - \bar{Y})^2$ .

$$\begin{aligned} \sum_{i=1}^n (Y_i - \bar{Y})^2 &= \sum_{i=1}^n \left( \beta_0 + \beta_1 X_i + \epsilon_i - \beta_0 - \beta_1 \bar{X} - \sum_{i=1}^n \epsilon_i \right)^2 \\ &= \sum_{i=1}^n (\beta_1 (X_i - \bar{X}) + (\epsilon_i - \bar{\epsilon}))^2 \\ &= \sum_{i=1}^n \beta_1^2 (X_i - \bar{X})^2 + \sum_{i=1}^n (\epsilon_i - \bar{\epsilon})^2 + 2\beta_1 \sum_{i=1}^n (X_i - \bar{X})(\epsilon_i - \bar{\epsilon}). \end{aligned}$$

De este modo,

$$\mathbb{E} \left[ \sum_{i=1}^n (Y_i - \bar{Y})^2 \right]^2 = \sum_{i=1}^n \beta_1^2 (X_i - \bar{X})^2 + \sum_{i=1}^n \mathbb{E}[\epsilon_i - \bar{\epsilon}]^2 + 2\beta_1 \sum_{i=1}^n (X_i - \bar{X}) \mathbb{E}[\epsilon_i - \bar{\epsilon}].$$

Dado que  $\mathbb{E}[\sum_{i=1}^n \epsilon_i] = 0$  y

$$\begin{aligned} \mathbb{E}[(\epsilon_i - \bar{\epsilon})^2] &= \mathbb{E}\left[\sum_{i=1}^n \epsilon_i^2 - n\bar{\epsilon}^2\right] \\ &= \sum_{i=1}^n \mathbb{E}[\epsilon_i^2] \\ &\quad - \frac{1}{n} \mathbb{E}\left[\sum_{i=1}^n \epsilon_i^2 + \sum_{i \neq j} \epsilon_i \epsilon_j\right] \\ &= n\sigma^2 - \sigma^2, \end{aligned}$$

se sigue que

$$\begin{aligned} \mathbb{E}\left[\sum_{i=1}^n \hat{\epsilon}_i^2\right] &= \beta_1 \sum_{i=1}^n (X_i - \bar{X})^2 + (n-1)\sigma^2 - \sigma^2 - \beta_1 \sum_{i=1}^n (X_i - \bar{X})^2 \\ &= (n-2)\sigma^2. \end{aligned}$$

□

**Teorema 2.5.** Para la estimación por MCO de  $Y_i = \beta_0 + \beta_1 X_i + \varepsilon_i$  para muestras grandes<sup>9</sup> o v.a. normales, se cumple que

- $\mathbb{E}[Y_i] = \beta_0 + \beta_1 X_i$ ,  $\text{Var}(Y_i) = \sigma^2 = \frac{\hat{\sigma}^2}{n-2}$ . Así,

$$Y_i \sim \mathcal{N}\left(\beta_0 + \beta_1 X_i, \frac{\hat{\sigma}^2}{n-2}\right).$$

- $\mathbb{E}[\hat{\beta}_0] = \beta_0$ ,  $\text{Var}(\hat{\beta}_0) = \frac{\hat{\sigma}^2 \sum_{i=1}^n X_i}{n \sum_{i=1}^n (X_i - \bar{X})^2}$ . Así,

$$\hat{\beta}_0 \sim \mathcal{N}\left(\beta_0, \frac{\hat{\sigma}^2 \sum_{i=1}^n X_i^2}{n \sum_{i=1}^n (X_i - \bar{X})^2}\right).$$

- $\mathbb{E}[\hat{\beta}_1] = \beta_1$ ,  $\text{Var}(\hat{\beta}_1) = \frac{\hat{\sigma}^2}{\sum_{i=1}^n (X_i - \bar{X})^2}$ . Así,

$$\hat{\beta}_1 \sim \mathcal{N}\left(\beta_1, \frac{\hat{\sigma}^2}{\sum_{i=1}^n (X_i - \bar{X})^2}\right).$$

*Demostración.* Se sigue de los teoremas 2.3 y 2.4. □

<sup>9</sup>Gracias al Teorema del Límite Central (Casella and Berger, 2002).

**Ejemplo 2.10.** Considere el siguiente modelo

$$Y_i = a_1 X_{1i} + a_2 X_{2i} + a_3 X_{3i} + \varepsilon_i$$

donde

$$X = \begin{pmatrix} 2 & 4 & 1 \\ 0 & -1 & 0 \\ 0 & 0 & 0 \\ -1 & 0 & 0 \\ -1 & 3 & 1 \\ 1 & -2 & 0 \\ 3 & -4 & 1 \\ -2 & 2 & 1 \\ 6 & 1 & 0 \end{pmatrix}, Y = \begin{pmatrix} 6 \\ 0 \\ -1 \\ -4 \\ -1 \\ 3 \\ 1 \\ -3 \\ 2 \end{pmatrix}.$$

Con esta información, podemos obtener los parámetros estimados y analizar las diferentes propiedades exhibidas previamente. Para calcular los coeficientes estimados, usamos la fórmula

$$\hat{\beta} = (X^T X)^{-1} X^T Y.$$

Usando un software de cálculo, obtenemos

$$X_{3 \times 9}^T X_{9 \times 3} = \begin{pmatrix} 56 & -7 & 2 \\ -7 & 51 & 5 \\ 2 & 5 & 4 \end{pmatrix}.$$

Luego

$$X_{3 \times 9}^T Y_{9 \times 1} = \begin{pmatrix} 41 \\ 7 \\ 3 \end{pmatrix}.$$

Así, finalmente,

$$\hat{\beta} = \begin{pmatrix} 56 & -7 & 2 \\ -7 & 51 & 5 \\ 2 & 5 & 4 \end{pmatrix}^{-1} \begin{pmatrix} 41 \\ 7 \\ 3 \end{pmatrix} = \begin{pmatrix} 0,7585 \\ 0,2337 \\ 0,0787 \end{pmatrix}.$$

La varianza estimada de los errores está dada por

$$\hat{\sigma}^2 = \frac{\hat{\varepsilon}^T \cdot \hat{\varepsilon}}{n - k}$$

con  $n$  el número de observaciones y  $k$  el número de restricciones. Acá  $n = 9$  y  $k = 3$ . Por ende,

$$\begin{aligned}\hat{\varepsilon}^T \cdot \hat{\varepsilon} &= (Y - \hat{Y})^T (Y - \hat{Y}) \\ &= (Y - X\hat{\beta})^T (Y - X\hat{\beta}) \\ &= \sum_{i=1}^9 \hat{\varepsilon}_i^2 = 44,0283.\end{aligned}$$

Así,

$$\hat{\sigma}^2 = \frac{44,0283}{9 - 3} = 7,3380.$$

Finalmente, con todos estos datos, podemos obtener la matriz de varianzas y covarianzas del vector de parámetros :

$$\begin{aligned}\text{Var}(\hat{\beta}) &= \hat{\sigma}^2 (X^T X)^{-1} \\ &= \begin{pmatrix} 0,1385 & 0,0294 & -0,1060 \\ 0,0294 & 0,1702 & -0,2275 \\ -0,1060 & -0,2275 & 2,1719 \end{pmatrix}.\end{aligned}$$

### 2.2.3. Teorema de Gauss-Markov

El siguiente resultado es de gran importancia desde un punto de vista teórico pues, explica las ventajas del uso de la estimación vía MCO. Primero requerimos de la siguiente definición.

**Definición 2.2.2.** Decimos que  $\hat{\theta}$  es el MEL (Mejor Estimador Lineal Insesgado) de  $\theta$  si

- $\hat{\theta}$  es insesgado, i.e.,  $\mathbb{E}[\hat{\theta}] = \theta$ .
- $\hat{\theta} = \sum_{i=1}^n c_i X_i$  (lineal).
- $\hat{\theta}$  es el estimador más eficiente entre todos los estimadores lineales e insesgados que existen de  $\theta$  (minimiza la varianza).

El MELI  $\hat{\theta}_{MELI}$  resuelve entonces

$$\mathcal{P} : \begin{cases} \text{mín} & \sum_{i=1}^n c_i^2 \text{Var}[X_i] \\ \text{s.a} : & \sum_{i=1}^n c_i \mathbb{E}[X_i] = \theta. \end{cases}$$

**Teorema 2.6. Teorema de Gauss Markov.** En el modelo de regresión lineal y bajo el cumplimiento de todos los supuestos; entre ellos recordemos

$$\begin{aligned}\mathbb{E}[\epsilon_i] &= 0 \\ \text{Var}(\epsilon_i) &= \sigma^2 < \infty \\ \text{Cov}(\epsilon_i, \epsilon_j) &= 0, \quad \forall i \neq j,\end{aligned}$$

el estimador  $\hat{\beta}$  obtenido a través de MCO es el Mejor Estimador Lineal Insesgado (MELI).

*Demostración.* Asumamos por contradicción que existe otro estimador lineal, que denotaremos  $\tilde{\beta}$ , lineal e insesgado, cuya varianza es mínima. Este es entonces de la siguiente forma

$$\tilde{\beta} = AY, \quad A = (X^T X)^{-1} X^T + C^T,$$

siendo  $C \in \mathcal{M}_{n \times k}$ , con al menos una entrada diferente de cero. De este modo,

$$\tilde{\beta} = (X^T X)^{-1} X^T Y + C^T Y.$$

Luego, usando la expresión para  $Y = X\beta + \epsilon$ , se tiene

$$\begin{aligned}\tilde{\beta} &= (X^T X)^{-1} X^T [X\beta + \epsilon] + C^T [X\beta + \epsilon] \\ &= (X^T X)^{-1} X^T X\beta + (X^T X)^{-1} X^T \epsilon + C^T X\beta + C^T \epsilon \\ &= \beta + (X^T X)^{-1} X^T \epsilon + C^T X\beta + C^T \epsilon.\end{aligned}$$

Luego, tomando el valor esperado, como  $\tilde{\beta}$  es insesgado,

$$\begin{aligned}\mathbb{E}[\tilde{\beta}] &= \beta + (X^T X)^{-1} X^T \mathbb{E}[\epsilon] + C^T X\beta + C^T \mathbb{E}[\epsilon] \\ &= \beta + C^T X\beta = \beta.\end{aligned}$$

Esto implica que  $C^T X = 0_{k \times k}$ . Luego, calculamos la varianza

$$\text{Var}(\tilde{\beta}) = \mathbb{E}[(\tilde{\beta} - \mathbb{E}[\tilde{\beta}])(\tilde{\beta} - \mathbb{E}[\tilde{\beta}])^T].$$

Usando que

$$(X^T X)^{-1} X^T (X\beta + \epsilon) + C^T (X\beta + \epsilon) - \beta = (X^T X)^{-1} X^T \epsilon + C^T \epsilon$$

se tiene

$$\begin{aligned}\text{Var}(\tilde{\beta}) &= \mathbb{E}[(X^T X)^{-1} X^T \varepsilon + C^T \varepsilon)((X^T X)^{-1} X^T \varepsilon + C^T \varepsilon)^T] \\ &= \mathbb{E}[(X^T X)^{-1} X^T \varepsilon + C^T \varepsilon)(\varepsilon^T X (X^T X)^{-1} + \varepsilon^T C)] \\ &= (X^T X)^{-1} X^T \mathbb{E}[\varepsilon \varepsilon^T] X (X^T X)^{-1} + (X^T X)^{-1} X^T \mathbb{E}[\varepsilon \varepsilon^T] C \\ &\quad + C^T \mathbb{E}[\varepsilon \varepsilon^T] X (X^T X)^{-1} + C^T \mathbb{E}[\varepsilon \varepsilon^T] C.\end{aligned}$$

Usando la igualdad  $\mathbb{E}[\varepsilon \varepsilon^T] = \sigma^2 I$ ,

$$\begin{aligned}\text{Var}(\tilde{\beta}) &= (X^T X)^{-1} X^T \sigma^2 I X (X^T X)^{-1} \\ &\quad + (X^T X)^{-1} X^T \sigma^2 \mathbb{I} C + C^T \sigma^2 \mathbb{I} X (X^T X)^{-1} + C^T \sigma^2 \mathbb{I} C. \\ &= \sigma^2 (X^T X)^{-1} X^T X (X^T X)^{-1} + \sigma^2 (X^T X)^{-1} (C^T X)^T \\ &\quad + \sigma^2 C^T C (X^T X)^{-1} + \sigma^2 C^T C.\end{aligned}$$

Luego, nuevamente, como  $C^T X = 0_{k \times k}$ , la expresión previa se simplifica, quedando

$$\text{Var}(\tilde{\beta}) = \sigma^2 [(X^T X)^{-1} + C^T C].$$

Como  $\text{Var}(\hat{\beta}) = \sigma^2 (X^T X)^{-1}$ , para que  $\tilde{\beta}$  tenga menor varianza, el término  $\sigma^2 C^T C$  tiene que ser negativo. Sin embargo, esto no es posible. Por ende,

$$\text{Var}(\hat{\beta}) < \text{Var}(\tilde{\beta}).$$

□

Teniendo ya el grueso de los fundamentos teóricos de la estimación vía MCO, podemos proceder al análisis de los resultados subyacentes a este método de estimación. En particular, vamos a analizar los residuos observados y la interpretación de los parámetros estimados.

## 2.3. Interpretaciones

### 2.3.1. Indicadores de ajuste global

**Definición 2.3.1.** Dadas las observaciones de la variable que quiere ser predecida  $Y_i$ , definimos la Suma de Cuadrados Totales como

$$SCT = \sum_{i=1}^n (Y_i - \bar{Y})^2.$$

**Definición 2.3.2.** Análogamente dados los valores de la variable de interés predecida  $\hat{Y}_i$ , definimos la Suma de Cuadrados Explicativos como

$$SCE = \sum_{i=1}^n (\hat{Y}_i - \bar{Y})^2.$$

**Definición 2.3.3.** Finalmente, dados los valores de la variable de interés predecida,  $\hat{Y}_i$ , y los valores originales de la variable de interés  $Y_i$ , definimos la Suma de Cuadrados Residuales como

$$SCR = \sum_{i=1}^n (Y_i - \hat{Y}_i)^2.$$

**Teorema 2.7.** Se cumple

$$SCT = SCE + SCR \quad (2.4)$$

$$\sum_{i=1}^n (Y_i - \bar{Y})^2 = \sum_{i=1}^n (\hat{Y}_i - \bar{Y})^2 + \sum_{i=1}^n (Y_i - \hat{Y}_i)^2.$$

*Demostración.* Partiendo de las definiciones,

$$\begin{aligned} \sum_{i=1}^n (Y_i - \bar{Y})^2 &= \sum_{i=1}^n (Y_i - \hat{Y}_i + \hat{Y}_i - \bar{Y})^2 \\ &= \sum_{i=1}^n (\hat{\varepsilon}_i + (\hat{Y}_i - \bar{Y}))^2 \\ &= \sum_{i=1}^n \hat{\varepsilon}_i^2 + 2 \underbrace{\sum_{i=1}^n (Y_i - \hat{Y}_i)(\hat{Y}_i - \bar{Y})}_{=0} + \sum_{i=1}^n (\hat{Y}_i - \bar{Y})^2 \\ &= \sum_{i=1}^n \hat{\varepsilon}_i^2 + \sum_{i=1}^n (\hat{Y}_i - \bar{Y})^2 \\ &= SCR + SCE. \end{aligned}$$

□

**Definición 2.3.4.** Usando las definiciones (2.3.1), (2.3.2) y (2.3.3), el  $R^2$  se establece mediante la siguiente ecuación,

$$R^2 = \frac{SCE}{SCT} = 1 - \frac{SCR}{SCT}. \quad (2.5)$$

En otras palabras, el coeficiente de determinación  $R^2$  es el ratio entre la variación explicada y la variación total, es decir, qué proporción de la variación de la dependiente es explicada por la(s) variable(s) explicativa(s).

Note que la ecuación (2.5) se deduce de la igualdad (2.4). En efecto

$$\begin{aligned} SCT &= SCE + SCR \\ \frac{SCT}{SCT} &= \frac{SCE}{SCT} + \frac{SCR}{SCT} \\ 1 - \frac{SCR}{SCT} &= \frac{SCE}{SCT} = R^2. \end{aligned}$$

De este modo, siguiendo la definición, si por ejemplo  $R^2 = 0,48$ , entonces, se está explicando el 48 % de la variabilidad de la variable dependiente en el conjunto de datos. Ciertamente, mientras mayor sea el  $R^2$ , menor es la fracción  $SCE/SCT$ , por lo que el ajuste es mejor. En efecto, si  $SCE/SCT \rightarrow 0$ ,  $SCT \gg SCE$ , i.e., la variabilidad de la predicción es considerablemente inferior a la variabilidad original de los datos, respecto a la media muestral. Por otro lado, si  $R^2 \rightarrow 0$ ,  $SCE \simeq SCT$ . O sea, la predicción tiene tanta variabilidad como los datos iniciales, por ello, el ajuste *bastante pobre*.

El coeficiente de determinación,  $R^2$ , pertenece en general al intervalo  $[0, 1]$ . No obstante, puede ocurrir que  $R^2 < 0$ , por ejemplo, cuando la especificación del modelo es incorrecta. En general, de aquí en adelante, tendremos  $R^2 \in [0, 1]$ . Por ende, el análisis se verá limitado a si  $R^2 \sim 0$  (mal ajuste), o si  $R^2 \sim 1$  (buen ajuste). Si bien no es claro que sea un buen predictor de ajuste, es muy frecuente que se incorpore en las investigaciones (Rau, 2016).

En general, el  $R^2$  es bajo (menor a 0.5) en datos de corte transversal en comparación con los datos que provienen de series de tiempo. Por ello, no se le debe dar tanto peso al tamaño del  $R^2$  cuando se realiza análisis con este tipo de datos. Por el contrario, cuando se trabaja con bases de datos temporales, se le suele dar énfasis al tamaño del  $R^2$ .

**Definición 2.3.5.** El coeficiente de correlación de Pearson es una medida de la dependencia lineal entre dos variables aleatorias cuantitativas. Se define matemáticamente de la siguiente manera

$$\rho_{XY} = \frac{\sigma_{XY}}{\sigma_X \sigma_Y} = \frac{\text{Cov}(X, Y)}{\sqrt{\text{Var}(X) \cdot \text{Var}(Y)}}.$$

En el caso de una muestra aleatoria de dos variables,  $\{X_1, \dots, X_n\}$  y  $\{Y_1, \dots, Y_n\}$

$$r_{XY} = \frac{\sum_{i=1}^n (X_i - \bar{X})(Y_i - \bar{Y})}{\sqrt{\sum_{i=1}^n (X_i - \bar{X})^2} \cdot \sqrt{\sum_{i=1}^n (Y_i - \bar{Y})^2}} \in [-1, 1].$$

El coeficiente de correlación de Pearson permite distinguir 5 casos de dependencia entre dos variables aleatorias.

1. Si  $r = 1$ , existe una correlación perfecta entre las 2 variables, cuando una de ellas aumenta, la otra también lo hace en proporción constante.
2. Si  $0 < r < 1$ , existe un correlación positiva. Mientras menor sea  $r$  ( $r \rightarrow 0$ ), más débil será esta correlación. Si una aumenta, la otra puede que también, pero la intensidad y certitud de esto es cada vez menor conforme  $r \rightarrow 0$ .
3. Si  $r = 0$ , no existe correlación alguna, si  $X$  aumenta,  $Y$  puede aumentar, como decrecer o mantenerse constante. No se puede realmente sacar conclusión alguna. Esto no significa que no exista relación alguna entre las v.a. y por ende que estas sean independiente. Puede ser simplemente que la relación sea no lineal.
4. Si  $-1 < r < 0$ , existe un correlación negativa. Mientras menor sea  $r$  en valor absoluto ( $r \rightarrow 0$ ), más débil será esta correlación. Si una aumenta, la otra puede disminuir, pero la intensidad y certitud de esto es cada vez menor conforme  $r \rightarrow 0$ .
5. Si  $r = -1$ , existe una correlación negativa perfecta. Esto señala una dependencia total entre las dos variables llamada relación inversa. Cuando una de ellas aumenta, la otra disminuye en proporción constante.

**Teorema 2.8.** El coeficiente de determinación  $R^2$  puede definirse en el caso más simple de regresión lineal vía el coeficiente de correlación de Pearson de la siguiente manera en el caso bivariado

$$R^2 = \rho_{XY}^2 = \frac{\sigma_{XY}^2}{\sigma_X^2 \sigma_Y^2} = \frac{\text{Cov}(X, Y)^2}{\text{Var}(X) \cdot \text{Var}(Y)}.$$

*Demostración.* Recordemos que  $\hat{Y} = \hat{\beta}_0 + \hat{\beta}_1 X$

$$\begin{aligned}
 R^2 &= \frac{SCE}{SCT} \\
 &= \frac{\text{Var}(\hat{Y})}{\text{Var}(Y)} \\
 &= \frac{\text{Var}(\hat{\beta}_0 + \hat{\beta}_1 X)}{\text{Var}(Y)} \\
 &= \frac{\hat{\beta}_1^2 \text{Var}(X)}{\text{Var}(Y)} \\
 &= \left( \frac{\sum_{i=1}^n (Y_i - \bar{Y})(X_i - \bar{X})}{\sum_{i=1}^n (X_i - \bar{X})^2} \right)^2 \frac{\text{Var}(X)}{\text{Var}(Y)} \\
 &= \left( \frac{\text{Cov}(X, Y)}{\text{Var}(X)} \right)^2 \frac{\text{Var}(X)}{\text{Var}(Y)} \\
 &= \frac{\text{Cov}(X, Y)^2}{\text{Var}(X) \cdot \text{Var}(Y)} \\
 &= \rho_{XY}^2.
 \end{aligned}$$

□

El coeficiente de determinación  $R^2$  puede obtenerse directamente haciendo uso de los parámetros estimados. En efecto,

$$R^2 = 1 - \frac{\hat{\varepsilon}^T \hat{\varepsilon}}{Y^T Y - n\bar{Y}^2} = 1 - \frac{(Y^T - \hat{\beta}^T X^T)(Y - X\hat{\beta})}{Y^T Y - n\bar{Y}^2}.$$

Desarrollando el producto,

$$R^2 = 1 - \frac{Y^T Y - Y^T X\hat{\beta} - \hat{\beta}^T X^T Y + \hat{\beta}^T X^T X\hat{\beta}}{Y^T Y - n\bar{Y}^2}.$$

Usando la expresión para  $\hat{\beta}$ ,

$$R^2 = 1 - \frac{Y^T Y - Y^T X\hat{\beta} - \hat{\beta}^T X^T Y + \hat{\beta}^T X^T X(X^T X)^{-1} X^T Y}{Y^T Y - n\bar{Y}^2}.$$

Simplificando, se obtiene finalmente

$$R^2 = 1 - \frac{Y^T Y - Y^T X\hat{\beta}}{Y^T Y - n\bar{Y}^2} = \frac{Y^T X\hat{\beta} - n\bar{Y}^2}{Y^T Y - n\bar{Y}^2}. \quad (2.6)$$

En el caso de la regresión lineal múltiple, es decir, el caso general, el coeficiente de determinación  $R^2$  puede verse comprometido por el uso excesivo de variables

explicativas. En efecto, al incluir cada vez más variables, ciertamente se va a reducir la variabilidad de los datos predichos, pero sacrificando el principio de parsimonia. Es por esto que se introduce una penalidad y se define el  $R^2$  ajustado.

**Definición 2.3.6.** Sea  $k$  el número de variables explicativas (sin incluir la constante),  $n$  el tamaño de la muestra y  $R^2$  el valor que se obtiene calculando (2.6). Entonces

$$R_{\text{ajustado}}^2 = 1 - \left[ \frac{n-1}{n-k-1} \right] (1 - R^2). \quad (2.7)$$

Teniendo en cuenta la constante,

$$R_{\text{ajustado con constante}}^2 = 1 - \left[ \frac{n-1}{n-k} \right] (1 - R^2). \quad (2.8)$$

De este modo, analizando la expresión (2.7), se deduce que si  $k$  aumenta, el ratio  $(n-1)/(n-k-1)$  también y por ende el  $R_{\text{ajustado}}^2$  disminuye. De esta manera, el  $R^2$  ajustado puede tomar valores menores o iguales al  $R^2$ . Una diferencia principal entre el  $R^2$  ajustado y el  $R^2$  está en que este último solo toma valores entre 0 y 1, mientras el  $R^2$  ajustado puede tomar valores negativos debido a que:

1. el número de variables explicativas se acerque al número de observaciones; es decir, no se cuenta con grados de libertad suficientes para la estimación de los parámetros. *Usualmente se recomienda un ratio de 10 observaciones por parámetro a estimar.*
2. el coeficiente de determinación es bajo: lo que indica que se esta incluyendo simplemente variables irrelevantes en el modelo de regresión.

### 2.3.2. Parámetros estimados

Ya hemos atacado el problema del ajuste global, evaluando el performance del modelo de manera general. Sin embargo, no nos hemos interesado aún sobre el significado de los parámetros estimados. En el caso más simple, en el que se tiene únicamente dos parámetros,

- $\hat{\beta}_0$  corresponde al valor predicho para  $Y_i$  cuando  $X_i = 0$ . Por ejemplo, si  $X_i$  mide los años de educación y  $Y_i$  el salario,  $\hat{\beta}_0$  será el salario promedio para personas sin educación.

- Por otro lado,  $\hat{\beta}_1$  es la pendiente de la recta de regresión muestral, nos indica en cuanto varia el valor predicho  $\hat{Y}_i$  ante el cambio de una unidad de  $X_i$ . Usando el ejemplo anterior,  $\hat{\beta}_1$  miden en cuanto se incrementa el salario por un año adicional de estudios.

Cuando se tiene más de un regresor, cada  $\hat{\beta}_k$ ,  $k > 0$ , mide en cuanto varia el valor predicho para  $Y$  ante el incremento de una unidad de  $X_k$ .

En caso la relación funcional no sea estrictamente lineal, como por ejemplo<sup>10</sup>,

$$\ln(w_i) = \sum_{j=0}^m \beta_j X_j + \varepsilon_i,$$

el significado de los  $\hat{\beta}_j$  ya no es el mismo debido a la presencia del  $\ln(\cdot)$ .

El análisis debe entonces tener en cuenta si los regresores son argumento de un logaritmo, o si la variable por predecir es argumento de un logaritmo. Se tiene entonces los siguientes 4 casos.

- Nivel - Nivel:  $X$  vs  $Y$ ,  $\Delta Y = \hat{\beta}_1 \Delta X$ . O sea, el incremento de una unidad en  $X$  hace incrementar  $Y$  en  $\hat{\beta}_1$  unidades.
- log-Nivel:  $\log X$  vs  $Y$ ,  $\Delta Y = \left(\frac{\hat{\beta}_1}{100}\right) \% \Delta X$ . O sea, el incremento en 1% en  $X$  Incrementa  $Y$  en  $\hat{\beta}_1$  unidades.
- Nivel-log:  $X$  vs  $\log Y$ ,  $\% \Delta Y = 100 \hat{\beta}_1 \Delta X$ . O sea,  $\hat{\beta}_1$  mide en que % incrementa  $Y$  ante el incremento de una unidad de  $X$ .
- log - log,  $\log X$  vs  $\log Y$ ,  $\% \Delta Y = \hat{\beta}_1 \% \Delta X$ . El coeficiente mide en que porcentaje incrementa  $Y$  ante incremento en 1% en  $X$ . En este sentido, los  $\beta_j$  representan elasticidades.

Note que el uso de logaritmos permite eliminar el efecto de las unidades en los coeficientes y se emplea cuando la variable es asimétrica. A menudo resulta útil calcular elasticidades utilizando derivación logarítmica. Un resultado importante en este contexto es presentado a continuación.

<sup>10</sup>Esta ecuación es conocida como la ecuación de Mincer.

**Teorema 2.9.** Si  $y = \varphi(x)$ , entonces

$$\varepsilon = \frac{dy/y}{dx/x} = \frac{dy}{dx} \frac{x}{y}.$$

Siempre que  $x, y > 0$ ,

$$\varepsilon = \frac{d \ln y}{d \ln x}.$$

*Demostración.* Aplicando la regla de la cadena,

$$\frac{d \ln y}{dx} = \frac{d \ln y}{d \ln x} \frac{d \ln x}{dx}.$$

Luego,

$$\frac{d \ln y}{d \ln x} \frac{1}{x} = \frac{1}{y} \frac{dy}{dx}.$$

O sea,

$$\frac{d \ln y}{d \ln x} = \frac{x}{y} \frac{dy}{dx}.$$

□

En este punto, una pregunta de interés es, ¿qué sucede si  $\hat{\beta}_j = 0$ ? Ciertamente si  $\hat{\beta}_0 = 0$ , significa que el promedio de los datos predichos será cero cuando  $X = 0$ . Sin embargo, si  $\hat{\beta}_j = 0$  para  $j \neq 0$ , ¿acaso la contribución marginal es de 0%? La siguiente sección estudia esto en detalle. Empezamos con ciertos conceptos fundamentales de inferencia estadística.

## 2.4. Pruebas de hipótesis

**Definición 2.4.1. Hipótesis estadística.** Una hipótesis estadística es cualquier enunciado que hagamos respecto a la distribución de una o más variables aleatorias.

**Definición 2.4.2.** Todo contraste de hipótesis sobre un parámetro unidimensional  $\theta$  posee la forma siguiente

$$H_0 : \theta = \theta_0, \text{ vs } H_1 : \theta = \begin{cases} \theta_1, & \text{simple} \\ > \theta_0, & \text{a cola derecha} \\ < \theta_0, & \text{a cola izquierda} \\ \neq \theta_0, & \text{a dos colas.} \end{cases}$$

**Definición 2.4.3.**

$$\alpha = \mathbb{P}(\text{Error tipo 1}) = \mathbb{P}(\text{Rechazar } H_0 | H_0 \text{ es verdadera})$$

$$\beta = \mathbb{P}(\text{Error tipo 2}) = \mathbb{P}(\text{Aceptar } H_0 | H_0 \text{ es falsa}).$$

Observe que estamos asumiendo por simplicidad que  $H_0$  toma la forma de una igualdad ( $\theta = \theta_0$ ). Con mayor generalidad podemos tener una hipótesis del tipo  $H_0 : \theta \in \Xi \subset \Theta$ . En tal situación

$$\alpha = \sup_{\theta \in \Xi} \mathbb{P}(\text{Rechazar } H_0).$$

Un buen contraste debería ser aquel por el cual  $\alpha$  y  $\beta$  son mínimos. Sin embargo, por lo general, ambas probabilidades están en relación inversamente proporcional. Es por ello que la convención es fijar una de estas medidas, específicamente  $\alpha$ , con el fin de encontrar el mejor contraste, definido con aquel que para este  $\alpha$  fijo, posea el menor  $\beta$ , o equivalentemente, la mayor potencia

$$\phi = \mathbb{P}(\text{Rechazar } H_0 | H_0 \text{ falsa}) = 1 - \beta.$$

**Ejemplo 2.11.** Veamos un caso concreto en el cual se hace uso de los tests de hipótesis. Más adelante, se estudiará el concepto de *heterocedasticidad de los errores*. Este concepto, hace referencia a un problema que puede presentarse en la naturaleza de los errores estimados  $\hat{\varepsilon}_i$  vía MCO. La hipótesis nula  $H_0$  en este caso, es que los errores no presentan heterocedasticidad. Una forma de evaluar esta hipótesis es aplicando un test estadístico conocido como el test de White<sup>11</sup>. En este último, se usa como estadístico la variable  $nR^2$ , la cual se distribuye según una  $\chi^2$  de parámetro  $q$ , correspondiente al número de regresores. Si  $nR^2 > \chi^2_{1-\alpha}(q)$  (siendo  $\alpha$  un nivel de significancia fijado previamente), se rechaza la hipótesis nula. Gráficamente, la figura (2.1) nos muestra en qué consiste el test de hipótesis, teniendo en cuenta una regresión con 2 variables base y 3 variables adicionales (interacciones); de ahí  $q = 5$ .

<sup>11</sup>Este será estudiado con detenimiento más adelante en el capítulo 8.

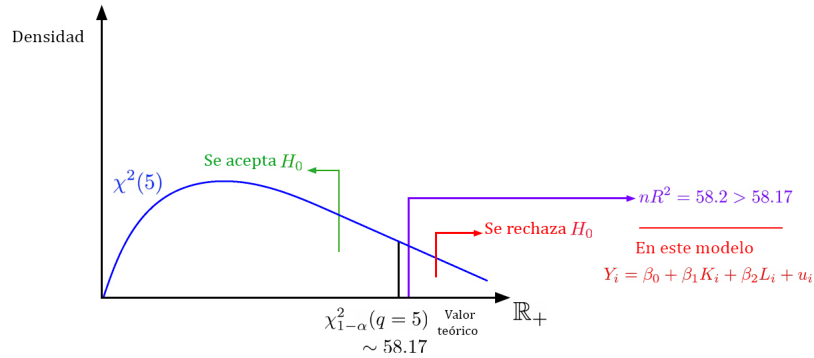


Figura 2.1 Gráfica del examen estadístico.

Note que el valor del estadístico (v.a. de la muestra)  $nR^2 \in \mathbb{R}$  se obtiene previamente y simplemente se compara con el valor de tablar de  $\chi^2_{1-\alpha}(5)$ , siendo  $\alpha = 0,05$  (o sea, significancia al 95 %) <sup>12</sup>.

**Definición 2.4.4.** Definimos el  $F$  estadístico

$$F = \frac{R^2/k}{(1 - R^2)/(n - k - 1)}$$

dónde  $n$  es el número de observaciones y  $k$  el número de parámetros sin incluir la constante, como el ratio entre cuanto explican las variables incluidas en el modelo y lo que explica los errores.

La hipótesis nula  $H_0$  de este estadístico es

$$\hat{\beta}_2 = \hat{\beta}_3 = \dots = \hat{\beta}_k = 0.$$

Si  $F > F_{\alpha,n,n-k-1}$ , con  $\alpha$  el nivel de significancia, rechazamos la hipótesis nula  $H_0$ . Si  $F \leq F_{\alpha,n,n-k-1}$  se acepta la hipótesis nula. En otras palabras, lo que se busca establecer mediante el estadístico  $F$  es cuanto explican los regresores en conjunto. También es posible evaluar la contribución marginal de cada variable individualmente usando el estadístico  $t$  (test  $t$  de Student) <sup>13</sup>. El siguiente ejemplo permitirá afianzar estas nociones.

<sup>12</sup>Si fuese un examen de dos colas,  $\alpha = 0,025$ .

<sup>13</sup>Para mayor información sobre los tests estadístico ver (Casella and Berger, 2002).

**Ejemplo 2.12.** Mediante STATA, en el siguiente cuadro presentamos los resultados de una regresión lineal simple en la que se incluyen dos regresores, «*El índice del tipo de cambio real bilateral*» y el «*PBI de USA*», para estimar «*Las exportaciones no tradicionales de Perú en millones de dólares*».

```
. reg xnt itcrb07 pbiusa
```

Source	SS	df	MS	Number of obs	=	76
Model	66739802.7	2	33369901.3	F(2, 73)	=	900.79
Residual	2704289.24	73	37045.0581	Prob > F	=	0.0000
				R-squared	=	0.9611
				Adj R-squared	=	0.9600
Total	69444091.9	75	925921.226	Root MSE	=	192.47

xnt	Coef.	Std. Err.	t	P> t	[95% Conf. Interval]
itcrb07	-32.63971	3.290984	-9.92	0.000	-39.19863 -26.08079
pbiusa	.2228377	.0109732	20.31	0.000	.2009681 .2447073
_cons	1607.755	447.0523	3.60	0.001	716.7809 2498.729

Figura 2.2 Regresión nivel-nivel, exportaciones (xnt) vs tipo de cambio bilateral (itcrb07) y PBI de USA.

La figura (2.2) nos indica un coeficiente de determinación  $R^2$  de 0.9611 y un  $R^2$  ajustado de 0.9600. Debido a que los datos corresponden a una serie de tiempo, es importante analizar si  $R^2 \sim 1$ . De ser el caso, podemos afirmar que globalmente el modelo cumple su función explicativa. Más aún, se logra explicar aproximadamente el 96% de la variabilidad de los datos. Luego, la probabilidad que los  $\hat{\beta}_j$  sean iguales a cero es prácticamente nula. Además, uno puede verificar con el valor de tablas que  $F > F_{\alpha, n, n-k-1}$ , siendo  $n = 76$  y  $k = 2$ . Con esto en mente, procedemos a analizar individualmente los coeficientes  $\beta_j$ . Tal y como puede verse en la tabla.

1. Si el tipo de cambio bilateral (itcrb07) sube en una unidad, las exportaciones caen en 32 millones de dólares.
2. Por otro lado, si el PBI de los estados unidos se incrementa en 1 billón de dólares, las exportaciones se incrementarán en 0.22 millones de dólares.

Ambas interpretaciones son estadísticamente significativas pues el estadístico  $t$  es mayor en valor absoluto al valor de tablas para un nivel  $\alpha = 0,05$ . Recordemos que la  $H_0$  es en este caso  $\beta_1 = 0$  y  $\beta_2 = 0$  (independientemente). Si  $t \leq t_\alpha$ , se acepta la hipótesis, lo cual implica que el parámetro puede ser igual a cero, i.e., no explicativo. Otra forma de

percatarse que los coeficientes son significativos es analizando el intervalo de confianza. Este intervalo, establece con un  $1 - \alpha$  de probabilidad, un rango de valores para  $\beta_j$ . En este caso, al 95 %, observamos que ninguno toma el valor de cero pues  $0 \notin IC_{\beta_j}$ . En conclusión, para establecer la significancia del modelo a nivel global, analizamos el  $R^2$ ,  $R^2$  ajustado y el  $F$  de Fisher. Enseguida, pasamos al análisis regresor por regresor. En dicho análisis, se evalúa si el  $t$  es menor al valor de tablas, si la probabilidad de la hipótesis nula ( $\beta_j = 0$ ) es mayor a 0.05, o si el 0 pertenece al intervalo de confianza. Finalmente, luego de descartar regresores no explicativos, se procede con la interpretación de los parámetros según la especificación del modelo (nivel o logaritmos). Por ejemplo, en (2.2), las escalas son nivel-nivel. En ese sentido, una unidad adicional en  $X_j$  representa un incremento de  $\beta_j$  unidades en  $Y_j$ . Sin embargo, si se tiene una especificación en logaritmos, como por ejemplo

$$\ln(\text{xnt})_t = \beta_0 + \beta_1 \ln(\text{itrbo7})_t + \ln(\text{pbiusa})_t + u_t, \tag{2.9}$$

la interpretación cambia. La siguiente tabla , corresponde a dicha regresión, (2.9).

```
. reg lnxnt lnitcrm07 lnpiusa
```

Source	SS	df	MS	Number of obs	=	76
Model	28.9368316	2	14.4684158	F(2, 73)	=	494.75
Residual	2.13482357	73	.029244158	Prob > F	=	0.0000
				R-squared	=	0.9313
				Adj R-squared	=	0.9294
Total	31.0716552	75	.414288736	Root MSE	=	.17101

lnxnt	Coef.	Std. Err.	t	P> t	[95% Conf. Interval]
lnitcrm07	-.8589906	.5951755	-1.44	0.153	-2.045174 .3271924
lnpiusa	2.934381	.1078397	27.21	0.000	2.719457 3.149305
_cons	-16.89463	3.310409	-5.10	0.000	-23.49227 -10.29699

Figura 2.3 Regresión log-log, exportaciones vs tipo de cambio bilateral y PBI de USA.

En este caso, el  $R^2$  y  $R^2$  ajustado siguen indicando una bondad de ajuste globalmente positiva. Al rededor del 90 % de la variabilidad de los datos es explicada. Tanto globalmente como individualmente el modelo es también estadísticamente significativo pues  $\mathbb{P} > F$  (probabilidad de la hipótesis nula en relación al estadístico de Fisher ) y  $\mathbb{P} > t$  (probabilidad de la hipótesis nula en relación al estadístico  $t$  de Student) son prácticamente nulas. El cambio más notorio es el de los valores en los parámetros estimados. Esto es sin embargo coherente con el hecho que se han tomado

logaritmos en (2.9), y por ende, la contribución ya no es marginal pero más bien porcentual. Leemos que,

1. Si el tipo de cambio bilateral (itcrb07) sube en 1%, las exportaciones caen en 0.85% .
2. Si el PBI de USA se incrementa en 1%, las exportaciones se incrementarán en 2,9% por ciento.

## 2.5. Restricciones lineales

En esta última sección, nuestro objetivo será analizar relaciones funcionales lineales entre los parámetros. Recordemos que los tests vistos previamente han sido  $H_0 : \beta_j = 0$  (para cada  $j$  independientemente) y  $H_0 : \beta_j = 0$  (para cada  $j$  en conjunto). Sin embargo, considere por ejemplo la siguiente regresión especificación

$$Y_i = AK_i^\alpha L_i^\beta e^{\varepsilon_i}, \quad (2.10)$$

que es de hecho equivalente a

$$\ln Y_i = \beta_0 + \beta_1 \ln K_i + \beta_2 \ln L_i + \varepsilon_i. \quad (2.11)$$

Queremos verificar  $\hat{\beta}_1 + \hat{\beta}_2 = 1$ . Note que (2.10) corresponde a una forma funcional *Cobb-Douglas*, i.e., se asume que la producción es igual a  $f(K, L) = AK^\alpha L^\beta$ , y se multiplica por un término estocástico  $e^\varepsilon$ ,  $\varepsilon \sim N(0, \sigma^2)$ . Sacando logaritmos a la ecuación 2.10 se obtiene (2.11); una forma lineal en las variables y se entiende que, un incremento de 1% en la cantidad de uno de los factores de producción genera un incremento de  $\beta\%$  en el nivel de producción  $Y$  (donde  $\beta$  es el parámetro asociado al regresor). La hipótesis que se busca contrastar tiene como objetivo analizar los rendimientos a escala que presenta la función de producción implícitamente definida. En este caso, analizar si  $f$  tiene rendimientos a escala constantes, es decir

$$f(\lambda K, \lambda L) = \lambda f(K, L), \quad \forall \lambda > 0.$$

A continuación analizamos en detalle la técnica econométrica que permite incorporar restricciones.

**Definición 2.5.1.** Definimos la matriz de restricciones  $R$  como la matriz del sistema  $R_{q \times k} \beta_{k \times 1} = r_{q \times 1}$ , siendo  $r$  un vector fijo y  $q$  siendo el número de restricciones. Esta matriz es la que define las restricciones lineales.

**Ejemplo 2.13.** En el caso presentado previamente (2.10), teníamos

$$\hat{\beta}_1 + \hat{\beta}_2 = 1.$$

Por ende,  $R = (1, 1)^T$ ,  $r = 1$  y  $q = 1$ .

Recordemos que  $\hat{\beta} \sim N(\beta, \sigma^2(X^T X)^{-1})$ . A partir de esto se deduce que  $R\hat{\beta} \sim N(R\beta = r, R\sigma^2(X^T X)^{-1}R^T)$ . Más aún

$$(R\hat{\beta} - r)^T [\sigma^2 R(X^T X)^{-1} R^T]^{-1} (R\hat{\beta} - r) \sim \chi^2(q).$$

Usando la relación<sup>14</sup>

$$\hat{\sigma}^2 = \frac{q}{n - k - 1} \hat{\varepsilon}^T \hat{\varepsilon}$$

tenemos

$$(R\hat{\beta} - r)^T \left[ \frac{q}{n - k - 1} \hat{\varepsilon}^T \hat{\varepsilon} R(X^T X)^{-1} R^T \right]^{-1} (R\hat{\beta} - r) \sim F_{q, n-k-1}.$$

Reemplazando con

$$\hat{\varepsilon}^T \hat{\varepsilon} = (Y - X\hat{\beta})^T (Y - X\hat{\beta}) = Y^T Y - Y^T X\hat{\beta},$$

finalmente

$$(R\hat{\beta} - r)^T \left[ \frac{q}{n - k - 1} (Y^T Y - Y^T X\hat{\beta}) R(X^T X)^{-1} R^T \right]^{-1} (R\hat{\beta} - r) \sim F_{q, n-k-1}. \quad (2.12)$$

La ecuación 2.12 nos permite testear hipótesis reemplazando  $r$ .

- Si el  $F$  calculado es mayor que el valor crítico  $F_{\alpha, q, n-k-1}$  rechazamos  $H_0$ . Esto significa que hay suficiente evidencia estadística para concluir que las restricciones  $R\beta = r$  no son verdaderas. En otras palabras, las restricciones impuestas por  $H_0$  no se ajustan bien a los datos.
- Si  $F$  calculado es menor o igual al valor crítico  $F_{\alpha, q, n-k-1}$ , no rechazamos  $H_0$ . Esto significa que no hay suficiente evidencia estadística para rechazar las restricciones  $R\beta = r$ . En otras palabras, las restricciones impuestas por  $H_0$  son consistentes con los datos.

---

<sup>14</sup>Si incluimos la constante en el conteo  $n - k$ .

**Ejemplo 2.14.** Se tiene el siguiente modelo de regresión

$$Y_i = \beta_0 + \beta_1 X_{1i} + \beta_2 X_{2i} + \varepsilon_i.$$

A partir de este último, se obtienen las matrices

$$X = \begin{pmatrix} 1 & 2 & 4 \\ 1 & 0 & -1 \\ 1 & 0 & 0 \\ 1 & -1 & 1 \\ 1 & -1 & 3 \end{pmatrix}, \quad Y = \begin{pmatrix} 6 \\ 0 \\ -1 \\ -4 \\ -1 \end{pmatrix}.$$

El objetivo es contrastar las siguientes hipótesis:

$$H_0 : \beta_1 = 0, \quad \beta_2 + \beta_3 = 1.$$

Para esto, necesitamos calcular

$$(R\hat{\beta} - r)^T \left[ \frac{q}{n - k - 1} \hat{\varepsilon}^T \hat{\varepsilon} R(X^T X)^{-1} R^T \right]^{-1} (R\hat{\beta} - r) \sim F_{q, n-k-1}.$$

Primero, obtenemos  $\hat{\beta}$ ,

$$\begin{aligned} \hat{\beta} &= (X^T X)^{-1} X^T Y \\ &= \left[ \begin{pmatrix} 1 & 1 & 1 & 1 & 1 \\ 2 & 0 & 0 & -1 & -1 \\ 4 & -1 & 0 & 1 & 3 \end{pmatrix} \cdot \begin{pmatrix} 1 & 2 & 4 \\ 1 & 0 & -1 \\ 1 & 0 & 0 \\ 1 & -1 & 1 \\ 1 & -1 & 3 \end{pmatrix} \right]^{-1} \begin{pmatrix} 1 & 1 & 1 & 1 & 1 \\ 2 & 0 & 0 & -1 & -1 \\ 4 & -1 & 0 & 1 & 3 \end{pmatrix} \begin{pmatrix} 6 \\ 0 \\ -1 \\ -4 \\ -1 \end{pmatrix} \\ &= \begin{pmatrix} -\frac{287}{428} & \frac{269}{107} & \frac{205}{428} \end{pmatrix}^T. \end{aligned}$$

Luego,

$$\begin{aligned} \text{Var}(\hat{\varepsilon}) &= \frac{\hat{\varepsilon}^T \hat{\varepsilon}}{n - k} \\ &= \frac{(Y - X\hat{\beta})^T (Y - X\hat{\beta})}{n - k} \\ &= \frac{(Y - X\hat{\beta})^T (Y - X\hat{\beta})}{5 - 3}. \end{aligned}$$

Reemplazando con

$$Y - X\hat{\alpha} = \begin{pmatrix} 6 \\ 0 \\ -1 \\ -4 \\ -1 \end{pmatrix} - \begin{pmatrix} 1 & 2 & 4 \\ 1 & 0 & -1 \\ 1 & 0 & 0 \\ 1 & -1 & 1 \\ 1 & -1 & 3 \end{pmatrix} \begin{pmatrix} -287/428 \\ 269/107 \\ 205/428 \end{pmatrix}$$

y despejando  $\hat{\varepsilon}^T \hat{\varepsilon}$ , se obtiene

$$\hat{\varepsilon}^T \hat{\varepsilon} \simeq 2,64.$$

Finalmente,

$$R\hat{\beta} = \begin{pmatrix} 1 & 0 & 0 \\ 0 & 1 & 1 \end{pmatrix} \begin{pmatrix} \hat{\beta}_1 \\ \hat{\beta}_2 \\ \hat{\beta}_3 \end{pmatrix} = \begin{pmatrix} 0 \\ 1 \end{pmatrix} = r.$$

Así, reemplazando con los valores numéricos ya obtenidos, se tiene que  $F \simeq 8,40$ .

### 2.5.1. Intervalos de confianza y $t$ -Student

Cuando  $q = 1$ , denotando  $\theta = R\beta = r$  y  $\hat{\theta} = R\hat{\beta}$ <sup>15</sup>

$$\frac{\hat{\theta} - \theta}{\sqrt{s^2 R(X^T X)^{-1} R^T}} \sim t_{n-k}.$$

Luego, si deseamos un intervalo del  $(1 - \alpha)\%$  de confianza para el verdadero valor del parámetro  $\theta$ , es suficiente con obtener las tablas de  $t_{n-1}^{\frac{1-\alpha}{2}}$  e invertir el test. Esto es

$$\begin{aligned} 1 - \alpha &= \mathbb{P} \left\{ t_{n-k}^{\alpha/2} \leq \frac{\hat{\theta} - \theta}{\sqrt{s^2 R(X^T X)^{-1} R^T}} \leq t_{n-k}^{\frac{1-\alpha}{2}} \right\} \\ &= \mathbb{P} \left\{ -t_{n-k}^{\frac{1-\alpha}{2}} \leq \frac{\hat{\theta} - \theta}{\sqrt{s^2 R(X^T X)^{-1} R^T}} \leq t_{n-k}^{\frac{1-\alpha}{2}} \right\} \\ &= \mathbb{P} \left\{ \theta \in \left[ \hat{\theta} \pm t_{n-k}^{\frac{1-\alpha}{2}} \sqrt{s^2 R(X^T X)^{-1} R^T} \right] \right\}. \end{aligned}$$

Recordemos que la distribución  $t$  de Student se utiliza cuando se estima la media de una población normal con una muestra pequeña y se desconoce la varianza poblacional. La distribución  $t$  de Student con  $\nu$  grados de libertad, denotada  $t_\nu$ , es la distribución

<sup>15</sup>Si estamos considerando el modelo con  $k$  parámetros estimados incluyendo la constante, los grados de libertad son  $n - k$ . Cuando no se considera la constante, usamos  $n - k - 1$ .

de la variable aleatoria  $T = \frac{Z}{\sqrt{U/\nu}}$  donde  $Z \sim N(0, 1)$  es una variable aleatoria que sigue una distribución normal estándar,  $U \sim \chi^2(\nu)$  es una variable aleatoria que sigue una distribución chi-cuadrado con  $\nu$  grados de libertad, y  $Z$  y  $U$  son independientes. La función de densidad de probabilidad de la distribución  $t$  de Student con  $\nu$  grados de libertad es

$$f(t; \nu) = \frac{\Gamma\left(\frac{\nu+1}{2}\right)}{\sqrt{\nu\pi} \Gamma\left(\frac{\nu}{2}\right)} \left(1 + \frac{t^2}{\nu}\right)^{-\frac{\nu+1}{2}}$$

donde  $\Gamma$  es la función gamma (Casella and Berger, 2002). La distribución  $t$  de Student es simétrica respecto a  $t = 0$ . Para  $\nu > 1$ ,  $\mathbb{E}[T] = 0$ . Para  $\nu > 2$ ,  $\text{Var}(T) = \frac{\nu}{\nu-2}$ . Para encontrar el valor crítico  $t_{n-k}^{\frac{1-\alpha}{2}}$ , buscamos el punto  $t$  en el cual la integral acumulada de la densidad de probabilidad desde  $-\infty$  hasta  $t$  es igual a  $\frac{1-\alpha}{2}$ :

$$\int_{-\infty}^{t_{n-k}^{\frac{1-\alpha}{2}}} f(t; n-k) dt = \frac{1-\alpha}{2}.$$

Aquí,  $f(t; n-k)$  es la función de densidad de probabilidad de la distribución  $t$  de Student con  $n-k$  grados de libertad.

### 2.5.2. Método de los residuos

Una alternativa para contrastar una serie de restricciones lineales donde no se utilizan los coeficientes estimados  $\hat{\beta}$  es usar la suma de residuos al cuadrado del modelo estimado dos veces. En primer lugar, se estima el modelo sin las restricciones lineales y luego el modelo con las restricciones lineales

$$F_{q,n-k-1} = \frac{\frac{SRC_{CR} - SRC_{SR}}{q}}{\frac{SRC_{SR}}{n-k-1}}$$

con  $q$  el número de restricciones lineales,  $n$  el número de observaciones,  $k$  el número de variables explicativas sin incluir la constante,  $SRC_{CR}$  la suma de cuadrados con restricciones y  $SRC_{SR}$  la suma de cuadrados sin restricciones.

Cuando se asume que todos los coeficientes estimados de las explicativas son iguales a cero [ $q = k$ ], tenemos en dicho caso el siguiente resultado

$$F_{q,n-k} = \frac{\frac{SRC_{CR} - SRC_{SR}}{k}}{\frac{SRC_{SR}}{n-k-1}} = \frac{\frac{SCE}{k}}{\frac{SRC_{SR}}{n-k-1}} = \frac{R^2/k}{(1-R^2)/(n-k-1)}. \quad (2.13)$$

Retomando el caso del ejemplo 2.10, usando (2.13), y teniendo en cuenta la ausencia de la constante en la especificación, se obtiene

$$F_{k,n-k} = \frac{\frac{SRC_{CR} - SRC_{SR}}{k}}{\frac{SRC_{SR}}{n-k}} \simeq 1,5.$$

- Si  $F_{k,n-k-1} > F_{\text{crítico}}$ , rechazamos la hipótesis nula de que todas las restricciones son válidas ( $\beta_1 = \beta_2 = \dots = \beta_k = 0$ ).
- Si  $F_{k,n-k-1} \leq F_{\text{crítico}}$ , no rechazamos la hipótesis nula, concluyendo que las restricciones son consistentes con los datos.

La siguiente sub-sección termina el análisis del modelo MCO en presencia de restricciones. En concreto, derivamos el estimado en función de la matriz  $R$  y el vector  $r$ .

### 2.5.3. Estimador con restricciones

El problema de optimización en presencia de restricciones lineales corresponde analíticamente a

$$\mathcal{P}_R : \begin{cases} \text{mín}_\beta & (Y - X\beta)^T(Y - X\beta) \\ \text{s.a:} & R\beta = r. \end{cases}$$

Luego, para resolver  $\mathcal{P}_R$ , se plantea el Lagrangiano del problema

$$L(\beta, \lambda) = (Y - X\beta)^T(Y - X\beta) + \lambda(R\beta - r).$$

Mediante las condiciones de primer orden, se obtiene el siguiente par de ecuaciones

$$\begin{aligned} \frac{\partial L(\beta, \lambda)}{\partial \beta} &= -2X^T Y + 2X^T X\beta + 2\lambda^T R = 0 \\ \frac{\partial L(\beta, \lambda)}{\partial \lambda} &= R\beta - r = 0. \end{aligned}$$

Finalmente, luego de ciertas manipulaciones algebraicas,

$$\begin{aligned} \hat{\beta}^{LRS} &= (X^T X)^{-1} X^T Y - (X^T X)^{-1} R^T (R(X^T X)R^T)^{-1} (R(X^T X)^{-1} X^T Y - r) \\ &= \hat{\beta}^{MCO} - (X^T X)^{-1} R^T (R(X^T X)R^T)^{-1} (R\hat{\beta}^{MCO} - r). \end{aligned}$$

Terminamos este capítulo con un estudio de la teoría asintótica del estimador MCO.

## 2.6. Propiedades asintóticas

Para abordar las propiedades asintóticas del estimador MCO, debemos abordar algunos resultados preliminares. Algunos son detallados en el apéndice de teoría de la probabilidad.

**Teorema 2.10. Cramer-Wald.** Si  $\sum_{i=1}^k \lambda_i X_n^i \rightarrow \sum_{i=1}^k \lambda_i X^i$  en distribución, entonces  $X_n \rightarrow X$  en distribución.

**Teorema 2.11. Teorema del Límite Central.** Sea  $\bar{X}_n$  el promedio muestral de  $\{X_i\}_{i=1, \dots, n}$  con  $\mathbb{E}[X_i] = \mu$  y  $\text{Var}(X_i) = \Sigma$ . Entonces,

$$\sqrt{n}(\bar{X}_n - \mu) \xrightarrow{d} N(0, \Sigma).$$

**Teorema 2.12.** Si  $X_n \rightarrow x_0$  en probabilidad y  $g : \mathbb{R}^k \rightarrow \mathbb{R}$  es continua en  $x_0$ , entonces

$$g(X_n) \xrightarrow{\mathbb{P}} g(x_0).$$

**Teorema 2.13. Slutsky.** Si  $X_n \sim Y_n$ , con  $X_n, Y_n : \Omega \rightarrow \mathbb{R}^k$  y  $X_n \xrightarrow{\mathbb{P}} x_0$  y  $Y_n \xrightarrow{d} Y$ , entonces

1.  $X_n + Y_n \xrightarrow{d} x_0 + Y$ .
2.  $X_n^T Y_n \xrightarrow{d} x_0^T Y$ .

**Teorema 2.14. Mann-Wald.** Si  $X_n \xrightarrow{d} X$  y  $g(x)$  es continua para todo  $x$ , entonces

$$g(X_n) \xrightarrow{d} g(X).$$

**Teorema 2.15. Método Delta.** Sea  $\theta_n$  un vector aleatorio asintóticamente normal (convergencia en probabilidad) con  $\sqrt{n}(\theta_n - \theta_0) \xrightarrow{d} N(0, \Sigma)$  y  $g(\theta) \in C^1(V_{\theta_0})$ <sup>16</sup> con Jacobiano

$$G_0 = \left. \frac{\partial g}{\partial \theta} \right|_{\theta=\theta_0}.$$

Entonces,

$$\sqrt{n}(g(\theta_n) - g(\theta_0)) \xrightarrow{d} N(0, G_0 \Sigma G_0^T).$$

<sup>16</sup>Donde  $V_{\theta_0}$  es una vecindad de  $\theta_0$ .

*Demostración.* De acuerdo con el Teorema del Valor medio, existe  $\tilde{\theta}_n \in [\theta_0, \theta_n]$  tal que

$$\begin{aligned} (g(\theta_n) - g(\theta_0)) &= \frac{\partial g}{\partial \theta} \Big|_{\theta=\tilde{\theta}_n} (\theta_n - \theta_0) \\ \sqrt{n}(g(\theta_n) - g(\theta_0)) &= \frac{\partial g}{\partial \theta} \Big|_{\theta=\tilde{\theta}_n} \sqrt{n}(\theta_n - \theta_0). \end{aligned}$$

Dado que  $\theta_n \xrightarrow{\mathbb{P}} \theta_0$ ,  $\tilde{\theta}_n \xrightarrow{\mathbb{P}} \theta_0$ . Luego, por el teorema 2.12,

$$\frac{\partial g}{\partial \theta} \Big|_{\theta=\tilde{\theta}_n} \xrightarrow{\mathbb{P}} G_0.$$

Por otro lado,  $\sqrt{n}(\theta_n - \theta_0) \xrightarrow{d} N(0, \Sigma)$ . Luego, por el teorema 2.13,

$$\begin{aligned} \sqrt{n}(g(\theta_n) - g(\theta_0)) &= \frac{\partial g}{\partial \theta} \Big|_{\theta=\tilde{\theta}_n} \sqrt{n}(\tilde{\theta}_n - \theta_0) \\ &\rightarrow G_0 N(0, \Sigma) \\ &= N(0, G_0 \Sigma G_0^T). \end{aligned}$$

□

Recordemos que

$$\hat{\beta} = (X^T X)^{-1} X^T Y = \left( \frac{1}{n} \sum_{i=1}^n X_i^T X_i \right) \left( \frac{1}{n} \sum_{i=1}^n X_i^T Y_i \right).$$

Ahora bien,  $Y_i = X_i^T \beta + \epsilon_i$ ,

$$\begin{aligned} \hat{\beta} &= \left( \frac{1}{n} \sum_{i=1}^n X_i^T X_i \right)^{-1} \left( \frac{1}{n} \sum_{i=1}^n X_i^T (X_i \beta + \epsilon_i) \right) \\ \hat{\beta} &= \beta + \left( \frac{1}{n} \sum_{i=1}^n X_i^T X_i \right)^{-1} \left( \frac{1}{n} \sum_{i=1}^n X_i^T \epsilon_i \right) \\ \sqrt{n}(\hat{\beta} - \beta) &= \left( \frac{1}{n} X_i^T X_i \right)^{-1} \left( \frac{1}{\sqrt{n}} \sum_{i=1}^n X_i \epsilon_i \right). \end{aligned}$$

Por la ley débil de los grandes números,

$$\frac{1}{n} \sum_{i=1}^n X_i^T X_i \xrightarrow{\mathbb{P}} \mathbb{E}[X_i^T X_i] = D.$$

Luego, por el teorema de la continuidad, tenemos que

$$\left( \frac{1}{n} \sum_{i=1}^n X_i^T X_i \right)^{-1} \xrightarrow{\mathbb{P}} D^{-1}.$$

Como

$$\frac{1}{\sqrt{n}} \sum_{i=1}^n X_i^T \epsilon_i = \frac{\sqrt{n}}{n} \sum_{i=1}^n X_i^T \epsilon_i,$$

podemos aplicar el TLC y

$$\begin{aligned} \mathbb{E}[X_i \epsilon_i] &= \mathbb{E}[X_i(Y_i - X_i \beta)] \\ &= \mathbb{E}[X_i^T Y_i] - \mathbb{E}[X_i^T X_i] \beta \\ &= \mathbb{E}[X_i^T Y_i] - \mathbb{E}[X_i^T X_i] (\mathbb{E}[X_i^T X_i])^{-1} \mathbb{E}[X_i^T Y_i] \\ &= \mathbb{E}[X_i^T Y_i] - \mathbb{E}[X_i^T Y_i] \\ &= 0 \\ \text{Var}(X_i^T \epsilon_i) &= \mathbb{E}[X_i^T \epsilon_i \epsilon_i^T X_i] \\ &= \mathbb{E}[\epsilon_i^2 X_i^T X_i] \\ &= C. \end{aligned}$$

Aplicando el TLC,

$$\frac{\sqrt{n}}{n} \sum_{i=1}^n X_i^T \epsilon_i \xrightarrow{d} N(0, C).$$

Así, haciendo uso del teorema, obtenemos que [2.13](#),

$$\begin{aligned} \sqrt{n}(\hat{\beta} - \beta) &= \left( \frac{1}{n} \sum_{i=1}^n X_i^T X_i \right)^{-1} \left( \frac{1}{\sqrt{n}} \sum_{i=1}^n X_i^T \epsilon_i \right) \\ &\xrightarrow{d} D^{-1} N(0, C) = N(0, D^{-1} C (D^{-1})^T). \end{aligned}$$

En capítulos posteriores<sup>17</sup>, se levantarán los supuestos hechos en este capítulo. A continuación, la lista de ejercicios asociada a los temas desarrollados en este capítulo.

## Ejercicios

**Ejercicio 2.1.** Se tienen los siguientes conjuntos de datos (incorporando la constante):

$$X = \begin{bmatrix} 1 & 2 \\ 1 & 3 \\ 1 & 4 \end{bmatrix}, \quad y = \begin{bmatrix} 5 \\ 7 \\ 9 \end{bmatrix}.$$

---

<sup>17</sup>En el siguiente capítulo se aborda un tipo de regresión en particular en el cual los regresores son variables discretas, categóricas. En el subsiguiente, el tema del muestreo. Ya en los que le siguen a este último, abordamos la multicolinealidad, heterocedasticidad, autocorrelación y endogeneidad.

y

$$X = \begin{bmatrix} 1 & 2 & 1 \\ 1 & 3 & 2 \\ 1 & 4 & 3 \\ 1 & 5 & 4 \\ 1 & 6 & 5 \\ 1 & 7 & 6 \\ 1 & 8 & 7 \\ 1 & 9 & 8 \\ 1 & 10 & 9 \\ 1 & 11 & 10 \end{bmatrix}, \quad y = \begin{bmatrix} 3 \\ 4 \\ 6 \\ 8 \\ 11 \\ 15 \\ 20 \\ 26 \\ 33 \\ 41 \end{bmatrix}.$$

Para cada conjunto de datos:

1. Calcule los estimadores de Mínimos Cuadrados Ordinarios (MCO)  $\hat{\beta} = (X^T X)^{-1} X^T Y$ .
2. Determine si cada parámetro  $\beta_i$  es significativo utilizando una prueba  $t$ .
3. Evalúe si la hipótesis conjunta  $H_0 : \beta_1 = \beta_2 = \dots = 0$  puede ser rechazada mediante una prueba  $F$ .

Interprete los resultados en cada caso.

**Ejercicio 2.2.** Considere un modelo de producción Cobb-Douglas con tres factores: capital físico ( $K$ ), capital humano ( $H$ ), y trabajo ( $T$ ):

$$q = AK^\alpha H^\beta T^\gamma,$$

donde  $q$  es el nivel de producción,  $A$  es una constante, y  $\alpha$ ,  $\beta$ , y  $\gamma$  son parámetros que miden las elasticidades del producto respecto a cada insumo.

Dado el siguiente conjunto de datos simulados:

Observación	$K$	$H$	$T$	$q$
1	25,5	11,2	50,3	45,6
2	34,8	15,7	64,1	65,7
3	45,2	19,3	81,4	92,3
4	56,7	23,8	98,5	124,8
5	72,1	28,4	120,2	167,3
6	88,3	42,7	180,4	320,1

1. Calcule los parámetros  $\alpha$ ,  $\beta$ , y  $\gamma$  utilizando Mínimos Cuadrados Ordinarios (MCO), transformando las variables a su forma logarítmica:

$$\ln(q) = \ln(A) + \alpha \ln(K) + \beta \ln(H) + \gamma \ln(T) + \varepsilon.$$

2. Verifique si la restricción  $\alpha + \beta + \gamma = 1$  (retornos constantes a escala) es válida.
3. Realice una prueba  $F$  para evaluar la hipótesis conjunta  $H_0 : \alpha = \beta = \gamma = 0$ .
4. Interprete los resultados y comente sobre su relevancia económica.

**Contexto:** este ejercicio está inspirado en los trabajos seminales de Lucas ([Lucas, 1988](#)) y Romer ([Romer, 1990](#)), quienes analizaron el papel del capital humano y la innovación en el crecimiento económico endógeno.

**Ejercicio 2.3.** Sea  $X$  una variable aleatoria con función de densidad  $f_X(x) = \theta^2 x e^{-\theta x}$ ,  $x > 0$ , donde  $\theta > 0$  es un parámetro desconocido. Se desea contrastar las siguientes hipótesis:

$$H_0 : \theta = 1 \quad \text{vs} \quad H_1 : \theta = 2.$$

- a) Halle la región crítica óptima para el caso  $n = 10$  datos observados y calcule la potencia de la prueba. *Hint: Use la función de verosimilitud, consulte el capítulo de Máxima Verosimilitud para recordar cómo definir  $L(\theta)$ .*
- b) Si se plantea contrastar las hipótesis a nivel  $\alpha = 0,05$ :

$$H_0 : \theta = 1 \quad \text{vs} \quad H_1 : \theta \neq 1,$$

¿existirá para este caso una prueba Uniformemente Más Potente (UMP)?  
Explique por qué.

Sugerencias:

■ Para el inciso a:

- La región crítica óptima se define como:

$$RC^* = \left\{ x \in \mathbb{R}^n : \frac{L(\theta_0)}{L(\theta_1)} \leq K \right\}.$$

- La función de verosimilitud  $L(\theta)$  para  $n$  observaciones independientes está dada por (para más detalle, ver capítulo 11):

$$L(\theta) = \prod_{i=1}^n f_X(x_i|\theta).$$

- Al calcular la razón de verosimilitud, simplifique términos comunes y despeje en función de  $\sum_{i=1}^n x_i$ .
- Note que  $\sum_{i=1}^n X_i$  sigue una distribución  $\Gamma(20, 1)$  bajo  $H_0$  y  $\Gamma(20, 2)$  bajo  $H_1$ .
- Use la función inversa de distribución de  $\Gamma(20, 1)$  para hallar el umbral crítico  $K'$  a nivel  $\alpha$ . O sea,  $K' = F_Y^{-1}(\alpha)$ .
- Para calcular la potencia, utilice:

$$\phi = \mathbb{P} \left( \sum_{i=1}^n X_i \leq K' \mid \theta = 2 \right).$$

■ Para el inciso b:

- La prueba UMP para un contraste bilateral requiere que la región crítica sea independiente del valor de  $\theta$  bajo  $H_1$ .
- Al analizar la razón de verosimilitud:

$$\frac{L(\theta_0)}{L(\theta_1)} = \left( \frac{\theta_0}{\theta_1} \right)^{2n} e^{(\theta_1 - \theta_0) \sum_{i=1}^n x_i},$$

observe que para  $\theta_1 > \theta_0$  o  $\theta_1 < \theta_0$ , los umbrales dependen de  $\theta_1$ .

- Concluya que no puede existir una UMP para este contraste bilateral.

**Ejercicio 2.4.** Demuestre la proposición 2.1 en su caso más general. Para ello, recuerde que la matriz de varianzas y covarianzas de  $\epsilon$  viene dada por  $\sigma^2 I_n$  y que  $Y \sim N_n(X\beta, \sigma^2 I_n)$ . Por lo tanto,

$$\frac{\sum_i \epsilon_i^T \epsilon_i}{\sigma^2} = \frac{Y^T (I - P_X) Y}{\sigma^2} \sim \chi^2(n - k);$$

pues  $I - P$  tiene rango  $n - k$ . Finalmente, para toda matriz simétrica  $A$ , se cumple que

$$\mathbb{E}[Z^T A Z] = \text{Tr}(A \Sigma) + \mu^T A \mu,$$

con  $\text{Cov}(Z) = \Sigma$  y  $\mathbb{E}[Z] = \mu$ . Concluya usando que  $\text{Tr}(I - P) = n - k$ .

**Nota:** si no se incluye la constante en  $X$ ,  $k \rightarrow k + 1$ .

# Capítulo 3

## Variables cualitativas

Imagine que se busca estimar el logaritmo del salario de un trabajador. Una opción para ello es usar la ecuación de Mincer (Borjas, 2000), cuya especificación tradicional es<sup>1</sup>

$$\ln w = \ln w_0 + \rho x_1 + \beta_1 x_2 + \beta_2 x_2^2. \quad (3.1)$$

En (3.1),  $w$  es el salario,  $w_0$  el salario promedio,  $x_1$  los años de escolaridad, y  $x_2$  los años de experiencia laboral. Sin embargo, en caso del Perú, podemos incluir un regresor adicional,  $x_3$  que corresponde al sexo del trabajador. Es decir,  $x_3 = \{\text{Hombre, Mujer}\}$  y

$$\ln w = \ln w_0 + \rho x_1 + \beta_1 x_2 + \beta_2 x_2^2 + \beta_3 x_3. \quad (3.2)$$

Si bien  $w$ ,  $x_1$  y  $x_2$  son variables que pueden tomar valores en  $\mathbb{R}$ ,  $x_3$  no, es una variable cualitativa. Ciertamente no podemos decir que *un incremento en una unidad de  $x_3$  genera un incremento en 1% del salario*. ¿Cómo interpretar entonces  $\hat{\beta}_3$ ? Este será uno de los objetivos principales de este capítulo, que si bien es bastante breve comparado a su predecesor, discute un tema central en el análisis econométrico.

### 3.1. Conceptos básicos

**Definición 3.1.1. Variable cualitativa.** Una variable cualitativa indica la presencia o ausencia de un atributo o cualidad. Por ejemplo, *sexo*, *raza*, *religión*, *región*, *nacionalidad*, *afiliación política*, entre otros.

---

<sup>1</sup>Incorporar  $\beta_2 x_2^2$  se explica en la literatura. Véase por ejemplo (Polachek, 2007).

**Ejemplo 3.1.** Las siguientes ecuaciones representan especificaciones en las cuales los regresores son variables dicotómicas  $x \in \{0, 1\}$ , i.e., 1 indica la ausencia (o presencia) de un atributo

$$\text{Salario}_i = \beta_1 + \beta_2 \text{Sexo}_i + \epsilon_i$$

$$\text{Salario}_i = \beta_1 + \beta_2 \text{Urbano}_i + \epsilon_i$$

$$\ln(\text{Salario}_i) = \beta_1 + \beta_2 \text{Sexo}_i + \beta_3 \text{Indígena}_i + \epsilon_i$$

Al igual que con variables independientes cuantitativas continuas, con variable cualitativas también se usa el método de Mínimos Cuadrados Ordinarios para estimar.

Los supuestos del modelo en caso se incluyan variables no continuas son:

- Linealidad en  $X$ .
- Homocedasticidad:  $\mathbb{E}[\epsilon_i] = 0$ ,  $\text{Var}[\epsilon_i] = \sigma^2$  para todo  $i$ .
- Normalidad: las muestras de cada grupo deben provenir de poblaciones con distribución normal.
- Independencia de errores: no hay autocorrelación entre los errores de cada una de las observaciones en la muestra.

Note que deben incluirse  $m - 1$  categorías (si son  $m$  en total) para evitar la colinealidad, y así el modelo podrá ser estimable. El siguiente ejemplo aterriza e ilustra concretamente esta situación.

**Ejemplo 3.2.** Imaginemos que buscamos estimar el logaritmo del salario en función de la región  $r$  en la cual el trabajador habita, es decir,

$$r \in \{\text{Costa}, \text{Sierra}, \text{Selva}\}.$$

Si planteamos

$$\ln w_i = \beta_1 + \beta_2 \text{Costa}_i + \beta_3 \text{Sierra}_i + \beta_4 \text{Selva}_i + \epsilon_i,$$

como un individuo pertenece a una de las 3 regiones, se tiene (sin pérdida de generalidad) que

$$X = \begin{pmatrix} 1 & 1 & 0 & 0 \\ 1 & 0 & 1 & 0 \\ \vdots & \vdots & \vdots & \vdots \\ 1 & 1 & 0 & 0 \end{pmatrix}.$$

O sea,

$$X_2 + X_3 + X_4 = X_1.$$

Sin embargo, esto viola el supuesto de multicolinealidad. Es por ello que deben solo incluirse dos categorías y no las tres. A esto se conoce como la *trampa de las dummies*.

**Definición 3.1.2.** La categoría a la cual no se asigna variable dicotómica se conoce como categoría base, de comparación, de control, de referencia u omitida. Además, todas las comparaciones se hacen respecto a dicha categoría de comparación.

En concreto,

$$Y_i = \beta_1 + \sum_{j=2}^{m-1} \beta_j X_{ji}.$$

El valor de  $\hat{\beta}_1$  es el valor promedio de la categoría base. Luego,  $\hat{\beta}_j - \hat{\beta}_1 = \bar{Y}_j - \bar{Y}_1$ . En efecto,  $\hat{\beta}_1$  es el valor promedio de la variable dependiente cuando la variable explicativa toma el valor de 0.

**Ejemplo 3.3.** Retomando el modelo que busca estimar el salario de un individuo en función de la región en la cual habita, tendremos

$$\text{Salario}_i = \beta_1 + \beta_2 \text{Costa}_i + \beta_3 \text{Sierra}_i + \epsilon_i.$$

En este caso, la categoría base es la *región Selva*. Si el individuo  $i$  habita en la Costa,  $\text{Costa}_i = 1$  y  $\text{Sierra}_i = 0$ . Análogamente, si el individuo pertenece a la Sierra,  $\text{Costa}_i = 0$  y  $\text{Sierra}_i = 1$ . Luego,

$$\begin{aligned} \mathbb{E}[\text{Salario}_i | \text{Costa}_i] &= \mathbb{E}[\beta_1 + \beta_2 \text{Costa}_i + \beta_3 \text{Sierra}_i + \epsilon_i | \text{Costa}_i = 1, \text{Sierra}_i = 0] \\ &= \beta_1 + \beta_2 \end{aligned}$$

$$\begin{aligned} \mathbb{E}[\text{Salario}_i | \text{Sierra}_i] &= \mathbb{E}[\beta_1 + \beta_2 \text{Costa}_i + \beta_3 \text{Sierra}_i + \epsilon_i | \text{Costa}_i = 0, \text{Sierra}_i = 1] \\ &= \beta_1 + \beta_3 \end{aligned}$$

$$\begin{aligned} \mathbb{E}[\text{Salario}_i | \text{Selva}_i] &= \mathbb{E}[\beta_1 + \beta_2 \text{Costa}_i + \beta_3 \text{Sierra}_i + \epsilon_i | \text{Costa}_i = 0, \text{Sierra}_i = 0] \\ &= \beta_1. \end{aligned}$$

De este modo, si por ejemplo, tenemos  $\beta_1 = 1000$ ,  $\beta_2 = 950$  y  $\beta_3 = 300$ , los trabajadores de la Selva ganan en promedio 1000 soles, mientras que los de la Costa ganan 1950 soles y los de la Sierra 1300 soles.

**Ejemplo 3.4.** Consideremos nuevamente el caso en el que se busca estimar el salario en soles de los trabajadores peruanos. Esta vez, se utiliza información de la educación (medida en años de estudio), el sexo del trabajador y la región natural donde vive (Costa, Sierra y Selva). La regresión lineal descrita es entonces

$$\text{Sal}_i = \beta_0 + \beta_1 E_i + \beta_2 S_i + \beta_3 Si_i + \beta_4 Se_i + \epsilon_i, \quad (3.3)$$

donde Sal es el salario, E los años de estudio, S el sexo (1 si es hombre, 0 si es mujer), Si región sierra, Se región selva y  $\epsilon_i$  es el término de error aleatorio. Usando esta especificación (3.3), podemos calcular el promedio de los salarios en función de la región y la brecha salarial por sexo en cada región.

$$\begin{aligned} \mathbb{E}[\text{Sal}_i | S_i = 0, \text{Costa}] &= \beta_0 + \beta_1 E_i + \beta_2(0) + \beta_3(0) + \beta_4(0) \\ &= \beta_0 + \beta_1 E_i. \end{aligned}$$

$$\begin{aligned} \mathbb{E}[\text{Sal}_i | S_i = 1, \text{Costa}] &= \beta_0 + \beta_1 E_i + \beta_2(1) + \beta_3(0) + \beta_4(0) \\ &= \beta_0 + \beta_1 E_i + \beta_2. \end{aligned}$$

$$\begin{aligned} \mathbb{E}[\text{Sal}_i | S_i = 0, \text{Sierra}] &= \beta_0 + \beta_1 E_i + \beta_2(0) + \beta_3(1) + \beta_4(0) \\ &= \beta_0 + \beta_1 E_i + \beta_3. \end{aligned}$$

$$\begin{aligned} \mathbb{E}[\text{Sal}_i | S_i = 1, \text{Sierra}] &= \beta_0 + \beta_1 E_i + \beta_2(1) + \beta_3(1) + \beta_4(0) \\ &= \beta_0 + \beta_1 E_i + \beta_2 + \beta_3. \end{aligned}$$

$$\begin{aligned} \mathbb{E}[\text{Sal}_i | S_i = 0, \text{Selva}] &= \beta_0 + \beta_1 E_i + \beta_2(0) + \beta_3(0) + \beta_4(1) \\ &= \beta_0 + \beta_1 E_i + \beta_4. \end{aligned}$$

$$\begin{aligned}\mathbb{E}[\text{Sal}_i | S_i = 1, \text{Selva}] &= \beta_0 + \beta_1 E_i + \beta_2(1) + \beta_3(0) + \beta_4(1) \\ &= \beta_0 + \beta_1 E_i + \beta_2 + \beta_4.\end{aligned}$$

Luego, definiendo SalH el salario de los hombres y SalM el salario de las mujeres,

Costa:

$$\begin{aligned}\mathbb{E}[\text{SalH}] &= \beta_0 + \beta_1 E_i + \beta_2 \\ \mathbb{E}[\text{SalM}] &= \beta_0 + \beta_1 E_i \\ \mathbb{E}[\text{SalH}] - \mathbb{E}[\text{SalM}] &= \beta_2.\end{aligned}$$

Sierra:

$$\begin{aligned}\mathbb{E}[\text{SalH}] &= \beta_0 + \beta_1 E_i + \beta_2 + \beta_3 \\ \mathbb{E}[\text{SalM}] &= \beta_0 + \beta_1 E_i + \beta_3 \\ \mathbb{E}[\text{SalH}] - \mathbb{E}[\text{SalM}] &= \beta_2.\end{aligned}$$

Selva:

$$\begin{aligned}\mathbb{E}[\text{SalH}] &= \beta_0 + \beta_1 E_i + \beta_2 + \beta_4 \\ \mathbb{E}[\text{SalM}] &= \beta_0 + \beta_1 E_i + \beta_4 \\ \mathbb{E}[\text{SalH}] - \mathbb{E}[\text{SalM}] &= \beta_2.\end{aligned}$$

En general,  $\overline{\text{SalH}} - \overline{\text{SalM}} = \hat{\beta}_2$ . Es este parámetro el que mide la brecha del salario por región. Note que, si se comparase entre regiones, el resultado cambiaría.

**Ejemplo 3.5.** Con el objetivo de determinar si existen o no diferencias en las calificaciones obtenidas por hombres y mujeres en una determinada asignatura, a partir de 20 observaciones se estimó (datos ficticios) el siguiente modelo

$$\text{Nota}_i = \beta_0 + \beta_1 \text{Nota media Micro}_i + \beta_2 \text{Género}_i + \epsilon_i,$$

donde la variable género toma el valor 1 si se trata de una mujer y 0 para un varón. Los resultados de la estimación fueron los siguientes

$$\widehat{\text{Nota}}_i = 25 + 0,75 \text{Nota media Micro}_i + 20,5 \text{Género}_i + \epsilon_i.$$

Luego,

$$\mathbb{E}[\text{Nota}|\text{Mujer}] - \mathbb{E}[\text{Nota}|\text{Hombre}] = 20,5.$$

Así, existe una diferencia en el esperado de la nota en función del género: las mujeres obtienen 20.5 puntos (en promedio) por encima que los hombres (la escala de nota ciertamente no va del 0 al 20 en este ejemplo).

## 3.2. Interacciones

De momento, se han estudiado especificaciones de la forma

$$Y_i = \beta_0 + \beta_1 X_{1i} + \beta_2 X_{2i} + \cdots + \beta_k X_{ki} + \epsilon_i$$

donde  $X_{ji} \in \mathbb{R}$  o  $X_{ji} \in \{0, 1\}$ . Sin embargo, regresando al modelo (3.3), supongamos que se presume que la brecha salarial por sexo no es homogénea en cada región, i.e., que  $\text{Sal}_i$  en función de  $S_i$  depende de  $W_i$ , con

$$W = \text{Si o Se.}$$

¿Cómo contrastar dicha hipótesis? Se implementan lo que se conoce como *interacciones*.

**Definición 3.2.1.** Si en el modelo simplificado

$$Y_i = \beta_1 + \beta_2 X_i + \beta_3 W_i + \epsilon_i,$$

se presume que el valor de  $Y_i$  en función de  $X_i$  depende de  $W_i$ , el modelo se convertiría en

$$Y_i = \beta_1 + \beta_2 X_i + \beta_3 W_i + \beta_4 X_i W_i + \epsilon_i.$$

Se dice entonces que  $X$  interactúa con  $W$ .

Volviendo a (3.3), el modelo queda de la siguiente manera

$$\text{Sal}_i = \beta_0 + \beta_1 E_i + \beta_2 S_i + \beta_3 Si_i + \beta_4 Se_i + \beta_5 S_i Si_i + \beta_6 S_i Se_i + \epsilon_i,$$

si se presume una interacción entre el sexo del individuo y la región en la que habita.

Cuando  $X_i$  y  $W_i$  son variables binarias, el impacto se mide directamente en la suma de los coeficientes, en particular, la pendiente para  $X_i$  sería igual a  $\hat{\beta}_2 + \hat{\beta}_4 W_i$ .

**Ejemplo 3.6.** Suponga que se busca analizar el efecto de los años de escolaridad de la madre sobre el estado nutricional de las niñas y niños. No obstante, se presume que dicha relación puede ser afectada por la condición de pobreza de la madre. En otras palabras, lo que se plantea es que existe una diferencia en la pendiente, ver figura (3.1), o relación entre el estado nutricional y años de escolaridad, en caso la madre sea pobre o no.

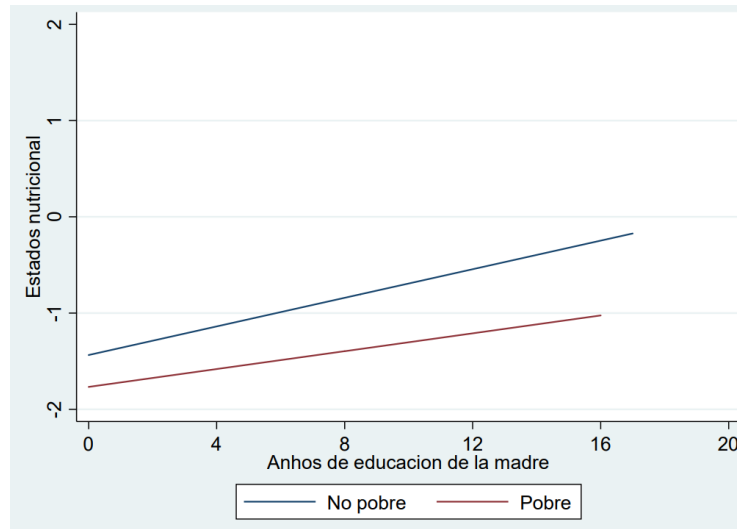


Figura 3.1 Diferencia en las pendientes.

El modelo en cuestión, teniendo en cuenta la interacción, es

$$\text{Nutrición}_i = \beta_0 + \beta_1 \text{Educación Madre}_i + \beta_2 \text{Pobre}_i + \beta_3 \text{Educación Madre}_i \cdot \text{Pobre}_i + \epsilon_i.$$

De este modo, si el niño tiene una madre que es considerada *Pobre*,

$$\begin{aligned} \text{Nutrición}_i &= \beta_0 + \beta_1 \text{Educación Madre}_i + \beta_2 + \beta_3 \text{Educación Madre}_i + \epsilon_i \\ &= (\beta_0 + \beta_2) + (\beta_1 + \beta_3) \text{Educación Madre}_i + \epsilon_i. \end{aligned}$$

Así, tanto el promedio como la pendiente se ven afectados. Note que, en particular, el sentido de la relación entre el estado nutricional del niño y la educación de la madre puede cambiar.

**Ejemplo 3.7.** Con el objetivo de analizar cómo las horas de estudio afectan las calificaciones de los estudiantes y si este impacto difiere según el acceso a internet

en casa, se estimó (datos ficticios) el siguiente modelo:

$$Y_i = \beta_0 + \beta_1 H_i + \beta_2 A_i + \beta_3 (H_i \cdot A_i) + \epsilon_i,$$

donde:

- $Y_i$ : Calificación del estudiante  $i$ .
- $H_i$ : Horas de estudio del estudiante  $i$ .
- $A_i$ : Variable binaria que indica acceso a internet (1 si tiene acceso, 0 en caso contrario).

El término de interacción  $H_i \cdot A_i$  captura cómo el efecto de las horas de estudio sobre la calificación varía según el acceso a internet. Los resultados de la estimación fueron los siguientes:

$$\hat{Y}_i = 40 + 4H_i + 10A_i + 3(H_i \cdot A_i).$$

Las interpretaciones de los coeficientes son las siguientes:

- Para un estudiante sin acceso a internet ( $A_i = 0$ ), el modelo se simplifica a:

$$\hat{Y}_i = 40 + 4H_i.$$

En este caso, la calificación esperada aumenta en 4 puntos por cada hora adicional de estudio.

- Para un estudiante con acceso a internet ( $A_i = 1$ ), el modelo se convierte en:

$$\hat{Y}_i = 40 + 10 + (4 + 3)H_i = 50 + 7H_i.$$

Por lo tanto, la calificación esperada de un estudiante con acceso a internet aumenta en 7 puntos por cada hora adicional de estudio.

- El coeficiente de interacción,  $\beta_3 = 3$ , indica que el impacto de cada hora adicional de estudio es 3 puntos mayor para estudiantes con acceso a internet en comparación con aquellos que no lo tienen.
- La diferencia promedio en las calificaciones entre estudiantes con y sin acceso a internet (sin considerar las horas de estudio) está dada por  $\beta_2 = 10$ . Esto implica que, en promedio, los estudiantes con acceso a internet tienen una ventaja inicial de 10 puntos en sus calificaciones.

En resumen, los estudiantes con acceso a internet no solo comienzan con una ventaja de 10 puntos, sino que también se benefician más de las horas de estudio, con un incremento adicional de 3 puntos por hora en comparación con los estudiantes sin acceso a internet.

El siguiente ejemplo retoma el modelo de variables cualitativas independientes del inicio del capítulos, usando datos reales del Perú.

**Ejemplo 3.8.** En la figura (3.2) se presentan los resultados de la regresión

$$Y_i = \text{Talla para la edad}_i = \beta_0 + \beta_1 \text{Madre trabaja}_i + \beta_2 \text{Urbano}_i + \beta_3 \text{Riqueza}_i + \epsilon_i. \tag{3.4}$$

En esta última, las variables tanto la variable *Madre trabaja* como *Urbano* son binarias. Note primero que la variable *Madre trabaja* es no significativa pues  $0 \in IC = [\hat{\beta}_1 - \delta, \hat{\beta}_1 + \delta]$ . Luego, si  $i$  vive en una zona urbana, en promedio,  $i$  tendrá un valor para  $Y_i$  superior por 24 unidades<sup>2</sup> al individuo  $\ell$  que reside en una zona rural. Finalmente, la riqueza es una variable que influye positivamente sobre la talla para la edad. Concretamente, un incremento de una unidad en la riqueza genera un incremento de 35 unidades en la talla para la edad. Sin embargo, globalmente, para ser un modelo de corte transversal la significancia es positiva ( $\mathbb{P} > F \sim 0$ ). No obstante, al estudiar el  $R^2$  y  $R^2_{adj}$ , nos percatamos que el modelo explica únicamente el 1,3% de la variabilidad de los datos. Esto hace reflexionar sobre la especificación lineal utilizada pues es un valor considerablemente bajo.

```
. regress HW70 trabaja_m urbano V190
```

Source	SS	df	MS	Number of obs	=	14,847
Model	42599065.7	3	14199688.6	F(3, 14843)	=	66.72
Residual	3.1588e+09	14,843	212813.028	Prob > F	=	0.0000
Total	3.2014e+09	14,846	215639.421	R-squared	=	0.0133
				Adj R-squared	=	0.0131
				Root MSE	=	461.32

HW70	Coef.	Std. Err.	t	P> t	[95% Conf. Interval]
trabaja_m	3.935325	7.667624	0.51	0.608	-11.09417 18.96482
urbano	24.89572	10.35635	2.40	0.016	4.595986 45.19546
V190	35.12138	3.597586	9.76	0.000	28.06967 42.1731
_cons	-171.419	9.318188	-18.40	0.000	-189.6838 -153.1542

Figura 3.2 Regresión talla para la edad, ENDES 2019.

<sup>2</sup>Según la medida tomada para  $Y$ .

El ejemplo 3.6 se basa en los datos de la Encuesta Demográfica y de Salud Familiar - ENDES (2019). La cantidad de datos observados asciende a 14 847 individuos, número considerable considerando el número de regresores en el modelo. Justamente, es en el siguiente capítulo en el cual se abordarán los temas relacionados al tamaño de la muestra, criterios de selección de muestra, entre otros.

## Ejercicios

**Ejercicio 3.1.** Explique en qué consiste la trampa de las dummies. ¿Cómo se maneja esta situación?

**Ejercicio 3.2.** Considere un modelo de estimación del salario basado en la ecuación de Mincer:

$$\ln w = a_0 + a_1 \text{Años de educación} + a_2 \text{Experiencia laboral} + a_3 \text{Experiencia laboral}^2 + a_4 \text{Sierra}_i + a_5 \text{Selva}_i + \epsilon_i.$$

Suponga que cuenta con todos los datos y que la categoría base es la costa.

1. Explique el modelo, es decir, la relevancia de cada regresor y la especificación elegida.
2. Interprete los parámetros estimados  $\hat{a}_i$ .
3. ¿Cuál es la diferencia esperada en el logaritmo del salario entre un individuo que vive en la costa y otro que vive en la sierra?

**Ejercicio 3.3.** En relación al ejercicio 3.2, suponga que se incorporan interacciones entre los años de educación y la región en la que vive el individuo.

1. Proponga un modelo que tome en cuenta las interacciones.
2. Repita el análisis del ejercicio 3.2 (responda las mismas preguntas).

# Capítulo 4

## Muestreo

El concepto de muestra surge por la necesidad de recolectar información, datos, pero muchas veces, dada la gran cantidad de elementos (personas por ejemplo) a las cuales se les extrae la información, solamente es posible acceder a una parte del total. En este capítulo se van a estudiar los conceptos básicos del muestro y presentar algunos ejemplos en los cuales se puede apreciar la importancia de esta técnica. En una primera instancia, empezaremos con las definiciones elementales. Luego, analizaremos el problema del *tamaño de muestra*. Enseguida, presentaremos una de las dos formas de seleccionar una muestra: el *muestreo probabilístico*. Finalmente, se concluye con los diseños experimentales, esenciales para el desarrollo, por ejemplo, de políticas públicas o programas sociales. La teoría del muestro es bastante vasta y solo brindamos una breve introducción. Para un análisis más detallado recomendamos consultar, por ejemplo, el capítulo de Bootstrap en (Rau, 2016), o bien el libro (Valdivieso, 2020). Asimismo, mucha de la teoría del muestro se ha visto hoy en día beneficiada de las nuevas técnicas que surgen en machine learning (por ej. cross validation,  $k$ -fold cross validation, etc), ver (Gareth James, 2013).

### 4.1. Introducción y conceptos básicos

**Definición 4.1.1. Muestra.** Una muestra es un grupo de individuos u objetos de la población usadas para hacer inferencia de la misma. Esta se realiza por la falta de recursos o tiempo que demora encuestar a toda la población.

Para la elaboración de una muestra es necesario un *marco muestral*, definido a continuación.

**Definición 4.1.2. Marco muestral.** Es el listado de la población objetivo. Por ejemplo: listado de la clase, registro de alumnos en la universidad, listado de escuelas, entre otras.

La ventaja de las muestras aleatorias es que permiten realizar generalizaciones sobre la población. La pregunta central que debe ser formulada en este punto, es *¿qué factores influyen en la representatividad de una muestra?* En efecto, si se conocen dichos factores, se pueden elaborar estudios de forma que se pueda, con mayor certeza, generalizar sobre toda la población a partir de un subconjunto de esta (la muestra). *Grosso modo*, son 3:

1. El tamaño de la muestra.
2. El método del muestreo.
3. La tasa de respuesta.<sup>1</sup>

En una primera instancia, se aborda el tema del *tamaño de la muestra*. Veamos.

## 4.2. Tamaño de muestra

A continuación, enunciamos una serie de resultados sin proveer las demostraciones. Un análisis más detallado y especializado puede encontrarse en (Valdivieso, 2020).

**Teorema 4.1.** El número de elementos en la muestra para una variable aleatoria binaria, i.e.,  $X : \Omega \rightarrow \{0, 1\}$  es<sup>2</sup>

$$n = \frac{z_{1-\alpha/2}^2 p(1-p)N}{N\epsilon^2 + z_{1-\alpha/2}^2 p(1-p)}, \quad p = 1/2 \text{ (poblacional)}.$$

<sup>1</sup>La tasa de respuesta es una medida que indica el porcentaje de personas que respondieron a una encuesta o estudio en comparación con el número total de personas a las que se les solicitó participar.

<sup>2</sup> $z_{1-\alpha/2}$  es el valor crítico de la distribución normal estándar correspondiente a un nivel de confianza  $1 - \alpha$ . Se define como:

$$\mathbb{P}(Z \leq z_{1-\alpha/2}) = 1 - \alpha/2$$

donde  $Z \sim N(0, 1)$ . Matemáticamente,

Más aún, si  $N \rightarrow \infty$  ( $N$  el tamaño de la población)

$$n = \frac{z_{1-\alpha/2}^2 p(1-p)}{\epsilon^2}. \quad (4.1)$$

**Teorema 4.2.** El número de elementos en la muestra para una variable aleatoria continua ( $X : \Omega \rightarrow \mathbb{R}$ ) es

$$n = \frac{z_{1-\alpha/2}^2 \sigma^2 N}{N\epsilon^2 + z_{1-\alpha/2}^2 \sigma^2} \rightarrow \frac{z_{1-\alpha/2}^2 \sigma^2}{\epsilon^2}. \quad (4.2)$$

Usualmente se toma

$$\sigma^2 = \frac{R}{6} \quad (4.3)$$

con  $R = X_{(n)} - X_{(1)}$ .<sup>3</sup>

Estos resultados se deducen a la hora de trabajar con intervalos de confianza y variables pivote. Brindamos a continuación un breve resumen sobre este tópico.

### 4.2.1. Intervalos de confianza

Dada una muestra aleatoria  $\{X_1, \dots, X_n\}$  de una variable aleatoria  $X \sim \theta \in \Theta$ <sup>4</sup>, nos interesa estimar  $\theta$  no solo por su valor (puntual), sino por un rango de valores que contengan a  $\theta$ .

**Definición 4.2.1.** Diremos que las estadísticas  $L_1$  y  $L_2$  conforman un intervalo de confianza  $IC = [L_1, L_2]$  al  $100(1 - \alpha)\%$  para  $\theta$  si

$$\mathbb{P}(L_1 \leq \theta \leq L_2) = 1 - \alpha.$$

$$z_{1-\alpha/2} = \inf \{z \in \mathbb{R} \mid \Phi(z) \geq 1 - \alpha/2\}$$

con  $\Phi(z)$  siendo la función de distribución acumulada (CDF) de la distribución normal estándar:

$$\Phi(z) = \int_{-\infty}^z \frac{1}{\sqrt{2\pi}} e^{-t^2/2} dt$$

Para un nivel de confianza del 95

$$1 - \alpha/2 = 0,975 \quad \text{y} \quad z_{0,975} \approx 1,96.$$

<sup>3</sup>Aquí,  $X_{(i)}$  denota el  $i$ -ésimo estadístico de orden de la muestra. Es decir,  $X_{(1)}$  es el valor más pequeño (mínimo) de la muestra, y  $X_{(n)}$  es el valor más grande (máximo) de la muestra.

<sup>4</sup>La notación  $X \sim \theta$  indica que  $X$  se relaciona con una distribución a priori no conocida vía el parámetro o vector de parámetros  $\theta$ . Por ejemplo, media  $\mu$  o varianza  $\sigma^2$ .

El procedimiento para estimar  $\theta$  vía un parámetro es el siguiente.

1. Definir una variable pivote  $W = W(X_1, \dots, X_n; \theta)$ , adecuada, esto es, que  $W$  solo dependa de la m.a. y de  $\theta$  como único valor desconocido, y que tenga distribución conocida.
2. Encontrar  $a, b$  tal que

$$\mathbb{P}(a \leq W \leq b) = 1 - \alpha.$$

3. Despejar la inecuación para obtener

$$\mathbb{P}(L_1 = L_1(X_1, \dots, X_n) \leq \theta \leq L_2 = L_2(X_1, \dots, X_n)) = 1 - \alpha.$$

Es usual, sobre todo si la distribución de la variable pivote es simétrica, tomar áreas iguales en las colas de la distribución de  $W$ . Esto es, considerar  $a, b$  tal que

$$\mathbb{P}(W \leq a) = \mathbb{P}(W > b) = \frac{\alpha}{2}.$$

Usualmente la variable pivote  $W$  se forma partiendo del estimador de máxima verosimilitud  $\hat{\theta}_{MV}$  (ver capítulo 11) de  $\theta$  aprovechando que asintóticamente se tiene  $\hat{\theta}_{MV} \sim N(\theta, \sigma_\theta^2)$ . Así, una variable pivote podría tomarse en la construcción de un IC aproximado para  $\theta$  es

$$W = \frac{\theta_{MV} - \theta}{\sigma_\theta}.$$

**Teorema 4.3.** Sea  $X_1, \dots, X_n$  una muestra aleatoria de una variable  $X \sim \mathcal{N}(\mu, \sigma^2)$  y  $S^2$  la varianza muestral

1. Para la media  $\mu$  con varianza  $\sigma^2$  conocida se usa:

$$IC = \left[ \bar{X} - z_{1-\alpha/2} \frac{\sigma}{\sqrt{n}}; \bar{X} + z_{1-\alpha/2} \frac{\sigma}{\sqrt{n}} \right].$$

2. Cuando la varianza  $\sigma^2$  es desconocida y se desea estimar  $\mu$  se usa:

$$IC = \left[ \bar{X} - t_{1-\alpha/2}(n-1) \frac{S}{\sqrt{n}}; \bar{X} + t_{1-\alpha/2}(n-1) \frac{S}{\sqrt{n}} \right].$$

Acá la variable pivote es  $T = \frac{\bar{X} - \mu}{S/\sqrt{n}} \sim t(n-1)$ .

3. Para estimar  $\sigma^2$  se usa:

$$IC = \left[ \frac{(n-1)S^2}{\chi_{1-\alpha/2}^2(n-1)}, \frac{(n-1)S^2}{\chi_{\alpha/2}^2(n-1)} \right].$$

Acá la variable pivote es  $W = \frac{(n-1)S^2}{\sigma^2} \sim \chi^2(n-1)$ .

Si  $p$  denota la proporción de una población con característica  $A$ , y  $\bar{p} = \frac{X}{n}$  la proporción en una muestra, con  $x$  el número de elementos con la propiedad  $A$  en la muestra y  $n \geq 30$  el tamaño de esta, entonces,  $X$  se distribuye como una variable aleatoria binomial, entonces

$$Z = \frac{X - np}{\sqrt{np(1-p)}} = \frac{\bar{p} - p}{\sqrt{\frac{p(1-p)}{n}}} \sim N(0, 1).$$

En este contexto,  $\frac{\bar{p}-p}{\sqrt{\frac{p(1-p)}{n}}}$  es la variable pivote. El intervalo de confianza para  $p$  es

$$IC = \left[ \bar{p} - z_{1-\alpha/2} \sqrt{\frac{\bar{p}(1-\bar{p})}{n}}, \bar{p} + z_{1-\alpha/2} \sqrt{\frac{\bar{p}(1-\bar{p})}{n}} \right],$$

siendo  $\bar{p}$  la proporción observada.

**Teorema 4.4.** Consideremos

- $N$  población total.
- $n$  población muestral.
- $p$  proporción en la población.
- $\bar{p}$  proporción en la muestra.

Se cumple que

$$Z = \frac{\bar{p} - p}{\sqrt{\frac{\bar{p}(1-\bar{p})}{n}} \sqrt{\frac{N-n}{N-1}}} \sim N(0, 1).$$

De este modo, esta es una variable pivote. El intervalo de confianza al  $100(1 - \alpha) \%$  para  $p$  es entonces

$$IC = \left[ \bar{p} - z_{1-\alpha/2} \frac{\sigma}{\sqrt{n}} \sqrt{\frac{N-n}{N-1}}, \bar{p} + z_{1-\alpha/2} \frac{\sigma}{\sqrt{n}} \sqrt{\frac{N-n}{N-1}} \right]$$

y el IC para la media poblacional  $\mu$

$$IC = \left[ \bar{X} - z_{1-\alpha/2} \frac{\sigma}{\sqrt{n}} \sqrt{1 - \frac{n}{N}}, \bar{X} + z_{1-\alpha/2} \frac{\sigma}{\sqrt{n}} \sqrt{1 - \frac{n}{N}} \right]. \quad (4.4)$$

Así, de (4.4) y las consideraciones en relación al rango de valores y el valor de  $p$ , se deducen (4.1) y (4.2).

### 4.2.2. Aplicaciones

Teniendo presente las expresiones (4.1) y (4.2), veamos algunos ejemplos de aplicación directa y otros con contexto.

**Ejemplo 4.1.** En la siguiente tabla, podemos determinar usando  $p$ ,  $z_{1-\alpha}$  y  $\epsilon$  el valor de  $n$ .

Confianza al 95 % <sup>5</sup>	$p$	Error muestral $\epsilon$	Muestra $n$
1.96	0.5	0.01	9604
1.96	0.5	0.05	384
1.96	0.5	0.07	196
1.96	0.5	0.10	96

Entonces, si queremos representar a una población con un nivel de confianza del 95 % y margen de error del 5 %, se necesita una muestra de 384 observaciones.

**Ejemplo 4.2.** Del ejemplo anterior, si queremos retratar a la población peruana bastaría con una muestra de 384 observaciones y tendríamos un margen de error del 5 %.

	$N$	%	Margen de error
Total	400	100	5 %
Hombre	200	50	7 %
Mujer	200	50	7 %
Costa	200	50	7 %
Sierra	150	38	8 %
Selva	50	12	14 %

De esta manera, se puede apreciar que si quisiéramos hablar de la población de la selva, el margen de error sería de 14 %<sup>6</sup>. Por este motivo, al momento de elaborar una muestra hay que pensar en los grupos sobre los que se quiere sacar conclusiones.

<sup>6</sup>Se despeja  $\epsilon$  en términos de  $N$ :  $\epsilon = \sqrt{1,96^2 \cdot 1/2(1 - 1/2)/N}$ .

En caso la población bajo estudio sea pequeña, se debe aplicar la corrección por poblaciones pequeñas. En efecto, recuérdese que para encontrar (4.1) y (4.2) se considera  $N \rightarrow \infty$ . Caso contrario, la fórmula es la siguiente:

$$n_1 = \frac{n_0}{\left(1 + \left(\frac{n_0 - 1}{N}\right)\right)}$$

donde:

1.  $n_0$  es el tamaño de muestra original,
2.  $n_1$  es el tamaño de muestra corregido,
3. y  $N$  es el tamaño de la población.

Esta corrección se aplica para  $N < 10000$ .

**Ejemplo 4.3.** Asumamos que tenemos una población de 500 habitantes. Los tamaños de muestra para los diferentes tamaños de error son entonces:

Confianza 95 %	$p$	$\epsilon$	$n_0$	$n_1$
1.96	0.5	0.01	9604	475
1.96	0.5	0.05	384	217
1.96	0.5	0.07	196	141
1.96	0.5	0.10	96	81

Tal y como se puede apreciar en los ejemplos anteriores, la fórmula del tamaño de muestra depende del tamaño de la población, pero también, de como se seleccionan a los individuos. En efecto, en función de esto, se tomará en consideración ciertas características sobre la distribución poblacional. A continuación, vamos a presentar las diferentes formas de ejecutar un muestreo (seleccionar elementos para muestra). Este proceso no es homogéneo y tiene importantes consecuencias.

### 4.3. Selección de la muestra

**Definición 4.3.1.** Tipos de muestreo.

- **Muestro probabilístico:** se le da una probabilidad diferente a cero a cada uno de los elementos o individuos que se seleccionan de la población. Solo este tipo de muestreos aseguran representatividad de la muestra que se obtiene de la población (y por ende se puede hacer inferencia).
- **Muestreo no probabilístico:** los individuos que se seleccionan de la población no tiene una probabilidad de ser elegidos si no más bien es determinístico: al seleccionar se realiza siguiendo ciertos criterios, procurando que la muestra sea representativa quitando el factor aleatorio de por medio.

En este texto, nos interesamos exclusivamente por el muestro probabilístico.

**Definición 4.3.2. Muestro aleatorio simple (MAS).** Es el tipo de muestreo más simple. Se asigna con número o etiqueta a cada miembro de la población, y después, se usa algún medio automático para seleccionar a los individuos (generación de números aleatorios).

Desde la perspectiva computacional, las *semillas* permiten generar números aleatorios pero, manteniendo la aleatoridad, se puede repetir la selección.

**Definición 4.3.3. Muestro aleatorio sistemático.** Se seleccionan a los individuos de la siguiente manera. Se enumera / etiqueta y se escoge aleatoriamente a un elemento entre 1 y  $n$ . Después, definiendo

$$k = \min \left\{ \left\lfloor \frac{N}{n} \right\rfloor, 1 \right\}$$

con  $N$  el tamaño de la muestra, se van seleccionando a los individuos espaciados de  $k$ . Es decir, si el individuo seleccionado aleatoriamente al inicio es  $i$ , el segundo es el de la posición  $i + k$ , y así sucesivamente.

**Definición 4.3.4. Muestreo aleatorio estratificado.** Permite reducir el error muestral para un tamaño de muestra dado. La idea es considerar categorías o grupos (estratos). Cada estrato es homogéneo de acuerdo a una determinada característica (sexo, género...). La idea, es que todos los estratos estén representados en la muestra.

Finalmente, la distribución de la muestra en los diferentes estratos se puede hacer simple (MAS) o proporcional de acuerdo al tamaño de la población en cada estrato.

**Definición 4.3.5. Muestreo por conglomerado.** Es una técnica de muestreo utilizada cuando hay agrupamientos *naturales* relativamente homogéneos en una población estadística. En esta técnica, la población total se divide en estos grupos (o clusters) - escuelas, hospitales - y vía un MAS se selecciona a individuos de estos grupos, previamente definidos.

**Definición 4.3.6. Muestreos probabilísticos complejos.** Los muestreos complejos por lo general involucran dos o más etapas de selección de la muestra o individuos bajo estudio. En otras palabras, se cuenta con más de una unidad de muestreo. Por ejemplo, *escuelas* → *aulas o secciones* → *estudiantes*. Finalmente, al interior de cada sub-categoría, se aplica un MAS.

Estas son esencialmente todas las metodologías relativas al muestro probabilístico. Más adelante, veremos como estos se aplican en casos muy concretos. Antes de pasar al estudio de los diseños experimentales, brindamos una breve nota sobre el muestro no probabilístico y sobre los pesos muestrales así como ejemplos prácticos que ilustran estos métodos de muestreo.

Como ya se mencionó, el muestro no probabilístico es el que contempla cierta designación no aleatoria a la hora de seleccionar los elementos para construir la muestra. Esencialmente, se tienen los siguientes tipos de muestro no probabilístico.

- **Muestro por cuotas:** se eligen por características específicas (edad, género, niveles educativos). Se usa en encuestas de opinión.
- **Muestreo intencional o por conveniencia:** se selecciona individuos de acuerdo a su accesibilidad o por ciertos criterios específicos de interés para, por ejemplo, anuncios etc...
- **Bola de nieve o en cadena:** consiste en localizar algunos individuos, los cuales posteriormente referirán a otros.
- **Muestreo de casos extremos:** consiste en selecciona individuos alejados de la *normalidad*, por ejemplo, para seleccionar personas sumamente violentas podríamos selecciona una muestra de pandilleros.

**Definición 4.3.7. Pesos muestrales.** En ocasiones el número de individuos u objetos muestreados por un determinado grupo es mayor a la proporción que representan en la población. Entonces, al realizar los estadísticos descriptivos de dicha muestra no van a darnos resultados similares a los de la población, motivo por el cual se requiere el uso de pesos muestrales. Entonces, los pesos muestrales sirven para poder ajustar la muestra seleccionada y esta pueda representar de manera adecuada a la población. El *peso* dado es

$$w_i = \frac{1}{p_i},$$

donde  $p_i$  es la probabilidad de selección del individuo<sup>7</sup>. En caso de muestreos multi-etapas,

$$w_i = \frac{1}{p_{i_1}} \frac{1}{p_{i_2}} \frac{1}{p_{i_3}} \dots \frac{1}{p_{i_k}}.$$

**Definición 4.3.8. Ajuste por tasa de no respuesta.** Si uno o más individuos no fueron cubiertos, se realiza la siguiente corrección

$$a_i = \frac{n_i}{N_i}$$

siendo  $n_i$  y  $N_i$  la cantidad encuestada finalmente y la población objetivo inicial. Así, el peso final sería

$$w_f = a_i w_i.$$

**Ejemplo 4.4.** Un estudiante de economía de la PUCP decide hacer un estudio sobre el bullying a los estudiantes de secundaria en las escuelas de Lima Metropolitana. Motivo por el cuál primero decide estimar cuantos estudiantes necesita encuestar para poder hablar de los estudiantes de escuelas públicas y privadas. Sus estimados le dan que debe tener aproximadamente 400 estudiantes de escuelas públicas y 400 de escuelas privadas. Para hacer su marco muestral usa el padrón de instituciones educativas secundarias del Ministerio de Educación para Lima Metropolitana y lo divide en públicas y privadas. Luego, al interior de cada grupo decide seleccionar de forma aleatoria un total de 40 escuelas y al interior de cada escuela selecciona de forma aleatoria a una sección por grado y dos estudiantes por sección también de forma aleatoria. De esta forma, el estudiante lograría encuestar un total de 800 estudiantes de Lima Metropolitana. El muestro en cuestión corresponde ciertamente a un muestreo probabilístico por

<sup>7</sup>Es decir,  $x/N$  con  $x$  el número de individuos del grupo y  $N$  el total.

conglomerados pues, se identifican cadenas de grupos y se seleccionan elementos en función de estos últimos. Cabe resaltar que en cada selección, se emplea un MAS.

**Ejemplo 4.5. Muestreo aleatorio simple.** En este ejemplo buscamos analizar la prevalencia y características de la violencia física dentro de una muestra seleccionada. Se usó un muestreo simple sobre una encuesta cuya finalidad es analizar la violencia doméstica. Se seleccionó vía el MAS el 15% de las observaciones de la base de datos original, lo que resultó en 659 observaciones. La desviación estándar fue de 0.4824, un valor típico para una variable binaria (vfism), ya que refleja la dispersión entre los dos posibles valores (0 y 1): 0 = No violencia física, 1 = Sí violencia física. La media puede interpretarse como la proporción de casos con violencia física en la muestra, indicando que aproximadamente el 36.7% de las observaciones reportaron violencia física; además, en la figura 4.1, se muestra información más detallada sobre las características de la base de datos y las observaciones seleccionadas, lo cual permite profundizar en el análisis y obtener conclusiones relevantes sobre el fenómeno estudiado.

```
. gen muestra = runiform() <= 0.15
. summarize vfism if muestra == 1
```

Variable	Obs	Mean	Std. Dev.	Min	Max
vfism	659	.3672231	.4824142	0	1

Figura 4.1 MAS violencia doméstica.

**Ejemplo 4.6. Muestreo estratificado.** En ese ejemplo analizamos la distribución de la violencia física por medio de un muestreo estratificado. La base de datos es la misma del ejemplo 4.5. Como se observa en la figura 4.2, el 38.28% de las personas en la muestra reportaron haber sufrido violencia física (vfism = 1), lo que significa que casi 4 de cada 10 personas declararon ser víctimas de este tipo de violencia. Por otro lado, el 61.72% restante (vfism = 0) corresponde a quienes no reportaron haber sufrido violencia física. Así, con la finalidad de realizar un muestreo estratificado concentrándonos en la población que ha sufrido violencia física, se reduce el espacio muestral a vfism= 1 (se filtra la población total de acuerdo con este criterio).

```
. tabulate vfism if muestra == 1
```

La entrevistad a alguna vez sufrió maltratos físicos (todos)	Freq.	Percent	Cum.
0	424	61.72	61.72
1	263	38.28	100.00
Total	687	100.00	

Figura 4.2 Violencia física.

**Ejemplo 4.7. Muestro por conglomerado.** Este ejemplo ilustra la representatividad y precisión logradas mediante un diseño muestral basado en conglomerados para el análisis de datos. Se utilizó la base de datos de la encuesta ENDES, implementando una metodología que combina elementos clave del muestreo por conglomerados. Primero, la población se divide en estratos, definidos según la variable HV024, lo que garantiza que cada subgrupo relevante esté adecuadamente representado. Dentro de cada estrato, las observaciones se agrupan en conglomerados o unidades primarias de muestreo (UPM), identificados por la variable HV001. La selección de la muestra se realiza a nivel de estos conglomerados, en lugar de individuos, simplificando la logística del trabajo de campo y preservando la estructura del diseño. Además, se incorporan pesos muestrales (variable HV005) para ajustar las estimaciones, asegurando que los resultados reflejen la población objetivo en su totalidad y no solo los individuos seleccionados en la muestra. Por último, el cálculo de los errores estándar mediante el método linearized respeta la estructura del diseño muestral, evitando la subestimación de la variabilidad y proporcionando resultados estadísticamente válidos. En la figura 4.3 se detallan las etapas de este diseño muestral, destacando cómo el enfoque por conglomerados mejora la eficiencia y asegura resultados representativos y precisos.

```

. svyset conglome, strata (estrato)

      pweight: <none>
      VCE: linearized
Single unit: missing
Strata 1: estrato
      SU 1: conglome
      FPC 1: <zero>

```

Figura 4.3 Muestreo por conglomerados.

## 4.4. Diseños experimentales

En esta sección, abordamos los fundamentos y principales conceptos que aparecen en el *diseño de experimentos*.

**Definición 4.4.1. Tamaño del efecto.** Es la magnitud del efecto que se está estudiando, en el caso de un diseño experimental sería la diferencia entre el grupo tratado y control.

Distinguimos las diferentes medidas para dicho tamaño de efecto.

1. Diferencia simple de promedios

$$\bar{X}_T - \bar{X}_C.$$

2. Diferencia estandarizada de los promedios.

- a) La  $d$  de Cohen,

$$d = \frac{\bar{X}_T - \bar{X}_C}{DE_{\text{pooled}}}, DE_{\text{pooled}} = \sqrt{\frac{\sigma_T^2 + \sigma_C^2}{2}}. \quad (4.5)$$

- b) La  $g$  de Hedges,

$$g = \frac{\bar{X}_T - \bar{X}_C}{DE_{\text{pooled}}}, DE_{\text{pooled}} = \sqrt{\frac{\sigma_T^2(n_T - 1) + \sigma_C^2(n_C - 1)}{n_T + n_C - 2}}. \quad (4.6)$$

- c) La  $\Delta$  de Glass

$$\Delta = \frac{\bar{X}_T - \bar{X}_C}{DE_C}, DE_C = \sqrt{\frac{\sum(X_C - \bar{X}_C)^2}{n_C}}. \quad (4.7)$$

El término *pooled* hace referencia a la pertenencia a un mismo grupo (mismas características). Por otro lado, la letra  $C$  designa el conjunto de control y  $T$  el conjunto tratado. Finalmente, note que  $N = n_C + n_T > 2$ , (4.6).

En (Cohen, 1988), se indica que un tamaño de efecto es pequeño si está por encima de  $0.2 DE$  pero debajo de  $0.5 DE$ ; es mediano si se ubica por encima de  $0.5 DE$  pero por debajo de  $0.8 DE$ ; y se considera un tamaño de efecto grande si este es igual o mayor a  $0.8 DE$ .

Así como en el caso de las encuestas, es de interés conocer el tamaño de muestra en el diseño de experimentos. Para ello, necesitamos previamente introducir los siguientes dos conceptos, el nivel de confianza y el poder de análisis (mencionados previamente a la hora de estudiar los tests de hipótesis).

**Definición 4.4.2. Nivel de confianza.** Es el nivel de confianza que se tiene de los resultados, es decir, nos indica la probabilidad que tenemos de que el parámetro estimado se encuentre dentro del intervalo asumido.

**Definición 4.4.3. Poder de análisis.** Es la probabilidad que tiene la muestra para poder detectar el parámetro de interés y tamaño de efecto deseado.

En los diseños experimentales por conglomerados o *cluster*, el poder de análisis depende en gran medida de la variabilidad dentro y entre los conglomerados. A diferencia de los diseños completamente aleatorios, donde las unidades de análisis son independientes, en un diseño por conglomerados las observaciones dentro de un mismo grupo tienden a estar correlacionadas. Esto reduce el número efectivo de observaciones independientes, afectando el poder estadístico del experimento. Para contrarrestar este efecto, se puede incrementar el número de conglomerados seleccionados en lugar de aumentar el tamaño de muestra dentro de cada conglomerado. Además, es crucial calcular adecuadamente el coeficiente de correlación intraclase (*intra-cluster correlation coefficient, ICC*), ya que este mide la proporción de variabilidad total que se encuentra entre los conglomerados y afecta directamente la precisión de las estimaciones y la capacidad de detectar efectos significativos. Diseñar cuidadosamente el número y tipo de conglomerados es esencial para maximizar el poder analítico del experimento.

A continuación se presenta la fórmula para el tamaño de muestra por grupo asumiendo que:

1. La variable de resultado sigue una distribución normal.
2. El número de observaciones por grupo es igual.
3. Las varianzas de ambos grupos son iguales.

**Teorema 4.5.** Sea  $TE$  el tamaño de efecto, previamente determinado, entonces si la variable resultado es continua,

$$n = \frac{(\sigma_1^2 + \sigma_2^2)[z_{\alpha/2} + z_{\beta}]^2}{TE^2},$$

siendo  $\sigma_i$  la desviación estándar de  $X_i \sim \mathcal{N}(\mu_i, \sigma_i^2)$ , i.e. la v.a. representativa del grupo  $i$ .

**Teorema 4.6.** Sea  $TE$  el tamaño de efecto, previamente determinado, entonces si la variable resultado es binaria,

$$n = \frac{[p_1(1 - p_1) + p_2(1 - p_2)][z_{\alpha/2} + z_{\beta}]^2}{TE^2}, \quad (4.8)$$

siendo  $\sigma_i$  la desviación estándar de  $X_i \sim N(\mu_i, \sigma_i^2)$ , i.e. la v.a. representativa del grupo  $i$ , y  $p_i$  la probabilidad de que la variable resultado tome el valor del estado bajo estudio, relativa al grupo  $i$ .

**Teorema 4.7.** En caso se requiera hacer una desigual distribución de tratados y controles, se debe de incorporar un parámetro adicional que es el ratio entre grupos  $r = (n_1/n_2)$

1. Variable de resultado continua,

$$n = \frac{(r + 1)(\sigma_1^2 + \sigma_2^2)[z_{\alpha/2} + z_{\beta}]^2}{rTE^2}.$$

2. Variable de resultado binaria,

$$n = \frac{(r + 1)(p_1(1 - p_1)) + p_2(1 - p_2)[z_{\alpha/2} + z_{\beta}]^2}{rTE^2}.$$

**Ejemplo 4.8.** Se quiere estimar el tamaño de muestra necesario para evaluar un programa relacionado al lavado de manos en niños y niñas menores de cinco años. Se cuenta con la información que este tipo de programas permiten reducir la incidencia

de episodios de diarrea en un 10 % en promedio para los grupos intervenidos. Además, se cuenta con el dato que la prevalencia promedio de episodios de diarrea en niños y niñas menores de cinco años es de 30 % de acuerdo a la Encuesta Demográfica y de Salud Familiar del 2020. Dado lo anterior nos preguntamos ¿cuál es el tamaño de muestra necesario para poder evaluar el programa con un nivel de confianza del 95 % y un poder de análisis del 70 %? Usando (4.8), calculamos

$$n = \left\lceil \frac{[(0,3)(1 - 0,3) + (0,2)(1 - 0,2)][1,96^2 + 0,33^2]}{0,1^2} \right\rceil + 1 = 147.$$

## Ejercicios

**Ejercicio 4.1. Comparación de tipos de muestreo.** Se usó la base de datos de la encuesta PIAAC 2019. En este ejercicio, se analizarán los métodos de muestreo: *muestreo aleatorio simple*, *muestreo estratificado* y *muestreo por conglomerados*. Recordaremos algunos conceptos teóricos del capítulo a lo largo del ejercicio.

### 1. Muestreo aleatorio simple

- **Definición:** Cada observación tiene la misma probabilidad de ser seleccionada, sin tomar en cuenta subgrupos específicos.
- **Instrucciones:**
  - a) Selecciona una muestra aleatoria simple que represente el 10 % de la población.
  - b) Calcula el número de observaciones seleccionadas por cada subgrupo relevante (por ejemplo, género o región).
- **Preguntas:**
  - ¿Cuáles son las ventajas de este método en términos de simplicidad y facilidad de implementación?
  - ¿Qué desventajas tiene si se desean analizar subgrupos específicos de la población?

```
. summarize gender_r if muestra == 1
```

Variable	Obs	Mean	Std. Dev.	Min	Max
gender_r	1,485	1.527946	.4993866	1	2

Figura 4.4 MAS PIAAC 2019.

## 2. Muestreo estratificado

- **Definición:** La población se divide en *estratos* según características específicas, y se toma una muestra proporcional o fija en cada estrato.
- **Instrucciones:**
  - a) Divide la población en estratos según una característica relevante (por ejemplo, género).
  - b) Selecciona una muestra equivalente al 10% de los datos dentro de cada estrato.
  - c) Compara las proporciones de los estratos en la muestra con las proporciones en la población original.
- **Preguntas:**
  - ¿Cómo asegura este método la representatividad de subgrupos específicos?
  - ¿Qué ventajas ofrece frente al muestreo aleatorio simple?
  - ¿Qué limitaciones podrían surgir si algunos estratos tienen pocos elementos?

```
. tabulate gender_r if muestra == 1
```

person resolved gender from bq and qc check (derived)	Freq.	Percent	Cum.
male	692	47.20	47.20
female	774	52.80	100.00
Total	1,466	100.00	

Figura 4.5 Muestreo estratificado PIAAC 2019.

### 3. Muestreo por conglomerados

- **Definición:** La población se agrupa en *conglomerados* (por ejemplo, hogares o regiones), y se seleccionan ciertos conglomerados para formar parte de la muestra.
- **Instrucciones:**
  - a) Agrupa los datos en conglomerados utilizando una variable relevante (por ejemplo, región).
  - b) Selecciona aleatoriamente un subconjunto de conglomerados.
  - c) Extrae todas las observaciones de los conglomerados seleccionados.
  - d) Calcula la correlación entre dos variables (por ejemplo, `sexo` y `gender_r`) dentro de los conglomerados seleccionados.
- **Preguntas:**
  - ¿Qué ventajas ofrece este método en términos logísticos y de costos?
  - ¿Cómo afecta la heterogeneidad dentro de los conglomerados a la precisión de las estimaciones?
  - Si encuentras una correlación perfecta (1.0000) entre dos variables, ¿qué problemas podrían surgir en un modelo estadístico?

```
. svyset gender_r , strata( gender_r )  
  
      pweight: <none>  
      VCE: linearized  
Single unit: missing  
  Strata 1: gender_r  
    SU 1: gender_r  
    FPC 1: <zero>
```

Figura 4.6 Muestreo por conglomerado PIAAC 2019.

```

. corr sexo salario gender_r
(obs=2,550)

```

	sexo	salario	gender_r
sexo	1.0000		
salario	-0.0221	1.0000	
gender_r	1.0000	-0.0221	1.0000

Figura 4.7 Correlación del muestreo conglomerado.

#### 4. Análisis comparativo

- **Instrucciones:**

- a) Representa gráficamente las proporciones de los subgrupos seleccionados en cada tipo de muestreo.
- b) Compara las distribuciones de las muestras obtenidas con la distribución de la población original.

- **Preguntas:**

- ¿Qué método de muestreo elegirías si el objetivo es analizar subgrupos específicos? Justifica tu respuesta.
- ¿Qué método usarías si el presupuesto para recolectar datos es limitado?
- ¿Cómo influye el diseño del muestreo en la interpretación de los resultados del análisis?

**Sugerencia:** reflexiona sobre las diferencias en representatividad, simplicidad y precisión de cada método, considerando sus ventajas y limitaciones.

#### **Ejercicio 4.2. Análisis del margen de error en subgrupos de una muestra.**

La siguiente tabla presenta una distribución muestral hipotética que incluye el tamaño de la muestra ( $N$ ), su porcentaje relativo (%) y el margen de error correspondiente al nivel de confianza del 95% para diferentes subgrupos.

	$N$	%	Margen de error
Total	500	100	4,4 %
Hombres	250	50	6,2 %
Mujeres	250	50	6,2 %
Zona urbana	300	60	5,7 %
Zona rural	200	40	6,9 %

### 1. Interpretación:

- Observa que el margen de error aumenta a medida que el tamaño de la muestra para un subgrupo disminuye.
- Si se quisiera analizar solo a la población de la zona rural, el margen de error sería mayor (6,9 %) en comparación con la zona urbana (5,7 %).

### 2. Preguntas:

a) Utilizando la fórmula para el margen de error:

$$\epsilon = \sqrt{\frac{1,96^2 \cdot p(1-p)}{N}},$$

donde  $p = 0,5$  (la proporción más conservadora), calcula el margen de error para un subgrupo adicional con  $N = 100$ .

- b) ¿Qué ocurre con el margen de error si se duplica el tamaño de la muestra total?
- c) Explica por qué es importante considerar el tamaño muestral de los subgrupos cuando se diseñan encuestas para analizar poblaciones específicas.

**Ejercicio 4.3.** En un modelo financiero, se considera que la rentabilidad de una acción (expresada en porcentaje) es una variable aleatoria  $X \sim N(3, \sigma^2)$ . Se cuenta con una muestra aleatoria de la rentabilidad en los últimos 10 días, cuyos valores observados son los siguientes:

3,56, 5,54, 0,158, -0,53, 3,98, 7,89, 1,23, 5,34, 3,12, 0,69.

1. Construya un intervalo de confianza al 95 % para  $\sigma^2$  basado en la muestra proporcionada. Considere que la variable pivote tiene una distribución  $\chi^2$ . Evalúe el intervalo obtenido usando los datos suministrados.

2. En el modelo anterior, se ha asumido que  $\sigma^2 = 4$ . Sin embargo, un analista sugiere que la inestabilidad económica actual está generando un mayor riesgo, y plantea la hipótesis de que  $\sigma^2 > 4$ . Para evaluar esta idea, propone las siguientes hipótesis:

$$H_0 : \sigma^2 = 4 \quad \text{frente a} \quad H_1 : \sigma^2 > 4.$$

Se define una región crítica para el contraste de la forma:

$$RC = \left\{ (x_1, \dots, x_n) \in \mathbb{R}^n \mid \sum_{i=1}^n (x_i - 3)^2 \geq C \right\},$$

donde  $C$  es un valor a determinar.

- a) Determine el valor de  $C$  tal que el contraste tenga un nivel de significación  $\alpha = 0,05$ . Recuerde que  $\sum_{i=1}^n (x_i - 3)^2 / \sigma^2$  sigue una distribución  $\chi^2$  con  $n - 1$  grados de libertad bajo la hipótesis nula.
- b) Con base en los datos observados, evalúe si se debe rechazar  $H_0$ . ¿Qué se concluye respecto a la afirmación del analista?

# Capítulo 5

## Multicolinealidad

Desde este capítulo en adelante, la hoja de ruta será sustancialmente diferente a lo abordado previamente. Hasta el momento, se han presentado los detalles de la metodología de estimación fundamental en econometría, sus variantes (datos no continuos), y el concepto de muestro, altamente ligado al de la estimación. Sin embargo, el presente capítulo, así como los siguientes, abordan el «levantamiento» de los supuestos, enunciados en el teorema (2.1). En particular, se analizará en este capítulo el supuesto de la *no multicolinealidad*, es decir, que no existe colinealidad perfecta entre las variables explicativas incluidas en el modelo. Recordemos que la no colinealidad perfecta se expresa matemáticamente de la siguiente manera:

$$\nexists \gamma_1, \gamma_2, \dots, \gamma_k \neq 0 : \gamma_1 X_{1i} + \gamma_2 X_{2i} + \dots + \gamma_k X_{ki} = 0.$$

Este supuesto evita que  $\det(X^T X) = 0$ . Sin embargo, es posible que  $\rho(X_{li}, X_{ji}) \sim 1$ , lo que haría que  $\det(X^T X) \rightarrow 0$ . Por ende, como

$$\text{Var}(\hat{\beta}) = \sigma^2 (X^T X)^{-1},$$

en presencia de multicolinealidad respecto a la variable  $j$ ,

$$\text{Var}(\hat{\beta}) \cdot e_j \rightarrow \infty.$$

### 5.1. Análisis de la varianza

Dos o más variables independientes se correlacionan fuertemente, por tanto, es difícil poder determinar cual explica la variable dependiente. Caso extremo es que una

variable sea combinación lineal de otra (colinealidad perfecta). O sea,

$$X_j = \sum_{i \neq j} \gamma_i X_i.$$

**Ejemplo 5.1.** Consideremos el modelo de regresión

$$Y_i = \beta_1 + \beta_2 X_i + \beta_3 Z_i + \epsilon_i.$$

Entonces

$$\text{Var}(\hat{\beta}_2) = \frac{\hat{\sigma}^2}{\sum_{i=1}^n (X_i - \bar{X})(1 - r_{XZ}^2)}$$

$$\text{Var}(\hat{\beta}_3) = \frac{\hat{\sigma}^2}{\sum_{i=1}^n (Z_i - \bar{Z})(1 - r_{XZ}^2)}$$

con

$$r_{XZ} = \frac{\sum_{i=1}^n (X_i - \bar{X})(Z_i - \bar{Z})}{\sqrt{\sum_{i=1}^n (X_i - \bar{X})^2} \sqrt{\sum_{i=1}^n (Z_i - \bar{Z})^2}}.$$

Por ende, si  $r_{XZ} \rightarrow 1$ ,  $\text{Var}(\beta_i) \rightarrow \infty$ .

Cuando  $\text{Var}(\hat{\beta})$  aumenta, el error estándar aumenta, y por ende

$$t = \frac{\hat{\beta}}{\text{sd}(\hat{\beta})}$$

disminuye, con lo cual, la significancia individual del regresor asociado, cae.

**Ejemplo 5.2.** Se tiene el siguiente modelo:

$$Y_i = \beta_1 + \beta_2 X_i + \beta_3 S_{1i} + \beta_4 S_{2i} + \epsilon_i$$

donde  $Y$  es el salario en soles,  $X$  representa la educación medida en años de estudio,  $S_1$  es una variable binaria que toma el valor de 1 si  $i$  es hombre y 0 si es mujer, y  $S_2$  es una variable binaria que toma el valor de 1 si  $i$  es mujer y 0 si es hombre. ¿Existe algún problema para estimar dicho modelo? Sí. El modelo anterior viola el supuesto de colinealidad pues, dada la matriz

$$X = [\mathbf{1}, X, S_1, S_2] = \begin{bmatrix} 1 & X_1 & S_{11} & S_{21} \\ 1 & X_2 & S_{12} & S_{22} \\ \vdots & \vdots & \vdots & \vdots \\ 1 & X_n & S_{1n} & S_{2n} \end{bmatrix},$$

se tiene que  $S_{1i} + S_{2i} = \mathbf{1}$ . Por ende, tendremos que  $X^T X$  no es invertible. Para arreglar el modelo, lo podemos transformar de la manera siguiente:

$$Y_i = \beta_1 + \beta_2 X_i + \beta_3 S_{1i} + \epsilon_i.$$

De este modo,  $S_{1i} \in \{1, 0\}$ . Más aún, en este caso,  $\beta_1 + \beta_2 X_i + \beta_3 = \mathbb{E}[Y_i | S_{1i} = 1]$ . Es decir,  $\beta_3$  equivale a un incremento (o reducción si  $\beta_3 < 0$ ) de los salarios de los hombres respecto a las mujeres.

**Ejemplo 5.3.** Consideremos el caso de la inflación general en el Perú, la cual queremos modelar utilizando datos de series de tiempo. El objetivo es explicar la tasa de inflación mensual  $Y_t$  como función de tres variables explicativas: la inflación de alimentos  $X_{1,t}$ , el tipo de cambio nominal  $X_{2,t}$  y el precio internacional del petróleo  $X_{3,t}$ . La ecuación del modelo es:

$$Y_t = \beta_0 + \beta_1 X_{1,t} + \beta_2 X_{2,t} + \beta_3 X_{3,t} + \epsilon_t, \quad (5.1)$$

donde  $t$  denota el índice temporal,  $\beta_0$  es el intercepto,  $\beta_1$ ,  $\beta_2$  y  $\beta_3$  son los coeficientes de regresión, y  $\epsilon_t$  es el término de error. Es de esperarse observar una alta correlación entre  $X_{1,t}$  (inflación de alimentos) y  $X_{2,t}$  (tipo de cambio nominal). Esto se debe a que los cambios en el tipo de cambio impactan directamente los costos de importación de insumos agrícolas, afectando así los precios de los alimentos. Sería razonable obtener

$$\rho(X_{1,t}, X_{2,t}) \geq 0,9,$$

lo que evidenciaría una fuerte relación lineal entre ambas variables. Esta multicolinealidad puede generar problemas en el modelo, tales como coeficientes inestables y varianzas elevadas en las estimaciones de  $\beta_1$  y  $\beta_2$ . Como resultado, es posible que el impacto del tipo de cambio sobre la inflación general no sea significativo en el modelo (véase la siguiente sección), a pesar de ser un determinante importante según la teoría económica.

**Ejemplo 5.4.** En este ejemplo se evalúan los determinantes macroeconómicos que influyen en el Producto Bruto Interno (PBI) de Perú mediante un modelo de regresión múltiple. El modelo fue estimado utilizando 76 observaciones y presentó un coeficiente de determinación  $R^2 = 0,9982$ , lo que indica que explica el 99.82% de la variabilidad en el PBI. Este resultado sugiere un ajuste excelente a los datos. Además, el  $R^2$  ajustado,

con un valor de 0.9981, confirma que la inclusión de variables no ha generado un sobreajuste significativo. La prueba  $F$  ( $F(4,71) = 10085,07$ ,  $p$ -valor  $< 0,0000$ ) muestra que el modelo global es estadísticamente significativo, lo que indica que al menos una de las variables independientes tiene un efecto relevante sobre el PBI.

Las estimaciones para las variables independientes son las siguientes (véase figura 5.1):

- Por cada unidad adicional en las exportaciones netas (**xnt**), el PBI aumenta en promedio en 3.298 unidades ( $p = 0,023$ ).
- Un incremento de una unidad en el índice de términos de intercambio (**iti07**) está asociado con un aumento promedio de 248.7384 unidades en el PBI ( $p = 0,000$ ).
- Por cada unidad adicional en el tipo de cambio nominal (**tcn**), el PBI incrementa en promedio 10638.98 unidades ( $p = 0,000$ ).
- Un aumento de una unidad en la demanda interna (**di**) resulta en un incremento promedio de 0.8907 unidades en el PBI ( $p = 0,000$ ).

El intercepto del modelo es de  $-48441,6$ , lo cual representa el nivel promedio del PBI cuando todas las variables independientes son cero. Sin embargo, este valor no es directamente interpretable en términos prácticos debido a las características de las variables macroeconómicas incluidas en el modelo.

A pesar de los resultados estadísticamente significativos, el análisis muestra posibles problemas de multicolinealidad entre las variables independientes:

- La correlación entre las exportaciones netas (**xnt**) y la demanda interna (**di**) es alta ( $r = 0,9553$ ). Ver figura 5.2.
- El índice de términos de intercambio (**iti07**) y las exportaciones (**xnt**) también presentan una correlación significativa ( $r = 0,8095$ ).

A pesar de esto, todos los regresores resultan ser individualmente significativos.

Source	SS	df	MS	Number of obs	=	76
Model	1.6252e+11	4	4.0629e+10	F(4, 71)	=	10085.07
Residual	286031251	71	4028609.17	Prob > F	=	0.0000
				R-squared	=	0.9982
				Adj R-squared	=	0.9981
Total	1.6280e+11	75	2.1707e+09	Root MSE	=	2007.1

pbi	Coef.	Std. Err.	t	P> t	[95% Conf. Interval]
xnt	3.298334	1.416823	2.33	0.023	.473269 6.123398
iti07	248.7384	30.28159	8.21	0.000	188.3586 309.1182
tcn	10638.98	1534.34	6.93	0.000	7579.593 13698.37
di	.8906725	.0239055	37.26	0.000	.8430062 .9383387
_cons	-48441.6	6271.713	-7.72	0.000	-60947.04 -35936.16

Figura 5.1 Resultados de la regresión pbi versus variables macroeconómicas.

```
. pwcorr pbi xnt iti07 tcn di
```

	pbi	xnt	iti07	tcn	di
pbi	1.0000				
xnt	0.9616	1.0000			
iti07	0.6980	0.8095	1.0000		
tcn	-0.4136	-0.5955	-0.8057	1.0000	
di	0.9977	0.9553	0.6699	-0.4043	1.0000

Figura 5.2 Matriz de correlación.

**Ejemplo 5.5.** En este ejemplo, el objetivo es analizar los factores que influyen en la prevalencia de anemia y evaluar posibles problemas de multicolinealidad entre las variables independientes del modelo. A partir de la matriz de correlación, se observa una correlación moderada negativa entre la fuente de agua potable (HV202) y el nivel educativo de la madre (V133) (-0,4340), lo que sugiere que los hogares con madres con menor nivel educativo tienden a tener acceso a fuentes de agua menos seguras. De manera similar, la correlación entre la fuente de agua potable (HV202) y la ubicación urbana/rural (urbano) (-0,4265) indica que los hogares rurales suelen depender de fuentes de agua menos seguras en comparación con los hogares urbanos. Por otro lado, se encuentra una correlación moderada positiva entre el nivel educativo de la madre (V133) y la ubicación urbana/rural (urbano) (0,4381), lo que implica que las madres en áreas urbanas tienden a tener mayores niveles educativos en promedio (ver figura 5.3).

Aunque estas correlaciones reflejan ciertas relaciones entre las variables independientes, sus valores no superan el umbral crítico de  $r > 0,90$ , ver figura 5.4, lo cual

sugiere que no existe un problema severo de multicolinealidad. Sin embargo, estas relaciones podrían influir en la estabilidad de las estimaciones del modelo y en la interpretación de los coeficientes individuales, especialmente si se busca evaluar el impacto de cada variable de forma aislada. Además, la significancia global del modelo pero no individual de algunos regresores levanta sospechas que se justifican por el análisis siguiente: las áreas rurales suelen estar asociadas con un menor acceso a servicios básicos como agua potable, lo que incrementa el riesgo de enfermedades infecciosas y, por ende, de anemia. Asimismo, el nivel educativo de la madre está relacionado con mejores prácticas de cuidado infantil y alimentación, factores clave para prevenir la anemia. Finalmente, las zonas urbanas, al concentrar mayores niveles educativos y mejores servicios, tienden a presentar una menor prevalencia de anemia infantil en comparación con las zonas rurales. Queda entonces claro que existen relaciones entre los regresores, lo cual podría originar un problema de multicolinealidad. Para poder concluir, es necesario un análisis más minucioso que involucra los métodos de detección. Esto es abordado en la siguiente sección.

Source	SS	df	MS	Number of obs =	1,888
Model	6.15367445	3	2.05122482	F(3, 1884) =	9.73
Residual	397.202258	1,884	.210829224	Prob > F =	0.0000
Total	403.355932	1,887	.213755131	R-squared =	0.0153
				Adj R-squared =	0.0137
				Root MSE =	.45916

anemia	Coef.	Std. Err.	t	P> t	[95% Conf. Interval]
HV202	.0005471	.0003212	1.70	0.089	-.0000828 .001177
V133	-.0091867	.0033343	-2.76	0.006	-.0157261 -.0026473
urbano	-.0482636	.0311528	-1.55	0.121	-.1093612 .0128341
_cons	.4312179	.0479202	9.00	0.000	.3372358 .5252001

Figura 5.3 Resultados de la regresión.

```
. pwcorr anemia HV202 V133 urbano
```

	anemia	HV202	V133	urbano
anemia	1.0000			
HV202	0.0924	1.0000		
V133	-0.0994	-0.4340	1.0000	
urbano	-0.1022	-0.4265	0.4381	1.0000

Figura 5.4 Matriz de correlación.

## 5.2. Métodos de detección

Ya hemos explicado la importancia del problema de la colinealidad entre los regresores. La pregunta de interés ahora es ¿cómo detectar este problema? Siguiendo el análisis anterior, ciertamente una forma de efectuar aquello es estudiando la matriz de correlaciones de las variables independientes antes de estimar el modelo e identificar si existen variables fuertemente correlacionadas ( $r > 0,90$ ). Otra forma es, al momento de realizar la regresión, identificar que los coeficientes de la regresión son no significativos pero el modelo de manera global es significativo. Es decir,  $t$  estadísticos bajos pero un  $F$  estadístico o  $R^2$  alto. Finalmente, una prueba bastante común es el *Variance Inflation Test*, la cual describimos a continuación.

**Definición 5.2.1. Test de Inflación de la Varianza.** Sea

$$VIF_j = \frac{1}{1 - R_j^2}$$

con  $R_j^2$  el coeficiente de determinación de la variable  $j$  de la regresión de la variable  $j$  en función de las demás variables explicativas. Si  $VIF \rightarrow \infty$ , hay fuertes indicios de multicolinealidad respecto al regresor  $j$ . Este método fue presentado en (Marquardt, 1970).

El VIF no solo indica la presencia de multicolinealidad, sino que también mide el grado en que la varianza del estimador de un coeficiente está inflada debido a la correlación entre las variables explicativas. Valores más altos de VIF significan que una mayor proporción de la varianza de un regresor está explicada por los otros regresores en el modelo. Aunque comúnmente se usa un umbral de  $VIF > 10$ , en algunos contextos más estrictos se considera que valores por encima de 5 ya son indicativos de colinealidad. Esto depende de la aplicación específica y del tamaño de muestra. Es importante destacar que, si el VIF es muy alto, puede dificultar la interpretación de los coeficientes individuales en el modelo, incluso si el modelo global parece ser significativo. Un análisis más detallado, que además introduce las limitaciones y complicaciones del VIF es, por ejemplo, (O'Brien, 2007).

**Ejemplo 5.6.** Considere el siguiente conjunto de datos a partir del cual se estima el salario de los individuos en base a su edad en años y a sus años de experiencia.

Salario	Edad	Experiencia
2112	40	10
1967	38	10
1378	27	7
1842	34	9
1512	29	7

Al momento de realizar la regresión donde desea estimar los efectos asociados de la edad y la experiencia en el salario, se encuentra que ninguna de estas variables es significativa a pesar de que habría indicios de que el modelo en conjunto es bueno para estimar dicha variable.

Estadístico	Valor
$R^2$	0.98
$P > F$	0.0135
IC de la constante	[-42.18, 145.42]
IC de $\beta_1$	[-334.11, 357.93]
IC de $\beta_2$	[-744.56, 595.16]

Cuadro 5.1 Resultados del modelo de regresión

¿Qué es lo que podría estar aconteciendo? Debido a una baja significancia individual pero una alta significancia global, se sospecha de un problema de multicolinealidad (siguiendo los criterios establecidos previamente). Tal y como se mencionó, existen fundamentalmente tres formas que nos permiten detectar si se trata de un problema de multicolinealidad.

1. Contrastar la significancia global con la de los parámetros uno por uno, esto es, al momento de realizar la regresión, se observa si los coeficientes de regresión no son significativos pero el modelo de manera global si es significativo, teniendo un  $R^2$  alto.
2. Revisar la matriz de correlaciones de las variables independientes (explicativas). Si hay variables fuertemente correlacionadas ( $r > 0,90$ ) se detecta colinealidad.

3. Aplicar el test de inflación de la varianza (VIF). Si el valor hallado es igual o mayor de 10, esto indica que se presenta el problema de colinealidad.

El primer indicio ya está establecido. Queda entonces por verse los otros dos. Primero, se calcula la correlación entre las explicativas ( $X_i$  = edad,  $Z_i$  = experiencia), con  $N = 5$

$$r = \frac{\sum_{i=1}^N (X_i - \bar{X})(Z_i - \bar{Z})}{\sqrt{\sum_{i=1}^n (X_i - \bar{X})^2} \sqrt{\sum_{i=1}^n (Z_i - \bar{Z})^2}}.$$

Se obtiene  $r = 0,978$ .  $> 0,90$ . Esto implica que (en efecto) se hace frente a un problema de colinealidad. Finalmente, ya sea para reforzar la hipótesis o emplear una forma de detección alternativa, podemos calcular

$$VIF_j = \frac{1}{1 - R_j^2}.$$

En este caso, se obtiene

$$\frac{1}{1 - 0,9865} \sim 74 > 10.$$

Los resultados obtenidos confirman la presencia de multicolinealidad significativa en el modelo. El coeficiente de correlación  $r = 0,978$  muestra que existe una fuerte relación lineal entre la edad y la experiencia, mientras que un  $VIF = 74$  sugiere que la varianza de los estimadores está extremadamente inflada. Este nivel de colinealidad no solo afecta la precisión de las estimaciones individuales, sino que también puede causar problemas al interpretar el impacto específico de cada variable en el salario. Por ejemplo, aunque el modelo global tiene un  $R^2$  alto, la significancia individual de los coeficientes se ve comprometida, como muestran los intervalos de confianza amplios para  $\beta_1$  y  $\beta_2$ .

Para abordar la multicolinealidad en este modelo, se pueden considerar varias estrategias (que detallamos en la siguiente sección). Una opción es eliminar una de las variables altamente correlacionadas, como la experiencia o la edad, si ambas aportan información redundante al modelo. Alternativamente, se pueden combinar en una nueva variable que capture la relación conjunta, como *años potenciales de experiencia laboral*. Otra solución consiste en usar técnicas de regularización, como la regresión Ridge o Lasso ([Gareth James, 2013](#)), que penalizan los coeficientes de las variables para reducir la colinealidad. Estas técnicas son especialmente útiles cuando es crítico incluir todas las variables explicativas en el modelo.

### 5.3. Soluciones ante casos de multicolinealidad

Ya hemos visto que la multicolinealidad es un problema de gran importancia a la hora de efectuar la estimación de los coeficientes en una regresión lineal, debido al efecto sobre la varianza de estos últimos. No obstante, queda la duda de cómo afrontar este problema, o si para empezar, es posible. La respuesta a esta última interrogante es afirmativa, existen diversas maneras de lidiar con la multicolinealidad, y ese será el tema de esta breve sección. De manera concisa, para solucionar la multicolinealidad, es posible, siguiendo a (Belsley et al., 1980):

1. Replantear el modelo a estimar, eliminando una de las variables que ocasionan el problema de colinealidad.
2. En caso de tener un reducido número de observaciones, se puede incrementar el tamaño de la muestra. De esta manera, se espera que las observaciones adicionales permitan eliminar la dependencia entre los regresores  $X_j$ .
3. Transformar las variables, ya sea diferenciándolas ( $Z_{ji} = X_j - X_i$ ) o ponderando ( $Z_j = w_j X_j$ ) las variables en función de alguna de las variables del modelo.
4. Generar índices sintéticos con las variables que presentan alta colinealidad (por ejemplo: sumatoria normalizada, componentes principales, percentiles, ranking).

**Definición 5.3.1.** Un indicador sintético es la combinación de dos o más indicadores simples o individuales (por ejemplo: años de escolaridad o ingreso per capita). De esta forma, los indicadores sintéticos permiten condensar la información de un grupo de variables altamente correlacionadas que reflejan un aspecto latente detrás. En otras palabras son una suma ponderada de los diferentes indicadores simples empleados. Matemáticamente,

$$IS_i = \sum_{j=1}^n \sum_{i=1}^k w_i X_{ij}, \quad \sum_{i=1}^k X_i = 1,$$

donde  $n$  es el tamaño de muestra respecto a los regresores en cuestión.

El inconveniente más señalado respecto a los indicadores sintéticos es la determinación de los pesos  $w_i$ . Usualmente, o se le asigna el mismo valor a cada peso, i.e.,

$w_i = 1/k$ , o se fijan pesos de manera ad-hoc, o bien en función de la correlación entre las variables<sup>1</sup>.

Finalmente, es importante mencionar que es posible efectuar otro tipo de transformaciones afines<sup>2</sup> (a parte de las diferencias y ponderación) usando  $X_{(1)}$  y  $X_{(n)}$  (i.e.,  $X_{\min}$  y  $X_{\max}$ ) o  $\bar{X}$  y  $\sqrt{S_X}$ . Esto último consiste en normalizar cada una de las variables para que varíen entre los valores de 0 y 1. Así, al poner a las variables en una misma escala es posible sumarlas y generar un indicador sintético. Para ello, se computa

$$ZX_i = \frac{X_i - X_{\min}}{X_{\max} - X_{\min}} \triangleq \frac{X_i - X_{(1)}}{X_{(n)} - X_{(1)}}$$

o bien (normalización clásica):

$$ZX_i = \frac{X_i - \bar{X}}{\sqrt{S_X}}$$

**Ejemplo 5.7.** Supongamos que estamos estimando un modelo de regresión para predecir el ingreso mensual ( $Y$ ) de los individuos en función de dos variables: años de educación ( $X_1$ ) y experiencia laboral ( $X_2$ ). Los datos ficticios son los siguientes:

Ingreso (\$)	Educación (años)	Experiencia (años)
2000	16	10
2200	15	9
1800	12	7
2400	18	11
2100	14	8

**Solución 1: Replantear el modelo eliminando una variable.** Al calcular la matriz de correlación entre las variables independientes, encontramos:

$$\rho(X_1, X_2) = 0,989 \quad (\text{mayor a } 0.9),$$

lo que indica una fuerte multicolinealidad. Para resolver este problema, eliminamos la variable de experiencia laboral ( $X_2$ ) y estimamos el modelo únicamente con los años de educación.

**Solución 2: Incrementar el tamaño de la muestra.**

<sup>1</sup>Mayor o menor correlación, mayor o menor el valor de  $- < w_i \leq 1$

<sup>2</sup> $x \rightarrow ax + b$ .

Si contamos con un tamaño muestral reducido como el presentado arriba ( $n = 5$ ), podemos recolectar datos adicionales. Por ejemplo, al agregar más observaciones, la correlación entre  $X_1$  y  $X_2$  podría disminuir, mitigando el problema de colinealidad.

**Solución 3: Transformar las variables.**

En lugar de usar directamente  $X_1$  y  $X_2$ , podemos calcular las diferencias o ponderaciones. Por ejemplo:

$$Z_i = X_{1i} - X_{2i},$$

generando una nueva variable transformada:

$$Z = \{6, 6, 5, 7, 6\}.$$

Esto reduce la dependencia lineal entre las variables.

**Solución 4: Generar un indicador sintético.** Otra alternativa es construir un indicador sintético que combine  $X_1$  y  $X_2$ . Si usamos una ponderación simple con pesos iguales ( $w_1 = w_2 = 0,5$ ), el indicador sintético será:

$$IS_i = 0,5 \cdot X_{1i} + 0,5 \cdot X_{2i}.$$

Por ejemplo, para la primera observación:

$$IS_1 = 0,5 \cdot 16 + 0,5 \cdot 10 = 13.$$

El nuevo conjunto de datos sería:

Ingreso (\$)	Indicador sintético
2000	13
2200	12
1800	9.5
2400	14.5
2100	11

Esto permite modelar el ingreso sin incurrir en multicolinealidad entre las variables originales.

**Solución 5: Normalización de las variables.** Para poner las variables en una escala común (0 a 1), usamos la normalización mínima-máxima:

$$Z_{X_{1i}} = \frac{X_{1i} - X_{\min}}{X_{\max} - X_{\min}}, \quad Z_{X_{2i}} = \frac{X_{2i} - X_{\min}}{X_{\max} - X_{\min}}.$$

Por ejemplo, para  $X_1$  (educación):

$$Z_{X_1} = \left\{ \frac{16 - 12}{18 - 12}, \frac{15 - 12}{18 - 12}, \dots \right\} = \{0,67, 0,5, 0, 1, 0,33\}.$$

El nuevo conjunto de datos con las variables normalizadas será:

Ingreso (\$)	Educación normalizada	Experiencia normalizada
2000	0.67	0.83
2200	0.50	0.67
1800	0.00	0.33
2400	1.00	1.00
2100	0.33	0.50

Esto facilita el uso combinado de las variables para la generación de indicadores sintéticos o el ajuste del modelo.

# Capítulo 6

## Estabilidad de los parámetros estimados

En la estimación de los parámetros en el caso de enumeración temporal (series de tiempo), i.e.,  $X_i = X_t, t \leq n$ , nos interesamos en si los parámetros del modelo son los mismos para todo  $t$ . En efecto, cuando estimamos una relación usando el estimador de MCO se considera que el efecto marginal es fijo o el mismo para los diferentes periodos de tiempo. Sin embargo, puede existir  $t^*$  tal que  $t \leq t^*, \hat{\beta} = \hat{\alpha}$  y para  $t > t^*, \hat{\beta} = \hat{\gamma}$ . Este tipo de cambio estructural en los parámetros puede deberse a eventos externos significativos, cambios en la política económica o cambios en el comportamiento de los agentes económicos. Identificar y modelar adecuadamente estos puntos de cambio es crucial para obtener estimaciones precisas. Métodos como las pruebas de Chow ([Chow, 1960](#)) y la técnica de regresiones segmentadas ([Bai and Perron, 1998](#)) son comúnmente utilizados para detectar cambios estructurales en series de tiempo.

Observemos por ejemplo la figura 6.1. Se observa que la pendiente, dada por  $\beta$  tal que

$$\ln(\text{PBI})_t = \alpha + \beta \ln(\text{Inversión privada})_t,$$

no es la misma si consideramos  $t \in [1970 - 1990]$ , a si consideramos  $t \in [1991 - 2018]$ . Ciertamente el parámetro  $\beta$  va a depender de la muestra que se tome, o sea,  $\beta$  depende de  $I$ , donde  $t \in I \subset \{t_0, t_1, \dots, T\}$ . Sin embargo, nos preguntamos hasta que punto esto sería meramente explicado por un factor aleatorio al considerar periodos diferentes, i.e., cuando esta diferencia es estadísticamente significativa.

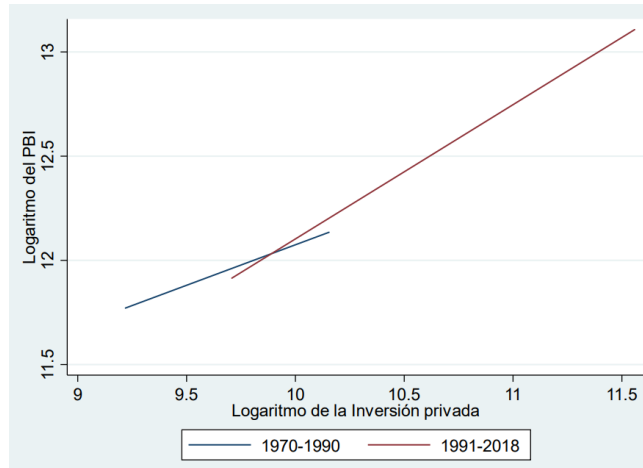


Figura 6.1  $\ln(\text{PBI})$  vs  $\ln(\text{Inversión privada})$ .

**Definición 6.0.1.** El tiempo  $t^*$  es conocido como punto de quiebre, y se puede originar por fenómenos naturales, crisis financieras, implementación de Tratados de Libre Comercio, entre otros.

Hay dos formas de determinar el punto de quiebre  $t^*$ :

1. Fijarlo de manera arbitraria basado en conocimiento previo sobre el contexto del país o tema que se está analizando. Por ejemplo, teniendo en cuenta una crisis económica-sanitaria (COVID 19), vigencia de TLC (Tratados de Libre Comercio), etc.
2. El método de residuos recursivos, detallado en la siguiente sección.

## 6.1. Residuos Recursivos

Los residuos recursivos son un método para analizar la estabilidad de los parámetros  $\beta_j$ . Este método consiste en estimar el modelo MCO de un modo recursivo, es decir, aumentando la muestra paulatinamente. El error de predicción de  $Y_t$  se obtiene de la siguiente manera

$$\hat{\beta}_{t-1} = (X_{t-1}^T X_{t-1})^{-1} X_{t-1}^T Y_{t-1}.$$

Esto es, los parámetros estimados con el set

$$\{X_{1,1}, \dots, X_{1,t-1}, \dots, X_{k,1}, \dots, X_{k,t-1}\}.$$

Entonces, el error de predicción para la observación  $t$  sería

$$v_t = Y_t - \hat{Y}_t = Y_t - X_t \hat{\beta}_{t-1}. \quad (6.1)$$

Luego, a partir de (6.1), computamos el residuo recursivo normalizado  $w_t$ :

$$w_t = \frac{Y_t - X_t \hat{\beta}_{t-1}}{\sqrt{\sigma^2(1 + X_t^T (X_{t-1}^T X_{t-1})^{-1}) X_t}} \quad (6.2)$$

$$= \frac{v_t}{\sqrt{\sigma^2(1 + X_t^T (X_{t-1}^T X_{t-1})^{-1}) X_t}}, \quad (6.3)$$

$t = k + 1, \dots, n$ .

A la hora de computar (6.2), se tiene en cuenta que

$$\begin{aligned} \mathbb{E}[v_t | X_t] &= \mathbb{E}[Y_t - X_t \hat{\beta}_{t-1} | X_t] \\ &= 0 \end{aligned}$$

y, que

$$\text{Var}(v_t) = \sigma^2(1 + X_t^T (X_{t-1}^T X_{t-1})^{-1} X_t).$$

Enseguida, definimos lo que será la herramienta principal para determinar la significancia estadística de desvíos sistemáticos en los  $\beta$ .

**Definición 6.1.1. Cumulative Sum Control Chart: CUSUM.** Es la suma acumulada de los residuos normalizados, y el CUSUM cuadrado consiste en emplear los cuadrados de los residuos normalizados. Ambos estadísticos permiten comprobar desviaciones no aleatorias o desvíos sistemáticos.

$$\text{CUSUM} = \frac{1}{\hat{\sigma}} \sum_{j=k+1}^n w_j, \quad \hat{\sigma} = \frac{\text{SRC}}{n - k}$$

$$\text{CUSUM}_t^2 = \frac{\sum_{j=k+1}^t w_j^2}{\sum_{j=k+1}^n w_j^2}, \quad t = k + 1, \dots, n.$$

En el caso del CUSUM, el estadístico debe estar alrededor de 0 en caso no existan desvíos sistemáticos dado que el esperado de los errores es 0. En el caso del CUSUM cuadrado, el estadístico oscila entre 0 y 1. Los paquetes estadísticos trabajan con estos dos estadísticos, y, en función de estos, permiten determinar la significancia estadística del cambio en los parámetros estimados. Concretamente, se proveen bandas de confianza, ilustradas en las siguientes dos figuras.

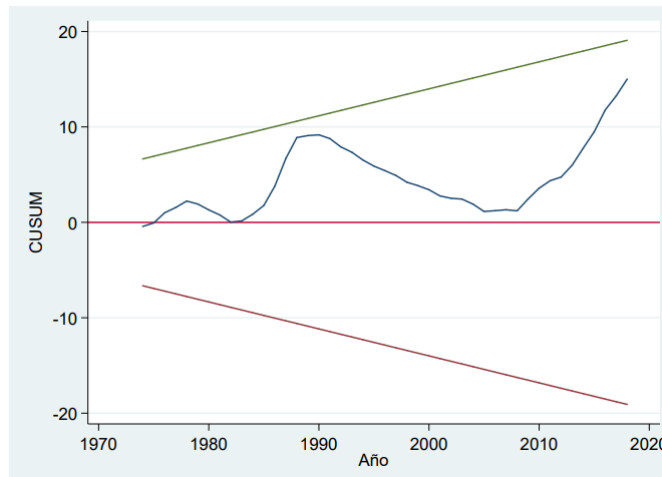


Figura 6.2  $\sum_{j=k+1}^n w_j$ .

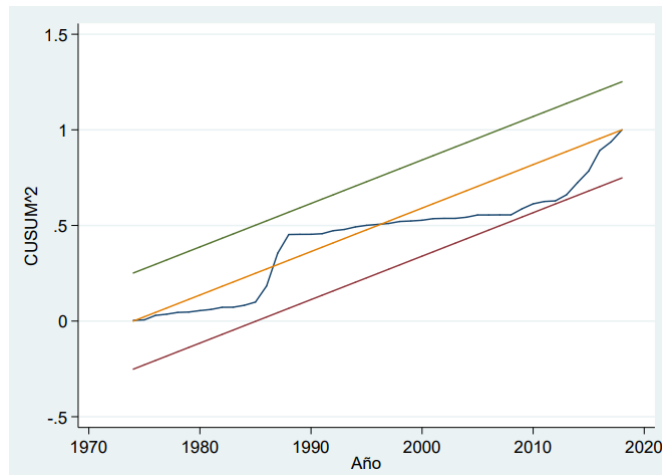


Figura 6.3  $\frac{\sum_{j=k+1}^t w_j^2}{\sum_{j=k+1}^n w_j^2}$ .

En caso el CUSUM o CUSUM cuadrado se *salga* de las bandas, se confirma la significancia estadística del cambio estructural en los parámetros (o sea, que efectivamente hay un quiebre). Queda entonces claro que cuando se trabaja con datos que son series temporales, puede pasar que exista un cambio estructural en la relación entre la variable dependiente y las independientes. Este cambio estructural se puede deber a causas exógenas (por ejemplo: fenómeno del niño, epidemia), o debido a cambios en la política pública de un país (por ejemplo: cambio en el sistema de conversión del tipo de cambio) u otra causa exógena. A continuación, presentamos el test estadístico por excelencia a la hora de determinar cambios estructurales en los parámetros.

## 6.2. Test de Chow

Primero, se estima la regresión con todos los datos y se obtiene la sumatoria de residuos al cuadrado  $SRC_{CR}$ <sup>1</sup>

$$\sum_t (\hat{Y}_t - Y_t)^2.$$

Los grados de libertad de este estadístico es  $n_1 + n_2 - k - 1$ <sup>2</sup>, con  $k$  el número de explicativas en el modelo. En este modelo, se acepta que los coeficientes son iguales en ambos periodos, por lo que sería el modelo con restricciones. En segundo lugar, se estiman los modelos para cada uno de los periodos donde se espera que haya quiebre y se guardan la sumatoria de residuos al cuadrado de cada uno. Los grados de libertad de cada estadístico serán el número de observaciones, menos la cantidad de parámetros menos 1 (constante). Esto es

$$SRC_{SR} = SRC_{SR1} + SRC_{SR2},$$

con  $n_1 + n_2 - 2k - 2$  grados de libertad. Finalmente, definimos el estadístico

$$F = \frac{\frac{SRC_{CR} - SRC_{SR}}{k + 1}}{\frac{SRC_{SR}}{n_1 + n_2 - 2k - 2}}. \quad (6.4)$$

Con los instrumentos previamente calculados, ya es posible definir en qué consiste el test de Chow, detallado en la siguiente definición.

**Definición 6.2.1. Test de Chow.** El estadístico (6.4) se compara con  $F_{k+1, n_1+n_2-2k-2}$  (valor de tablas o teórico). Acá  $k$  es el número de parámetros (no cuenta la constante). La hipótesis nula es que los parámetros son iguales ambos periodos (no hay cambio estructural). Si  $F_{calculado} > F_{tablas}$  se rechaza la hipótesis nula.

Luego de aplicar el test de Chow, en función de los resultados (si se determina el cambio estructural), el modelo original puede ser sustituido por un modelo con dummies. Esto es, si tenemos 2 periodos de tiempo,  $D_i = 0 \vee 1$  (0 para el primer

<sup>1</sup>También llamado suma de cuadrados residuales SCR.

<sup>2</sup>Siendo  $n_1$  y  $n_2$  el número de periodos en cada una de las 2 etapas.

periodo, 1 para el periodo dos). El modelo sería entonces

$$Y_t = \beta_0 + \beta_1 X_{1t} + \beta_2 X_{2t} + \dots + \beta_k X_{kt} + \gamma_0 D_t + \sum_{i=1}^k \gamma_i D_i X_{it} + \epsilon_t.$$

Se incluye  $\gamma_0 D_t$  para analizar un cambio en el intercepto.

**Ejemplo 6.1.** Un investigador quiere estimar el ahorro en función del ingreso disponible, para ello cuenta con datos anuales del ahorro personal ( $S$ ) y el ingreso disponible ( $I$ ) para el periodo 1988-2005. Luego, estima el siguiente modelo:

$$S_t = \beta_1 + \beta_2 I_t + \epsilon_t.$$

El investigador obtiene los siguientes resultados,

Variable	Coefficiente	Error estándar
Constante	-1.082	0.145
$I_t$	0.118	0.009
$R^2$	0.92	-
SRC	0.572	-

Tomando en consideración que a mediados del año 1997 se dio una grave crisis financiera en Asia que afectó a varios países, el investigador plantea la posibilidad de un cambio estructural en dicho año. Por lo que, se desea analizar si ocurrió un cambio solo en intercepto, o solo en pendiente, o en intercepto y pendiente a la vez. Teniendo en cuenta los siguientes datos

	Periodo 1988-1996	1997-2005
$\sum(I_t - \bar{I})^2$	28.2622	89.62
$\sum(S_t - \bar{S})^2$	0.2022	2.2217
$\sum(I_t - \bar{I})(S_t - \bar{S})$	1.3291	13.4833

es posible, al 95% de confianza determinar si ocurrió, a la vez, un cambio en el

intercepto y en la pendiente. En efecto, basta con aplicar el test de Chow.

$$\begin{aligned}
 \text{SRC} &= \sum_{t=1}^n (S_t - \hat{S}_t)^2 \\
 &= \sum_{t=1}^n (S_t - \bar{S})^2 - \sum_{t=1}^n (\hat{S}_t - \bar{S})^2 \\
 &= \sum_{t=1}^n (S_t - \bar{S})^2 - \sum_{t=1}^n (\hat{\beta}_1 + \hat{\beta}_2 I_t - \hat{\beta}_2 \bar{I} - \hat{\beta}_1)^2 \\
 &= \sum_{t=1}^n (S_t - \bar{S})^2 - \hat{\beta}_2^2 \sum_{t=1}^n (I_t - \bar{I})^2 \\
 &= \sum_{t=1}^n (S_t - \bar{S})^2 - \left[ \frac{\sum_{t=1}^n (I_t - \bar{I})(S_t - \bar{S})}{\sum_{t=1}^n (I_t - \bar{I})^2} \right]^2 \sum_{t=1}^n (I_t - \bar{I})^2.
 \end{aligned}$$

Note que se ha usado el hecho que  $\hat{\beta}_1 = \bar{S} - \hat{\beta}_2 \bar{I}$  y que  $\hat{\beta}_2 = \frac{\sum_{t=1}^n (I_t - \bar{I})(S_t - \bar{S})}{\sum_{t=1}^n (I_t - \bar{I})^2}$ . De ahí,

$$\text{SRC}_{SR_1} = 0,1396$$

$$\text{SRC}_{SR_2} = 0,1931$$

$$\text{SRC}_{SR} = 0,3327$$

y

$$F_{\text{estadístico}} = \frac{\frac{\text{SRC}_{CR} - \text{SRC}_{SR}}{1+1}}{\frac{\text{SRC}_{SR}}{18-2-2}} = 5,039 > F_{\text{tablas}}.$$

Se rechaza entonces la  $H_0$ , i.e., sí hubo un cambio estructural. Veamos ahora si ocurrió un cambio solo en la pendiente o en ambas y no solo en la pendiente. Para ello, definimos la siguiente variable dicotómica

$$D_t = \begin{cases} 1, & \text{si } t \in [1988, 1996) \\ 0, & t \in [1996, T] \end{cases}$$

y consideremos los siguientes modelos.

Modelo	Especificación	SRC
Sin cambios	$S_t = \beta_1 + \beta_2 I_t + u_t$	0.572
Cambio en $\beta_2$	$S_t = (\beta_1 + \beta_3 D_t) + (\beta_2 + \beta_4 D_t) I_t + u_t$	0.332
Cambio en $\beta_1$	$S_t = (\beta_1 + \beta_3 D_t) + \beta_2 I_t + u_t$	0.563

Para poder realizar los exámenes estadísticos, recordemos que  $F(0,95; 1; 14) = 4,6$ ,  $F(0,95; 1; 15) = 4,54$ ,  $F(0,95; 2; 14) = 3$ . Ahora, contrastamos el modelo 1 con el 3, es decir,  $H_0 : \beta_3 = 0$ . El estadístico  $F$  es

$$F = \frac{\frac{\text{SRC}_R - \text{SRC}_I}{q}}{\frac{\text{SRC}_I}{N-m}},$$

donde

1.  $\text{SRC}_R$  es la suma de cuadrados residuales en el modelo restringido.
2.  $\text{SRC}_I$  es la suma de cuadrados residuales en el modelo irrestricto.
3.  $q$  el número de restricciones.
4.  $N$  el número de observaciones y  $m$  el número de parámetros en el modelo irrestricto.

De ahí, como  $q = 1$ ,  $N = 18$  y  $m = 3$ ,

$$F = \frac{\frac{0,572 - 0,362}{1}}{\frac{0,562}{15}} = 0,257.$$

Así, como  $0,257 < 4,54$ , no se rechaza la hipótesis nula, la pendiente no cambia. Finalmente, para contrastar los modelos 2 y 3, procediendo de manera análoga, pero teniendo en cuenta que  $m = 4$ ,

$$F = \frac{\frac{0,562 - 0,362}{1}}{\frac{0,332}{14}} = 9,67 > 4,6.$$

Así, se rechaza la hipótesis nula, hay efectivamente un cambio en pendiente.

**Ejemplo 6.2.** El objetivo de este análisis es evaluar si el efecto de ciertas variables independientes sobre el nivel de anemia (HW57) difiere entre personas que viven en zonas urbanas y no urbanas. Esto se realiza mediante el Test de Chow, que examina diferencias estructurales en los coeficientes de regresión entre ambos grupos.

La variable dependiente es HW57, que mide el nivel de anemia. La variable dummy urbano divide los datos en dos grupos: urbano (urbano = 1) y no urbano (urbano = 0). Las variables independientes son:

- fiebre: indicador binario (1 si ha tenido fiebre, 0 si no).

- peso\_n: peso de la persona (variable continua).
- trabaja\_m: indicador binario (1 si trabaja, 0 si no).

En el análisis, se obtuvieron los siguientes resultados:

- Suma de residuos cuadrados del modelo con la muestra completa: SRCCR = 5664,33 (ver figura 6.4).
- Suma de residuos cuadrados de los modelos separados:

$$\text{SRCSR}_{\text{urbano}} = 3718,25 \quad (\text{ver figura 6.4}),$$

$$\text{SRCSR}_{\text{no urbano}} = 1881,48 \quad (\text{ver figura 6.5}),$$

$$\text{SRCSR} = \text{SRCSR}_{\text{urbano}} + \text{SRCSR}_{\text{no urbano}} = 3718,25 + 1881,48 = 5600,73.$$

- Número de coeficientes en el modelo con la muestra completa (excluyendo la constante):  $k = 3$ .
- Número de observaciones:

$$n_1 = 9544 \quad (\text{zonas urbanas}),$$

$$n_2 = 3592 \quad (\text{zonas no urbanas}).$$

El estadístico  $F$  del Test de Chow se calcula como:

$$F = \frac{(\text{SRCCR} - \text{SRCSR})/k}{\text{SRCSR}/(n_1 + n_2 - 2k)}.$$

Sustituyendo los valores:

$$\begin{aligned} F &= \frac{(5664,33 - 5600,73)/3}{5600,73/(9544 + 3592 - 2 \cdot 3)} \\ &= \frac{63,60/3}{5600,73/13130} \\ &= \frac{21,20}{0,4265} \\ &= 50,49. \end{aligned}$$

El valor crítico de  $F$  para un nivel de significancia del 5% y los grados de libertad correspondientes es  $F_{\text{crítico}} = 2,61$ . Dado que  $F = 50,49 > F_{\text{crítico}}$ , se rechaza la hipótesis

nula de igualdad de coeficientes entre los grupos. Además, el  $p$ -valor ( $p = 0,0056$ ) respalda esta conclusión.

En resumen, los resultados indican que los coeficientes de las variables fiebre, peso\_n y trabaja\_m sobre HW57 difieren significativamente entre zonas urbanas y no urbanas.

```
. reg HW57 fiebre peso_n trabaja_m
```

Source	SS	df	MS	Number of obs	=	13,176
Model	36.927695	3	12.3092317	F(3, 13172)	=	28.62
Residual	5664.32845	13,172	.430027972	Prob > F	=	0.0000
				R-squared	=	0.0065
				Adj R-squared	=	0.0063
Total	5701.25615	13,175	.432732914	Root MSE	=	.65577

HW57	Coef.	Std. Err.	t	P> t	[95% Conf. Interval]
fiebre	-.1036625	.0145591	-7.12	0.000	-.1322005 -.0751245
peso_n	.0372469	.0106773	3.49	0.000	.0163178 .0581759
trabaja_m	.0543799	.0116021	4.69	0.000	.031638 .0771218
_cons	3.457304	.0358871	96.34	0.000	3.38696 3.527647

```
. display e(rss)
5664.3285
```

Figura 6.4 Regresión para la muestra completa.

```
. reg HW57 fiebre peso_n trabaja_m if urbano == 1
```

Source	SS	df	MS	Number of obs	=	9,548
Model	23.9555321	3	7.98517737	F(3, 9544)	=	20.50
Residual	3718.25174	9,544	.3895905	Prob > F	=	0.0000
				R-squared	=	0.0064
				Adj R-squared	=	0.0061
Total	3742.20727	9,547	.391977298	Root MSE	=	.62417

HW57	Coef.	Std. Err.	t	P> t	[95% Conf. Interval]
fiebre	-.0827285	.0164038	-5.04	0.000	-.1148834 -.0505736
peso_n	.017592	.0119724	1.47	0.142	-.0058764 .0410604
trabaja_m	.0748603	.012975	5.77	0.000	.0494265 .1002941
_cons	3.547262	.0406689	87.22	0.000	3.467543 3.626982

```
. display e(rss)
3718.2517
```

Figura 6.5 Regresión para zonas urbanas.

```
. reg HW57 fiebre peso_n trabaja_m if urbano == 0
```

Source	SS	df	MS	Number of obs	=	3,628
Model	13.7606295	3	4.58687649	F(3, 3624)	=	8.84
Residual	1881.47531	3,624	.519170892	Prob > F	=	0.0000
				R-squared	=	0.0073
				Adj R-squared	=	0.0064
Total	1895.23594	3,627	.522535413	Root MSE	=	.72054

HW57	Coef.	Std. Err.	t	P> t	[95% Conf. Interval]
fiembre	-.1459764	.029913	-4.88	0.000	-.2046243 - .0873284
peso_n	.0361879	.0227482	1.59	0.112	-.0084127 .0807884
trabaja_m	.0021075	.0242886	0.09	0.931	-.0455131 .0497281
_cons	3.391626	.0741626	45.73	0.000	3.246221 3.53703

```
. display e(rss)
1881.4753
```

Figura 6.6 Regresión para zonas no urbanas.

En conclusión, el test de Chow sigue siendo una herramienta fundamental en econometría para evaluar cambios estructurales en modelos de regresión, especialmente en escenarios donde se sospechan alteraciones en las relaciones económicas debido a eventos externos o cambios en políticas. Aunque su formulación original data de 1960, los avances recientes han ampliado significativamente su aplicabilidad y robustez (Nielsen and Whitby, 2012). Por ejemplo, trabajos como los de Sun and Wang (2019) han adaptado el test para manejar problemas de heteroscedasticidad y autocorrelación, mientras que Gupta and Seo (2019) exploran su uso en contextos de alta dimensionalidad, características comunes en los datos económicos modernos. Estos desarrollos no solo mejoran la fiabilidad del test en entornos más complejos, sino que también subrayan su relevancia continua en el análisis de cambios estructurales, adaptándose a los retos que plantean los datos contemporáneos.

# Capítulo 7

## Heterocedasticidad

En este capítulo, nos enfocamos en las propiedades de los errores  $\epsilon$  del modelo  $k$ -lineal, con énfasis en la normalidad y la constancia de la varianza de los errores. Estos supuestos son fundamentales para garantizar la validez de las inferencias estadísticas en modelos de regresión. Dos de los supuestos clave del modelo son:  $\mathbb{E}[\sum_{i=1}^n \epsilon_i] = 0$ , que implica ausencia de sesgo en los errores, y  $\text{Var}(\epsilon_i^2) = \sigma^2$ , que establece la homocedasticidad.

Bajo el supuesto de normalidad, el vector de estimadores sigue la distribución:

$$\hat{\beta} \sim \mathcal{N}(\beta, \sigma^2(X^T X)^{-1}),$$

lo que permite realizar contrastes estadísticos como el  $t$ -Student,  $F$ -Fisher y  $\chi^2$ . Además, la variable dependiente condicionada al conjunto de variables independientes sigue una distribución normal:

$$f(Y|X\beta, \sigma^2) = \frac{1}{\sqrt{2\pi}\sigma} \exp\left(-\frac{(Y - X\beta)^T(Y - X\beta)}{2\sigma^2}\right).$$

Esto garantiza que los residuos tengan media cero y varianza constante, propiedades esenciales para la validez de las inferencias estadísticas.

Sin embargo, cuando los errores no presentan varianza constante (heterocedasticidad), estas propiedades se ven comprometidas. Entre los trabajos seminales que abordan este problema, destaca el test de Breusch-Pagan ([Breusch and Pagan, 1979](#)), que evalúa si la varianza de los residuos está relacionada con las variables explicativas. Asimismo, el test de White ([White, 1980](#)) propone un enfoque robusto que analiza todas

las combinaciones cuadráticas de las variables explicativas. Por otro lado, la normalidad de los errores puede analizarse mediante el test de Jarque-Bera ([Jarque and Bera, 1980](#)), que evalúa la simetría y curtosis de los residuos.

En este capítulo, exploraremos primero cómo diagnosticar si los errores cumplen con la propiedad de normalidad y cómo identificar la presencia de heterocedasticidad. Posteriormente, estudiaremos métodos para corregir estos problemas, como los estimadores de varianza robusta ([White, 1980](#)), transformaciones de variables y técnicas como la regresión ponderada, asegurando así la validez de las inferencias estadísticas en modelos lineales.

## 7.1. Tests de normalidad

Una variable aleatoria  $X$  que sigue una distribución normal se caracteriza por una serie de propiedades. Primero, requerimos de algunas definiciones.

**Definición 7.1.1.** Sea  $F$  una ley de distribución relativa al conjunto de datos  $\{y_1, \dots, y_n\}$ . El  $Q - Q$  plot es la representación gráfica de los cuantiles teóricos de  $F$

$$F^{-1}\{1/(n+1)\}, F^{-1}\{2/(n+1)\}, \dots, F^{-1}\{n/(n+1)\}.$$

versus los estadísticos de orden  $y_{(1)} \leq y_{(2)} \leq \dots \leq y_{(n)}$ .

**Teorema 7.1.** En caso  $F$  sea la distribución de una normal  $\mathcal{N}(\mu, \sigma^2)$ . Entonces, el  $Q - Q$  plot no es nada menos que una recta de intercepto  $\mu$  y pendiente  $\sigma$ .

*Demostración.* Sea

$$\operatorname{erf}(x) = \frac{2}{\sqrt{\pi}} \int_0^x e^{-t^2} dt.$$

Luego,

$$\begin{aligned} \Phi_{\mu, \sigma^2}(x) &= \int_{-\infty}^x \frac{1}{\sigma\sqrt{2\pi}} e^{-\frac{(u-\mu)^2}{2\sigma^2}} du \\ &= \frac{1}{2} \left[ 1 + \operatorname{erf}^{-1} \left( \frac{x-\mu}{\sigma\sqrt{2}} \right) \right], \quad x \in \mathbb{R}. \end{aligned}$$

Así,

$$\Phi^{-1} = \mu + \sigma\sqrt{2}\operatorname{erf}^{-1}(2p-1), \quad p \in (0, 1).$$

□

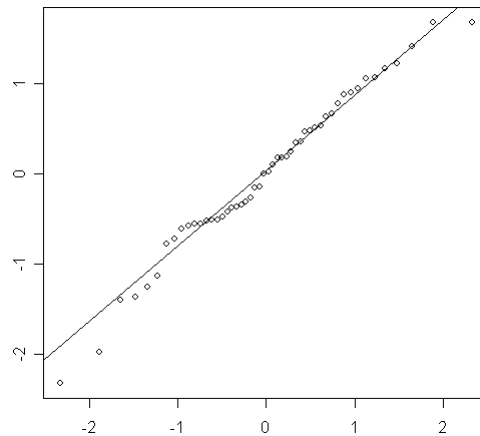


Figura 7.1 Gráfico  $Q - Q$  normal de datos  $N(0,1)$  generados aleatoriamente .

Si bien la representación gráfica es bastante útil, no es un método exacto, de máxima precisión e infalible<sup>1</sup>. Por ello, se introducen una serie de contrastes estadísticos fundamentados en las siguientes propiedades.

**Teorema 7.2.** Si  $X \sim \mathcal{N}(\mu_X, \sigma_X^2)$ :

1.  $\mathbb{E}[X] = \mu_X$ .
2.  $\text{Var}[X] = \mathbb{E}[(X - \mu_X)^2] = \sigma_X^2$ .
3.  $\bar{\mu}_3 = \mathbb{E} \left[ \left( \frac{X - \mu_X}{\sigma_X} \right)^3 \right] = 0$ .
4.  $\bar{\mu}_4 = \mathbb{E} \left[ \left( \frac{X - \mu_X}{\sigma_X} \right)^4 \right] = 3$ .

En relación al teorema (7.2):

1. La notación  $\mu_X$  y  $\sigma_X$  hace énfasis en el hecho que  $X$  puede venir de una muestra aleatoria.
2.  $\bar{\mu}_3 = S$  se conoce como la asimetría de  $X$ .
3.  $\bar{\mu}_4 = \kappa$  se conoce como la curtosis de  $X$ .

---

<sup>1</sup>Después de todo, es un análisis visual.

4. De manera general, si  $X \sim F$ , tal y como se precisa en el apéndice de teoría de la probabilidad,

$$\mathbb{E}[X^n] = \begin{cases} \sum x^n \mathbb{P}(x) & \text{si la variable es discreta.} \\ \int x^n dF(x), & \text{si la variable es continua.} \end{cases} \quad (7.1)$$

Usando (7.1), es posible computar  $S$  y  $\kappa$ .

¿De qué manera podemos analizar si  $\{X_i\}_{i=1}^n$  posee la propiedades señaladas en el teorema (7.2)? Aplicando alguno de los siguientes tres tests estadísticos:

1. Jarque-Bera.
2. Kolmogorov-Smirnov.
3. Shapiro-Wilks.

Veamos en qué consisten dichos contrastes estadísticos.

**Definición 7.1.2. Jarque-Bera.** La prueba estadística de Jarque-Bera es una prueba de *bondad de ajuste* cuyo objetivo es comprobar si una muestra de datos  $\{X_i\}_{i=1}^n$  tiene la asimetría y la curtosis de una distribución normal. Se definen:

- La hipótesis nula  $H_0 : S = 0$  y  $\kappa = 3$  (la muestra se distribuye normalmente).
- La hipótesis alternativa  $H_1 : S \neq 0$  o  $\kappa \neq 3$ .
- El estadístico

$$JB = \frac{n}{6} \left[ S^2 + \frac{(\kappa - 3)^2}{4} \right] \simeq \chi^2(2)$$

donde  $n$  es el número de observaciones,  $S$  la asimetría y  $\kappa$  la curtosis.

A un nivel de significancia del 5% el estadístico  $\chi^2$  tiene como valor crítico o de tablas de 5.99. Entonces, si el valor del estadístico estimado es menor al de tablas, se acepta la hipótesis nula de normalidad de la variable; en caso contrario, se rechaza la nula y la variable no es normal.

**Ejemplo 7.1.** Sea  $S = 0,06$  y  $\kappa = 3,39$ . Entonces, para  $n = 7111$

$$JB = \frac{7111}{6} \left[ (0,06)^2 + \frac{(3,39 - 3)^2}{4} \right] = 49,30 > 5,99.$$

Así, se rechaza la  $H_0$ : la muestra no se distribuye normalmente.

**Definición 7.1.3. Kolmogorov-Smirnov.** Sean  $X_1, \dots, X_n$  iid, que toman valores en  $\mathbb{R}$  y cuya función de distribución

$$F_X(x) = \mathbb{P}(X \leq x)$$

es  $F$ . Recordemos que la función de distribución empírica (EDF) de la muestra  $F_n$  se define como

$$F_n(x) = \frac{1}{n} \sum_{i=1}^n \mathbf{1}_{\{X_i \leq x\}}.$$

Luego, definimos

$$D_n = \sup_{x \in \mathbb{R}} |F_n(x) - F(x)|.$$

De este modo, si  $F$  es la distribución de una normal, es posible analizar si la muestra se distribuye según una normal si  $D_n \rightarrow 0$ .

**Definición 7.1.4. Shapiro-Wilks.** El estadístico de contraste del test de Shapiro-Wilks es

$$W = \frac{(\sum_{i=1}^n a_i X_{(i)})^2}{\sum_{i=1}^n (X_i - \bar{X})^2}$$

donde  $\bar{X} = \frac{1}{n} \sum_{i=1}^n X_i$ ,  $X_{(i)}$  el  $i$ -ésimo estadístico de orden y los coeficientes  $a_i$  se calculan de la siguiente manera:

$$(a_1, \dots, a_n) = \frac{m^T \Sigma^{-1}}{C}, \quad C = \|\Sigma^{-1} m\| = \sqrt{m^T \Sigma^{-1} \Sigma^{-1} m}$$

donde  $m = (m_1, \dots, m_n)^T$  los valores esperados de los estadísticos de orden de variables aleatorias independientes e idénticamente distribuidas según una ley normal, y  $\Sigma$  es la matriz de varianzas y covarianzas de dichos estadísticos de orden.

La  $H_0$  se rechaza si  $W \rightarrow 0$ . El valor de  $W$  puede oscilar entre 0 y 1. Para efectuar el contraste, se usan los valores de tabla, que se calculan vía métodos más avanzados que escapan de los temas abordados en este texto.

Los contrastes estadísticos Jarque-Bera, Shapiro-Wilks y Kolmogorov-Smirnov nos permiten identificar la normalidad de los errores aplicando dichos tests a los errores  $\hat{\epsilon}_i = Y_i - \hat{Y}_i$ . En caso no exista normalidad en los residuos, uno de los causantes es la presencia de *heterocedasticidad*. ¿Qué origina la heterocedasticidad? ¿qué es? y ¿cómo detectarla? Estas interrogantes serán respondidas en la siguiente sección.

## 7.2. Métodos de detección de heterocedasticidad

En los modelos de regresión lineales se dice que hay heterocedasticidad cuando la varianza de los errores no es igual en todas las observaciones realizadas. Matemáticamente, es la negación del siguiente enunciado

$$\text{Var}(\epsilon_i|X) = \sigma^2, \forall i = 1, \dots, n.$$

Las causas más comunes de la heterocedasticidad son

1. Una mala especificación del modelo: regresores omitidos.
2. Forma funcional incorrecta en las variables usadas en el modelo: una de las variables tiene una relación no lineal con la dependiente.
3. Un cambio estructural puede provocar una estimación errónea de los parámetros. Esto se produce en algunas secciones de la muestra y genera diversos problemas en el modelo.

Note que el último ítem ya fue analizado en el capítulo anterior. Queda entonces únicamente una interrogante: ¿cómo se detecta la heterocedasticidad? Existen (por fortuna) diversos métodos:

1. Un análisis gráfico de los errores estimados al cuadrado en función de la muestra.
2. La prueba de Park.
3. La prueba de Glesjer.
4. La prueba de Breuch-Pagan-Godfrey.
5. La prueba de White.

El análisis gráfico consiste en estudiar si existe alguna relación directa o patrón de los errores estimados al cuadrado  $\hat{\epsilon}^2$  en función de  $X$ .

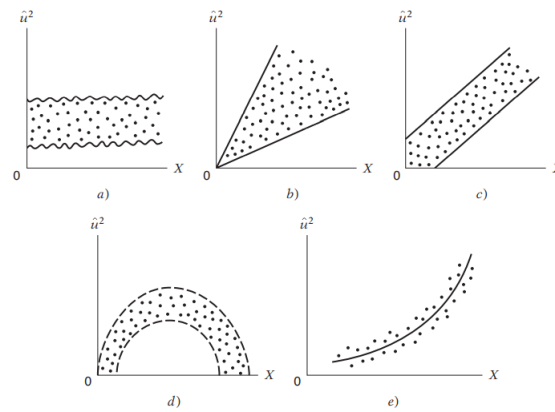


Figura 7.2 Heterocedasticidad: correlación errores. La figura ha sido extraída de (Gujarati and Porter, 2010).

La presencia de un patrón son indicios de heterocedasticidad. Si bien el análisis gráfico provee una buena primera forma de detectar el problema, no constituye un método formal. Por ello, se recurre a las pruebas estadísticas que detallaremos a continuación.

**Definición 7.2.1. Prueba de Park.** Primero, se estima vía MCO

$$Y_i = \beta_0 + \beta_1 X_{1i} + \dots + \beta_k X_{ki} + \epsilon_i.$$

Enseguida, se calcula

$$\hat{\epsilon} = Y - \hat{Y}.$$

Esto es

$$\hat{\epsilon}_i = Y_i - \hat{Y}_i, \forall i = 1, \dots, n.$$

Enseguida, se efectúa la siguiente regresión

$$\ln \hat{\epsilon}_i^2 = \alpha_0 + \ln X_{1i} + \dots + \alpha_p \ln X_{pi} + \epsilon_i$$

donde  $u_i$  es un error aleatorio “well behaved” (normalmente distribuido), y  $p \leq k$ . Si los coeficientes son significativos, se confirma la presencia de heterocedasticidad.

**Ejemplo 7.2.** Supongamos que se tiene el siguiente modelo  $Y$  =salario promedio en miles de dólares y  $X$  =productividad promedio en miles de dólares

$$Y_i = \beta_1 + \beta_2 X_i + \epsilon_i.$$

Vía MCO se obtiene

$$\hat{Y}_i = 1992,3452 + 0,2329X_i.$$

Los parámetros  $\hat{\beta}_1 = 1992,3452$  y  $\hat{\beta}_2 = 0,2329$  tienen respectivamente error estándar

$$ee = (936,4791)(0,0998).$$

Luego,  $t = \hat{\beta}/ee(\hat{\beta})$ . Así,

$$t = (2,1275)(2,333), R^2 = 0,4375.$$

Los resultados revelan que el coeficiente de la pendiente estimado es significativo en el nivel de 5% con base en una prueba  $t$  de una cola (umbral en 1.96). La ecuación muestra que, a medida que aumenta la productividad laboral, por ejemplo, en un dólar, el salario aumenta, en promedio, alrededor de 23 centavos de dólar. Ahora, en la regresión de los residuos sobre la explicativa, se obtiene

$$\ln \hat{\epsilon}_i^2 = 35,817 - 2,8099 \ln X_i$$

$$ee = (38,319)(4,216)$$

$$t = (0,934)(-0,667), R^2 = 0,0595.$$

No hay una relación estadísticamente significativa entre ambas variables. Según la prueba de Park, se puede concluir que no hay heterocedasticidad en la varianza del error.

**Definición 7.2.2. Prueba de Glesjer.** La prueba de Glesjer consiste en realizar un análisis de significancia a los parámetros estimados del siguiente modelo

$$|\hat{\epsilon}_i| = \alpha_0 + \alpha_1 X_{1i} + \dots + \alpha_p X_{pi} + u_i.$$

Acá,  $u_i \sim N(0, \sigma^2)$ .

A veces se efectúa la regresión

$$|\hat{\epsilon}_i| = \alpha_0 + \alpha_1 X_{1i}^{\gamma_1} + \dots + \alpha_p X_{pi}^{\gamma_p} + v_i, \gamma_i = \pm 1/2.$$

**Definición 7.2.3. Prueba de Breusch-Pagan-Godfrey.** La prueba de Breusch-Pagan-Godfrey consiste en lo siguiente. Dado el modelo de regresión lineal

$$Y_i = \beta_0 + \beta_1 X_{1i} + \dots + \beta_k X_{ki} + \epsilon_i, i = 1, \dots, n,$$

suponemos que

$$\sigma_i^2 = f(\alpha_0 + \alpha_1 Z_{1i} + \dots + \alpha_p Z_{pi})$$

con  $Z_{ij} \in \{X_{ij}\}_{1 \leq j \leq n}$ . Es decir, una función no estocástica de un subconjunto de los regresores. En particular, tomamos  $f(\cdot)$  lineal

$$\sigma_i^2 = \alpha_0 + \alpha_1 Z_{1i} + \dots + \alpha_p Z_{pi}.$$

Si  $\alpha_j = 0, \forall 1 \leq j \leq n$ , los errores son homocedásticos. Ahora bien, queda la interrogante ¿de qué manera se implementa la prueba usando los datos (dado que los  $\sigma_i$  son parámetros)? Se procede de la siguiente manera

- Se estima vía MCO el modelo y se obtienen los  $\hat{\epsilon}_i$ .
- Se calcula  $\hat{\sigma}_2 = \frac{\sum_{i=1}^n \hat{u}_i^2}{n-k}$ .
- Se define  $\gamma_i = \frac{\hat{\epsilon}_i^2}{\hat{\sigma}_2}$ .
- Efectuamos la regresión

$$\gamma_i = \alpha_0 + \alpha_1 Z_{1i} + \dots + \alpha_p Z_{pi} + u_i$$

con el objetivo de calcular la  $SCE = \sum_{i=1}^n (\hat{\gamma}_i - \bar{\gamma})^2$ .

- Enseguida, definimos

$$\Theta = \frac{SCE}{2} \sim \chi^2(p-1).$$

- Si  $\Theta = \frac{SCE}{2} > \chi_{1-\alpha}^2(p-1)$  se rechaza la hipótesis nula (homocedasticidad).

**Definición 7.2.4. Test de White.** Dado el modelo

$$Y_i = \beta_0 + \beta_1 X_{1i} + \beta_2 X_{2i} + \epsilon_i, \quad i = 1, \dots, n,$$

se estiman vía MCO los errores  $\hat{\epsilon}_i^2 = (Y_i - \hat{Y}_i)^2$ . Enseguida, se plantea la regresión

$$\hat{\epsilon}_i^2 = \alpha_0 + \alpha_1 X_{1i} + \alpha_2 X_{2i} + \alpha_3 X_{1i}^2 + \alpha_4 X_{2i}^2 + \alpha_5 X_{1i} X_{2i} + u_i.$$

De este modelo se obtiene el  $R^2$  y se define el estadístico  $nR^2 \sim \chi^2(q)$  (en este caso  $q = 5$ ). Si  $nR^2 > \chi^2(q)$ , se rechaza  $H_0 : \alpha_j = 0, \forall j$ .

Las pruebas de Park, Glesjer y Breusch-Pagan-Godfrey son metodologías que permiten analizar la heterocedasticidad de los errores. Sin embargo, en la práctica, el test de White es el que se usa con mayor frecuencia. Esto se explica debido a lo siguiente:

- En los tests de Park y Glesjer se requiere saber qué variables causan la heterocedasticidad.
- La prueba de Glesjer requiere normalidad en los residuos.
- Irónicamente, los errores  $v_i$  en el caso de Park y Glesjer pueden ser heterocedásticos o presentar autocorrelación serial.
- Las pruebas de Breusch-Pagan-Godfrey y de White no requieren que se conozca la fuente de heterocedasticidad y tampoco requieren normalidad en los residuos.
- La prueba de White detecta interacción entre las explicativas en relación al término de error. Revelando un posible problema de multicolinealidad.

Ya se poseen las herramientas para detectar el problema de heterocedasticidad. Una vez detectada, ¿cómo corregirla? Esta interrogante será abordada a continuación.

### 7.3. Métodos para corregir la heterocedasticidad

Recordemos que el problema de heterocedasticidad se debe a que las varianzas no son constantes

$$\text{Var}(\epsilon_i) = \sigma_i^2, \quad 1 \leq i \leq n.$$

Sin embargo, de momento,  $\text{Cov}(\epsilon_i, \epsilon_j) = 0$ . De forma matricial, se puede entonces expresar el problema de heterocedasticidad de la siguiente manera:

$$\mathbb{E}[\epsilon\epsilon^T] = \Sigma = \begin{pmatrix} \sigma_1^2 & 0 & \cdots & 0 \\ 0 & \sigma_2^2 & \cdots & 0 \\ \vdots & \vdots & \ddots & 0 \\ 0 & \cdots & \cdots & \sigma_n^2 \end{pmatrix}.$$

Efectuando la siguiente transformación, la matriz de varianzas y covarianzas se escribe como

$$\Sigma = \sigma^2 \begin{pmatrix} \omega_1 & 0 & \cdots & 0 \\ 0 & \omega_2 & \cdots & 0 \\ \vdots & \vdots & \ddots & \vdots \\ 0 & \cdots & \cdots & \omega_n \end{pmatrix} = \sigma^2 \Omega. \quad (7.2)$$

El término  $\omega_i$  es el causante de la heterocedasticidad en los errores estimados. ¿Qué implica esta situación para los parámetros estimados mediante MCO? Recordemos una vez más que en el modelo de  $k$ - variables, se tenía

$$\hat{\beta} = (X^T X)^{-1} X^T Y.$$

A pesar del problema de heterocedasticidad,  $\mathbb{E}[\hat{\beta}] = \beta$ . Sin embargo,

$$\text{Var}(\hat{\beta}) = \sigma^2 (X^T X)^{-1} X^T \Omega X (X^T X)^{-1} \neq \sigma^2 (X^T X)^{-1}. \quad (7.3)$$

En resumen, si bien la presencia de heterocedasticidad no introduce sesgo en los parámetros estimados, sí origina problemas en la validez de las inferencias estadísticas dado que el estimador deja de ser eficiente.

A partir de dicha información, expresada por las ecuaciones (7.2) y (7.3), y siguiendo (White, 1980), se ejecutan los siguientes pasos para corregir el problema de heterocedasticidad. La estrategia consiste en transformar el modelo original de tal manera que los coeficientes estimados no cambien y solo sea la matriz de varianzas y covarianzas del modelo la que cambie, de tal forma que los nuevos errores estimados tengan varianza media 0 y varianza constante. Para lograr este fin, se pre-multiplica a todas las variables del modelo de regresión por una matriz  $P$  de dimensión  $n \times n$ .

$$Y = X\beta + \epsilon \text{ modelo original}$$

$$PY = P(X\beta) + P\epsilon \text{ modelo transformado}$$

$$Y^* = X^*\beta + \epsilon^*.$$

Con la transformación realizada, se puede apreciar que  $Y^*(= PY)$  y  $\epsilon^*(= P\epsilon)$  siguen siendo vectores de dimensión  $n \times 1$  con la diferencia que ahora cada observación de la variable  $Y^*$  es una combinación lineal de las  $n$  observaciones del vector  $Y$ , encontrándose los coeficientes de dichas combinaciones lineales en la matriz  $P$ . Lo

anterior también es aplicable para la matriz de variables explicativas y los errores del modelo original. Por otro lado, ninguna de estas nuevas variables tienen un significado económico claro; sin embargo, dado el supuesto de linealidad, se tiene que los coeficientes  $\beta_j$  siguen siendo los mismos del modelo original.

En relación a la matriz de varianzas y covarianzas de los errores, ahora se tiene

$$\text{Var}(\epsilon) = \text{Var}(P\epsilon) = P\text{Var}(\epsilon)P^T = \sigma^2 P\Omega P^T.$$

Así, el objetivo es que  $P\Omega P^T = I_n$ .

Ahora bien, como  $\Omega$  es una matriz simétrica, por la descomposición de Cholesky, existe una matriz cuadrada  $V$  triangular superior, tal que  $\Omega = VV^T$ . Así, debemos tener  $PVV^T P^T = I_n$ , de donde,  $P = V^{-1}$ .

**Definición 7.3.1. Estimador de Mínimos Cuadrados Generalizados.** El estimador de Mínimos Cuadrados Generalizados es

$$\hat{\beta}^* = (X^{*T} X^*)^{-1} X^{*T} Y^*. \quad (7.4)$$

Así, usando que  $X^* = V^{-1}X$  y  $Y^* = V^{-1}Y$

$$\begin{aligned} \hat{\beta}^* &= (X^T (V^{-1})^T V^{-1} X)^{-1} X^T (V^{-1})^T Y \\ &= (X^T \Omega^{-1} X)^{-1} X^T \Omega^{-1} Y. \end{aligned}$$

Entonces conociendo la fuente de la heterocedasticidad  $\Omega$ , se puede corregir el modelo.

**Teorema 7.3.** El estimador de Mínimos Cuadrados Generalizado es

- Es insesgado:  $\mathbb{E}[\hat{\beta}^*] = \beta$ .
- Tiene matriz de varianzas y covarianzas :  $\text{Var}(\hat{\beta}^*) = \sigma^2 (X^T \Omega^{-1} X)^{-1}$ .

Hay que encontrar entonces la matriz  $\Omega$  que será igual a  $VV^T$ . Una vez encontrada  $V$ , se pre-multiplica el modelo de regresión por la inversa de esta matriz y luego se estima el modelo MCO con las variables transformadas. Si se conoce la matriz  $\Omega$  simplemente se reemplaza en las formulas halladas para la estimación de los coeficientes y la varianza.

**Ejemplo 7.3.** Considérese el modelo lineal

$$Y_i = \beta_0 + \sum_{j=1}^k \beta_j X_{ji} + \epsilon_i.$$

La matriz de varianzas y covarianzas de los errores es

$$\text{Var}(\epsilon_i) = \begin{pmatrix} \sigma_1^2 & & & 0 \\ & \sigma_2^2 & & \\ & & \ddots & \\ 0 & & & \sigma_n^2 \end{pmatrix}.$$

Luego,

$$\Sigma = \begin{pmatrix} \sigma_1 & & & 0 \\ & \sigma_2 & & \\ & & \ddots & \\ 0 & & & \sigma_n \end{pmatrix} \begin{pmatrix} \sigma_1 & & & 0 \\ & \sigma_2 & & \\ & & \ddots & \\ 0 & & & \sigma_n \end{pmatrix} = VV^T.$$

$$V^{-1} = \begin{pmatrix} 1/\sigma_1 & & & 0 \\ & 1/\sigma_2 & & \\ & & \ddots & \\ 0 & & & 1/\sigma_n \end{pmatrix}.$$

Así

$$X^* = V^{-1}X = \begin{pmatrix} 1/\sigma_1 & X_{11}/\sigma_1 & \cdots & X_{k1}/\sigma_1 \\ 1/\sigma_2 & X_{12}/\sigma_2 & \cdots & X_{k2}/\sigma_2 \\ \vdots & \vdots & & \vdots \\ 1/\sigma_n & X_{1n} & \cdots & X_{kn}/\sigma_n \end{pmatrix}$$

y

$$Y^* = V^{-1}Y = \begin{pmatrix} Y_1/\sigma_1 \\ Y_2/\sigma_2 \\ \vdots \\ Y_n/\sigma_n \end{pmatrix}.$$

Con lo cual, a partir de (7.4)

$$\hat{\beta}_{MCG} = \underbrace{\begin{pmatrix} \sum_{i=1}^n \frac{1}{\sigma_i} & \sum_{i=1}^n \frac{X_{1i}}{\sigma_i} & \cdots & \sum_{i=1}^n \frac{X_{ki}}{\sigma_i} \\ \vdots & \sum_{i=1}^n \frac{X_{1i}^2}{\sigma_i^2} & \cdots & \sum_{i=1}^n \frac{X_{1i}X_{ki}}{\sigma_i^2} \\ \vdots & & \ddots & \vdots \\ \sum_{i=1}^n \frac{1}{\sigma_i} & & & \sum_{i=1}^n \frac{X_{ki}^2}{\sigma_i^2} \end{pmatrix}}_{(X^*T X^*)^{-1}}^{-1} \underbrace{\begin{pmatrix} \sum_{i=1}^n \frac{Y_i}{\sigma_i^2} \\ \sum_{i=1}^n \frac{X_{1i}Y_i}{\sigma_i^2} \\ \vdots \\ \sum_{i=1}^n \frac{X_{ki}Y_i}{\sigma_i^2} \end{pmatrix}}_{=X^*TY}.$$

**Ejemplo 7.4.** Considere el siguiente modelo heterocedástico

$$Y_i = \beta_0 + \beta_1 X_i + \epsilon_i, \quad n = 5, \quad \text{Var}(\epsilon_i) = \sigma^2 X_i.$$

$Y$  es el gasto en salud anual y  $X$  la renta anual de las familias. Lo que nos estaría indicando la forma de los errores es que las familias de rentas altas son las que tienen mayor variación en el gasto por salud, a diferencia de las familias de bajos niveles de ingresos. Supóngase que obtenemos los siguientes datos vía estimación MCO:

Familia ( $i$ )	Gasto $Y_i$	Ingreso $X_i$
1	7.0	10
2	12.8	20
3	18.3	35
4	25.3	50
5	33.4	60

Nuestro objetivo es obtener  $\hat{\beta}_{MCG}$ . Primero, identificamos las matrices  $\Sigma, \Omega$  y  $V$ .

$$\Sigma = \begin{pmatrix} \sigma X_1 & & & 0 \\ & \sigma X_2 & & \\ & & \ddots & \\ 0 & & & \sigma X_5 \end{pmatrix}, \quad \Omega = \begin{pmatrix} X_1 & & & 0 \\ & X_2 & & \\ & & \ddots & \\ 0 & & & X_5 \end{pmatrix}$$

$$V = \begin{pmatrix} \sqrt{X_1} & & & 0 \\ & \sqrt{X_2} & & \\ & & \ddots & \\ 0 & & & \sqrt{X_5} \end{pmatrix}, \quad V^{-1} = \begin{pmatrix} 1/\sqrt{X_1} & & & 0 \\ & 1/\sqrt{X_2} & & \\ & & \ddots & \\ 0 & & & 1/\sqrt{X_5} \end{pmatrix}.$$

De ahí, es posible computar directamente  $\hat{\beta}_{MCG}$  haciendo

$$\hat{\beta}_{MCG} = ((V^{-1}X)^T(V^{-1}X))^{-1}((V^{-1}X)V^{-1}Y).$$

Sin embargo, haciendo el cambio de variable  $Y^* = \frac{Y}{\sqrt{X}}$ ,  $X = \frac{1}{\sqrt{X}}$ ,  $\epsilon^* = \frac{\epsilon}{\sqrt{X}}$  y  $\beta_0^* = \frac{1}{\sqrt{X}}$ :

$$\begin{aligned} \text{Var}(\epsilon^*) &= \text{Var}\left(\frac{\epsilon}{\sqrt{X}}\right) \\ &= \frac{1}{X} \text{Var}(\epsilon) \\ &= \frac{\sigma^2 X}{X} \\ &= \sigma^2. \end{aligned}$$

Aplicando este cambio de variable, se aplica directamente la fórmula usual de los estimadores  $\beta = (X^T X)^{-1} X^T Y$  (pero post transformación). Los datos transformados proveen la siguiente tabla.

Familia ( $i$ )	Gasto $Y_i^*$	Ingreso $X_i^*$
1	2.214	3.162
2	2.862	4.472
3	3.093	5.916
4	3.678	7.071
5	4.312	7.746

Finalmente,

$$\hat{\beta}_{MCG} = (X^{*T} X^*)^{-1} X^{*T} Y^* = \begin{pmatrix} 2,125 \\ 0,496 \end{pmatrix}.$$

Puede ocurrir que no se conozca la posible fuente de heterocedasticidad en nuestro modelo; i.e., no se conoce  $\Sigma$ . En estos casos, se puede usar el estimador de White:

$$\text{Var}(\hat{\beta}) = (X^T X)^{-1} X^T \mathbb{E}[\epsilon \epsilon^T] X (X^T X)^{-1}.$$

Usamos entonces el siguiente estimador (White, 1980), para  $X^T \Omega X/n$

$$\frac{1}{n} \sum_{i=1}^n \hat{\epsilon}_i^2 X_i X_i^T.$$

White demostró que esta estimación puede realizarse de forma que las inferencias estadísticas sean asintóticamente válidas.

**Ejemplo 7.5.** Dado el modelo

$$Y_i = \beta_0 + \beta_1 X_i + \epsilon_i, \quad \text{Var}(\epsilon_i) = \sigma_i^2$$

como los  $\sigma_i^2$  no son directamente observados, para calcular

$$\text{Var}(\hat{\beta}_1) = \frac{\sum_{i=1}^n (X_i - \bar{X})^2 \sigma_i^2}{(\sum_{i=1}^n (X_i - \bar{X})^2)^2}$$

se usa  $\hat{\epsilon}_i$  en vez de  $\sigma_i^2$ :

$$\text{Var}(\hat{\beta}_1) = \frac{\sum_{i=1}^n X_i^2 \hat{\epsilon}_i^2}{(\sum_{i=1}^n (X_i - \bar{X})^2)^2}.$$

En el caso general

$$Y_i = \beta_0 + \beta_1 X_{1i} + \dots + \beta_k X_{ki} + \epsilon_i, \quad \text{Var}(\epsilon_i) = \sigma_i^2,$$

la varianza para cada coeficiente es

$$\text{Var}(\hat{\beta}_j) = \frac{\sum_{i=1}^n \hat{w}_{ij} \hat{\epsilon}_i^2}{(\sum_{i=1}^n \hat{w}_{ij}^2)^2}$$

con  $\hat{w}_j$  el error de la regresión de  $X_j$  en función de los demás regresores.

A continuación, brindamos un ejemplo más completo que permite sintetizar lo abordado en esta sección.

**Ejemplo 7.6.** Consideremos la siguiente especificación de función de producción que depende únicamente del capital y el empleo:

$$Y_i = \beta_0 + \beta_1 K_i + \beta_2 L_i + \epsilon_i. \tag{7.5}$$

Acá  $Y_i$  representa el valor agregado de la empresa medido en millones de soles,  $K_i$  a los activos fijos de la empresa en millones de soles y  $L_i$  al número de trabajadores en millones de personas. Recordemos que el test de White tiene como objetivo analizar si se presenta el problema de heterocedasticidad, i.e., la varianza de los errores no es constante en las observaciones:

$$\text{Var}(\epsilon_i) \neq \sigma^2, \quad \forall 1 \leq i \leq n.$$

Usando la regresión de la ecuación (7.5), el test de White consiste en efectuar los siguientes pasos:

1. Se estima la regresión

$$Y_i = \beta_0 + \beta_1 K_i + \beta_2 L_i + \epsilon_i,$$

vía MCO, y se obtienen los errores estimados  $\hat{\epsilon}_i = (Y_i - \hat{Y}_i)$ .

2. Luego, se elevan al cuadrado:  $\hat{\epsilon}_i^2 = (Y_i - \hat{Y}_i)^2$ .
3. Se efectúa la regresión de estos errores al cuadrado versus las variables explicativas iniciales, sus interacciones, y sus cuadrados. Para este modelo, dicha regresión sería:

$$\hat{\epsilon}_i^2 = \alpha_0 + \alpha_1 K_i + \alpha_2 L_i + \alpha_3 K_i L_i + \alpha_4 K_i^2 + \alpha_5 L_i^2 + u_i, \quad (7.6)$$

donde  $u_i$  es un término de error, aleatorio y *bien comportado*. Se estima (7.6) vía MCO y se obtiene el  $R^2$ .

4. Se define el estadístico  $nR^2$ , con  $n$  el número de observaciones. Este, sigue una distribución  $\chi^2(q)$ , con  $q$  el número de términos en la regresión (sin contar la constante). En este caso,  $q = 5$ .
5. Planteamos la hipótesis nula  $H_0$  : los errores no presentan el problema de heterocedasticidad.
6. Si  $nR^2 > \chi_{1-\alpha}^2(q)$ , se rechaza la  $H_0$ . Caso contrario, se acepta. Acá  $\alpha$  es la significancia.

La siguiente tabla resume el examen estadístico necesario para obtener la información requerida:

```

White's test for Ho: homoskedasticity
against Ha: unrestricted heteroskedasticity

chi2(5)      =    58.17
Prob > chi2  =    0.0000

Cameron & Trivedi's decomposition of IM-test
    
```

Source	chi2	df	p
Heteroskedasticity	58.17	5	0.0000
Skewness	16.02	2	0.0003
Kurtosis	7.23	1	0.0072
Total	81.42	8	0.0000

Figura 7.3 Test de White vía Stata.

Con estos datos, es ahora posible graficar el examen estadístico:

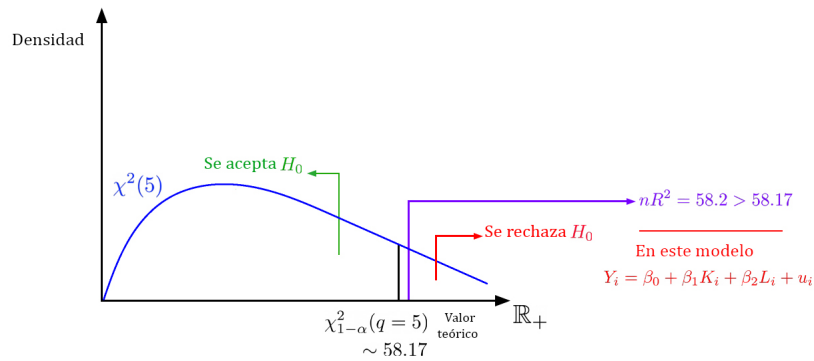


Figura 7.4 Gráfica del examen estadístico.

A partir de esta información y los siguientes resultados, es posible concluir sobre la heterocedasticidad.

```
. reg resid2 K L K2 L2 KL
```

Source	SS	df	MS	Number of obs	=	733
Model	43.779011	5	8.7558022	F(5, 727)	=	12.53
Residual	507.834927	727	.698534976	Prob > F	=	0.0000
				R-squared	=	0.0794
				Adj R-squared	=	0.0730
Total	551.613938	732	.753570954	Root MSE	=	.83578

resid2	Coef.	Std. Err.	t	P> t	[95% Conf. Interval]
K	-1.829969	.3402904	-5.38	0.000	-2.498038 -1.161899
L	.6620759	.3920022	1.69	0.092	-.1075156 1.431667
K2	.0677918	.013448	5.04	0.000	.0413901 .0941934
L2	.0652812	.0249826	2.61	0.009	.0162346 .1143279
KL	-.0840858	.0320042	-2.63	0.009	-.1469174 -.0212541
_cons	13.9769	2.266904	6.17	0.000	9.526437 18.42735

Figura 7.5 Regresión para los  $\hat{u}_i^2$ .

Supongamos ahora que, hay presencia de heterocedasticidad en el modelo (no necesariamente en el conjunto de datos anterior). Concretamente,  $\text{Var}(\epsilon_i) = cL_i^2$ ,  $c > 0$ .

Luego,

$$\Sigma = \begin{pmatrix} \sigma_1^2 & 0 & \dots & 0 \\ 0 & \sigma_2^2 & \dots & 0 \\ \vdots & \vdots & \ddots & 0 \\ 0 & \dots & \dots & \sigma_N^2 \end{pmatrix} = \begin{pmatrix} cL_1^2 & 0 & \dots & 0 \\ 0 & cL_2^2 & \dots & 0 \\ \vdots & \vdots & \ddots & 0 \\ 0 & \dots & \dots & cL_N^2 \end{pmatrix}.$$

Factorizando la constante  $c$

$$\Sigma = c \begin{pmatrix} L_1^2 & 0 & \cdots & 0 \\ 0 & L_2^2 & \cdots & 0 \\ \vdots & \vdots & \ddots & 0 \\ 0 & \cdots & \cdots & L_N^2 \end{pmatrix} = c\Omega.$$

Recordemos ahora que, debido a que  $\Omega$  es simétrica (por la descomposición de Cholesky),

$$\Omega = VV^T.$$

Dada la presencia de términos nulos en todas las entradas de la matriz a excepción de la diagonal, es posible identificar que dicha matriz  $V$  estará definida de la siguiente manera

$$V = \begin{pmatrix} L_1 & 0 & \cdots & 0 \\ 0 & L_2 & \cdots & 0 \\ \vdots & \vdots & \ddots & 0 \\ 0 & \cdots & \cdots & L_N \end{pmatrix}.$$

Asimismo<sup>2</sup>,

$$P = V^{-1} = \begin{pmatrix} 1/L_1 & 0 & \cdots & 0 \\ 0 & 1/L_2 & \cdots & 0 \\ \vdots & \vdots & \ddots & 0 \\ 0 & \cdots & \cdots & 1/L_N \end{pmatrix}.$$

En efecto,

$$PP^T = P^2 = \begin{pmatrix} 1/L_1^2 & 0 & \cdots & 0 \\ 0 & 1/L_2^2 & \cdots & 0 \\ \vdots & \vdots & \ddots & 0 \\ 0 & \cdots & \cdots & 1/L_N^2 \end{pmatrix}$$

---

<sup>2</sup>De manera general, si  $D \in \mathcal{M}_{N \times N}$  es una matriz diagonal  $D = (a_{11}, a_{22}, \dots, a_{NN})$ , si  $\forall i: a_{ii} \neq 0$ ,

$$D^{-1} = (a_{11}^{-1}, a_{22}^{-1}, \dots, a_{NN}^{-1}).$$

y

$$\Omega \cdot \begin{pmatrix} 1/L_1^2 & 0 & \cdots & 0 \\ 0 & 1/L_2^2 & \cdots & 0 \\ \vdots & \vdots & \ddots & 0 \\ 0 & \cdots & \cdots & 1/L_N^2 \end{pmatrix} = I_N.$$

De este modo, la matriz  $P$  cumple la propiedad deseada, i.e. :  $PP^T = \Omega^{-1}$ . Ejecutemos ahora la transformación del modelo

$$\begin{aligned} Y^* &= PY \\ X^* &= PX = P[\mathbf{1}, K, L] \\ \epsilon^* &= P\epsilon. \end{aligned}$$

Calculamos

$$\begin{aligned} Y^* &= \begin{pmatrix} 1/L_1 & 0 & \cdots & 0 \\ 0 & 1/L_2 & \cdots & 0 \\ \vdots & \vdots & \ddots & 0 \\ 0 & \cdots & \cdots & 1/L_N \end{pmatrix} \begin{pmatrix} Y_1 \\ Y_2 \\ \vdots \\ Y_N \end{pmatrix} = \begin{pmatrix} Y_1/L_1 \\ Y_2/L_2 \\ \vdots \\ Y_N/L_N \end{pmatrix} \\ \\ X^* &= \begin{pmatrix} 1/L_1 & 0 & \cdots & 0 \\ 0 & 1/L_2 & \cdots & 0 \\ \vdots & \vdots & \ddots & \vdots \\ 0 & \cdots & \cdots & 1/L_N \end{pmatrix}_{N \times N} \begin{pmatrix} 1 & K_1 & L_1 \\ 1 & K_2 & L_2 \\ \vdots & \vdots & \vdots \\ 1 & K_N & L_N \end{pmatrix}_{N \times 3} \\ &= \begin{pmatrix} 1/L_1 & K_1/L_1 & 1 \\ 1/L_2 & K_2/L_2 & 1 \\ \vdots & \vdots & \vdots \\ 1/L_N & K_N/L_N & 1 \end{pmatrix}_{N \times 3} \\ \\ \epsilon^* &= \begin{pmatrix} 1/L_1 & 0 & \cdots & 0 \\ 0 & 1/L_2 & \cdots & 0 \\ \vdots & \vdots & \ddots & 0 \\ 0 & \cdots & \cdots & 1/L_N \end{pmatrix} \begin{pmatrix} \epsilon_1 \\ \epsilon_2 \\ \vdots \\ \epsilon_N \end{pmatrix} = \begin{pmatrix} \epsilon_1/L_1 \\ \epsilon_2/L_2 \\ \vdots \\ \epsilon_N/L_N \end{pmatrix}. \end{aligned}$$

El nuevo modelo tendría entonces la siguiente formulación

$$Y_i^* = \beta_0 L_i^{-1} + \beta_1 (K_i/L_i) + \beta_2 + \epsilon_i^*$$

$$y_i = \beta_0 L_i^{-1} + \beta_1 k_i + \beta_2 + \epsilon_i^*.$$

La transformación del modelo permite corregir el problema de heterocedasticidad. En efecto,

$$\text{Var}(\epsilon_i^*) = \text{Var}\left(\frac{\epsilon_i}{L_i}\right) = \frac{1}{L_i^2} \text{Var}(\epsilon_i) = \frac{cL_i^2}{L_i^2} = c, \quad \forall 1 \leq i \leq N.$$

Ahora, el nuevo modelo, que consiste en una transformación de escala a una función de producción lineal  $Y = \beta_0 + \beta_1 K + \beta_2 L + u$ , expresa el producto medio en función del ratio capital-trabajo. Este ratio es de sumo interés pues define la proporción del trabajo destinada al uso del stock de capital (maquinaria, etc.). En otras palabras, define la asignación entre los factores de producción. Como los parámetros iniciales  $\beta$ 's deben ser positivos (las funciones de producción son cóncavas crecientes), el factor  $1/L$  indica como el producto medio se incrementa cada vez menos conforme el factor trabajo aumenta<sup>3</sup>. Esto confirma de cierta forma las condiciones de Inada<sup>4</sup>, supuesto clave sobre la función de producción neoclásica en los modelos de crecimiento.

<sup>3</sup> La función  $f(L) = 1/L$ ,  $L > 0$   $f : \mathbb{R}_{++} \rightarrow \mathbb{R}_{++}$  es decreciente en  $L$ .

<sup>4</sup> Véase la definición en (Barro and Martin, 2003).

# Capítulo 8

## Autocorrelación serial

El problema de una varianza no constante en los errores ya fue abordado en el capítulo anterior. Sin embargo, se precisó que en dicho caso, la matriz de varianza y covarianzas toma la forma  $\Sigma = \text{diag}[\sigma_1^2, \dots, \sigma_n^2]$ . Esto a su vez implica que  $\text{Cov}(\epsilon_i, \epsilon_j) = 0$ ,  $i \neq j$ . En este capítulo, nos interesemos en el caso en el que los datos provienen de una serie de tiempo. Esto es, una sucesión de datos medidos en ciertos momentos y ordenados cronológicamente. Usualmente, una serie de tiempo se denota de la siguiente forma

$$\{X_t : t \in [t_0, T]\}.$$

Recordemos que uno de los supuestos del modelo de regresión lineal es que los errores no tienen autocorrelación serial, es decir, no existe correlación entre los errores de diferentes periodos de tiempo.

**Definición 8.0.1.** La autocorrelación serial se da cuando los errores en el tiempo  $t$  no tienen covarianza nula con los errores de tiempos pasados. Esto es

$$\text{Cov}(\epsilon_t, \epsilon_{t-1}) = \mathbb{E}[\epsilon_t \epsilon_{t-1}] - \underbrace{\mathbb{E}[\epsilon_t] \mathbb{E}[\epsilon_{t-1}]}_{=0} \neq 0.$$

Como es costumbre, la primera pregunta que surge en estos casos (a la hora de levantar un supuesto del modelo  $k$ -lineal) es qué es lo que origina el problema. En el caso de la auto-correlación serial, esta puede tener como origen lo siguiente:

- La omisión de variables relevantes en el modelo.
- La existencia de ciclos o tendencias.

- Presencia de relaciones no lineales.
- Uso de modelos autoregresivos (la variable dependiente, depende de sus rezagos).

Ahora, la segunda interrogante natural es ¿qué implica la autocorrelación? El estimador  $\hat{\beta}$  sigue siendo insesgado, pero deja de ser eficiente:

$$\text{Var}(\epsilon) = \mathbb{E}[\epsilon\epsilon^T] = \begin{bmatrix} \sigma^2 & \sigma_{21} & \cdots & \sigma_{T1} \\ \sigma_{21} & \sigma^2 & \cdots & \vdots \\ \vdots & \vdots & \ddots & \vdots \\ \sigma_{1T} & \cdots & \cdots & \sigma^2 \end{bmatrix}. \quad (8.1)$$

Note que en (8.1) se ha asumido homocedasticidad.

La hoja de ruta es la siguiente. En este capítulo se estudiarán esencialmente dos tipos de modelos en los cuales la matriz de varianzas y covarianzas toma la forma de (8.1). Luego, se presentarán los contrastes de autocorrelación más usados. Finalmente, se brindarán ejemplos, así como métodos correctivos.

## 8.1. Modelo autorregresivo $AR$

En general, la correlación entre momentos diferentes del tiempo no se limita a dos periodos sucesivos, sino que se mantiene para cualquier distancia entre esos dos momentos del tiempo. Esto se conoce como **Modelo Autorregresivo** (de orden  $p$ ) o **AR( $p$ )**.

$$\begin{aligned} \epsilon_t &= \phi_1\epsilon_{t-1} + \phi_2\epsilon_{t-2} + \cdots + \phi_p\epsilon_{t-p} + u_t \\ &= u_t + \sum_{j=1}^p \phi_j\epsilon_{t-j} \end{aligned}$$

con  $u_t \sim N(0, \sigma_u^2)$ . El modelo  $AR(1)$  es un caso particular que tiene la forma

$$\epsilon_t = \rho\epsilon_{t-1} + u_t, \quad u_t \sim N(0, \sigma_u^2), \quad |\rho| < 1.$$

En particular, cuando  $t \rightarrow \infty$ ,

$$\epsilon_t = \sum_{i=0}^t \rho^i u_{t-i} \implies \lim_{t \rightarrow \infty} \epsilon_t = \sum_{i=0}^{\infty} \rho^i u_{t-i}.$$

Ahora, el valor esperado del error  $\epsilon_t$  es igual a cero:

$$\mathbb{E}[\epsilon_t] = \mathbb{E} \left[ \sum_{i=0}^t \rho^i u_{t-i} \right] = \sum_{i=0}^t \rho^i \mathbb{E}[u_{t-i}] = 0.$$

Por otro lado, la varianza converge a  $\frac{\sigma^2}{1-\rho^2}$ :

$$\begin{aligned} \text{Var}(\epsilon_t) &= \lim_{t \rightarrow \infty} \text{Var} \left( \sum_{i=0}^t \rho^i u_{t-i} \right) \\ &= \sum_{i=0}^{\infty} \text{Var}(\rho^i u_{t-i}) \\ &= \sum_{i=0}^{\infty} \rho^{2i} \text{Var}(u_{t-i}) \\ &= \sum_{i=0}^{\infty} \rho^{2i} \sigma^2 = \frac{\sigma^2}{1-\rho^2}. \end{aligned}$$

Finalmente, la covarianza de  $\epsilon_t$  con  $\epsilon_{t-s}$ ,  $1 \leq s \leq t$ , es  $\frac{\rho^s \sigma^2}{1-\rho^2}$ . En efecto:

$$\begin{aligned} \mathbb{E}[\epsilon_t \epsilon_{t-1}] &= \mathbb{E}[(\rho \epsilon_{t-1} + u_t) \epsilon_{t-1}] \\ &= \mathbb{E}[\rho \epsilon_{t-1}^2 + u_t \epsilon_{t-1}] \\ &= \rho \mathbb{E}[\epsilon_{t-1}^2] + \mathbb{E}[u_t \epsilon_{t-1}] \\ &= \rho \text{Var}[\epsilon_{t-1}] = \rho \frac{\sigma^2}{1-\rho^2}. \end{aligned}$$

Usando que  $\text{Cov}(\epsilon_t, \epsilon_{t-s}) = \mathbb{E}[\epsilon_t \epsilon_{t-s}]$  y

$$\epsilon_t = \rho^s \epsilon_{t-s} + \sum_{i=0}^{s-1} \rho^i u_{t-i},$$

se tiene que

$$\begin{aligned} \text{Cov}(\epsilon_t, \epsilon_{t-s}) &= \mathbb{E} \left[ \left( \rho^s \epsilon_{t-s}^2 + \sum_{i=0}^{s-1} \rho^i u_{t-i} \right) \epsilon_{t-s} \right] \\ &= \mathbb{E} [\rho^s \epsilon_{t-s}^2] + \mathbb{E} \left[ \epsilon_{t-s} \sum_{i=0}^{s-1} \rho^i u_{t-i} \right] \\ &= \rho^s \mathbb{E}[\epsilon_{t-s}^2] = \frac{\rho^s \sigma^2}{1-\rho^2}. \end{aligned}$$

Se ha considerado que  $t-s \rightarrow \infty$ . En efecto,

$$\mathbb{E} \left[ \epsilon_{t-s} \sum_{i=0}^{s-1} \rho^i u_{t-i} \right] = \sum_{i=0}^{s-1} \rho^i \mathbb{E}[u_{t-i} \epsilon_{t-s}] = 0.$$

Así,

$$\text{Var}(\epsilon) = \sigma^2 \Omega = \frac{\sigma^2}{1 - \rho^2} \begin{bmatrix} 1 & \rho & \rho^2 & \cdots & \rho^{T-1} \\ \rho & 1 & \cdots & & \vdots \\ \rho^2 & & \ddots & & \vdots \\ \vdots & & & \ddots & \rho \\ \rho^{T-1} & \cdots & \cdots & \rho & 1 \end{bmatrix} \quad (8.2)$$

Las expresiones obtenidas previamente son aproximaciones. En efecto, la dimensión de la matriz (8.2) es  $T \times T$ . Sin embargo, en los cálculos anteriores, se ha asumido que  $T \rightarrow \infty$ .

## 8.2. Modelo de medias móviles $MA$

El modelo de medias móviles de orden  $q$  tiene la siguiente estructura

$$\epsilon_t = u_t + \sum_{i=1}^q \theta_i u_{t-i}$$

donde los  $\theta_i$  son los parámetros del modelo, y  $u_{t-i}$  son términos de error. Los modelos de media móvil o de memoria finita solo mantienen la correlación entre períodos de tiempo determinados. En un modelo de medias móviles de orden 1,

$$\epsilon_t = u_t + \theta u_{t-1}, \quad u_t \sim N(0, \sigma^2).$$

A diferencia de un proceso  $AR(1)$ , no se necesita imponer supuesto alguno sobre el coeficiente asociado a los errores rezagados<sup>1</sup>. Por un lado,

$$\mathbb{E}[\epsilon_t] = \mathbb{E}[u_t + \theta u_{t-1}] = \mathbb{E}[u_t] + \theta \mathbb{E}[u_{t-1}] = 0.$$

Por otro lado, la varianza es igual a

$$\begin{aligned} \mathbb{E}[\epsilon_t^2] &= \mathbb{E}[(u_t + \theta u_{t-1})^2] \\ &= \mathbb{E}[u_t^2] + 2\theta \underbrace{\mathbb{E}[u_t u_{t-1}]}_{=0} + \theta^2 \underbrace{\mathbb{E}[u_{t-1}^2]}_{=\text{Var}(u_t)} \\ &= \sigma^2(1 + \theta^2). \end{aligned}$$

---

<sup>1</sup>Recordemos que  $|\rho| < 1$ .

Por inducción, es posible probar que  $\mathbb{E}[\epsilon_t \epsilon_{t-1}] = \theta \sigma^2$  y  $\mathbb{E}[\epsilon_t \epsilon_{t-j}] = 0, \forall j \geq 2$ . Así,

$$\text{Var}(\epsilon) = \mathbb{E}[\epsilon \epsilon^T] = \sigma^2 \begin{bmatrix} 1 + \theta^2 & \theta & 0 & \dots & 0 \\ \theta & 1 + \theta^2 & \theta & \dots & \vdots \\ 0 & \theta & 1 + \theta^2 & \vdots & \vdots \\ \vdots & \vdots & \vdots & \ddots & \theta \\ 0 & \dots & \dots & \theta & 1 + \theta^2 \end{bmatrix}$$

### 8.3. Contrastes estadísticos de detección

Ya habiendo trabajado los dos modelos representativos del problema de la autocorrelación serial, presentamos los contrastes estadísticos, enfocándonos en los modelos autorregresivos. En efecto, los contrastes que realizaremos, nos permitirán identificar la presencia de un comportamiento autorregresivo  $AR(p)$  o de medias móviles  $MA(q)$ <sup>2</sup>. Esencialmente, se cuentan con las siguientes pruebas:

- Durbin-Watson.
- Ljung-Bonx.
- Breusch-Godfrey.

A continuación, usaremos la notación  $T = n$ .

**Definición 8.3.1. Durbin Watson.** El test de Durbin Watson ([Durbin and Watson, 1950](#)) pone a prueba la existencia de un comportamiento autorregresivo de los errores de orden 1. Es decir, evidencia un  $AR(1)$ .

$$\epsilon_t = \rho \epsilon_{t-1} + u_t, \quad u_t \sim N(0, \sigma^2).$$

En este test  $H_0 : \rho = 0$  y  $H_1 : \rho \neq 0, |\rho| < 1$ . En caso  $\rho > 0$ , se dice que la autocorrelación es positiva. Caso contrario, es negativa.

---

<sup>2</sup>En general estos modelos son más complejos dado que los errores son no observables.

Luego, el estadístico de Durbin-Watson (DW) es

$$\begin{aligned}
 DW &= \frac{\sum_{t=2}^n (\epsilon_t - \epsilon_{t-1})^2}{\sum_{t=1}^n \epsilon_t^2} \\
 &= \frac{\sum_{t=2}^n (\epsilon_t^2 - 2\epsilon_t\epsilon_{t-1} + \epsilon_{t-1}^2)}{\sum_{t=1}^n \epsilon_t^2} \\
 &= 1 - 2r + \frac{\epsilon_n^2 - \epsilon_1^2 + \sum_{t=2}^n \epsilon_{t-1}^2}{\sum_{t=1}^n \epsilon_t^2} \\
 &= 1 - 2\xi + 1 - \frac{\epsilon_n^2}{\sum_{t=1}^n \epsilon_t^2} \sim 2(1 - r) = d.
 \end{aligned}$$

Acá  $\xi = \frac{\sum_{t=2}^n \epsilon_t \epsilon_{t-1}}{\sum_{t=2}^n \epsilon_t^2}$ . A partir del valor del estadístico  $d$ , se contrasta la hipótesis nula usando la siguiente tabla.

Hipótesis nula	Si	Decisión
No hay autocorrelación positiva	$0 < d < d_L$	Rechazar
No hay autocorrelación positiva	$d_L \leq d \leq d_U$	Sin decisión
No hay correlación negativa	$4 - d_L < d < 4$	Rechazar
No hay correlación negativa	$4 - d_U \leq d \leq 4 - d_L$	Sin decisión
No hay autocorrelación	$d_U < d < 4 - d_U$	No rechazar

Los valores  $d_L$  y  $d_U$  dependen de  $n$  y el número de regresores. Ahora bien, las principales limitaciones del contraste Durbin-Watson son:

- Sólo es válido para la autocorrelación de la perturbación autorregresiva de orden 1.
- Requiere  $n > 15$ .
- Presenta zonas (rango de valores para  $d$ ) de indeterminación.

**Definición 8.3.2. Ljung-Box.** Este test (Ljung and Box, 1978) utiliza el coeficiente de correlación simple y sólo puede ser aplicado cuando el conjunto de variables explicativas son todas exógenas. La hipótesis nula es que no existe autocorrelación serial. El estadístico Ljung-Box es

$$Q = n(n + 2) \sum_{i=1}^r \frac{\rho_i^2}{n - 1} \sim \chi^2(r)$$

con

$$\rho_i = \frac{\sum_{t=2}^i \epsilon_t \epsilon_{t-1}}{\sum_{t=2}^i \epsilon_t^2}.$$

Usualmente el número de rezagos  $r \sim n/4$  y se rechaza la hipótesis nula si  $Q > \chi_{1-\alpha}^2(r)$ .

**Definición 8.3.3. Breusch-Godfrey.** A diferencia del contraste anterior (Ljun-Box), el test de Breusch-Godfrey (Godfrey, 1978) permite contrastar que los errores siguen un comportamiento autorregresivo de orden  $p$  o de media móvil de orden  $q$ .

- Primero, se estima el modelo<sup>3</sup>  $Y_t = \beta_0 + \beta_1 X_t + \beta_2 Z_t + \epsilon_t$ .
- Se plantea  $\epsilon_t = \alpha_1 X_t + \alpha_2 Z_t + \sum_{i=1}^p \rho_i \epsilon_{t-i} + u_t$ .
- Al estimar el modelo para  $Y_t$ , se obtienen los  $\hat{\epsilon}_t$  y se efectúa la regresión

$$\hat{\epsilon}_t = \alpha X_t + \alpha Z_t + \sum_{i=1}^p \rho_i \hat{\epsilon}_{t-i} + u_t.$$

- Se obtiene el  $R^2$ . Luego,  $(n-p)R^2 \sim \chi^2(p)$ , y se efectúa el test de hipótesis nula  $H_0 : \rho_i = 0$  usando dicho estadístico.

Antes de concluir con los aspectos teóricos y proceder con algunos ejemplos, se presentan una serie de metodologías que permiten corregir los problemas de autocorrelación serial. En concreto:

- Tomar primeras diferencias.
- Usar el método iterativo de Cochrane-Orcutt.
- Aplicar Mínimos Cuadrados Generalizados.

## 8.4. Métodos correctivos

**Definición 8.4.1. Primeras diferencias.** Se plantea

$$Y_t - Y_{t-1} = \beta_1(X_t - X_{t-1}) + (\epsilon_t - \epsilon_{t-1}),$$

i.e.,

$$\Delta Y_t = \beta_1 \Delta X_t + \epsilon_t$$

donde  $\Delta$  es el operador de diferencias.

<sup>3</sup>Usamos uno con dos regresores por simplicidad.

El método de primeras diferencias se aplica (o se suele aplicar) cuando la correlación excede 0.8.

**Definición 8.4.2. Método iterativo de Cochrane-Orcutt.** De manera algorítmica, el método iterativo de Cochrane-Orcutt consiste en lo siguiente.

- Se estima el modelo original vía MCO.
- Se guardan los residuos  $\hat{\epsilon}_t$  y se corre la regresión  $\hat{\epsilon}_t = \rho\hat{\epsilon}_{t-1} + u_t$ . (Esto se puede generalizar al caso  $AR(p)$ ).
- Se obtiene el estimado de  $\rho$ .
- Usar el parámetro  $\rho$  estimado para transformar las variables y estimar el nuevo modelo por MCO.
- Estas iteraciones se deben repetir hasta un nivel de convergencia considerado de antemano. Inicialmente  $\rho = 0$

La transformación de las variables es la siguiente

$$\begin{aligned}y_t^* &= y_t - \rho y_{t-1} \\x_t^* &= x_t - \rho x_{t-1} \\y_t^* &= \beta_0(1 - \rho) + \beta_1 x_t^* + u_t.\end{aligned}$$

El procedimiento se repite hasta que (comúnmente)

- $|\rho^i - \rho^{i-1}| < 10^{-5}$ .
- $|\beta^i - \beta^{i-1}| < 10^{-5}$ .
- $\left| (\sum \hat{\epsilon}_t^2)^i - (\sum \hat{\epsilon}_t^2)^{i-1} \right| < 10^{-5}$ .

En este contexto,  $i$  denota la iteración.

A continuación, veamos cuál es el estimador de MCOG para los casos estudiados en este capítulo.

**Definición 8.4.3. MCOG.**

$$\hat{\beta}_{MCG} = (X^T \Omega^{-1} X)^{-1} X^T \Omega^{-1} Y$$

donde (para un  $AR(1)$ )

$$\Omega = \begin{bmatrix} 1 & \rho & \rho^2 & \cdots & \rho^{T-1} \\ \rho & 1 & \cdots & \vdots & \vdots \\ \rho^2 & \vdots & \ddots & \vdots & \vdots \\ \vdots & \vdots & \vdots & \ddots & \rho \\ \rho^{T-1} & \cdots & \cdots & \rho & 1 \end{bmatrix}.$$

Si se conoce el valor de  $\rho$ , es posible calcular  $\Omega^{-1}$ . En dicho caso,

$$\text{Var}(\hat{\beta}_{MCG}) = \sigma^2 (X^T \Omega^{-1} X)^{-1}.$$

Si  $\rho$  es desconocido, usualmente se usa el estimador

$$r = \frac{\sum_{t=2}^T \hat{\epsilon}_t \hat{\epsilon}_{t-1}}{\sum_{t=2}^T \hat{\epsilon}_t^2}.$$

A continuación, brindamos un ejemplo que integra los conceptos abordados a lo largo de este capítulo.

**Ejemplo 8.1.** Se trata de estimar el efecto traspaso del tipo de cambio al nivel de precios con el siguiente modelo:

$$\ln P_t = \alpha + \beta \ln E_t + \varepsilon_t, \tag{8.3}$$

donde  $\varepsilon_t \sim N(0, \sigma^2)$  y  $\text{Cov}(\varepsilon_t, \varepsilon_{t-k}) = 0$  para  $k \neq 0$ . Se decide tomar la cuarta diferencia a esta ecuación para expresar el modelo en diferencias porcentuales anuales. La variable endógena se transforma de la siguiente manera:

$$\Delta \ln P_t = \ln P_t - \ln P_{t-4}$$

con lo que el modelo se simplifica a:

$$\Delta \ln P_t = \Delta \ln E_t + u_t$$

$$u_t = \varepsilon_t - \varepsilon_{t-4}.$$

Se asume una muestra de 11 observaciones trimestrales para las variables. El modelo en diferencias presenta autocorrelación serial, veamos esto a continuación. Primero,

$$\begin{aligned}\text{Cov}(u_t, u_{t-k}) &= \mathbb{E}[(u_t - \mathbb{E}[u_t])(u_{t-k} - \mathbb{E}[u_{t-k}])] \\ &= \mathbb{E}[u_t u_{t-k}].\end{aligned}$$

$$\mathbb{E}[u_t] = \mathbb{E}[\varepsilon_t - \varepsilon_{t-4}] = \mathbb{E}[\varepsilon_t] - \mathbb{E}[\varepsilon_{t-4}] = 0 - 0 = 0.$$

Analicemos caso por caso, para  $k = 0, 1, 2, 3, 4, \dots$

- $k = 0, t \geq 4$ :

$$\begin{aligned}\text{Cov}(u_t, u_{t-k}) &= \text{Cov}(u_t, u_t) \\ &= \mathbb{E}[u_t^2] \\ &= \text{Var}(u_t) - \mathbb{E}[u_t]^2 \\ &= \text{Var}(\varepsilon_t - \varepsilon_{t-4}) - 0^2.\end{aligned}$$

Ahora, recordemos que  $\text{Var}(X - Y) = \text{Var}(X) + \text{Var}(Y) - 2\text{Cov}(X, Y)$ ,  $X, Y$  dos variables aleatorias. Entonces,

$$\text{Var}(\varepsilon_t - \varepsilon_{t-4}) = \text{Var}(\varepsilon_t) + \text{Var}(\varepsilon_{t-4}) - 2\text{Cov}(\varepsilon_t, \varepsilon_{t-4}) = \sigma^2 + \sigma^2 - 0.$$

Así,  $\text{Cov}(u_t, u_{t-k}) = 2\sigma^2$ .

- $k = 1, t \geq 5$ :

$$\text{Cov}(u_t, u_{t-1}) = \mathbb{E}[u_t u_{t-1}] = \mathbb{E}[(\varepsilon_t - \varepsilon_{t-4})(\varepsilon_{t-1} - \varepsilon_{t-5})].$$

Expandiendo el producto y aplicando la linealidad del valor esperado, se obtiene

$$\text{Cov}(u_t, u_{t-1}) = \mathbb{E}[\varepsilon_t \varepsilon_{t-1}] - \mathbb{E}[\varepsilon_{t-4} \varepsilon_{t-1}] - \mathbb{E}[\varepsilon_t \varepsilon_{t-5}] + \mathbb{E}[\varepsilon_{t-4} \varepsilon_{t-5}].$$

Esto es igual a 0 pues  $\text{Cov}(\varepsilon_t, \varepsilon_{t-k}) = 0$  para  $k \neq 0$ .

- $k = 2, t \geq 6$ , análogamente

$$\begin{aligned}\text{Cov}(u_t, u_{t-2}) &= \mathbb{E}[u_t u_{t-2}] \\ &= \mathbb{E}[(\varepsilon_t - \varepsilon_{t-4})(\varepsilon_{t-2} - \varepsilon_{t-6})] \\ &= \mathbb{E}[\varepsilon_t \varepsilon_{t-2}] - \mathbb{E}[\varepsilon_{t-4} \varepsilon_{t-2}] - \mathbb{E}[\varepsilon_t \varepsilon_{t-6}] + \mathbb{E}[\varepsilon_{t-4} \varepsilon_{t-6}] \\ &= 0.\end{aligned}$$

- $k = 3, t \geq 7$ :

$$\begin{aligned}
 \text{Cov}(u_t, u_{t-3}) &= \mathbb{E}[u_t u_{t-3}] \\
 &= \mathbb{E}[(\varepsilon_t - \varepsilon_{t-4})(\varepsilon_{t-3} - \varepsilon_{t-7})] \\
 &= \mathbb{E}[\varepsilon_t \varepsilon_{t-3}] - \mathbb{E}[\varepsilon_{t-4} \varepsilon_{t-3}] - \mathbb{E}[\varepsilon_t \varepsilon_{t-7}] + \mathbb{E}[\varepsilon_{t-4} \varepsilon_{t-7}] \\
 &= 0.
 \end{aligned}$$

- $k = 4, t \geq 8$ :

$$\begin{aligned}
 \text{Cov}u_t, u_{t-4}) &= \mathbb{E}[u_t u_{t-4}] \\
 &= \mathbb{E}[(\varepsilon_t - \varepsilon_{t-4})(\varepsilon_{t-4} - \varepsilon_{t-8})] \\
 &= \mathbb{E}[\varepsilon_t \varepsilon_{t-4}] - \mathbb{E}[\varepsilon_{t-4} \varepsilon_{t-4}] - \mathbb{E}[\varepsilon_t \varepsilon_{t-8}] + \mathbb{E}[\varepsilon_{t-4} \varepsilon_{t-8}] \\
 &= -\mathbb{E}[\varepsilon_{t-4}^2] \\
 &= -\sigma^2.
 \end{aligned}$$

Para un trimestre, con  $11 - (r - 1)$  observaciones ( $r = 4$  en este modelo), tendremos:

$$V = \begin{pmatrix} 2\sigma^2 & 0 & 0 & 0 & -\sigma^2 & 0 & 0 & 0 \\ 0 & 2\sigma^2 & 0 & 0 & 0 & -\sigma^2 & 0 & 0 \\ 0 & 0 & 2\sigma^2 & 0 & 0 & 0 & \sigma^2 & 0 \\ 0 & 0 & 0 & 2\sigma^2 & 0 & 0 & 0 & -\sigma^2 \\ -\sigma^2 & 0 & 0 & 0 & 2\sigma^2 & 0 & 0 & 0 \\ 0 & -\sigma^2 & 0 & 0 & 0 & 2\sigma^2 & 0 & 0 \\ 0 & 0 & -\sigma^2 & 0 & 0 & 0 & 2\sigma^2 & 0 \\ 0 & 0 & 0 & -\sigma^2 & 0 & 0 & 0 & 2\sigma^2 \end{pmatrix}_{8 \times 8}.$$

Si deseamos extender el análisis a un año (4 trimestres), la matriz preserva la misma

estructura:

$$V = \begin{pmatrix} 2\sigma^2 & 0 & 0 & 0 & -\sigma^2 & \cdots & 0 & 0 \\ 0 & 2\sigma^2 & 0 & 0 & 0 & \ddots & \vdots & 0 \\ 0 & 0 & \ddots & 0 & 0 & 0 & \ddots & \vdots \\ 0 & 0 & 0 & \ddots & 0 & 0 & 0 & -\sigma^2 \\ -\sigma^2 & 0 & 0 & 0 & 2\sigma^2 & 0 & 0 & 0 \\ \vdots & \ddots & 0 & 0 & 0 & 2\sigma^2 & 0 & 0 \\ 0 & \vdots & -\sigma^2 & 0 & 0 & 0 & 2\sigma^2 & 0 \\ 0 & 0 & \cdots & -\sigma^2 & 0 & 0 & 0 & 2\sigma^2 \end{pmatrix}_{T-3 \times T-3}$$

El test de Durbin-Watson, dada su sencillez, es de gran utilidad a la hora de analizar procesos  $AR(1)$ , i.e.,

$$u_t = \rho u_{t-1} + \varepsilon_t,$$

siendo  $\varepsilon_t$  un error idiosincrásico. No obstante, en este tipo de modelos,

$$\begin{aligned} \text{Cov}(u_t u_{t-1}) &= \mathbb{E}[u_t u_{t-1}] \\ &= \mathbb{E}[(\rho u_{t-1} + \varepsilon_t) u_{t-1}] \\ &= \mathbb{E}[\rho u_{t-1}^2 + \varepsilon_t u_{t-1}] \\ &= \rho \mathbb{E}[u_{t-1}^2] + \mathbb{E}[\varepsilon_t u_{t-1}] \\ &= \rho \mathbb{E}[u_{t-1}^2] \\ &= \rho \text{Var}(u_{t-1}^2) \neq 0. \end{aligned}$$

En este modelo  $\text{Cov}(u_t u_{t-1}) = 0$ . Por ende, no es oportuno aplicar el test de Durbin-Watson. Queda por analizar el test Ljung-Box y el test Breusch-Godfrey. Recordemos las siguientes características:

- Ljung-Box: el número de rezagos a testear debe ser aproximadamente  $N/4$  (no más). Proporciona la existencia de un  $AR(p)$  o  $MA(q)$ , pero, no da necesariamente el orden. Sin embargo, nos permite ver la autocorrelación (normal y parcial), analizando entonces el grado de correlación.
- Breusch-Godfrey: analizar el estadístico  $(N - p)R^2$ , el  $R^2$  proviniendo de la regresión donde  $\hat{u}_t$  es la variable dependiente. Este examen estadístico sí nos permite encontrar el orden de los rezagos.

Volviendo a nuestro modelo, para un trimestre, si se cuenta únicamente con 8 observaciones, el test de Ljung-Box no sería relevante dado que solo podríamos testear 2 rezagos y, ciertamente, la covarianza de los errores no es igual a cero en errores con cuatro unidades de diferencia temporal. Es por ello que el test de Breusch-Godfrey sería el más apropiado. Le sigue sin embargo el Ljung-Box, puesto que el Durbin-Watson, no solo requiere más de 15 observaciones, pero además, restringe el estudio al modelo  $AR(1)$ .

**Ejemplo 8.2.** A partir de la especificación Cobb-Douglas  $Y = F(K, L) = K^\alpha L^\beta$ , se plantea el modelo

$$Y_t = AK_t^\alpha L_t^\beta e^{a_t},$$

donde  $a_t$  es un error aleatorio. Luego, sacando logaritmos y usando al notación  $x_t = \ln X_t$ :

$$y_t = c + \beta_1 l_t + \beta_2 k_t + a_t.$$

Primero, estimamos el modelo vía MCO. Se resuelve

$$\begin{pmatrix} \hat{c} \\ \hat{\beta}_1 \\ \hat{\beta}_2 \end{pmatrix} = \left( \begin{pmatrix} 1 & \cdots & 1 \\ l_1 & \cdots & l_n \\ k_1 & \cdots & k_n \end{pmatrix} \begin{pmatrix} 1 & l_1 & k_1 \\ \vdots & \vdots & \vdots \\ 1 & l_n & k_n \end{pmatrix} \right)^{-1} \begin{pmatrix} 1 & \cdots & 1 \\ l_1 & \cdots & l_n \\ k_1 & \cdots & k_n \end{pmatrix} \begin{pmatrix} y_1 \\ \vdots \\ y_n \end{pmatrix}.$$

Luego, a partir de esta estimación, se computan

$$\hat{a}_t = y_t - \hat{y}_t = y_t - (\hat{c} + \hat{\beta}_1 l_t + \hat{\beta}_2 k_t).$$

Enseguida, se estima  $\rho$  en la regresión

$$\hat{a}_t = \rho \hat{a}_{t-1} + \varepsilon_t.$$

A partir de  $\hat{\rho}$ , se efectúan los cambios de variable

$$y_t^* = y_t - \hat{\rho} y_{t-1}$$

$$l_t^* = l_t - \hat{\rho} l_{t-1}$$

$$k_t^* = k_t - \hat{\rho} k_{t-1}.$$

Se repiten los pasos ( $j$  veces) hasta que, eventualmente,<sup>4</sup>

$$\begin{aligned} |\hat{\rho}_j - \hat{\rho}_{j-1}| &< 10^{-5} \\ \|\hat{\beta}_j - \hat{\beta}_{j-1}\| &< 10^{-5} \\ \left| \sum_{t=1}^n (\hat{u}_t^2)^j - \sum_{t=1}^n (\hat{u}_t^2)^{j-1} \right| &< 10^{-5}. \end{aligned}$$

**Ejemplo 8.3.** Consideremos el siguiente modelo de regresión lineal que relaciona el consumo ( $Y_t$ ) con el PIB ( $X_t$ ):

$$Y_t = \beta_0 + \beta_1 X_t + \varepsilon_t \tag{8.4}$$

A partir de los datos observados, la estimación por Mínimos Cuadrados Ordinarios (MCO) genera los siguientes residuos  $\varepsilon_t$ : A continuación, se presentan los cálculos para

$t$	$Y_t$	$X_t$	$\varepsilon_t$
1	22	3	4.63
2	15	1	3.21
3	8	2	-6.58
4	6	0	-3
5	3	-2	-0.42
6	2	-3	1.37
7	7	-1	0.79

Cuadro 8.1 Valores observados y residuos

el contraste de autocorrelación: Aplicamos el estadístico de Durbin-Watson:

<sup>4</sup>Usualmente, se utiliza una de las siguientes normas  $\|\cdot\|$ : dado  $x = (x_1, \dots, x_d) \in \mathbb{R}^d$

$$\begin{aligned} \|x\|_2 &= \sqrt{\sum_{i=1}^d x_i^2} \\ \|x\|_1 &= \sum_{i=1}^d |x_i| \\ \|x\|_{\text{máx}} &= \text{máx}_{1 \leq i \leq d} \{ |x_i| \}. \end{aligned}$$

$t$	$\varepsilon_t$	$\varepsilon_t^2$	$\varepsilon_{t-1}$	$(\varepsilon_t - \varepsilon_{t-1})$	$(\varepsilon_t - \varepsilon_{t-1})^2$
1	4.63	21.44	-	-	-
2	3.21	10.30	4.63	-1.42	2.01
3	-6.58	48.30	3.21	-9.79	95.84
4	-3	9.00	-6.58	3.58	12.82
5	-0.42	0.18	-3	2.58	6.66
6	1.37	1.88	-0.42	1.79	3.20
7	0.79	0.62	1.37	-0.58	0.34
<b>Total</b>		<b>87.21</b>			<b>120.87</b>

Cuadro 8.2 Cálculos para el test de autocorrelación

$$d = \frac{\sum_{t=2}^T (\varepsilon_t - \varepsilon_{t-1})^2}{\sum_{t=1}^T \varepsilon_t^2} = \frac{120,87}{87,21} = 1,39. \tag{8.5}$$

Los valores críticos del test de Durbin-Watson son:

$$d_L = 0,6996,$$

$$d_U = 1,3564.$$

Dado que  $d_U < d < 4 - d_U$ , concluimos que no hay evidencia suficiente para rechazar la hipótesis nula de ausencia de autocorrelación en los residuos del modelo.

**Ejemplo 8.4.** Consideremos el siguiente modelo de regresión lineal:

$$Y_t = \beta_0 + \beta_1 X_t + \varepsilon_t \tag{8.6}$$

donde  $Y_t$  representa el número de accidentes y  $X_t$  el número de coches matriculados, indexados según el año. A partir de los datos observados, se estima la siguiente ecuación de regresión:

$$\hat{Y}_t = \hat{\beta}_0 + \hat{\beta}_1 X_t \tag{8.7}$$

con los coeficientes estimados:

$$\hat{\beta}_0 = 2,5676, \quad \hat{\beta}_1 = 0,0494$$

$X_t$	$Y_t$	$\hat{Y}_t$	$\varepsilon_t$	$\varepsilon_t^2$	$\varepsilon_{t-1}$	$(\varepsilon_t - \varepsilon_{t-1})^2$
510	25	25.83	-0.83	0.69	-	-
520	27	26.36	0.64	0.41	-0.83	2.15
528	28	26.79	1.21	1.46	0.64	0.32
540	32	27.42	4.58	21.00	1.21	11.32
590	33	30.09	2.91	8.47	4.58	2.79
650	36	33.32	2.68	7.17	2.91	0.05
700	38	35.98	2.02	4.08	2.68	0.44
760	40	38.98	1.02	1.04	2.02	1.00
800	41	41.14	-0.14	0.02	1.02	1.34
870	45	44.86	0.14	0.02	-0.14	0.08

Cuadro 8.3 Cálculos de residuos y diferencias

Recordemos que el estadístico de Durbin-Watson se calcula como:

$$d = \frac{\sum_{t=2}^T (\varepsilon_t - \varepsilon_{t-1})^2}{\sum_{t=1}^T \varepsilon_t^2} = \frac{18,71}{20,51} = 0,8228/ \tag{8.8}$$

Los valores críticos para  $n = 10$  y  $k = 1$  son aproximadamente:

$$d_L = 0,88,$$

$$d_U = 1,54.$$

Dado que  $d < d_L$ , hay evidencia de autocorrelación positiva en los residuos del modelo.

# Capítulo 9

## Endogeneidad

El análisis de datos con regresores endógenos (variables explicativas observables correlacionadas con términos de error no observables) es, probablemente una de las contribuciones más importantes de la econometría a la estadística. Si bien la endogeneidad puede surgir de distintas fuentes, como regresores con error de medida, selección muestral, efecto tratamiento heterogéneo, etc. el término apareció inicialmente en el contexto de ecuaciones simultáneas (por ejemplo, ecuaciones de oferta y demanda). En este capítulo nos concentraremos en el caso en que existe una ecuación lineal de interés, llamada la ecuación estructural, y alguno de los regresores está correlacionado con el término de error. Una referencia clásica y completa para este tema es ([Angrist and Pischke, 2009](#)).

### 9.1. Variables Instrumentales

Considere el siguiente modelo lineal:  $Y = X\beta + \epsilon$  donde  $(X, Y)$  representa una observación de dimensión  $(1 \times (k+1))$ ,  $\beta$  es un vector de parámetros y  $\epsilon$  es un término de error no observable. El supuesto de identificación fundamental de Mínimos Cuadrados Ordinarios es que las variables explicativas no estén correlacionadas con el término de error, esto es:  $\mathbb{E}(X^T \epsilon) = 0$ . Note que el parámetro poblacional  $\beta$  puede ser expresado en momentos de las variables observables explotando el supuesto recién presentado:  $X^T Y = X^T X \beta + X^T \epsilon$ . Tomando valor esperado tenemos que:  $\beta = \mathbb{E}[X^T X]^{-1} \mathbb{E}[X^T Y]$ . Dado que  $(X, Y)$  es observable,  $\beta$  es identificado. Recordemos que el principio de la analogía para escoger un estimador dice que transformemos los momentos poblacionales

en momentos muestrales. Haciendo eso, obtenemos el estimador MCO:

$$\hat{\beta}_{\text{MCO}} = \left( \frac{1}{n} \sum_{i=1}^n X_i^T X_i \right)^{-1} \left( \frac{1}{n} \sum_{i=1}^n X_i^T Y_i \right) \equiv (X^T X)^{-1} X^T Y.$$

Un ejemplo clásico de endogeneidad es el caso de la relación entre educación y salario, donde la habilidad no observada está correlacionada con la educación, sesgando así los estimadores de MCO. Veamos esto a detalle en el siguiente ejemplo.

**Ejemplo 9.1.** En la literatura económica, es común analizar la relación entre educación y salario. Sin embargo, uno de los desafíos principales en esta estimación es la endogeneidad. La habilidad innata de los individuos, que no es observable, puede estar correlacionada tanto con la educación como con el salario, generando un sesgo en las estimaciones. Consideremos el siguiente modelo de salario:

$$\ln(w_i) = \beta_0 + \beta_1 x_i + \epsilon_i \quad (9.1)$$

donde  $\ln(w_i)$  es el logaritmo del salario del individuo  $i$ ,  $x_i$  es el nivel de educación del individuo  $i$  y  $\epsilon_i$  es el término de error. Si la habilidad ( $A_i$ ) está correlacionada con la educación y afecta directamente el salario, podemos expresar el salario como:

$$\ln(w_i) = \beta_0 + \beta_1 x_i + \gamma A_i + u_i \quad (9.2)$$

donde  $u_i$  es el nuevo término de error. Si  $A_i$  no se incluye en el modelo y está correlacionada con  $x_i$ , entonces  $x_i$  está endógena y la estimación de  $\beta_1$  estará sesgada. Para demostrar este sesgo, partimos del modelo estimado:

$$\ln(w_i) = \beta_0 + \beta_1 x_i + \epsilon_i \quad (9.3)$$

donde  $\epsilon_i = \gamma A_i + u_i$ . El estimador de mínimos cuadrados ordinarios (MCO) de  $\beta_1$  es:

$$\hat{\beta}_1 = \frac{\sum_i (x_i - \bar{x})(\ln(w_i) - \overline{\ln(w)})}{\sum_i (x_i - \bar{x})^2}. \quad (9.4)$$

Sustituyendo  $\ln(w_i)$  en el numerador:

$$\hat{\beta}_1 = \frac{\sum_i (x_i - \bar{x})(\beta_0 + \beta_1 x_i + \gamma A_i + u_i - \overline{\ln(w)})}{\sum_i (x_i - \bar{x})^2}. \quad (9.5)$$

Separando los términos,

$$\hat{\beta}_1 = \beta_1 + \frac{\sum_i (x_i - \bar{x})(\gamma A_i + u_i)}{\sum_i (x_i - \bar{x})^2}. \quad (9.6)$$

El término  $\frac{\sum_i (x_i - \bar{x}) u_i}{\sum_i (x_i - \bar{x})^2}$  es cero en promedio, ya que  $u_i$  es ruido blanco no correlacionado con  $x_i$ . Sin embargo, el término  $\frac{\sum_i (x_i - \bar{x}) \gamma A_i}{\sum_i (x_i - \bar{x})^2}$  no es cero si  $x_i$  y  $A_i$  están correlacionados. Por lo tanto, podemos escribir

$$\hat{\beta}_1 = \beta_1 + \gamma \cdot \frac{\sum_i (x_i - \bar{x}) A_i}{\sum_i (x_i - \bar{x})^2}. \quad (9.7)$$

El término  $\frac{\sum_i (x_i - \bar{x}) A_i}{\sum_i (x_i - \bar{x})^2}$  representa la correlación entre la educación y la habilidad. Si esta correlación es positiva (lo cual es común, ya que individuos con mayor habilidad innata tienden a obtener más educación), entonces el estimador  $\hat{\beta}_1$  estará sesgado hacia arriba.

De este modo, la estimación de  $\beta_1$  en el modelo (9.3) estará sesgada si la habilidad innata  $A_i$  está correlacionada con la educación  $x_i$ . Este sesgo surge porque la habilidad no observada, que afecta tanto a la educación como al salario, no se incluye en el modelo, lo que lleva a una correlación entre el término de error  $\epsilon_i$  y la variable explicativa  $x_i$ .

Para corregir este sesgo, es necesario utilizar métodos econométricos como las variables instrumentales, que permiten aislar la variación exógena en la educación que no está correlacionada con la habilidad innata. Veremos esto a continuación.

Cuando se viola el supuesto de exogeneidad de las variables explicativas con respecto al término de error, las variables  $X$  incluyen un subconjunto de variables que son endógenas, lo que significa que:  $\mathbb{E}(X^T \epsilon) \neq 0$ . Esto genera un problema de identificación. No es posible encontrar una expresión del parámetro poblacional  $\beta$  en función de momentos poblacionales de variables observables a no ser que contemos con otro set de variables  $Z$  que cumpla las siguientes condiciones:  $\mathbb{E}[Z^T \epsilon] = 0$  y  $\mathbb{E}[Z^T X] \neq 0$ . Note que implícitamente estamos asumiendo que el producto  $Z^T X$  es realizable. Con esta nueva variable podemos proceder de la misma manera que lo hicimos para MCO. Podemos pre-multiplicar la ecuación estructural por  $Z^T$  y obtener un sistema de ecuaciones:  $Z^T Y = Z^T X \beta + Z^T \epsilon$  y por lo tanto obtenemos el siguiente sistema de ecuaciones:  $\mathbb{E}[Z^T X] \beta = \mathbb{E}[Z^T Y]$  donde  $\mathbb{E}[Z^T X]$  es de orden  $K \times K$  y  $\mathbb{E}[Z^T Y]$  es de orden  $K \times 1$ . Por lo tanto, la ecuación representa un sistema de  $K$  ecuaciones con  $K$  incógnitas dadas por  $\beta_1, \beta_2, \dots, \beta_K$ . Este sistema tiene solución única si la matriz  $\mathbb{E}[Z^T X]$  es invertible, lo cual sucede si el rango de esta es completo e igual a  $K$ . Luego, si tenemos una muestra aleatoria  $(Y_i, X_i, Z_i)$  y siguiendo el principio de la analogía, tendremos que el estimador de variables instrumentales está dado por:

$$\hat{\beta}_{\text{IV}} = \left( \frac{1}{n} \sum_{i=1}^n Z_i^T X_i \right)^{-1} \left( \frac{1}{n} \sum_{i=1}^n Z_i^T Y_i \right) \equiv (Z^T X)^{-1} Z^T Y.$$

Cuando buscamos instrumentos para una variable endógena, los supuestos  $\mathbb{E}[Z^T \epsilon] = 0$  (exogeneidad<sup>1</sup>) y  $\mathbb{E}[Z^T X] \neq 0$  (relevancia<sup>2</sup>.) son igualmente importantes para identificar  $\beta$ . Sin embargo, hay una diferencia, el supuesto  $\mathbb{E}[Z^T \epsilon] = 0$  no puede ser testeado. La razón de esto es simple: no observamos  $\epsilon$ , por lo que no podemos realizar un test que involucre  $\epsilon$ . Por otra parte, el supuesto  $\mathbb{E}[Z^T X] \neq 0$  puede y debe ser testeado. Más adelante veremos que es relativamente sencillo hacerlo y no requiere más instrumental que un test- $t$  o  $F$ . Cuando la correlación de las variables instrumentales con las endógenas es pequeña se dice que estamos en presencia de instrumentos débiles.

El método de variables instrumentales se implementa en dos etapas. Primero, se realiza una regresión de  $X_i$  sobre  $Z_i$  y se guardan los valores predichos  $\hat{X}_i$ . Luego, se usa  $\hat{X}_i$  en vez de  $X_i$  en  $Y_i = \beta_0 + \beta_1 \hat{X}_i + \epsilon_i$ .

A continuación un ejemplo de variable instrumental.

**Ejemplo 9.2.** Se cuenta con una muestra de niños y niñas entre dos y cinco años a nivel nacional y se quiere predecir en qué medida el estado nutricional de ellos y ellas influye en sus habilidades cognitivas. Así, se plantea la siguiente ecuación:

$$\begin{aligned} \text{vocabulario}_i &= \delta_0 + \delta_1 \text{nutrición}_i + \delta_2 \text{edad}_i + \delta_3 \text{mujer}_i \\ &+ \delta_4 \text{nse}_i + \delta_5 \text{urbano}_i + \epsilon_i \end{aligned} \quad (9.8)$$

1.  $\text{vocabulario}_i$  representa las habilidades cognitivas medidas a través del vocabulario del niño  $i$ .
2.  $\text{nutrición}_i$  se refiere al estado nutricional del niño  $i$ , medido a través de la talla para la edad.
3.  $\text{edad}_i$  es la edad del niño  $i$ .
4.  $\text{mujer}_i$  es una variable indicadora que toma el valor de 1 si el niño  $i$  es una niña, y 0 si es un niño.

---

<sup>1</sup> $\text{Cov}(Z, \epsilon) = 0$

<sup>2</sup> $\text{Cov}(X, Z) \neq 0$ .

5.  $nse_i$  representa el nivel socioeconómico del hogar del niño  $i$ .
6.  $urbano_i$  es una variable indicadora que toma el valor de 1 si el niño  $i$  vive en una zona urbana, y 0 si vive en una zona rural.
7.  $\epsilon_i$  es el término de error.

En este caso, tenemos que la variable *nutrición*, que hace referencia a la talla para la edad, sería una variable endógena que estaría correlacionada con el término de error. Una variable que podríamos usar como instrumento para este modelo es el estado nutricional de la madre, medido a partir de la talla de la misma. Sería una variable que está fuertemente correlacionada con el estado nutricional de los niños y niñas pero no con el término de error asociado a las habilidades cognitivas de los niños y niñas.

Las variables instrumentales han surgido como una técnica importante en trabajos de investigación para corregir problemas de endogeneidad. Por ejemplo, ([Angrist and Krueger, 1991b](#)) utilizan el «quarter of birth» como instrumento de la educación para estudiar el retorno de la educación. Este instrumento se basa en la asignación aleatoria de las fechas de nacimiento y su influencia en la edad mínima para abandonar la escuela, lo que afecta los niveles educativos alcanzados, pero no tiene un impacto directo en los salarios más allá de su efecto en la educación. Este diseño asegura tanto la validez del instrumento (no correlación con factores no observables como habilidad innata) como su relevancia (fuerte correlación con la educación debido a las políticas escolares). De manera similar, ([Angrist, 1990b](#)) emplean el «draft number» de la lotería para servir en la guerra de Vietnam como instrumento para la participación en la guerra. Los números de lotería asignados al azar aseguran la exogeneidad del instrumento, mientras que su asociación directa con la probabilidad de servir en la guerra garantiza su relevancia.

Otro ejemplo clásico es el de ([Card, 1995](#)). En este artículo, los autores usan la proximidad a una universidad como instrumento para la educación de una persona. La proximidad a una universidad está correlacionada con mayores niveles educativos debido a los menores costos de transporte, pero no afecta directamente los ingresos más allá de su impacto en la educación, siempre que las características del lugar de residencia no influyan en los resultados laborales. Asimismo, ([Frankel and Romer, 1999](#)) emplean la proximidad geográfica a otros países y el tamaño del país como instrumentos del comercio internacional para estudiar su impacto en el PBI. La validez

de este instrumento radica en que la proximidad y el tamaño afectan el comercio pero no están correlacionados con otros factores no observables que puedan influir directamente en el PBI. Además, su relevancia se verifica a través de la fuerte correlación con los niveles de comercio.

Estos ejemplos ilustran la importancia de seleccionar instrumentos que cumplan con los dos requisitos fundamentales: validez, definida como la ausencia de correlación entre los instrumentos y el término de error del modelo estructural; y relevancia, entendida como una correlación suficientemente fuerte entre los instrumentos y las variables explicativas endógenas. Es crucial realizar pruebas empíricas, como el estadístico  $F$  en la primera etapa, para descartar instrumentos débiles, y test de sobreidentificación como el de Sargan (Sargan, 1958) o Hansen (Hansen, 1982a) para validar la independencia de los instrumentos respecto al término de error (volveremos a esto más adelante en este capítulo). Estos elementos destacan cómo el diseño cuidadoso de instrumentos basados en contexto histórico, geográfico o político puede resolver problemas de endogeneidad y proporcionar estimaciones más fiables.

Antes de continuar con la siguiente sección, discutamos acerca de la consistencia del estimado IV. La consistencia de este estimador sigue principalmente de la ley de los grandes números. Note que podemos escribir el estimador de variables instrumentales como sigue,

$$\hat{\beta}_{IV} = \beta + \left( \frac{1}{n} \sum_{i=1}^n Z_i^T X_i \right)^{-1} \left( \frac{1}{n} \sum_{i=1}^n Z_i^T \epsilon_i \right).$$

Luego, se deduce claramente que  $\mathbb{P} \lim \hat{\beta}_{IV} = \beta$ . Ahora bien, podemos generar la expresión clásica ajustada por  $\sqrt{n}$ :

$$\sqrt{n}(\hat{\beta}_{IV} - \beta) = \left( \frac{1}{n} \sum_{i=1}^n Z_i^T X_i \right)^{-1} \left( \frac{1}{\sqrt{n}} \sum_{i=1}^n Z_i^T \epsilon_i \right),$$

donde el primer término del lado derecho de la ecuación convergerá a  $\mathbb{E}[Z^T X] = M_{ZX}$  por la ley débil de los grandes números y el segundo término converge en distribución a una normal por el Teorema Central del Límite

$$\frac{1}{\sqrt{n}} \sum_{i=1}^n Z_i^T \epsilon_i \xrightarrow{d} N(0, V_0),$$

donde  $V_0 = \mathbb{E}[\epsilon^2 Z^T Z]$ . Por lo tanto,

$$\sqrt{n}(\hat{\beta}_{IV} - \beta) \xrightarrow{d} N(0, M_{ZX}^{-1} V_0 (M_{ZX}^{-1})^T).$$

## 9.2. Múltiples instrumentos 2SLS

Sea  $Z$  la matriz de instrumentos de orden  $n \times L$  y  $X$  la matriz de variables independientes de orden  $n \times K$ . Cuando hay más instrumentos que variables endógenas (o más de un instrumento para una variable endógena), tenemos el caso sobre identificado. Esto significa que tenemos más ecuaciones que incógnitas en nuestro sistema. Es prácticamente imposible encontrar una solución que satisfaga todas las ecuaciones, excepto en casos muy particulares.

Una manera ineficiente de resolver este problema es eliminar instrumentos, igualando así el orden de las matrices  $Z$  y  $X$ . Sin embargo, esto resulta en la pérdida de información valiosa. Otra manera de resolver este problema es post-multiplicando la matriz de instrumentos  $Z$  por otra matriz  $\Lambda$  de orden  $L \times K$ . Luego, la matriz  $Z\Lambda$  es de dimensión  $n \times K$ .

Explotando la condición de identificación  $\mathbb{E}[Z^T \epsilon] = 0$ , tenemos:

$$\Lambda^T Z^T Y = \Lambda^T Z^T X \beta + \Lambda^T Z^T \epsilon.$$

Podemos identificar  $\beta$  tomando el valor esperado:

$$\beta = [\mathbb{E}(\Lambda^T Z^T X)]^{-1} \mathbb{E}[\Lambda^T Z^T Y]$$

Siguiendo el principio de analogía, el estimador está dado por:

$$\hat{\beta} = \left( \frac{1}{n} \sum_{i=1}^n \Lambda^T Z_i^T X_i \right)^{-1} \left( \frac{1}{n} \sum_{i=1}^n \Lambda^T Z_i^T Y_i \right) \equiv (\Lambda^T Z^T X)^{-1} \Lambda^T Z^T Y.$$

El asunto por discutir es la matriz  $\Lambda$ . Esta puede ser desconocida, por lo que necesitaremos un estimador de  $\Lambda$ . Suponiendo que tenemos un estimador de  $\Lambda$  dado por  $\hat{\Lambda}$ , el estimador generalizado de variables instrumentales (GIV) o de método de momentos generalizado (GMM) está dado por:

$$\hat{\beta}_{\text{GIV}} = \left( \frac{1}{n} \sum_{i=1}^n \hat{\Lambda}^T Z_i^T X_i \right)^{-1} \left( \frac{1}{n} \sum_{i=1}^n \hat{\Lambda}^T Z_i^T Y_i \right) \equiv (\hat{\Lambda}^T Z^T X)^{-1} \hat{\Lambda}^T Z^T Y.$$

Usualmente,  $\hat{\Lambda} = (Z^T Z)^{-1} Z^T X$ , que corresponde al estimador MCO de la regresión de  $X$  sobre  $Z$ . Así, el estimador de mínimos cuadrados en dos etapas (2SLS) es:

$$\begin{aligned} \hat{\beta}_{2SLS} &= (X^T Z (Z^T Z)^{-1} Z^T X)^{-1} X^T Z (Z^T Z)^{-1} Z^T Y \\ &= (\hat{X}^T \hat{X})^{-1} \hat{X}^T Y, \end{aligned}$$

donde  $\hat{X} = Z(Z^T Z)^{-1} Z^T X$ . El nombre de mínimos cuadrados en dos etapas (2SLS) proviene de la interpretación de Theil (Theil, 1953) que muestra que el estimador se puede obtener de la siguiente manera. Planteamos las regresiones lineales

$$X = Z\Lambda + u$$

$$Y = \hat{X}\beta + \epsilon.$$

Así, se estima la primera etapa y se utilizan los valores estimados  $\hat{X} = Z\hat{\Lambda} = Z(Z^T Z)^{-1} Z^T X$  en la segunda etapa. Luego, si

$$\sqrt{\frac{1}{N}} Z^T \epsilon \xrightarrow{d} N(0, V_0)$$

donde,  $V_0 = \mathbb{E}[\epsilon^2 Z^T Z]$  y  $\hat{\Lambda} \xrightarrow{\mathbb{P}} \Lambda$ , se puede demostrar que:

$$\sqrt{n}(\hat{\beta}_{\text{GIV}} - \beta) \xrightarrow{d} N(0, [\Lambda^T M_{ZX}]^{-1} \Lambda^T V_0 \Lambda [\Lambda^T M_{ZX}^{-1}]^T).$$

Esta expresión depende de  $\Lambda$ ,  $V_0$  y  $M_{ZX}$ . Aunque no se conozca  $\Lambda$ , podemos estimarla como la proyección ortogonal de  $X$  sobre  $Z$  y, en consecuencia, obtener la distribución asintótica del estimador de 2SLS. Por la Ley de los Grandes Números,  $\hat{\Lambda} \xrightarrow{\mathbb{P}} \Lambda \equiv [\mathbb{E}(Z^T Z)]^{-1} \mathbb{E}(Z^T X) = M_{ZZ}^{-1} M_{ZX}$ .

Reemplazando  $\hat{\Lambda}$  en la expresión anterior, obtenemos la varianza asintótica del estimador de 2SLS:

$$\sqrt{n}(\hat{\beta}_{2SLS} - \beta) \xrightarrow{d} N(0, \sigma^2 [M_{XZ}^T M_{ZZ}^{-1} M_{ZX}]^{-1}).$$

Para estimar  $\sigma^2$ , definamos el residuo de 2SLS como  $\hat{\epsilon} = Y - X\hat{\beta}_{2SLS}$ . El estimador de  $\sigma^2$  se define de la forma tradicional:

$$\hat{\sigma}^2 = \frac{1}{n-k} \sum_{i=1}^n \hat{\epsilon}_i^2.$$

Si  $\epsilon$  y  $Z$  no son independientes, pero  $\mathbb{E}[Z^T \epsilon] = 0$ , se puede estimar consistentemente la matriz de varianzas y covarianzas usando Eicker-Huber-White o Newey-West dependiendo si los errores son autocorrelacionados, véase (Wooldridge, 2001).

El estimador de Eicker-Huber-White de la varianza asintótica de  $\hat{\beta}_{2SLS}$  está dado por

$$\text{Avar}(\hat{\beta}_{2SLS}) = (\hat{X}^T \hat{X})^{-1} \left( \sum_{i=1}^n \hat{\epsilon}_i^2 Z_i^T Z_i \right) (\hat{X}^T \hat{X})^{-1}.$$

Desde el enfoque numérico, en Stata, usando el comando `ivregress 2sls` con la opción `vce(robust)` nos proporcionará los errores estándar de la matriz descrita anteriormente. También se puede usar el comando `ivreg2` con la opción `robust`, véase el Manual de Stata.

### 9.3. Método Generalizado de Momentos

Un estimador alternativo a 2SLS en presencia de endogeneidad y variables instrumentales es el estimador de GMM. Definamos las condiciones de momento como

$$m(Z, X, \beta) = Z^T(Y - X\beta)$$

donde  $Z$  es una realización del vector de instrumentos de  $L \times 1$  y  $X$  es una realización del vector de variables endógenas de  $K \times 1$ . Suponiendo que  $L > K$ , tenemos un sistema sobre identificado; véase (Rau, 2016). Dado el supuesto de identificación  $\mathbb{E}[Z^T\epsilon] = 0$ , tenemos que:

$$\mathbb{E}[m(Z, X, \beta)] = 0.$$

Luego, el valor esperado de cada condición de momento es cero. Además, recordemos que cada condición de momento poblacional tiene su contraparte muestral dada por

$$m(Z, X, \beta) = \frac{1}{n} \sum_{i=1}^n Z^T(Y - X\beta) = \frac{1}{n} Z^T\epsilon.$$

El problema que tenemos es el usual: «la probabilidad de encontrar una solución que satisfaga las  $L$  (siendo que tenemos  $K$  incógnitas) es casi 0» a menos que reduzcamos el orden multiplicando por alguna matriz como se hizo en 2SLS. En el caso que  $L = K$  se tiene un sistema exactamente identificado y la solución está dada por  $m(Z, X, \beta) = 0$ , con lo cual se obtiene la misma solución que  $\hat{\beta}_{IV}$ .

Para el caso sobre-identificado, el estimador de GMM es aquel que minimiza la siguiente forma cuadrática:

$$\min_{\beta} m(Z, X, \beta)^T W^{-1} m(Z, X, \beta)$$

donde  $W^{-1}$  es una matriz de  $L \times L$  con lo cual el sistema es de  $K \times K$ .

Se define el estimador de GMM eficiente (EGMM) como aquel que utiliza como matriz de ponderación:

$$W = \text{Var}(m(Z, X, \beta)) = \mathbb{E}[\epsilon^2 Z^T Z] = V_0.$$

Por lo tanto, en el caso que  $W = V_0$ , tenemos que  $\hat{\beta}_{\text{GMM}}$  minimiza la siguiente expresión:

$$\min_{\beta} \frac{1}{n} (Y - X\beta)^T Z V_0^{-1} Z^T (Y - X\beta)$$

luego,

$$\hat{\beta}_{\text{EGMM}} = [X^T Z V_0^{-1} Z^T X]^{-1} X^T Z V_0^{-1} Z^T Y.$$

Lo único que falta es un estimador consistente de  $V_0$ . Bajo el supuesto de heterocedasticidad, podemos usar el estimador de Eicker-White, véase ([Wooldridge, 2001](#)), con lo cual la varianza asintótica estaría dada por

$$\text{Avar}(\hat{\beta}_{\text{EGMM}}) = (M_{ZX}^T V_0^{-1} M_{ZX})^{-1}.$$

Luego, se puede implementar el estimador EGMM en tres etapas:

1. Se estima el modelo por 2SLS y obtenga los residuos de la manera antes descrita  $\hat{\epsilon} = Y - X\hat{\beta}_{2SLS}$ .
2. Se construye la matriz  $\hat{V}_0 = \frac{1}{n} \sum \hat{\epsilon}_i^2 Z_i^T Z_i$ .
3. Se estima mediante EGMM, usando  $\hat{V}_0$  como matriz de ponderación.

En Stata, esto se puede implementar con el comando `ivreg2` con la opción `gmm`.

En el caso general, cuando los errores son heterocedásticos y/o autocorrelacionados y  $V_0 \neq \sigma^2 M_{ZZ}$ , el estimador 2SLS (caso particular del GIV) no tendrá la menor varianza asintótica. Para obtener un estimador eficiente necesitamos escoger una matriz  $\Lambda$  que minimice la varianza asintótica.

Luego queremos minimizar con respecto a  $\Lambda$  la siguiente expresión:

$$\text{Avar}(\hat{\beta}_{\text{GIV}}) = [\Lambda^T M_{ZX}]^{-1} \Lambda^T V_0 \Lambda ([\Lambda M_{ZX}]^{-1})^T.$$

Se puede demostrar que

$$\Lambda^* = V_0^{-1} M_{ZX} = \arg \min_{\Lambda} \text{Avar}(\hat{\beta}_{\text{GIV}}(\Lambda)).$$

Pero en la práctica no podemos disponer de  $\Lambda^*$ , incluso si suponemos  $V_0$  conocida. Necesitamos un estimador consistente de  $M_{ZX}$ . La Ley Débil de los Grandes Números nos garantiza que si  $\{X_i, Z_i\}$  son i.i.d con primer y segundo momento acotados,

$$\hat{\Lambda}^* = V_0^{-1} \frac{1}{n} \sum Z_i^T X_i \xrightarrow{\mathbb{P}} V_0^{-1} M_{ZX} = \Lambda^*$$

Por lo tanto, el estimador generalizado de variables instrumentales eficiente corresponde al estimador eficiente de método de momentos y es igual a:

$$\hat{\beta}_{\text{EGIV}} = \hat{\beta}_{\text{EGMM}} = [X^T Z V_0^{-1} Z^T X]^{-1} X^T Z V_0^{-1} Z^T Y,$$

con distribución asintótica:

$$\sqrt{n}(\hat{\beta}_{\text{EGMM}} - \beta) \xrightarrow{d} N(0, (M_{ZX}^T V_0^{-1} M_{ZX})^{-1}).$$

Siempre que se estima usando variables instrumentales en el caso de sobre-identificación, es posible testear si los instrumentos no están correlacionados con el término de error. En el caso de GMM, esto se hace testeando que las condiciones de momento muestrales, en conjunto, no sean diferentes de cero (en términos estadísticos). Esto solo se puede realizar cuando se tienen más instrumentos excluidos que variables endógenas, es decir, cuando  $L > K$ . Este test de alguna manera testea la especificación del modelo y las condiciones de ortogonalidad. Si rechazamos la hipótesis nula (que el modelo está correctamente especificado y que las condiciones de momento son válidas) uno debe preocuparse porque los instrumentos no son limpios (están correlacionados con el término de error); o el modelo está incorrectamente especificado en el sentido de las restricciones de exclusión (qué instrumentos se excluyen de la ecuación estructural).

En el contexto de GMM, este test se realiza usando el estadístico  $J$  de (Hansen, 1982b). Este estadístico no es más que la función objetivo evaluada en  $\hat{\beta}_{\text{EGMM}}$  y se distribuye como  $\chi_{L-K}^2$ , así:

$$J(\hat{\beta}_{\text{EGMM}}) = nm(Z, X, \hat{\beta}_{\text{EGMM}})^T \hat{V}_0^{-1} m(Z, X, \hat{\beta}_{\text{EGMM}}) \xrightarrow{d} \chi_{L-K}^2.$$

Un valor grande de  $J(\hat{\beta}_{\text{EGMM}})$ , es decir, mayor al valor crítico obtenido de la tabla, nos da indicios de que el modelo está mal especificado o que los instrumentos no son limpios.

En Stata, el comando `ivreg2` con la opción `robust` estima por EGMM y además entrega el estadístico  $J$ . En el caso de 2SLS, existe el test de (Sargan, 1958) para restricciones de sobre-identificación:

$$\text{Sargan} = \frac{\hat{\epsilon}^T \text{Proy}_Z \hat{\epsilon}}{\hat{\epsilon}^T \hat{\epsilon} / n} \xrightarrow{d} \chi_{L-K}^2.$$

Una manera sencilla de obtener el estadístico de Sargan es correr el modelo por 2SLS, obtener  $\hat{\epsilon}$ , correr la regresión auxiliar de  $\hat{\epsilon}$  sobre todas las variables exógenas ( $X$  y  $Z$ ) y obtener el  $R^2$ <sup>3</sup>.

En Stata, después del comando `ivregress 2sls`, se ejecuta `estat overid` para que el programa nos entregue el estadístico de Sargan.

## 9.4. Instrumentos débiles

Cuando los instrumentos están débilmente correlacionados<sup>4</sup> con las variables endógenas, el uso de variables instrumentales (en muestra finita) puede ser perjudicial (John Bound, 1995). En presencia de instrumentos débiles, el estimador por variables instrumentales puede estar sesgado en la misma dirección que el estimador por MCO y puede no ser consistente (John Chao, 2005). Además, los tests tienen una medida incorrecta y los intervalos de confianza presentan problemas. La medida de fortaleza de los instrumentos está dada por el parámetro de concentración

$$\mu^2 = \frac{\Lambda^T Z^T Z \Lambda}{\sigma_\epsilon^2},$$

el cual está relacionado con el estadístico  $F$  de la primera etapa para testear la hipótesis de relevancia  $\Lambda = 0$ .

Considere el siguiente modelo para un regresor endógeno:

$$Y = X\beta + \epsilon$$

$$X = Z\Lambda + u$$

El estimador 2SLS minimiza  $(Y - X\beta)^T P_Z (Y - X\beta)$  y se define como

$$\hat{\beta}_{2SLS} = (X^T P_Z X)^{-1} (X^T P_Z Y),$$

<sup>3</sup>De hecho, es posible demostrar que  $\text{Sargan} = n \times R^2$ .

<sup>4</sup>Las complicaciones en general son por la no linealidad en la primera etapa (si la relación entre los instrumentos y la variable endógena es curiosamente no lineal, los instrumentos pueden ser débiles), outliers: dada la falta de resistencia estadística de MCO, la presencia de outliers puede llevar a que los instrumentos sean débiles y/o correlación con la variable endógena en una subpoblación: si los instrumentos están correlacionados con la(s) variable(s) endógena(s) solo en una subpoblación y esta correlación se diluye en el total, los instrumentos pueden ser débiles.

donde  $P_Z$  es la matriz de proyección a las columnas del espacio vectorial generado por las columnas de  $Z$ . (Rothenberg, 1984) muestra que a medida que  $\mu^2$  crece, el estimador 2SLS converge en probabilidad y su distribución es estándar.

Para determinar la validez de un instrumento, es crucial argumentar que no existe una relación directa entre el instrumento y la variable dependiente. En el ejemplo 9.2, es necesario argumentar que la talla de la madre no influye en las habilidades cognitivas de los niños y niñas más allá de su efecto a través del estado nutricional de los mismos.

La validez de un instrumento puede ser evaluada mediante el test de (Stock and Yogo, 2005), que examina el porcentaje de sesgo aceptable. Usualmente, se recomienda utilizar un 10 % de sesgo, con la hipótesis nula de que los instrumentos son débiles. Si  $F_{1etapa} > \text{Valor crítico al 10 \%}$ , entonces el instrumento es robusto; de lo contrario, es débil. Este test evalúa el ajuste conjunto de las variables en la primera etapa de la regresión.

Otra prueba utilizada es el test de (Sargan, 1958), que verifica si los instrumentos no están correlacionados con el término de error del modelo en la segunda etapa de la estimación por variables instrumentales (MC2E). Los pasos son:

1. estimar el modelo de MC2E y guardar los residuos,
2. realizar una regresión de los residuos con los instrumentos y
3. construir la prueba  $\chi^2$  donde los grados de libertad son  $q - 1$  (número de instrumentos menos uno). La hipótesis nula es que los instrumentos son exógenos.

El test de (Hansen, 1982b) es similar al de Sargan, pero utiliza errores estándar robustos tanto en la estimación de los residuos como en la relación de los instrumentos con los errores del modelo de MC2E.

En general, la selección de instrumentos adecuados es crucial y puede ser evaluada mediante las pruebas mencionadas para asegurar la validez de los resultados obtenidos (John Bound, 1995; John Chao, 2005; Douglas Staiger, 1997; Hausman, 1978; Rothenberg, 1984; John G. Cragg, 1993; Stock and Yogo, 2005).

**Ejemplo 9.3.** Para evaluar la validez de los instrumentos en un modelo de variables instrumentales (IV), como vimos previamente, se pueden utilizar varios tests. A continuación, se presenta un ejemplo que muestra los resultados de varias pruebas de identificación y sobreidentificación.

lehr	Coef.	Std. Err.	z	P> z	[95% Conf. Interval]	
yrsqual	.3276378	.0227545	14.40	0.000	.2830399	.3722357
sexo	-.5912689	.0419384	-14.10	0.000	-.6734666	-.5090711
urbano	.1793616	.0954352	1.88	0.060	-.007688	.3664112
exper	.0304977	.0057491	5.30	0.000	.0192297	.0417657
exper2	-.0006119	.0001496	-4.09	0.000	-.0009052	-.0003186
_cons	.5407223	.4104245	1.32	0.188	-.263695	1.34514

<b>Underidentification test</b> (Anderson canon. corr. LM statistic):		362.564
Chi-sq(2) P-val =		0.0000
<b>Weak identification test</b> (Cragg-Donald Wald F statistic):		202.316
Stock-Yogo weak ID test critical values: 10% maximal IV size		19.93
15% maximal IV size		11.59
20% maximal IV size		8.75
25% maximal IV size		7.25
Source: Stock-Yogo (2005). Reproduced by permission.		
<b>Sargan statistic</b> (overidentification test of all instruments):		0.196
Chi-sq(1) P-val =		0.6576

Instrumented:	yrsqual
Included instruments:	sexo urbano exper exper2
Excluded instruments:	pvnuml secomas_i

Figura 9.1 Stock y Yogo, Sargan.

El Underidentification test (Anderson canon. corr. LM statistic) verifica si el modelo está subidentificado. En el ejemplo, el estadístico de la prueba es 362.564 con un  $p$ -value de 0.0000, lo que indica que el modelo no está subidentificado. El Weak identification test (John G. Cragg, 1993) evalúa la fortaleza de los instrumentos. En el ejemplo, el estadístico de la prueba es 202.316. Según los valores críticos de Stock y Yogo (Stock and Yogo, 2005), que dependen del tamaño del sesgo que se quiera aceptar (10%, 15%, 20%, 25%), el valor crítico para un sesgo máximo del 10% es 19.93. Dado que el estadístico es mayor que este valor crítico, se concluye que los instrumentos no son débiles. El Sargan statistic (overidentification test) descrito por (Sargan, 1958), verifica si los instrumentos están correlacionados con el término de error del modelo. En el ejemplo, el estadístico de la prueba es 0.196 con un  $p$ -value de 0.6576. La hipótesis nula es que los instrumentos son exógenos, y dado que el  $p$ -value es mayor que 0.05, no se rechaza la hipótesis nula, sugiriendo que los instrumentos son válidos. El test de (Hansen, 1982b) es similar al test de Sargan, pero utiliza errores estándar robustos. Aunque no se muestra en la figura, es otro test comúnmente utilizado para evaluar la sobreidentificación de los instrumentos. En resumen, estos tests proporcionan una manera robusta de evaluar la validez y fortaleza de los instrumentos en un modelo de variables instrumentales, asegurando que los resultados obtenidos sean fiables.

Previamente en este capítulo, hemos abordado temas cruciales como las variables

instrumentales, el método de estimación en dos etapas (2SLS), el método de momentos generalizados (GMM), los instrumentos débiles y los tests estadísticos relevantes. Si bien no hemos tocado el estadístico de (John G. Cragg, 1993) ni el método de máxima verosimilitud de información limitada (LIML), permítanos comentar un poco al respecto. El estadístico de Cragg-Donald es fundamental para evaluar la fuerza de los instrumentos en modelos de regresión, proporcionando un criterio importante para determinar la validez de los instrumentos utilizados. Por otro lado, el LIML<sup>5</sup> es una técnica alternativa que, aunque menos común, ofrece ventajas específicas en ciertos contextos econométricos, especialmente cuando los instrumentos son débiles o el número de instrumentos es grande en relación al tamaño de la muestra. Con estos fundamentos en mente, procederemos a explorar en detalle el estimador de Wald en la sección siguiente.

## 9.5. Estimador de Wald

Un caso particular de endogeneidad en el modelo de regresión lineal ocurre cuando la variable endógena es binaria. Este escenario es común en la literatura de evaluación de programas, ya que frecuentemente hay un programa o tratamiento que no se asignó aleatoriamente.

Supóngase que se tiene el siguiente modelo lineal:

$$Y_i = \alpha + \beta X_i + \epsilon_i$$

---

<sup>5</sup>(Angrist and Krueger, 1991a) en adelante AK, estiman el retorno a la educación (ecuación de Mincer) utilizando como instrumento el trimestre de nacimiento de las personas, basándose en los datos del Censo de 1980. La justificación es la ley estadounidense que estipula que los niños pueden comenzar el primer grado con seis años cumplidos al 30 de junio (empiezan en agosto). Aquellos nacidos en el primer y segundo trimestre comienzan la escuela en agosto con la edad ya cumplida. Dado que se puede abandonar la escuela a los 16 o 17 años, los nacidos en el primer o segundo trimestre lo harán antes de completar el año escolar, teniendo así menos escolaridad que los nacidos en el tercer y cuarto trimestre. Las variables dependientes son el logaritmo del salario por hora, escolaridad y dummies por año de nacimiento, y los instrumentos son dummies por trimestre de nacimiento, dummies por año de nacimiento e interacciones entre ambas. AK demuestran que, aunque los instrumentos pueden parecer débiles según algunos criterios, son válidos para identificar el modelo. Además, comparan los resultados de 2SLS con LIML y encuentran que mientras 2SLS converge a MCO cuando se utilizan muchos instrumentos, LIML resulta ser más consistente.

donde  $X_i$  es una variable binaria. Se puede observar que el estimador MCO es un estimador de diferencias. Este estimador representa la diferencia de medias condicionales de  $Y$  en  $X$  para  $X = 1$  y  $X = 0$ .

Para ilustrarlo un poco más, se debe notar que para lograr la identificación de  $\beta$ , MCO asume que  $\mathbb{E}[\epsilon_i|X_i] = 0$ . Esto implica que la variable binaria  $X_i$  de tratamiento es independiente del nivel medio condicional de los no observables. Es decir, en promedio, no hay factores no observables que se relacionen con el hecho de recibir o no el tratamiento. Esto se logra mediante aleatorización. Bajo ese supuesto, el estimador MCO se puede expresar de la siguiente manera:

$$\hat{\beta}_{OLS} = \frac{\sum_{i=1}^n (Y_i - \bar{Y})(X_i - \bar{X})}{\sum_{i=1}^n (X_i - \bar{X})^2} \quad (9.9)$$

$$\begin{aligned} &= \frac{\sum_{i=1}^n Y_i X_i}{\sum_{i=1}^n X_i} - \frac{\sum_{i=1}^n Y_i (1 - X_i)}{\sum_{i=1}^n (1 - X_i)} \\ &= \hat{\mathbb{E}}[Y|X = 1] - \hat{\mathbb{E}}[Y|X = 0], \end{aligned} \quad (9.10)$$

donde<sup>6</sup>

$$\hat{\mathbb{E}}[Y|X = 1] = \frac{\sum_{i=1}^n Y_i X_i}{\sum_{i=1}^n X_i}$$

y

$$\hat{\mathbb{E}}[Y|X = 0] = \frac{\sum_{i=1}^n Y_i (1 - X_i)}{\sum_{i=1}^n (1 - X_i)}.$$

Así, el estimador OLS en este caso es un estimador de diferencias,

$$\hat{\beta}_{OLS} = \bar{Y}_T - \bar{Y}_C = \hat{\mathbb{E}}[Y|X = 1] - \hat{\mathbb{E}}[Y|X = 0].$$

En consecuencia, si  $X_i$  fuera un tratamiento producto de un experimento aleatorio, el estimador MCO estima el efecto causal del tratamiento sobre la variable de resultados  $Y$ .

Sin embargo, si  $\mathbb{E}[\epsilon_i|X_i] \neq 0$ , el tratamiento no proviene de un experimento aleatorio y está correlacionado con alguna característica no observable del individuo  $i$ . Esto ocurre, por ejemplo, si los individuos se autoseleccionan en un determinado programa. En este caso, el parámetro  $\beta$  no está identificado y el estimador de MCO es inconsistente y sesgado.

<sup>6</sup>Tenemos.  $\mathbb{E}[Y_i|X_i = 0] = \alpha$  Por lo tanto, la diferencia en el valor esperado de  $Y_i$  entre aquellos con  $X_i = 1$  y  $X_i = 0$  es  $\mathbb{E}[Y_i|X_i = 1] - \mathbb{E}[Y_i|X_i = 0] = (\alpha + \beta) - \alpha = \beta$ .

Por otro lado, si se dispone de una variable instrumental binaria  $Z_i$  que cumple con los supuestos fundamentales:  $\mathbb{E}[\epsilon_i|Z_i] = 0$  y  $\mathbb{E}[Z_i X_i] \neq 0$ , se puede identificar  $\beta$  y obtener un efecto causal del tratamiento sobre  $Y$  mediante el estimador de variables instrumentales,

$$\underbrace{\hat{\beta}_{\text{Wald}}}_{\text{estimador de Wald}} = \frac{\sum_{i=1}^n (Y_i - \bar{Y})(Z_i - \bar{Z})}{\sum_{i=1}^n (X_i - \bar{X})(Z_i - \bar{Z})}.$$

Este estimador también puede expresarse como un estimador de diferencias pero con un ajuste en el denominador. Note que con un poco de álgebra se obtiene:

$$\hat{\beta}_{IV} = \frac{\hat{\mathbb{E}}[Y|Z = 1] - \hat{\mathbb{E}}[Y|Z = 0]}{\hat{\mathbb{E}}[X|Z = 1] - \hat{\mathbb{E}}[X|Z = 0]}$$

donde

$$\begin{aligned} \hat{\mathbb{E}}[Y|Z = 1] &= \frac{\sum_{i=1}^n Y_i Z_i}{\sum_{i=1}^n Z_i} \\ \hat{\mathbb{E}}[Y|Z = 0] &= \frac{\sum_{i=1}^n Y_i (1 - Z_i)}{\sum_{i=1}^n (1 - Z_i)} \\ \hat{\mathbb{E}}[X|Z = 1] &= \frac{\sum_{i=1}^n X_i Z_i}{\sum_{i=1}^n Z_i} \\ \hat{\mathbb{E}}[X|Z = 0] &= \frac{\sum_{i=1}^n X_i (1 - Z_i)}{\sum_{i=1}^n (1 - Z_i)}. \end{aligned}$$

**Ejemplo 9.4. La lotería de Vietnam.** (Angrist, 1990a) estudia el impacto de servir en la guerra de Vietnam en el salario de los veteranos, años después. Esta pregunta es interesante porque existe la hipótesis de que haber servido en Vietnam podría compensar la pérdida de experiencia en el mercado laboral. Sin embargo, existe un problema de endogeneidad en la estimación de un modelo de regresión lineal del efecto de haber servido en la guerra en el salario. El problema de endogeneidad es claro, ya que las personas que sirven voluntariamente en una guerra tienen otras características no observables que pueden estar correlacionadas con habilidad, capital social, etc. Durante la Guerra de Vietnam se realizaron cinco loterías en Estados Unidos para enviar jóvenes a la guerra. Por ejemplo, la lotería de 1970 cubrió a jóvenes entre 19 y 26 años. Se sortearon números (sin reemplazo) del 1 al 365, asignando cada número a una fecha de nacimiento (día, mes). Las personas eran llamadas según una secuencia de números (del 1 al 365) hasta cumplir la cuota requerida por el Departamento de Defensa. Posteriormente, se realizaban exámenes médicos y se seleccionaba a quienes irían a

la guerra. Aquí se puede utilizar un estimador de Wald. Se puede crear un instrumento binario (1 si se tiene un número de sorteo bajo, 0 si es alto). Este instrumento está correlacionado con servir en la guerra, pero no con otras características. Así, el estimador de variables instrumentales es:

$$\hat{\beta}_{IV} = \frac{\hat{\mathbb{E}}[Y|Z = 1] - \hat{\mathbb{E}}[Y|Z = 0]}{\hat{\mathbb{E}}[X|Z = 1] - \hat{\mathbb{E}}[X|Z = 0]}$$

Note que el numerador es un estimador de diferencias, pero no condicional en el tratamiento, sino en el instrumento. El denominador proporciona la diferencia de las probabilidades de ser tratado condicional al instrumento. En este caso, condicional a tener un número bajo o alto de lotería.

Nevo y Rosen ([Nevo and Rosen, 2021](#)) abordan el problema de la endogeneidad en modelos econométricos desarrollando un método que permite trabajar con instrumentos imperfectos, es decir, instrumentos que están correlacionados con el término de error. Este método asume que la correlación entre el instrumento y el error tiene el mismo signo que la correlación entre la variable endógena y el error, y que la magnitud de esta correlación es menor en el caso del instrumento. A partir de estas suposiciones, los autores derivan límites analíticos para los parámetros del modelo y ofrecen estimaciones en forma de conjuntos. Como demostración de su enfoque, aplican la metodología al estudio de la demanda de productos diferenciados, mostrando que, incluso con instrumentos imperfectos, es posible obtener información valiosa sobre los parámetros del modelo.

Por otro lado, Conley, Hansen y Rossi ([Conley et al., 2012](#)) proponen un marco metodológico que relaja el supuesto de exclusión estricta en los métodos de variables instrumentales, permitiendo que los instrumentos sean solo plausiblemente exógenos. Esto significa que los instrumentos pueden estar correlacionados con el término de error en cierta medida, siempre que esta correlación sea controlable y conocida parcialmente. Los autores ilustran su enfoque con ejemplos empíricos, como la elasticidad precio de la demanda de margarina y los retornos a la educación. Sus resultados demuestran que, incluso con instrumentos que no cumplen completamente el supuesto de exogeneidad, las inferencias pueden ser informativas y útiles.

Ambos trabajos representan avances significativos en el uso de variables instrumentales (IV). Nevo y Rosen ([Nevo and Rosen, 2021](#)) ofrecen un enfoque basado en res-

tricciones de correlación para casos de instrumentos imperfectos, mientras que Conley, Hansen y Rossi (Conley et al., 2012) desarrollan un marco más general para abordar instrumentos que no son completamente exógenos. Estas contribuciones amplían la aplicabilidad de los métodos IV a contextos donde las condiciones tradicionales de validez de los instrumentos no se cumplen plenamente.

## Ejercicios

**Ejercicio 9.1.** Este ejercicio ha sido extraído del Módulo 2 del curso de Econometría Aplicada Avanzada del QLab, Febrero 2023.

Se trabajará con la base de datos `card.dta`, utilizada en el artículo de David Card (1993) *Using Geographic Variation in College Proximity to Estimate the Return to Schooling*. El objetivo es estimar el retorno a la educación mediante modelos de Mínimos Cuadrados Ordinarios (MCO) y Variables Instrumentales (IV).

1. Describa las características de los individuos en la muestra. ¿Qué información proporciona el promedio de la variable dependiente en la interpretación de los coeficientes? ¿Cómo se interpretan estos coeficientes?
2. Estime el siguiente modelo por MCO en Stata:

```
reg lwage educ c.exper##c.exper age black south smsa smsa66 reg661-reg668
```

¿Qué ocurre con la variable edad? Explique su comportamiento. Luego, excluya edad del modelo y reestime la ecuación. Compare el coeficiente de educación con el de la Tabla 2, Columna 2, del artículo de Card (1993).

3. Analice la Tabla 2 de Card (1993). ¿Es creíble el coeficiente estimado de educación? ¿Por qué? Identifique dos posibles fuentes de inconsistencia por omisión de variables y discuta la dirección esperada del sesgo.
4. Estime la ecuación de primera etapa. ¿Qué se debe observar en esta regresión? Comente sobre la correlación parcial entre `educ` y `nearc4`.

5. Estime el modelo utilizando Variables Instrumentales (IV) con `nearc4` como instrumento para `educ`. Dibuje el DAG correspondiente y explique la validez del instrumento. Compare los resultados con los obtenidos en el punto 2.
6. Testee la presencia de instrumentos débiles usando:
  - a) Estadístico  $F$ .
  - b) Estadístico de Cragg y Donald ([John G. Cragg, 1993](#)).
  - c) Tablas de Stock y Yogo ([Stock and Yogo, 2005](#)) en el test de Wald.
7. Use `nearc2` y `nearc4` como instrumentos para `educ`. Compare la fuerza de los instrumentos en la primera etapa y luego estime el modelo con IV usando cada uno por separado y en conjunto (2SLS). Verifique la validez del estimador 2SLS.
8. Hasta ahora se ha asumido homocedasticidad. ¿Es razonable? ¿Qué ventaja tiene el estimador GMM respecto de IV en 2 etapas bajo heterocedasticidad? Compare el coeficiente de educación entre 2SLS y GMM.
9. Considerando la fuerza relativa de los instrumentos en la pregunta 7, aplique el test de sobreidentificación bajo heterocedasticidad para GMM y 2SLS. ¿Con qué instrumento(s) se quedaría?
10. ¿Deberíamos usar MCO a pesar de su inconsistencia, o IV a pesar de su ineficiencia? ¿Existe un test para decidir esto? Aplíquelo en el modelo sobreidentificado y concluya.

**Solución:**

1) Usando los comandos

```
summarize
```

```
describe
```

obtenemos información precisa sobre las variables de la base de datos. Estas pueden vislumbrarse en las figuras (9.2) y (9.3). En concreto, retomando lo explicado en ([Card, 1993](#)), la variable de interés (outcome) es el salario (logaritmo neperiano para ser exactos) y se regresa contra diferentes variables (en el paper), tales como: años de

educación, dummy de la raza, variables relacionadas a la educación de los padres entre otras, ver figura (9.3). En relación a los coeficientes, dado que la variable resultado es  $y = \ln w_i$ , si se tiene una especificación del tipo

$$\ln y = c + \alpha'Z + \gamma'D + \varepsilon,$$

siendo  $Z$  un vector de regresoras que toman valores en  $\mathbb{R}$  y  $D$  un vector de dummies que toman valores en  $\{0, 1\}$ :

1.  $\hat{\alpha}_j$  nos indica el incremento o disminución porcentual del salario en función de si  $Z_j$  aumenta en una unidad.
2.  $\hat{\gamma}$  nos indica la diferencia porcentual en el salario (diferencia de log) entre el esperado del grupo  $D_j = 1$  y el base  $D_j = 0$ .

Ahora, en cuanto al promedio de la dependiente,  $\bar{y} = \frac{1}{N} \sum_{i=1}^N \ln w_i$ <sup>7</sup> esta nos permite obtener un punto de referencia a la hora de correr las regresiones lineales y obtener los coeficientes. Se puede entender mejor la magnitud del cambio. Un cambio porcentual en el salario es más informativo si se considera la medida de dicha variable (esto es análogo al caso de las tasas de crecimiento del PBI de un país, el 5% de la economía estadounidense no es lo mismo que un crecimiento de 5% en una economía como la del Perú). En la figura (9.3) se vislumbra dicho estadístico.

2) En la figura (9.4) se observan los resultados de la regresión

```
reg lwage educ c.exper##c.exper age black south smsa smsa66 reg661-reg668
```

Se observa que la variable age fue omitida en la regresión. Esto se debe a que, de acuerdo con (9.3), la variable exper se define como age-edu-6. Por ende, age resulta ser combinación lineal de edu, exper y el vector 1 (la columna de la matriz  $X$  asociada al parámetro  $\beta_0$ ). Esto genera el problema de multicolinealidad

$$\exists x_j, \gamma \neq 0 \text{ t.q. : } \sum_{i=1}^k \gamma_i x_i = 0.$$

Sacando la variable age de la regresión, se obtiene: Finalmente, en relación al  $\beta$  asociado

---

<sup>7</sup>Que ciertamente por la desigualdad de Jensen no es igual a  $\ln\left(\frac{1}{N} \sum_{i=1}^N w_i\right)$ .

```

obs:      3,010
vars:      34                               17 Aug 1999 14:26

```

---

variable name	storage type	display format	value label
id	int	%9.0g	person identifier
nearc2	byte	%9.0g	=1 if near 2 yr college, 1966
nearc4	byte	%9.0g	=1 if near 4 yr college, 1966
educ	byte	%9.0g	years of schooling, 1976
age	byte	%9.0g	in years
fatheduc	byte	%9.0g	father's schooling
motheduc	byte	%9.0g	mother's schooling
weight	float	%9.0g	NLS sampling weight, 1976
momdad14	byte	%9.0g	=1 if live with mom, dad at 14
sinmom14	byte	%9.0g	=1 if with single mom at 14
step14	byte	%9.0g	=1 if with step parent at 14
reg661	byte	%9.0g	=1 for region 1, 1966
reg662	byte	%9.0g	=1 for region 2, 1966
reg663	byte	%9.0g	=1 for region 3, 1966
reg664	byte	%9.0g	=1 for region 4, 1966
reg665	byte	%9.0g	=1 for region 5, 1966
reg666	byte	%9.0g	=1 for region 6, 1966
reg667	byte	%9.0g	=1 for region 7, 1966
reg668	byte	%9.0g	=1 for region 8, 1966
reg669	byte	%9.0g	=1 for region 9, 1966
south66	byte	%9.0g	=1 if in south in 1966
black	byte	%9.0g	=1 if black
smsa	byte	%9.0g	=1 in in SMSA, 1976
south	byte	%9.0g	=1 if in south, 1976
smsa66	byte	%9.0g	=1 if in SMSA, 1966
wage	int	%9.0g	hourly wage in cents, 1976
enroll	byte	%9.0g	=1 if enrolled in school, 1976
KWW	byte	%9.0g	knowledge world of work score
IQ	int	%9.0g	IQ score
married	byte	%9.0g	=1 if married, 1976
libcrd14	byte	%9.0g	=1 if lib. card in home at 14
exper	byte	%9.0g	age - educ - 6
lwage	float	%9.0g	log(wage)
expersq	int	%9.0g	exper^2

Figura 9.2 Describe de la base de datos.

a la educación (años de educación - medido en 1976), se observa en (9.5) que

$$\hat{\beta}_{educ} = 0,0746933$$

con error estándar 0.0034983. Estos resultados son los mismos que los obtenidos por David Card en (Card, 1993) y significan que un año de educación contribuye en un incremento de 7.5% al salario.

3) En la tabla 2 del paper (Card, 1993) se observa que un incremento en un año de educación genera un incremento de 7.5 puntos porcentuales del salario, controlando por una serie de variables especificadas en la tabla 2. Además, el coeficiente sale

```
. summarize
```

Variable	Obs	Mean	Std. Dev.	Min	Max
id	3,010	2581.749	1500.539	2	5225
nearc2	3,010	.4408638	.4965731	0	1
nearc4	3,010	.6820598	.4657535	0	1
educ	3,010	13.26346	2.676913	1	18
age	3,010	28.1196	3.137004	24	34
fatheduc	2,320	10.00345	3.720737	0	18
motheduc	2,657	10.34814	3.179671	0	18
weight	3,010	321185.3	170645.8	75607	1752340
momdad14	3,010	.7893688	.4078247	0	1
sinmom14	3,010	.1006645	.3009339	0	1
step14	3,010	.0388704	.1933182	0	1
reg661	3,010	.0465116	.2106253	0	1
reg662	3,010	.1607973	.367405	0	1
reg663	3,010	.1956811	.39679	0	1
reg664	3,010	.0641196	.2450066	0	1
reg665	3,010	.2083056	.406164	0	1
reg666	3,010	.0960133	.2946584	0	1
reg667	3,010	.1099668	.3129003	0	1
reg668	3,010	.0282392	.165683	0	1
reg669	3,010	.0903654	.2867522	0	1
south66	3,010	.4142857	.4926801	0	1
black	3,010	.2335548	.4231624	0	1
smsa	3,010	.7129568	.4524571	0	1
south	3,010	.4036545	.4907113	0	1
smsa66	3,010	.6495017	.4772053	0	1
wage	3,010	577.2824	262.9583	100	2404
enroll	3,010	.0923588	.2895799	0	1
KWW	2,963	33.54067	8.611619	4	56
IQ	2,061	102.4498	15.42376	50	149
married	3,003	2.271395	2.066823	1	6
libcrd14	2,997	.674341	.4686987	0	1
exper	3,010	8.856146	4.141672	0	23
lwage	3,010	6.261832	.4437976	4.60517	7.784889
expersq	3,010	95.57907	84.61831	0	529

Figura 9.3 Summarize de la base de datos.

significativo pues  $\hat{\beta}/ee(\hat{\beta}) = 18,5 > 1,96$  (confianza  $\alpha = 0,05$ ). Acontece sin embargo que este coeficiente esté sobre o subestimando el efecto de la educación dado que pueden existir variables no observadas pero correlacionadas con la educación y que ciertamente explican el salario. Es el caso por ejemplo de la habilidad  $a$  del individuo. Es por ello que el coeficiente deja de ser creíble. ¿Qué tipos de inconsistencia surgen ante el escenario

Source	SS	df	MS	Number of obs	=	3,010
Model	177.695591	15	11.8463727	F(15, 2994)	=	85.48
Residual	414.946054	2,994	.138592536	Prob > F	=	0.0000
				R-squared	=	0.2998
				Adj R-squared	=	0.2963
Total	592.641645	3,009	.196956346	Root MSE	=	.37228

lwage	Coef.	Std. Err.	t	P> t	[95% Conf. Interval]	
educ	.0746933	.0034983	21.35	0.000	.0678339	.0815527
exper	.084832	.0066242	12.81	0.000	.0718435	.0978205
c.exper#c.exper	-.002287	.0003166	-7.22	0.000	-.0029079	-.0016662
age	0 (omitted)					
black	-.1990123	.0182483	-10.91	0.000	-.2347927	-.1632318
south	-.147955	.0259799	-5.69	0.000	-.1988952	-.0970148
smsa	.1363845	.0201005	6.79	0.000	.0969724	.1757967
smsa66	.0262417	.0194477	1.35	0.177	-.0118905	.0643739
reg661	-.1185698	.0388301	-3.05	0.002	-.194706	-.0424335
reg662	-.0222026	.0282575	-0.79	0.432	-.0776088	.0332036
reg663	.0259703	.0273644	0.95	0.343	-.0276846	.0796251
reg664	-.0634942	.0356803	-1.78	0.075	-.1334546	.0064662
reg665	.0094551	.0361174	0.26	0.794	-.0613623	.0802725
reg666	.0219476	.0400984	0.55	0.584	-.0566755	.1005708
reg667	-.0005887	.0393793	-0.01	0.988	-.077802	.0766245
reg668	-.1750058	.0463394	-3.78	0.000	-.265866	-.0841456
_cons	4.739377	.0715282	66.26	0.000	4.599127	4.879626

Figura 9.4 Resultados de la regresión.

descrito? Veamos. Tenemos un modelo de la forma

$$y = c + \alpha'Z + \beta x + \gamma a + u,$$

donde  $y$  es  $\ln w$ ,  $Z$  son las regresoras salvo los años de educación que denotamos  $x$  y  $a$  es la habilidad. Supongamos además que  $u$  es un ruido blanco y no está correlacionado con las explicativas observables ( $Z$  y  $x$ ). Entonces, como la habilidad no se observa, en verdad, el término estocástico es  $\gamma a + u = \varepsilon$ . Así,

$$y = c + \alpha'Z + \beta x + \varepsilon.$$

Ahora, omitamos de momento el vector  $Z$  para simplificar los cálculos (de todos modos la correlación de estas variables  $z_j$  con  $u$  y  $a$  son cero por lo cual terminan anulándose los términos con  $z_j$ )

$$\mathbb{E}[x(\gamma a + u)] = \mathbb{E}[xu] + \gamma \mathbb{E}[xa].$$

```
. . reg lwage educ c.exper#c.exper black south smsa smsa66 reg661-reg668
```

Source	SS	df	MS	Number of obs	=	3,010
Model	177.695591	15	11.8463727	F(15, 2994)	=	85.48
Residual	414.946054	2,994	.138592536	Prob > F	=	0.0000
				R-squared	=	0.2998
				Adj R-squared	=	0.2963
Total	592.641645	3,009	.196956346	Root MSE	=	.37228

lwage	Coef.	Std. Err.	t	P> t	[95% Conf. Interval]
educ	.0746933	.0034983	21.35	0.000	.0678339 .0815527
exper	.084832	.0066242	12.81	0.000	.0718435 .0978205
c.exper#c.exper	-.002287	.0003166	-7.22	0.000	-.0029079 -.0016662
black	-.1990123	.0182483	-10.91	0.000	-.2347927 -.1632318
south	-.147955	.0259799	-5.69	0.000	-.1988952 -.0970148
smsa	.1363845	.0201005	6.79	0.000	.0969724 .1757967
smsa66	.0262417	.0194477	1.35	0.177	-.0118905 .0643739
reg661	-.1185698	.0388301	-3.05	0.002	-.194706 -.0424335
reg662	-.0222026	.0282575	-0.79	0.432	-.0776088 .0332036
reg663	.0259703	.0273644	0.95	0.343	-.0276846 .0796251
reg664	-.0634942	.0356803	-1.78	0.075	-.1334546 .0064662
reg665	.0094551	.0361174	0.26	0.794	-.0613623 .0802725
reg666	.0219476	.0400984	0.55	0.584	-.0566755 .1005708
reg667	-.0005887	.0393793	-0.01	0.988	-.077802 .0766245
reg668	-.1750058	.0463394	-3.78	0.000	-.265866 -.0841456
_cons	4.739377	.0715282	66.26	0.000	4.599127 4.879626

Figura 9.5 Regresión sin age.

El hecho que  $\mathbb{E}[u] = 0$  y  $\rho(x, u) = 0$  implica que

$$\mathbb{E}[x\varepsilon] = \gamma\mathbb{E}[xa]. \tag{9.11}$$

A priori, no tenemos porque suponer que (9.11) es igual a cero, por lo que, no se cumple necesariamente el supuesto  $\mathbb{E}[x\varepsilon] = 0$ . Ahora, sabemos que estimando por MCO

$$\hat{\beta}_x^{MCO} = \frac{\sum_{i=1}^N (x_i - \bar{x})(y_i - \bar{y})}{\sum_{i=1}^N (x_i - \bar{x})^2}.$$

Ahora, notemos que

$$\begin{aligned} \sum_{i=1}^N c(x_i - \bar{x}) &= c \left[ \sum_{i=1}^N x_i - \bar{x} \sum_{i=1}^N 1 \right] \\ &= c \left[ \sum_{i=1}^N x_i - \frac{\sum_{i=1}^N x_i}{N} \underbrace{\sum_{i=1}^N 1}_{=N} \right] = c \cdot 0 = 0. \end{aligned}$$

Por ende,

$$\begin{aligned} \hat{\beta}_x^{MCO} &= \frac{\sum_{i=1}^N (x_i - \bar{x})y_i}{\sum_{i=1}^N (x_i - \bar{x})^2} \\ &= \frac{\sum_{i=1}^N (x_i - \bar{x})(c + \beta x_i + \gamma a_i + u_i)}{\sum_{i=1}^N (x_i - \bar{x})^2} \\ &= \beta \frac{\sum_{i=1}^N (x_i - \bar{x})x_i}{\sum_{i=1}^N (x_i - \bar{x})^2} + \gamma \frac{\sum_{i=1}^N (x_i - \bar{x})a_i}{\sum_{i=1}^N (x_i - \bar{x})^2} + \frac{\sum_{i=1}^N (x_i - \bar{x})u_i}{\sum_{i=1}^N (x_i - \bar{x})^2} \end{aligned}$$

Dado que  $\sum_{i=1}^N (x_i - \bar{x}) = \sum_{i=1}^N x_i^2 - 2x_i\bar{x} + \bar{x}^2$  y  $\sum_{i=1}^N x_i\bar{x} = N\bar{x}^2$ , los resultados se simplifican y

$$\hat{\beta}_x^{MCO} = \beta + \gamma \frac{\sum_{i=1}^N (x_i - \bar{x})a_i}{\sum_{i=1}^N (x_i - \bar{x})^2} + \frac{\sum_{i=1}^N (x_i - \bar{x})u_i}{\sum_{i=1}^N (x_i - \bar{x})^2}.$$

Estos serían los dos orígenes de la inconsistencia. Finalmente, dado que es lógico esperar que la habilidad incremente el salario (impacto positivo), el coeficiente de la educación previamente estimado subestima la contribución real (hay un sesgo hacia abajo). Esto es, el coeficiente real es mayor al estimado (debido a la endogeneidad).

4) La regresión a continuación corresponde a la ecuación de primera etapa:

$$x_k = z'\theta + r = \theta_0 + \sum_{i=1}^{k-1} \theta_i x_i + \sum_{j=1}^M \theta_{z_j} z_j + r \quad (9.12)$$

donde  $\{x_j\}_{j=1}^{k-1}$  son los controles iniciales, las regresoras que son instrumentos incluidos, y  $\{z_j\}_{j=1}^M$  son los instrumentos excluidos. En nuestro caso  $x_k$  es la educación,  $M = 1$  y  $z$  es nearc4. Los resultados de (9.12) son los siguientes (9.6).

educ	Coef.	Std. Err.	t	P> t	[95% Conf. Interval]	
exper	-.4125334	.0336996	-12.24	0.000	-.4786101	-.3464566
c.exper#c.exper	.0008686	.0016504	0.53	0.599	-.0023674	.0041046
black	-.9355287	.0937348	-9.98	0.000	-1.11932	-.7517377
south	-.0516126	.1354284	-0.38	0.703	-.3171548	.2139296
smsa	.4021825	.1048112	3.84	0.000	.1966732	.6076918
smsa66	.0254805	.1057692	0.24	0.810	-.1819071	.2328682
reg661	-.210271	.2024568	-1.04	0.299	-.6072395	.1866975
reg662	-.2889073	.1473395	-1.96	0.050	-.5778042	-.0000105
reg663	-.2382099	.1426357	-1.67	0.095	-.5178838	.0414639
reg664	-.093089	.1859827	-0.50	0.617	-.4577559	.2715779
reg665	-.4828875	.1881872	-2.57	0.010	-.8518767	-.1138982
reg666	-.5130857	.2096352	-2.45	0.014	-.9241293	-.1020421
reg667	-.4270887	.2056208	-2.08	0.038	-.8302611	-.0239163
reg668	.3136204	.2416739	1.30	0.194	-.1602434	.7874841
nearc4	.3198989	.0878638	3.64	0.000	.1476194	.4921785
_cons	16.84852	.2111222	79.80	0.000	16.43456	17.26248

Figura 9.6 Ecuación de primera etapa.

Los resultados de la tabla (9.6) corresponden a la regresión de la variable que se busca instrumentalizar (educación), debido a la inconsistencia de su  $\beta$  asociado. Observamos que la correlación entre dicha variable y el instrumento es de aproximadamente  $0,32 > 0$  y es significativa para el nivel de confianza usual  $\alpha = 0,05$  ( $0 \notin IC$ ). Esto implica que, tal y como se menciona en (Card, 1993), la presencia de instituciones educativas superiores en una proximidad del individuo, tiende a incrementar los años de estudios de este último.

5) La figura (9.7) presenta los resultados de la ecuación estructural, en donde se hace uso de  $\hat{x}_k$ , obtenido de (9.12). Para la estimación sin  $\hat{x}_k, \theta_1, \dots, \theta_M$ :

Instrumental variables (2SLS) regression

Source	SS	df	MS	Number of obs	=	3,010
-----+-----				F(15, 2994)	=	51.01
Model	141.146813	15	9.40978752	Prob > F	=	0.0000
Residual	451.494832	2,994	.150799877	R-squared	=	0.2382
-----+-----				Adj R-squared	=	0.2343
Total	592.641645	3,009	.196956346	Root MSE	=	.38833
-----+-----						
lwage	Coef.	Std. Err.	t	P> t	[95% Conf. Interval]	
-----+-----						

Instrumental variables (2SLS) regression				Number of obs	=	3,010
				Wald chi2(15)	=	769.20
				Prob > chi2	=	0.0000
				R-squared	=	0.2382
				Root MSE	=	.3873

	lwage	Coef.	Std. Err.	z	P> z	[95% Conf. Interval]
	educ	.1315038	.0548174	2.40	0.016	.0240637 .238944
	exper	.1082711	.0235956	4.59	0.000	.0620246 .1545176
	c.exper#c.exper	-.0023349	.0003326	-7.02	0.000	-.0029868 -.001683
	black	-.1467757	.0537564	-2.73	0.006	-.2521364 -.0414151
	south	-.1446715	.027212	-5.32	0.000	-.1980061 -.0913369
	smsa	.1118083	.0315777	3.54	0.000	.0499171 .1736995
	smsa66	.0185311	.0215511	0.86	0.390	-.0237082 .0607704
	reg661	-.1078142	.0417024	-2.59	0.010	-.1895494 -.026079
	reg662	-.0070465	.0328197	-0.21	0.830	-.0713719 .057279
	reg663	.0404445	.031696	1.28	0.202	-.0216784 .1025675
	reg664	-.0579172	.0375058	-1.54	0.123	-.1314272 .0155929
	reg665	.0384577	.0468138	0.82	0.411	-.0532956 .130211
	reg666	.0550887	.0525196	1.05	0.294	-.0478478 .1580252
	reg667	.026758	.0486988	0.55	0.583	-.0686898 .1222058
	reg668	-.1908912	.0505764	-3.77	0.000	-.2900191 -.0917634
	_cons	3.773965	.9324588	4.05	0.000	1.946379 5.601551

Instrumented: educ  
 Instruments: exper c.exper#c.exper black south smsa smsa66 reg661 reg662 reg663 reg664 reg665 reg666 reg667 reg668 nearc4

Figura 9.7 Ecuación estructural estimada.

educ		.1315038	.0549637	2.39	0.017	.0237335	.2392742
exper		.1082711	.0236586	4.58	0.000	.0618824	.1546598
exper2		-.0023349	.0003335	-7.00	0.000	-.0029888	-.001681
black		-.1467757	.0538999	-2.72	0.007	-.2524603	-.0410912
south		-.1446715	.0272846	-5.30	0.000	-.19817	-.091173
smsa		.1118083	.031662	3.53	0.000	.0497269	.1738898
smsa66		.0185311	.0216086	0.86	0.391	-.0238381	.0609003
reg661		-.1078142	.0418137	-2.58	0.010	-.1898007	-.0258278
reg662		-.0070465	.0329073	-0.21	0.830	-.0715696	.0574767
reg663		.0404445	.0317806	1.27	0.203	-.0218694	.1027585
reg664		-.0579172	.0376059	-1.54	0.124	-.1316532	.0158189
reg665		.0384577	.0469387	0.82	0.413	-.0535777	.130493
reg666		.0550887	.0526597	1.05	0.296	-.0481642	.1583416
reg667		.026758	.0488287	0.55	0.584	-.0689832	.1224992
reg668		-.1908912	.0507113	-3.76	0.000	-.2903238	-.0914586
_cons		3.773965	.934947	4.04	0.000	1.940762	5.607169

-----  
 Instrumented: educ

Instruments:    exper exper2 black south smsa smsa66 reg661 reg662 reg663  
                   reg664 reg665 reg666 reg667 reg668 nearc4

En cualquier caso, observa que el estimador  $\hat{\beta}_{VarInst} = 0,13$ . Esto implica que, efectivamente, el efecto de la educación era subestimado debido a la inconsistencia generada por la variable no observable habilidad. Este resultado es similar al encontrado por Card en la tabla 4 de (Card, 1993). Finalmente, en relación al DAG, para este caso sería: Se espera que la estrategia funcione debido a que la variable  $z$  (el instrumento)

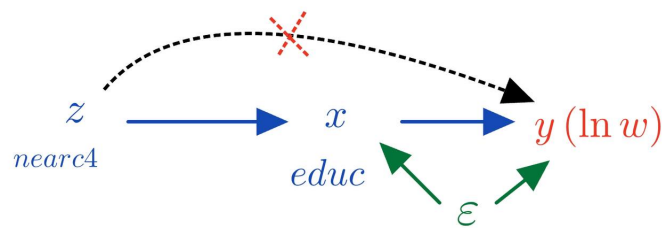


Figura 9.8 DAG (directed acyclic graph).

no está relacionada de manera directa con la variable de interés (esto se justifica solo desde un punto de vista intuitivo y argumentativo). Esto es también, que  $\mathbb{E}[z'_i u_i] = 0$ , pues no tiene sentido suponer que la habilidad depende de cuán lejos se sitúe uno de un college. Por otro lado, además de la intuición, el inciso previo confirma la existente correlación entre  $x$  y  $z$ . Por ende, se cumplen las 2 condiciones cruciales, el supuesto de ortogonalidad y el de relevancia.

**Nota:** Si se está pidiendo  $\hat{\beta}_{IV}$  sin controles, se tiene:

```
. ivreg lwage (educ=nearc4)
```

Instrumental variables (2SLS) regression

Source	SS	df	MS	Number of obs	=	3,010
-----+-----				F(1, 3008)	=	51.17
Model	-340.11155	1	-340.11155	Prob > F	=	0.0000
Residual	932.753194	3,008	.310090823	R-squared	=	.
-----+-----				Adj R-squared	=	.
Total	592.641645	3,009	.196956346	Root MSE	=	.55686

---

lwage	Coef.	Std. Err.	t	P> t	[95% Conf. Interval]
educ	.1880626	.0262913	7.15	0.000	.1365118 .2396135
_cons	3.767472	.3488617	10.80	0.000	3.08344 4.451503

---

Instrumented: educ  
Instruments: nearc4

6) Dado que

```
reg educ nearc4
test nearc4=0
```

```
( 1) nearc4 = 0
```

```
F( 1, 3008) = 63.91
Prob > F = 0.0000
```

rechazamos la hipótesis nula,  $H_0$  : el instrumento es débil. Sin embargo, para nearc2

```
( 1) nearc2 = 0
```

```
F( 1, 3008) = 6.76
Prob > F = 0.0094
```

el resultado es el contrario. Luego, en relación al estadístico Cragg-Donald, ejecutamos lo siguiente

```
ivregress 2sls lwage (educ=nearc4) c.exper##c.exper black south smsa
smsa66 reg661-reg668, first
```

```
estat firststage
```

Dado que  $\mathbb{P} > F$  es igual a , rechazamos la hipótesis nula,  $H_0$  : el instrumento es débil. Finalmente, en relación al test de Stock y Yogo, usamos los comandos

```
. estat firststage
```

First-stage regression summary statistics

Variable	R-sq.	Adjusted R-sq.	Partial R-sq.	F(1,2994)	Prob > F
educ	0.4771	0.4745	0.0044	13.2558	0.0003

Minimum eigenvalue statistic = 13.2558

Critical Values # of endogenous regressors: 1  
 Ho: Instruments are weak # of excluded instruments: 1

2SLS relative bias	5% 10% 20% 30%			
	(not available)			
2SLS Size of nominal 5% Wald test	10%	15%	20%	25%
LIML Size of nominal 5% Wald test	16.38	8.96	6.66	5.53

Figura 9.9 Test sobre el  $F$  estadístico para evaluar la fuerza del instrumento.

```
net from http://fmwww.bc.edu/RePEc/bocode/i
net install ivreg2, replace
ssc install ranktest
```

Se obtiene

```
.
ivreg2 lwage (educ=nearc4) c.exper##c.exper
black south smsa smsa66 reg661-reg668, first
```

First-stage regressions

First-stage regression of educ:

Statistics consistent for homoskedasticity only

Number of obs = 3010

```
-----
```

educ	Coef.	Std. Err.	t	P> t	[95% Conf. Interval]	
nearc4	.3198989	.0878638	3.64	0.000	.1476194	.4921785
exper	-.4125334	.0336996	-12.24	0.000	-.4786101	-.3464566

```
-----
```

c.exper#c.exper		.0008686	.0016504	0.53	0.599	-.0023674	.0041046
black		-.9355287	.0937348	-9.98	0.000	-1.11932	-.7517377
south		-.0516126	.1354284	-0.38	0.703	-.3171548	.2139296
smsa		.4021825	.1048112	3.84	0.000	.1966732	.6076918
smsa66		.0254805	.1057692	0.24	0.810	-.1819071	.2328682
reg661		-.210271	.2024568	-1.04	0.299	-.6072395	.1866975
reg662		-.2889073	.1473395	-1.96	0.050	-.5778042	-.0000105
reg663		-.2382099	.1426357	-1.67	0.095	-.5178838	.0414639
reg664		-.093089	.1859827	-0.50	0.617	-.4577559	.2715779
reg665		-.4828875	.1881872	-2.57	0.010	-.8518767	-.1138982
reg666		-.5130857	.2096352	-2.45	0.014	-.9241293	-.1020421
reg667		-.4270887	.2056208	-2.08	0.038	-.8302611	-.0239163
reg668		.3136204	.2416739	1.30	0.194	-.1602434	.7874841
_cons		16.84852	.2111222	79.80	0.000	16.43456	17.26248

-----  
F test of excluded instruments:

F( 1, 2994) = 13.26

Prob > F = 0.0003

Sanderson-Windmeijer multivariate F test of excluded instruments:

F( 1, 2994) = 13.26

Prob > F = 0.0003

Con lo cual, el instrumento, según los criterios de Stock y Yogo, es débil.

7)

Number of obs = 3,010  
F( 16, 2993) = 170.99  
Prob > F = 0.0000  
R-squared = 0.4776  
Adj R-squared = 0.4748  
Root MSE = 1.9400

educ		Coef.	Std. Err.	t	P> t	[95% Conf. Interval]
exper		-.4122915	.0336914	-12.24	0.000	-.4783521 - .3462309

c.exper#c.exper		.0008479	.00165	0.51	0.607	-.0023874	.0040832
black		-.9451729	.0939073	-10.06	0.000	-1.129302	-.7610434
south		-.0419115	.1355316	-0.31	0.757	-.3076561	.2238331
smsa		.4013708	.1047858	3.83	0.000	.1959113	.6068303
smsa66		.0000782	.1069445	0.00	0.999	-.2096139	.2097704
reg661		-.1687829	.2040832	-0.83	0.408	-.5689405	.2313747
reg662		-.269031	.1478324	-1.82	0.069	-.5588944	.0208325
reg663		-.1902114	.1457652	-1.30	0.192	-.4760216	.0955987
reg664		-.037715	.1891745	-0.20	0.842	-.4086403	.3332102
reg665		-.4371387	.1903306	-2.30	0.022	-.8103307	-.0639467
reg666		-.5022265	.2096933	-2.40	0.017	-.9133841	-.0910688
reg667		-.3775317	.207922	-1.82	0.070	-.7852162	.0301529
reg668		.3820043	.2454171	1.56	0.120	-.0991991	.8632076
nearc2		.1229986	.0774256	1.59	0.112	-.0288142	.2748114
nearc4		.3205819	.0878425	3.65	0.000	.148344	.4928197
_cons		16.77306	.2163481	77.53	0.000	16.34885	17.19727

El instrumento nearc4 parece estar más fuertemente correlacionado a la variable educ, siendo además significativo (a diferencia del otro). Ahora, efectuamos la regresión con variables instrumentales por separado, usando respectivamente nearc4 y nearc2 como instrumentos.

Total (centered) SS	=	592.6416447	Number of obs =	3010
Total (uncentered) SS	=	118616.3653	F( 15, 2994) =	51.01
Residual SS	=	451.494832	Prob > F =	0.0000
			Centered R2 =	0.2382
			Uncentered R2 =	0.9962
			Root MSE =	.3873

lwage	Coef.	Std. Err.	z	P> z	[95% Conf. Interval]	
educ	.1315038	.0548174	2.40	0.016	.0240637	.238944
exper	.1082711	.0235956	4.59	0.000	.0620246	.1545176
c.exper#c.exper	-.0023349	.0003326	-7.02	0.000	-.0029868	-.001683
black	-.1467757	.0537564	-2.73	0.006	-.2521364	-.0414151
south	-.1446715	.027212	-5.32	0.000	-.1980061	-.0913369
smsa	.1118083	.0315777	3.54	0.000	.0499171	.1736995
smsa66	.0185311	.0215511	0.86	0.390	-.0237082	.0607704
reg661	-.1078142	.0417024	-2.59	0.010	-.1895494	-.026079
reg662	-.0070465	.0328197	-0.21	0.830	-.0713719	.057279
reg663	.0404445	.031696	1.28	0.202	-.0216784	.1025675
reg664	-.0579172	.0375058	-1.54	0.123	-.1314272	.0155929
reg665	.0384577	.0468138	0.82	0.411	-.0532956	.130211
reg666	.0550887	.0525196	1.05	0.294	-.0478478	.1580252
reg667	.026758	.0486988	0.55	0.583	-.0686898	.1222058
reg668	-.1908912	.0505764	-3.77	0.000	-.2900191	-.0917634
_cons	3.773965	.9324588	4.05	0.000	1.946379	5.601551

<u>Underidentification test</u> (Anderson canon. corr. LM statistic):	13.268
Chi-sq(1) P-val =	0.0003

<u>Weak identification test</u> (Cragg-Donald Wald F statistic):	13.256
Stock-Yogo weak ID test critical values:	
10% maximal IV size	16.38
15% maximal IV size	8.96
20% maximal IV size	6.66
25% maximal IV size	5.53

Source: Stock-Yogo (2005). Reproduced by permission.

<u>Sargan statistic</u> (overidentification test of all instruments):	0.000
(equation exactly identified)	

Instrumented:	educ
Included instruments:	exper c.exper#c.exper black south smsa smsa66 reg661 reg662 reg663 reg664 reg665 reg666 reg667 reg668
Excluded instruments:	nearc4

Figura 9.10 Resultados de regresión con instrumentos separados.

Finalmente, el estimador

$$\hat{\beta}_{2sls} = \left( \sum_{i=1}^N \hat{x}_i x_i \right)^{-1} \sum_{i=1}^N \hat{x}_i y_i$$

donde

$$\hat{x}_k = \sum_{j=1}^{k-1} \theta_j x_j + \sum_{j=1}^M \theta_{z_j} z_j$$

es válido según el criterio de endógeno-corrector. Se observa que el uso de `nearc4` como instrumento genera una estimación más confiable, mientras que `nearc2` muestra menor relevancia estadística. Esto sugiere que `nearc4` es un instrumento más fuerte en la estimación del impacto de la educación sobre el salario.

8) La heterocedasticidad aparece cuando los errores en el modelo de regresión lineal no poseen varianza constante, sujeto a la muestra. Es decir,

$$\mathbb{E}[u_i|X_i] = \sigma_i, \exists j \neq i : \sigma_i \neq \sigma_j.$$

Esta situación es verosímil dado que la varianza del salario en función del nivel del salario en sí, va a presentar una menor variabilidad conforme los niveles de educación sean altos. Por ejemplo, un individuo con Ph.D en UCB o un individuo con MSc. en la EPFL van a tener un salario alto y no muy variable (probablemente), dado que pueden conseguir trabajo estable y de calidad. No obstante, un individuo con 0 años de educación universitaria puede o bien terminar desempleado y con un salario nulo, o bien, fundar una startup, fundar una banda y volverse millonario. Debido a esto, es preferible emplear el método de momentos generalizados que resulta ser el más eficiente en caso de endogeneidad (uso de variables instrumentales) y heterocedasticidad. En concreto, recordemos que lo que genera la heterocedasticidad es una varianza en los parámetros diferente a la usual ( $\sigma^2 X^T X$ ), con lo cual  $\hat{\beta}$  deja de ser eficiente. El método generalizado de momentos permite realizar una estimación corrigiendo este problema introduciendo una matriz de pesos  $W$  en el problema de optimización

$$\min_{\beta} \{n \cdot m(z, \beta, X) W^{-1} m(z, \beta, X)\} \quad (9.13)$$

donde  $W \in \mathcal{M}_{L \times L}$  es la matriz de pesos,  $z \in \mathbb{R}^L$  vector de instrumentales,  $x \in \mathbb{R}^k$  vector de endógenas y

$$m(z, \beta, x) = z'(y - \beta x).$$

Los detalles técnicos de cómo corrige este método pueden encontrarse en ([Greene, 2015](#)). De manera resumida:

1. Se estima el modelo por *2sls* y se obtienen los residuos  $\hat{u} = y - x\hat{\beta}_{2sls}$ .

2. Definimos  $\hat{V}_0 = \frac{1}{n} \sum_i \hat{u}_i^2 z_i' z_i$ .
3. Se estima usando (9.13) con  $W = \hat{V}_0$ .
4. Dado los supuestos,  $W$  es no singular y corrige en la multiplicación matricial el problema que se presenta por la falta de homocedasticidad.

Ahora, efectuemos la estimación en dos etapas y por el método generalizado por momentos. Usamos, tal y como se deja a entender, las dos variables instrumentales y controlando por el resto de variables. Respectivamente:

Ahora, efectuemos la estimación en dos etapas y por el método generalizado por momentos. Usamos, tal y como se deja a entender, las dos variables instrumentales y controlando por el resto de variables.

```
. ivregress 2sls lwage (educ=nearc4 nearc2)
c.exper##c.exper  black south smsa smsa66 reg661-reg668
```

```
Instrumental variables (2SLS) regression      Number of obs   =      3,010
                                             Wald chi2(15)   =      709.89
                                             Prob > chi2     =      0.0000
                                             R-squared       =      0.1702
                                             Root MSE       =      .4042
```

	lwage	Coef.	Std. Err.	z	P> z	[95% Conf. Interval]	
	educ	.1570594	.0524383	3.00	0.003	.0542822	.2598366
	exper	.1188149	.0227454	5.22	0.000	.0742348	.163395
	c.exper#c.exper	-.0023565	.0003466	-6.80	0.000	-.0030358	-.0016772
	black	-.1232778	.0520112	-2.37	0.018	-.225218	-.0213376
	south	-.1431945	.0283691	-5.05	0.000	-.1987968	-.0875921
	smsa	.100753	.0314355	3.21	0.001	.0391406	.1623654
	smsa66	.0150626	.0222765	0.68	0.499	-.0285986	.0587238
	reg661	-.102976	.0433068	-2.38	0.017	-.1878558	-.0180962
	reg662	-.0002286	.0337043	-0.01	0.995	-.0662879	.0658306
	reg663	.0469556	.0325621	1.44	0.149	-.016865	.1107763
	reg664	-.0554084	.0390786	-1.42	0.156	-.132001	.0211842
	reg665	.0515041	.0474412	1.09	0.278	-.0414789	.1444872

reg666		.0699968	.0531631	1.32	0.188	-.0342009	.1741945
reg667		.0390596	.0496175	0.79	0.431	-.0581889	.136308
reg668		-.1980371	.0523952	-3.78	0.000	-.3007297	-.0953444
_cons		3.339687	.8921571	3.74	0.000	1.591091	5.088283

Instrumented: educ

Instruments: exper c.exper#c.exper black south smsa smsa66 reg661 reg662  
 reg663 reg664 reg665 reg666 reg667 reg668 nearc4 nearc2

ivregress gmm lwage (educ=nearc4 nearc2) c.exper##c.exper  
 black south smsa smsa66 reg661-reg668, first vce(robust)

First-stage regressions

Number of obs = 3,010  
 F( 16, 2993) = 230.04  
 Prob > F = 0.0000  
 R-squared = 0.4776  
 Adj R-squared = 0.4748  
 Root MSE = 1.9400

		Coef.	Robust Std. Err.	t	P> t	[95% Conf. Interval]	
educ							
exper		-.4122915	.0319908	-12.89	0.000	-.4750177	-.3495654
c.exper#c.exper		.0008479	.0017026	0.50	0.619	-.0024905	.0041863
black		-.9451729	.0925529	-10.21	0.000	-1.126647	-.7636992
south		-.0419115	.1416803	-0.30	0.767	-.3197122	.2358891
smsa		.4013708	.111281	3.61	0.000	.1831757	.6195658
smsa66		.0000782	.1117998	0.00	0.999	-.2191339	.2192904
reg661		-.1687829	.2008521	-0.84	0.401	-.5626049	.2250392
reg662		-.269031	.1523778	-1.77	0.078	-.5678068	.0297448
reg663		-.1902114	.1468092	-1.30	0.195	-.4780685	.0976456
reg664		-.037715	.1828168	-0.21	0.837	-.3961743	.3207442

reg665		-.4371387	.1978727	-2.21	0.027	-.8251189	-.0491584
reg666		-.5022265	.209508	-2.40	0.017	-.9130207	-.0914322
reg667		-.3775317	.2144087	-1.76	0.078	-.7979349	.0428716
reg668		.3820043	.2380881	1.60	0.109	-.0848287	.8488372
nearc4		.3205819	.0850041	3.77	0.000	.1539096	.4872542
nearc2		.1229986	.07763	1.58	0.113	-.0292149	.2752121
_cons		16.77306	.1940346	86.44	0.000	16.3926	17.15351

```

-----
Instrumental variables (GMM) regression           Number of obs   =       3,010
                                                Wald chi2(15)   =       781.32
                                                Prob > chi2     =       0.0000
                                                R-squared       =       0.1760
GMM weight matrix: Robust                     Root MSE       =       .4028

```

		Robust				[95% Conf. Interval]	
		Coef.	Std. Err.	z	P> z		
lwage							
educ		.1552102	.0522023	2.97	0.003	.0528956	.2575247
exper		.1179614	.0227956	5.17	0.000	.0732828	.16264
c.exper#c.exper		-.0023521	.0003659	-6.43	0.000	-.0030693	-.0016349
black		-.1257875	.0512583	-2.45	0.014	-.2262519	-.0253232
south		-.1431677	.0300918	-4.76	0.000	-.2021466	-.0841888
smsa		.1014907	.0312305	3.25	0.001	.04028	.1627014
smsa66		.0146266	.0210341	0.70	0.487	-.0265995	.0558526
reg661		-.1048084	.0424083	-2.47	0.013	-.187927	-.0216897
reg662		-.0006335	.0344138	-0.02	0.985	-.0680834	.0668164
reg663		.0464749	.0334062	1.39	0.164	-.019	.1119499
reg664		-.0546612	.0407459	-1.34	0.180	-.1345216	.0251992
reg665		.0507403	.0504395	1.01	0.314	-.0481193	.1495999
reg666		.0670444	.053206	1.26	0.208	-.0372375	.1713262
reg667		.0369472	.0512248	0.72	0.471	-.0634515	.137346
reg668		-.1992538	.0520494	-3.83	0.000	-.3012688	-.0972388
_cons		3.372118	.8873029	3.80	0.000	1.633036	5.1112

```
Instrumented:  educ
Instruments:  exper c.exper#c.exper black south smsa smsa66 reg661 reg662
              reg663 reg664 reg665 reg666 reg667 reg668 nearc4 nearc2
```

Se observa que el estimador para educ es ligeramente diferente (el 13% pasa a 15% en relación al incremento del salario por 1 año de educación) al usar gmm en vez de 2sls. Asimismo, algunos estadísticos de orden general como el  $R^2$  y Wald  $\chi(2)$  son mayores, mientras que el  $\sqrt{RMSE}$  es menor. Esto sugiere una mejora menor en la estimación.

¿Qué tenemos hasta el momento (recapitulando)?

1. Hemos estudiado un modelo de regresión lineal, basado en (Card, 1993), en el cual la variable dependiente es el logaritmo del salario y, entre las dependientes, nos interesa en particular el efecto de la educación.
2. Dado el problema de endogeneidad (debido a, por ejemplo, la variable habilidad no medible e incorporada como regresora), se ha usado el método de variables instrumentales para medir correctamente el efecto de la educación sobre el salario.
3. En particular, se ha usado como instrumento la distancia a un College que ofrece 4 años de formación (al menos).
4. Los resultados indican que sí se modifican los resultados y no puede excluirse el uso de instrumentos.
5. Al incorporar el segundo instrumento, nearc2, observamos que está menos relacionado con la educación y se duda de si debe ser incorporado.
6. Se ha corregido por heterocedasticidad usando el GMM.

9) Dado que asumimos heterocedasticidad, se corre:

```
. ivregress 2sls lwage (educ=nearc4 nearc2) c.exper##c.exper
black south smsa smsa66 reg661-reg668, robust
```

Instrumental variables (2SLS) regression	Number of obs	=	3,010
	Wald chi2(15)	=	774.72
	Prob > chi2	=	0.0000

R-squared = 0.1702  
 Root MSE = .4042

```
-----+-----
```

	Coef.	Robust Std. Err.	z	P> z	[95% Conf. Interval]	
lwage						
educ	.1570594	.0524127	3.00	0.003	.0543324	.2597864
exper	.1188149	.0228905	5.19	0.000	.0739504	.1636794
c.exper#c.exper	-.0023565	.0003674	-6.41	0.000	-.0030765	-.0016364
black	-.1232778	.0514904	-2.39	0.017	-.2241972	-.0223584
south	-.1431945	.0301873	-4.74	0.000	-.2023604	-.0840285
smsa	.100753	.0313621	3.21	0.001	.0392844	.1622216
smsa66	.0150626	.021112	0.71	0.476	-.0263162	.0564413
reg661	-.102976	.0425755	-2.42	0.016	-.1864225	-.0195295
reg662	-.0002286	.034523	-0.01	0.995	-.0678924	.0674351
reg663	.0469556	.0335252	1.40	0.161	-.0187526	.1126638
reg664	-.0554084	.0408927	-1.35	0.175	-.1355565	.0247397
reg665	.0515041	.0506274	1.02	0.309	-.0477238	.1507321
reg666	.0699968	.0534531	1.31	0.190	-.0347694	.174763
reg667	.0390596	.0514309	0.76	0.448	-.0617432	.1398624
reg668	-.1980371	.0522335	-3.79	0.000	-.3004128	-.0956613
_cons	3.339687	.890917	3.75	0.000	1.593522	5.085852

```
-----+-----
```

Instrumented: educ

Instruments: exper c.exper#c.exper black south smsa smsa66 reg661 reg662  
 reg663 reg664 reg665 reg666 reg667 reg668 nearc4 nearc2

. estat overid

Test of overidentifying restrictions:

Score chi2(1) = 1.26891 (p = 0.2600)

. ivregress gmm lwage (educ=nearc4 nearc2)

c.exper##c.exper black south smsa smsa66 reg661-reg668, robust

```

Instrumental variables (GMM) regression      Number of obs   =    3,010
                                             Wald chi2(15)  =    781.32
                                             Prob > chi2    =    0.0000
                                             R-squared      =    0.1760
GMM weight matrix: Robust                 Root MSE       =    .4028
    
```

```

-----+-----
              |               Robust
          lwage |      Coef.   Std. Err.      z    P>|z|      [95% Conf. Interval]
-----+-----+-----
              |
          educ |   .1552102   .0522023     2.97  0.003   .0528956   .2575247
          exper |   .1179614   .0227956     5.17  0.000   .0732828   .16264
              |
c.exper#c.exper |  -.0023521   .0003659    -6.43  0.000  -.0030693  -.0016349
              |
          black |  -.1257875   .0512583    -2.45  0.014  -.2262519  -.0253232
          south |  -.1431677   .0300918    -4.76  0.000  -.2021466  -.0841888
          smsa  |   .1014907   .0312305     3.25  0.001   .04028    .1627014
          smsa66 |   .0146266   .0210341     0.70  0.487  -.0265995   .0558526
          reg661 |  -.1048084   .0424083    -2.47  0.013  -.187927   -.0216897
          reg662 |  -.0006335   .0344138    -0.02  0.985  -.0680834   .0668164
          reg663 |   .0464749   .0334062     1.39  0.164   -.019    .1119499
          reg664 |  -.0546612   .0407459    -1.34  0.180  -.1345216   .0251992
          reg665 |   .0507403   .0504395     1.01  0.314  -.0481193   .1495999
          reg666 |   .0670444   .053206     1.26  0.208  -.0372375   .1713262
          reg667 |   .0369472   .0512248     0.72  0.471  -.0634515   .137346
          reg668 |  -.1992538   .0520494    -3.83  0.000  -.3012688  -.0972388
          _cons |   3.372118   .8873029     3.80  0.000   1.633036   5.1112
    
```

Instrumented: educ

Instruments: exper c.exper#c.exper black south smsa smsa66 reg661 reg662  
 reg663 reg664 reg665 reg666 reg667 reg668 nearc4 nearc2

. estat overid

Test of overidentifying restriction:

Hansen's J chi2(1) = 1.26891 (p = 0.2600)

Dado que  $p > 0,05$ , no se rechaza la  $H_0$ , i.e., los instrumentos son exógenos (en ambos casos) y se confirma la validez del modelo que incluye variables instrumentales (Pregunta 7). Veamos ahora con qué instrumentos nos quedamos. Para ello efectuamos los siguientes tests estadísticos:

```
. ivregress 2sls lwage (educ=nearc4) c.exper##c.exper
    black south smsa smsa66 reg661-reg668
```

```
Instrumental variables (2SLS) regression      Number of obs   =      3,010
                                              Wald chi2(15)   =      769.20
                                              Prob > chi2     =      0.0000
                                              R-squared       =      0.2382
                                              Root MSE       =      .3873
```

	lwage	Coef.	Std. Err.	z	P> z	[95% Conf. Interval]	
	educ	.1315038	.0548174	2.40	0.016	.0240637	.238944
	exper	.1082711	.0235956	4.59	0.000	.0620246	.1545176
	c.exper#c.exper	-.0023349	.0003326	-7.02	0.000	-.0029868	-.001683
	black	-.1467757	.0537564	-2.73	0.006	-.2521364	-.0414151
	south	-.1446715	.027212	-5.32	0.000	-.1980061	-.0913369
	smsa	.1118083	.0315777	3.54	0.000	.0499171	.1736995
	smsa66	.0185311	.0215511	0.86	0.390	-.0237082	.0607704
	reg661	-.1078142	.0417024	-2.59	0.010	-.1895494	-.026079
	reg662	-.0070465	.0328197	-0.21	0.830	-.0713719	.057279
	reg663	.0404445	.031696	1.28	0.202	-.0216784	.1025675
	reg664	-.0579172	.0375058	-1.54	0.123	-.1314272	.0155929
	reg665	.0384577	.0468138	0.82	0.411	-.0532956	.130211
	reg666	.0550887	.0525196	1.05	0.294	-.0478478	.1580252
	reg667	.026758	.0486988	0.55	0.583	-.0686898	.1222058
	reg668	-.1908912	.0505764	-3.77	0.000	-.2900191	-.0917634
	_cons	3.773965	.9324588	4.05	0.000	1.946379	5.601551

Instrumented: educ

Instruments: exper c.exper#c.exper black south smsa smsa66 reg661 reg662  
 reg663 reg664 reg665 reg666 reg667 reg668 nearc4

```
. estat endog
```

Tests of endogeneity

Ho: variables are exogenous

Durbin (score) chi2(1) = 1.17382 (p = 0.2786)

Wu-Hausman F(1,2993) = 1.16765 (p = 0.2800)

```
. ivregress 2sls lwage (educ=nearc2) c.exper##c.exper
```

```
black south smsa smsa66 reg661-reg668
```

```
Instrumental variables (2SLS) regression      Number of obs   =      3,010
                                                Wald chi2(15)   =      363.26
                                                Prob > chi2     =      0.0000
                                                R-squared       =
                                                Root MSE       =      .56342
```

lwage	Coef.	Std. Err.	z	P> z	[95% Conf. Interval]	
educ	.2931745	.1848891	1.59	0.113	-.0692014	.6555504
exper	.1749737	.076907	2.28	0.023	.0242387	.3257086
c.exper#c.exper	-.0024712	.0005039	-4.90	0.000	-.0034588	-.0014836
black	.0018782	.1721628	0.01	0.991	-.3355546	.339311
south	-.1353274	.0407439	-3.32	0.001	-.2151839	-.0554708
smsa	.0418697	.085542	0.49	0.625	-.1257896	.209529
smsa66	-.0034116	.0386715	-0.09	0.930	-.0792063	.0723831
reg661	-.0772063	.0683943	-1.13	0.259	-.2112566	.056844
reg662	.0360847	.0652681	0.55	0.580	-.0918384	.1640078
reg663	.0816353	.0627082	1.30	0.193	-.0412705	.204541
reg664	-.0420461	.0569661	-0.74	0.460	-.1536976	.0696055
reg665	.1209929	.1090401	1.11	0.267	-.0927217	.3347075
reg666	.149401	.1237191	1.21	0.227	-.0930839	.391886
reg667	.1045809	.1070809	0.98	0.329	-.1052939	.3144556
reg668	-.2360977	.0871149	-2.71	0.007	-.4068397	-.0653556
_cons	1.026612	3.142492	0.33	0.744	-5.132559	7.185783

```
Instrumented: educ
Instruments:  exper c.exper#c.exper black south smsa smsa66 reg661 reg662
              reg663 reg664 reg665 reg666 reg667 reg668 nearc2
```

```
. estat endog
```

Tests of endogeneity

Ho: variables are exogenous

Durbin (score) chi2(1) = 3.21813 (p = 0.0728)

Wu-Hausman F(1,2993) = 3.20338 (p = 0.0736)

```
. ivregress 2sls lwage (educ=nearc2 nearc4) c.exper##c.exper
black south smsa smsa66 reg661-reg668
```

```
Instrumental variables (2SLS) regression      Number of obs =      3,010
                                              Wald chi2(15) =     709.89
                                              Prob > chi2      =      0.0000
                                              R-squared        =      0.1702
                                              Root MSE        =      .4042
```

	lwage	Coef.	Std. Err.	z	P> z	[95% Conf. Interval]	
	educ	.1570594	.0524383	3.00	0.003	.0542822	.2598366
	exper	.1188149	.0227454	5.22	0.000	.0742348	.163395
	c.exper#c.exper	-.0023565	.0003466	-6.80	0.000	-.0030358	-.0016772
	black	-.1232778	.0520112	-2.37	0.018	-.225218	-.0213376
	south	-.1431945	.0283691	-5.05	0.000	-.1987968	-.0875921
	smsa	.100753	.0314355	3.21	0.001	.0391406	.1623654
	smsa66	.0150626	.0222765	0.68	0.499	-.0285986	.0587238
	reg661	-.102976	.0433068	-2.38	0.017	-.1878558	-.0180962
	reg662	-.0002286	.0337043	-0.01	0.995	-.0662879	.0658306
	reg663	.0469556	.0325621	1.44	0.149	-.016865	.1107763
	reg664	-.0554084	.0390786	-1.42	0.156	-.132001	.0211842
	reg665	.0515041	.0474412	1.09	0.278	-.0414789	.1444872

reg666		.0699968	.0531631	1.32	0.188	-.0342009	.1741945
reg667		.0390596	.0496175	0.79	0.431	-.0581889	.136308
reg668		-.1980371	.0523952	-3.78	0.000	-.3007297	-.0953444
_cons		3.339687	.8921571	3.74	0.000	1.591091	5.088283

-----  
Instrumented: educ

Instruments: exper c.exper#c.exper black south smsa smsa66 reg661 reg662  
reg663 reg664 reg665 reg666 reg667 reg668 nearc2 nearc4

. estat endog

Tests of endogeneity

Ho: variables are exogenous

Durbin (score) chi2(1) = 2.93939 (p = 0.0864)

Wu-Hausman F(1,2993) = 2.92564 (p = 0.0873)

0.0854)

Lo que se observa, combinado con el hecho que nearc2 está poco correlacionado con educ

. correlate educ nearc2

(obs=3,010)

		educ	nearc2
-----+-----			
educ		1.0000	
nearc2		0.0474	1.0000

.

. correlate educ nearc4

(obs=3,010)

		educ	nearc4
-----+-----			
educ		1.0000	
nearc4		0.1442	1.0000

es que nearc2 es un instrumento débil, se cumpliría la desigualdad

$$|\rho(z_1, \varepsilon)| > |\rho(x_1, u)| \cdot |\rho(z_1, x_1)|$$

y además, el  $p$ -value para DU en las regresiones que incluyen *estat endog* son tales que, al incluir nearc2,  $|p - 0,05| \rightarrow 0$ . Así pues, nos quedaríamos con el instrumento nearc4.

10) Ya sabemos que el uso de variables instrumentales permite lidiar con el problema de endogeneidad, presente en este estudio (tal y como se ha visto previamente). Sin embargo, hay un trade-off pues, si bien el estimador IV puede ser consistente, no es necesariamente más eficiente (dado que usa sólo una parte de la información en  $x$ : a través del instrumento). Para determinar estadísticamente si es preferible IV (para el modelo sobreidentificado: los 2 instrumentos), podemos usar el test de Hausman-Durbin-Wu. Este brinda los siguientes resultados.

```
ivregress 2sls lwage (educ=nearc4 nearc2) c.exper##c.exper
black south smsa smsa66 reg661-reg668
```

```
Instrumental variables (2SLS) regression      Number of obs   =      3,010
                                              Wald chi2(15)   =      709.89
                                              Prob > chi2     =      0.0000
                                              R-squared       =      0.1702
                                              Root MSE       =      .4042
```

	lwage	Coef.	Std. Err.	z	P> z	[95% Conf. Interval]	
	educ	.1570594	.0524383	3.00	0.003	.0542822	.2598366
	exper	.1188149	.0227454	5.22	0.000	.0742348	.163395
	c.exper#c.exper	-.0023565	.0003466	-6.80	0.000	-.0030358	-.0016772
	black	-.1232778	.0520112	-2.37	0.018	-.225218	-.0213376
	south	-.1431945	.0283691	-5.05	0.000	-.1987968	-.0875921
	smsa	.100753	.0314355	3.21	0.001	.0391406	.1623654
	smsa66	.0150626	.0222765	0.68	0.499	-.0285986	.0587238
	reg661	-.102976	.0433068	-2.38	0.017	-.1878558	-.0180962

reg662		-.0002286	.0337043	-0.01	0.995	-.0662879	.0658306
reg663		.0469556	.0325621	1.44	0.149	-.016865	.1107763
reg664		-.0554084	.0390786	-1.42	0.156	-.132001	.0211842
reg665		.0515041	.0474412	1.09	0.278	-.0414789	.1444872
reg666		.0699968	.0531631	1.32	0.188	-.0342009	.1741945
reg667		.0390596	.0496175	0.79	0.431	-.0581889	.136308
reg668		-.1980371	.0523952	-3.78	0.000	-.3007297	-.0953444
_cons		3.339687	.8921571	3.74	0.000	1.591091	5.088283

-----

Instrumented: educ

Instruments: exper c.exper#c.exper black south smsa smsa66 reg661 reg662  
reg663 reg664 reg665 reg666 reg667 reg668 nearc4 nearc2

. estat endogenous

Tests of endogeneity

Ho: variables are exogenous

Durbin (score) chi2(1) = 2.93939 (p = 0.0864)

Wu-Hausman F(1,2993) = 2.92564 (p = 0.0873)

Dado que en cualquier caso  $p > 0,05$  no se rechaza la hipótesis nula. ¿Qué significa esto finalmente? las diferencias entre los estimadores por MCO e IV son estadísticamente diferentes y por ello el regresor endógeno (educ) genera problemas por la estimación MCO. Es mejor usar variables instrumentales, teniendo en cuenta que es nearc4 la que tiene mayor correlación con la endógena.

# Capítulo 10

## Máxima Verosimilitud

A lo largo de este texto, la herramienta de estimación principal ha sido la estimación vía Mínimos Cuadrados Ordinarios. Sin embargo, en este capítulo, presentamos un segundo método de estimación que resulta de gran interés en la práctica y que, si bien no ha sido usado previamente, aparece con frecuencia en el análisis estadístico y econométrico a la hora de, por ejemplo, trabajar con modelos donde la variable de regresión es dicotómica: modelo de probabilidad lineal, Logit, Probit, ([Wooldridge, 2001](#)).

### 10.1. Estimación

**Definición 10.1.1.** Sea  $f(\cdot|\theta)$  con  $\theta \in \Theta \subset \mathbb{R}^k$  una familia paramétrica de distribuciones. Sea  $X = (X_1, \dots, X_n)$  una muestra aleatoria iid de una distribución  $g(\cdot|\theta_0)$  con  $\theta_0 \in \Theta$ . Entonces, la densidad conjunta es

$$f(x|\theta) = \prod_{i=1}^n g(x_i|\theta),$$

donde  $x_i$  es la observación de  $X_i$ . Definimos la función de verosimilitud de esta muestra aleatoria de la siguiente manera

$$L(\theta|x) = \begin{cases} \prod_{i=1}^n \mathbb{P}_{X_i}(x_i|\theta) & \text{variable discreta} \\ \prod_{i=1}^n f_{X_i}(x_i|\theta) & \text{variable continua.} \end{cases}$$

Note que las distribuciones dependen desde ahora de un (vector) de parámetros  $\theta \in \Theta \subset \mathbb{R}^k$ . En ese sentido, podemos escribir, teniendo en cuenta que  $X_1, \dots, X_n$  son

iid

$$f_{(X_1, \dots, X_n)}(x, \theta) = \prod_{i=1}^n f_X(x_i, \theta).$$

Eventualmente, para abreviar la notación, escribiremos  $L(\theta)$ .

**Ejemplo 10.1.** Sea

$$f_X(x; \theta) = \begin{cases} \theta^2 x e^{-\theta x}, & \text{si } x > 0 \\ 0, & \text{en otro caso.} \end{cases}$$

La función de densidad de una variable aleatoria continua,  $\theta > 0$ . Entonces,

$$\begin{aligned} L(\theta) &= \prod_{i=1}^n f_{X_i}(x_i | \theta) \\ &= \prod_{i=1}^n \theta^2 x_i e^{-\theta x_i} \\ &= \theta^{2n} \left( \prod_{i=1}^n x_i \right) e^{-\theta \sum_{i=1}^n x_i}. \end{aligned}$$

**Definición 10.1.2. Estimador de máxima verosimilitud.** El estimador de máxima verosimilitud

$$\hat{\theta}_{MV} = \phi(X_1, \dots, X_n)$$

es el estimador que resuelve

$$\mathcal{P} : \begin{cases} \text{máx} & L(\theta) \\ \text{s. a} & \theta \in \Theta. \end{cases}$$

En relación al estimador de máxima verosimilitud, es posible que la m.a.  $X_1, \dots, X_n$  no sea iid. Por otro lado, usualmente es más sencillo maximizar  $\ell(\theta) = \ln(L(\theta))$ . Luego, la CPO provee

$$\frac{1}{n} \sum_{i=1}^n \frac{\partial \ell(\hat{\theta}_{MV}; x_i)}{\partial \theta} = 0.$$

**Ejemplo 10.2.** Una variable aleatoria  $X$  posee la siguiente función de densidad

$$f(x) = \begin{cases} \frac{1}{\theta} e^{-\frac{x}{\theta}}, & \text{si } x \geq 0 \\ 0, & \text{caso contrario.} \end{cases}$$

Veamos que el estimador de máxima verosimilitud  $\hat{\theta}$  es igual a la media muestral. Primero, notemos que, efectivamente  $f(\cdot)$  es una densidad para  $\theta > 0$ :

$$\int_{\mathbb{R}} f(x) dx = \int_0^{\infty} \frac{1}{\theta} e^{-\theta x} dx = \lim_{t \rightarrow \infty} (e^{-t/\theta} + 1) = 1.$$

Ahora, siguiendo la definición dada,

$$\hat{\theta} \in \operatorname{argmax}_{\theta \in \Theta} \prod_{i=1}^n f_{X_i}(x_i | \theta).$$

Dado que  $\ln(\cdot)$  es una función creciente,

$$\hat{\theta} \in \operatorname{argmax}_{\theta \in \Theta} \underbrace{\ln \left( \prod_{i=1}^n f_{X_i}(x_i | \theta) \right)}_{=K(\theta)}.$$

Primero, calculamos  $K(\theta)$

$$\begin{aligned} K(\theta) &= \ln \left( \prod_{i=1}^n f(x_i) \right) \\ &= \ln \left( \prod_{i=1}^n \frac{e^{-x_i/\theta}}{\theta} \right) \\ &= \ln \left( \frac{1}{\theta^n} e^{-\frac{\sum_{i=1}^n x_i}{\theta}} \right) \\ &= -n \ln \theta - \frac{1}{\theta} \sum_{i=1}^n x_i. \end{aligned}$$

Aplicando condiciones de primer orden,

$$-\frac{n}{\hat{\theta}} + \frac{1}{\hat{\theta}^2} \sum_{i=1}^n x_i.$$

Así,

$$\hat{\theta} = \frac{1}{n} \sum_{i=1}^n x_i.$$

**Ejemplo 10.3.** Sea  $(x_1, x_2, \dots, x_n)$  una muestra aleatoria correspondiente a una distribución normal  $NS(\mu, \sigma^2)$ . La función de verosimilitud es

$$\begin{aligned} L(x_1, x_2, \dots, x_n; \mu, \sigma^2) &= \prod_{i=1}^n f(x_i; \mu, \sigma^2) \\ &= \left( \frac{1}{\sigma \sqrt{2\pi}} \right)^n e^{-\frac{1}{2\sigma^2} \sum_{i=1}^n (x_i - \mu)^2}. \end{aligned} \tag{10.1}$$

Computemos los estimadores de máxima verosimilitud de  $\mu$  y  $\sigma^2$  (que se denotan por  $\hat{\mu}$  y  $\hat{\sigma}^2$ ). Nuestro objetivo es resolver

$$\mathcal{P} : \begin{cases} \text{máx}_{\mu, \sigma^2} & L(x_1, \dots, x_n; \mu, \sigma^2) \\ \text{s.a. :} & (\mu, \sigma) \in \Theta = \mathbb{R} \times \mathbb{R}_+. \end{cases}$$

Un primer enfoque, para poder encontrar los candidatos a óptimos locales, es aplicar directamente las condiciones de primer orden a la función (10.1):

$$\frac{\partial L}{\partial \mu} = \frac{1}{\sigma^2} \sum_{i=1}^n (x_i - \mu)^2 \left( \frac{1}{\sigma \sqrt{2\pi}} \right)^n e^{-\frac{1}{2\sigma^2} \sum_{i=1}^n (x_i - \mu)^2} = 0 \quad (10.2)$$

$$\begin{aligned} \frac{\partial L}{\partial \sigma^2} &= \frac{-n}{(\sigma^2)^{\frac{n+1}{2}} \sqrt{2\pi}} e^{-\frac{1}{2\sigma^2} \sum_{i=1}^n (x_i - \mu)^2} \\ &+ \frac{\sum_{i=1}^n (x_i - \mu)^2}{(\sigma^2)^{n/2} \sqrt{2\pi} \cdot (\sigma^2)^{3/2}} e^{-\frac{1}{2\sigma^2} \sum_{i=1}^n (x_i - \mu)^2} = 0. \end{aligned} \quad (10.3)$$

De (10.2), como la exponencial es siempre positiva, se tiene que

$$\begin{aligned} \sum_{i=1}^n (x_i - \mu) &= 0 \\ \frac{\sum_{i=1}^n x_i}{n} &= \bar{x} = \hat{\mu}. \end{aligned}$$

Luego, teniendo en cuenta nuevamente que  $e^{-\frac{1}{2\sigma^2} \sum_{i=1}^n (x_i - \mu)^2} > 0$  y simplificando (10.3), obtenemos

$$\begin{aligned} \frac{1}{\sigma^n \sqrt{2\pi}} \cdot \frac{\sum_{i=1}^n (x_i - \mu)^2}{\sigma^3} &= \frac{n}{\sigma^{n+1} \sqrt{2\pi}^n} \\ \frac{\sum_{i=1}^n (x_i - \mu)^2}{\sigma^{n+3}} &= \frac{n}{\sigma^{n+1}} \\ m\sigma^2 &= \sum_{i=1}^n (x_i - \mu)^2. \end{aligned}$$

Evaluando en el óptimo,

$$\hat{\sigma}^2 = \frac{1}{n} \sum_{i=1}^n (x_i - \bar{x})^2.$$

Ahora bien, dada la estructura de la función de máxima verosimilitud, considerando sobre todo las condiciones de segundo orden, lo más acertado es maximizar la función

de log-verosimilitud, definida de la siguiente manera

$$\begin{aligned}
 K(\theta) &= K(\mu, \sigma^2 | x) \\
 &= \ln(L(\mu, \sigma^2; x_1, \dots, x_n)) \\
 &= \ln \left[ \left( \frac{1}{\sigma\sqrt{2\pi}} \right)^n e^{-\frac{1}{2\sigma^2} \sum_{i=1}^n (x_i - \mu)^2} \right] \\
 &= -n \ln \sqrt{2\pi} - \frac{1}{2\sigma^2} \sum_{i=1}^n (x_i - \mu)^2 - \frac{n}{2} \ln \sigma^2.
 \end{aligned}$$

Debido a las propiedades de la función logaritmo neperiano,  $K(\theta)$  posee los mismos óptimos, y de misma naturaleza, que  $L(x; \theta)$  (Casella and Berger, 2002). Por ende, bastaba con aplicar las CPO a  $K(\mu, \sigma^2)$

$$\begin{aligned}
 \frac{\partial K}{\partial \mu} &= \frac{1}{\sigma^2} \sum_{i=1}^n (x_i - \mu) = 0 \\
 \frac{\partial K}{\partial \sigma^2} &= \frac{1}{2(\sigma^2)^2} \sum_{i=1}^n (x_i - \mu)^2 - \frac{n}{2\sigma^2}.
 \end{aligned}$$

Despejando, se vuelven a obtener los candidatos a máximo local

$$\begin{aligned}
 \hat{\mu} &= \frac{1}{n} \sum_{i=1}^n x_i = \bar{x} \\
 \hat{\sigma}^2 &= \frac{1}{n} \sum_{i=1}^n (x_i - \hat{\mu})^2 = \frac{1}{n} \sum_{i=1}^n \left( x_i - \frac{1}{n} \sum_{j=1}^n x_j \right)^2 = \frac{1}{n} \sum_{i=1}^n (x_i - \bar{x})^2.
 \end{aligned}$$

Queda entonces por analizar las condiciones de segundo orden. Esto es<sup>1</sup>, verificar que  $D_1 \leq 0$  y  $D_2 \geq 0$ , siendo  $D_i$  los menores principales de la matriz  $HK(\mu, \sigma^2) \in \mathcal{M}_{2 \times 2}$  evaluada en  $\hat{\theta} = (\hat{\mu}, \hat{\sigma}^2)$ .

$$\begin{aligned}
 \frac{\partial^2 K}{\partial \mu^2} &= -\frac{n}{\sigma^2} \\
 \frac{\partial^2 K}{\partial \mu \partial \sigma^2} &= \frac{\partial^2 K}{\partial \sigma^2 \partial \mu} = -\frac{1}{\sigma^4} \sum_{i=1}^n (x_i - \mu) \\
 \frac{\partial^2 K}{\partial (\sigma^2)^2} &= \frac{n}{2\sigma^4} - \frac{1}{\sigma^6} \sum_{i=1}^n (x_i - \mu)^2.
 \end{aligned}$$

<sup>1</sup>Ver (Casella and Berger, 2002).

Luego,

$$HK(\mu, \sigma^2) = \begin{bmatrix} -\frac{n}{\sigma^2} & -\frac{1}{\sigma^4} \sum_{i=1}^n (x_i - \mu) \\ -\frac{1}{\sigma^4} \sum_{i=1}^n (x_i - \mu) & \frac{n}{2\sigma^4} - \frac{1}{\sigma^6} \sum_{i=1}^n (x_i - \mu)^2 \end{bmatrix}.$$

Por ende,

$$D_1 = H_{11}(K(\hat{\mu}, \hat{\sigma}^2)) = -\frac{n}{\hat{\sigma}^2} < 0$$

y

$$\begin{aligned} D_2 &= \det(H(K(\hat{\mu}, \hat{\sigma}^2))) \\ &= \frac{1}{\sigma^6} \left[ -\frac{n^2}{\sigma^2} + \frac{n}{\sigma^2} \sum_{i=1}^n (x_i - \mu)^2 - \frac{1}{\sigma^2} \left( \sum_{i=1}^n (x_i - \mu) \right)^2 \right] \Big|_{\mu=\bar{x}, \sigma^2=\hat{\sigma}^2} \\ &= \frac{1}{\sigma^6} \left[ -\frac{n^2}{\sigma^2} + \frac{n}{\sigma^2} \sigma^2 - \frac{1}{\sigma^2} \left( \sum_{i=1}^n (x_i - \mu) \right)^2 \right] \Big|_{\mu=\bar{x}, \sigma^2=\hat{\sigma}^2} \\ &= \frac{1}{\hat{\sigma}^6} \left[ -\frac{n^2}{\hat{\sigma}^2} + \frac{n}{\hat{\sigma}^2} \hat{\sigma}^2 - \frac{1}{\hat{\sigma}^2} \left( \sum_{i=1}^n (x_i - \hat{\mu}) \right)^2 \right] \\ &= -\frac{n}{\hat{\sigma}^2} - \frac{n}{2\hat{\sigma}^6} \\ &= \frac{n^2}{2\hat{\sigma}^6} > 0. \end{aligned}$$

Concluimos entonces, a través de las condiciones de segundo orden, que  $(\hat{\mu}, \hat{\sigma}^2)$  es en efecto un local.

**Ejemplo 10.4.** Supongamos que

$$Y_i = \beta_1 + \beta_2 X_i + \epsilon_i, \quad \epsilon_i \sim N(0, \sigma^2).$$

En este caso,  $\mathbb{E}[Y_i|X_i] = \beta_1 + \beta_2 X_i$ . Así,

$$\begin{aligned} L(\theta) &= L(\beta_1, \beta_2, \sigma) \\ &= \prod_{i=1}^n f_{Y_i}(y_i|\beta, \sigma) \\ &= \prod_{i=1}^n \frac{1}{\sqrt{2\pi\sigma^2}} \exp\left(-\frac{(Y_i - \beta_1 - \beta_2 X_i)^2}{2\sigma^2}\right) \\ &= \frac{1}{(\sqrt{2\pi\sigma^2})^n} \exp\left(-\frac{1}{2\sigma^2} \sum_{i=1}^n (Y_i - \beta_1 - \beta_2 X_i)^2\right). \end{aligned}$$

Luego de resolver el problema de maximización para obtener los estimadores, se llega a

$$\begin{aligned}\hat{\beta}_1 &= \bar{Y} - \hat{\beta}_2 \bar{X} \\ \hat{\beta}_2 &= \frac{\sum_{i=1}^n X_i Y_i - \bar{X} \bar{Y}}{\sum_{i=1}^n X_i^2 - n \bar{X}^2} \\ \hat{\sigma}^2 &= \frac{1}{n} \sum_{i=1}^n \hat{\epsilon}_i^2\end{aligned}$$

con  $\hat{\epsilon}_i = Y_i - \hat{Y}_i = Y_i - \hat{\beta}_1 - \hat{\beta}_2 X_i$ .

**Ejemplo 10.5.** En el modelo de  $k$ -variables,

$$Y_i = \beta_1 + \beta_2 X_{2i} + \beta_3 X_{23} + \dots + \beta_k X_{2k} + \epsilon_i,$$

que matricialmente se expresa como

$$\underbrace{\begin{bmatrix} Y_1 \\ \vdots \\ Y_n \end{bmatrix} = \begin{bmatrix} 1 & X_{21} & X_{31} & \cdots & X_{k1} \\ \vdots & \vdots & \vdots & \cdots & \vdots \\ 1 & X_{2n} & X_{2n} & \cdots & X_{kn} \end{bmatrix} \begin{bmatrix} \beta_1 \\ \vdots \\ \beta_k \end{bmatrix} + \begin{bmatrix} \epsilon_1 \\ \vdots \\ \epsilon_n \end{bmatrix}}_{=Y_{n \times 1} = X_{n \times k} \beta_{k \times 1} + \epsilon_{n \times 1}}$$

teníamos que  $\hat{Y} = X\hat{\beta}$  y  $\epsilon \sim N(0_n, \sigma^2 I_n)$ . Así,

$$L(\theta) = \frac{1}{(2n\sigma^2)^{\frac{n}{2}}} e^{-\frac{(Y - X\beta)^T(Y - X\beta)}{2\sigma^2}}.$$

Las CPO proveen

$$\begin{aligned}\hat{\beta} &= (X^T X)^{-1} X^T Y \\ \hat{\sigma}^2 &= \frac{\hat{\epsilon}^T \hat{\epsilon}}{n}.\end{aligned}$$

**Ejemplo 10.6.** En este ejemplo calculamos las funciones de verosimilitud para distribuciones clásicas, tanto continuas como discretas. Estas distribuciones son: la exponencial, la Poisson, la binomial y la geométrica. Dejamos como ejercicio obtener los estimados de MV correspondientes.

- **Distribución exponencial:** La función de densidad de probabilidad para la distribución exponencial es:

$$f(x; \lambda) = \lambda e^{-\lambda x}, \quad x \geq 0, \lambda > 0.$$

Para una muestra independiente  $\{x_1, x_2, \dots, x_n\}$ , la función de verosimilitud se obtiene como el producto de las densidades:

$$L(\lambda; x_1, \dots, x_n) = \prod_{i=1}^n \lambda e^{-\lambda x_i} = \lambda^n e^{-\lambda \sum_{i=1}^n x_i}.$$

- **Distribución Poisson:** La función de probabilidad para la distribución Poisson es:

$$\mathbb{P}(X = k; \lambda) = \frac{\lambda^k e^{-\lambda}}{k!}, \quad k = 0, 1, 2, \dots, \lambda > 0.$$

Para una muestra independiente  $\{k_1, k_2, \dots, k_n\}$ , la función de verosimilitud es:

$$L(\lambda; k_1, \dots, k_n) = \prod_{i=1}^n \frac{\lambda^{k_i} e^{-\lambda}}{k_i!} = \frac{\lambda^{\sum_{i=1}^n k_i} e^{-n\lambda}}{\prod_{i=1}^n k_i!}.$$

- **Distribución binomial:** La función de probabilidad para la distribución binomial es:

$$\mathbb{P}(X = k; n, p) = \binom{n}{k} p^k (1-p)^{n-k}, \quad k = 0, 1, \dots, n, 0 < p < 1.$$

Para una muestra independiente  $\{k_1, k_2, \dots, k_n\}$ , la función de verosimilitud es:

$$L(p; k_1, \dots, k_n) = \prod_{i=1}^n \binom{n}{k_i} p^{k_i} (1-p)^{n-k_i}.$$

Ignorando los términos constantes  $\binom{n}{k_i}$ , la función de verosimilitud simplificada es:

$$L(p; k_1, \dots, k_n) \propto p^{\sum_{i=1}^n k_i} (1-p)^{n \cdot (n - \sum_{i=1}^n k_i)}.$$

- **Distribución geométrica:** La función de probabilidad para la distribución geométrica es:

$$\mathbb{P}(X = k; p) = (1-p)^{k-1} p, \quad k = 1, 2, 3, \dots, 0 < p < 1.$$

Para una muestra independiente  $\{k_1, k_2, \dots, k_n\}$ , la función de verosimilitud es:

$$L(p; k_1, \dots, k_n) = \prod_{i=1}^n (1-p)^{k_i-1} p = p^n (1-p)^{\sum_{i=1}^n (k_i-1)}.$$

Simplificando, se tiene:

$$L(p; k_1, \dots, k_n) = p^n (1-p)^{\sum_{i=1}^n k_i - n}.$$

## 10.2. La cota inferior de Cramer-Rao

**Teorema 10.1.** Supongamos que  $\theta$  es un parámetro determinístico no conocido que debe ser estimado a partir de una muestra de  $n$  observaciones iid con densidad  $f(x; \theta)$ . Entonces, la varianza de cualquier estimador insesgado  $\hat{\theta}$  de  $\theta$  es acotado inferiormente por la recíproca de la información de Fisher:

$$\text{Var}(\hat{\theta}) \geq \frac{1}{nI(\theta)} \quad (10.4)$$

con

$$I(\theta) = \mathbb{E}_{X;\theta} \left[ \left( \frac{\partial \ell(X; \theta)}{\partial \theta} \right)^2 \right]$$

siendo  $\ell(x; \theta) = \ln L(\theta; x)$ , el logaritmo neperiano de la función de verosimilitud, y  $\mathbb{E}_{X;\theta}$  el valor esperado con respecto a la densidad  $f(x; \theta)$  de  $X$ .

En el caso más general, si  $\delta(X)$  es un estimador insesgado de  $g(\theta)$ , (10.4) se convierte en

$$\text{Var}(\delta) \geq \frac{[g'(\theta)]^2}{nI(\theta)}. \quad (10.5)$$

**Teorema 10.2.** Asumiendo que se cumple la regla de Leibniz, se tiene que

$$I(\theta) = \text{Var} \left[ \frac{\partial}{\partial \theta} \ln f(X|\theta) \right]^2 = -\mathbb{E} \left[ \frac{\partial^2}{\partial \theta^2} \ln f(X|\theta) \right].$$

*Demostración.* Para simplificar la notación, escribimos  $\ell(\theta) = \ln f(x|\theta)$ . Luego, siguiendo (Rau, 2016)

$$\begin{aligned} \mathbb{E} \left[ \frac{\partial}{\partial \theta} \ell(\theta) \right] &= \int \left[ \frac{\partial}{\partial \theta} \ell(\theta) \right] f(x|\theta) dx \\ &= \int \left[ \frac{\partial}{\partial \theta} f(x|\theta) \right] \frac{1}{f(x|\theta)} f(x|\theta) dx \\ &= \int \left[ \frac{\partial}{\partial \theta} f(x|\theta) \right] dx \\ &= \frac{\partial}{\partial \theta} \int f(x|\theta) dx \\ &= \frac{\partial}{\partial \theta} (1) = 0. \end{aligned}$$

Ahora bien, como  $\mathbb{E} \left[ \frac{\partial}{\partial \theta} \ell(\theta) \right] = 0$

$$\begin{aligned} 0 &= \frac{\partial}{\partial \theta} \int \left[ \frac{\partial}{\partial \theta} \ell(\theta) \right] f(x|\theta) dx \\ &= \int \left[ \frac{\partial^2}{\partial \theta^2} \ell(\theta) \right] f(x|\theta) dx + \int \left[ \frac{\partial}{\partial \theta} \ell(\theta) \right] \left[ \frac{\partial}{\partial \theta} f(x|\theta) \right] dx \\ &= \mathbb{E} \left[ \frac{\partial^2}{\partial \theta^2} \ell(\theta) \right] + \int \left[ \frac{\partial}{\partial \theta} \ell(\theta) \right] \left[ \frac{\partial}{\partial \theta} \ell(\theta) \right] f(x|\theta) dx \\ &= \mathbb{E} \left[ \frac{\partial^2}{\partial \theta^2} \ell(\theta) \right] + \mathbb{E} \left[ \frac{\partial}{\partial \theta} \ell(\theta) \right]^2. \end{aligned}$$

Así,

$$\mathbb{E} \left[ \frac{\partial}{\partial \theta} \ell(\theta) \right]^2 = -\mathbb{E} \left[ \frac{\partial^2}{\partial \theta^2} \ell(\theta) \right].$$

Finalmente, concluimos notando que

$$\text{Var} \left[ \frac{\partial}{\partial \theta} \ell(\theta) \right] = \mathbb{E} \left[ \frac{\partial}{\partial \theta} \ell(\theta) \right]^2 - \underbrace{\left( \mathbb{E} \left[ \frac{\partial}{\partial \theta} \ell(\theta) \right] \right)^2}_{=0}.$$

□

A continuación, probamos el teorema de la cota inferior de Cramer-Rao en el contexto más general (10.5), es decir, considerando  $g(\theta)$  cualquier función diferenciable, y no simplemente  $g(\theta) = \theta$ .

*Demostración.* Sea

$$g(\theta) = \iiint \cdots \iiint \delta(x) f(x|\theta) dx. \tag{10.6}$$

Tomando la derivada respecto a  $\theta$  en ambos lados de la Ecuación 10.6,

$$\begin{aligned} g'(\theta) &= \iiint \cdots \iiint \delta(x) \frac{\partial}{\partial \theta} f(x|\theta) dx. \\ &= \iiint \cdots \iiint \delta(x) \frac{\partial}{\partial \theta} \ln f(x|\theta) dx. \\ &= \mathbb{E} \left[ \delta(X) \frac{\partial}{\partial \theta} \ln f(X|\theta) \right]. \end{aligned}$$

Ahora bien, como

$$\mathbb{E} \left[ \frac{\partial}{\partial \theta} \ln f(X|\theta) \right] = n \mathbb{E} \left[ \frac{\partial}{\partial \theta} \ln f(X|\theta) \right] = 0,$$

concluimos que

$$g'(\theta) = \text{Cov} \left( \delta(X), \frac{\partial}{\partial \theta} \ln f(X|\theta) \right).$$

Debido a la desigualdad de Cauchy-Schwarz,

$$\text{Cov}(X, Y)^2 \leq \text{Var}(X)\text{Var}(Y),$$

con igualdad solo si  $X = aY + b$ ,

$$\begin{aligned} [g'(\theta)]^2 &\leq \text{Var}(\delta(X))\text{Var}\left(\frac{\partial}{\partial\theta} \ln f(x|\theta)\right) \\ &= \text{Var}(\delta(X)) \cdot n \cdot \text{Var}\left(\frac{\partial}{\partial\theta} \ln f(X|\theta)\right) \\ \text{Var}(\delta(X)) &\geq \frac{[g'(\theta)]^2}{nI(\theta)}. \end{aligned}$$

□

### 10.3. Propiedades asintóticas

Recordemos que  $\hat{\theta}_{MV}$  maximiza

$$\ell_n(\theta) = \frac{1}{n} \sum_{i=1}^n \ln f(x_i|\theta).$$

Definamos

$$\ell(\theta) = \mathbb{E}_{\theta_0}[\ell(x|\theta)],$$

donde  $\theta_0$  es el parámetro de la muestra  $X_1, \dots, X_n$ . En caso la distribución fuese continua,

$$\ell(\theta) = \int \ln f(x|\theta) f(x|\theta_0) dx.$$

Por la ley de los grandes números,

$$\ell_n(\theta) \xrightarrow{\mathbb{P}} \ell(\theta).$$

**Teorema 10.3.** Para todo  $\theta \in \Theta$ ,

$$L(\theta) \leq L(\theta_0).$$

Más aún, la desigualdad es estricta salvo que

$$\mathbb{P}_{\theta_0}\{f(x|\theta) = f(x|\theta_0)\} = 1.$$

*Demostración.* Consideremos

$$\begin{aligned} L(\theta) - L(\theta_0) &= \mathbb{E}_{\theta_0}[\ln f(x|\theta) - \ln f(x|\theta_0)] \\ &= \mathbb{E}_{\theta_0} \ln \left( \frac{f(x|\theta)}{f(x|\theta_0)} \right). \end{aligned}$$

Dado que  $\ln t \leq t - 1$ ,

$$\begin{aligned} \mathbb{E}_{\theta_0} \ln \left( \frac{f(x|\theta)}{f(x|\theta_0)} \right) &\leq \mathbb{E}_{\theta_0} \left[ \frac{f(x|\theta)}{f(x|\theta_0)} - 1 \right] \\ &= \int \left( \frac{f(x|\theta)}{f(x|\theta_0)} - 1 \right) f(x|\theta_0) dx \\ &= \int f(x|\theta) dx - \int f(x|\theta_0) dx \\ &= 1 - 1 = 0. \end{aligned}$$

Esto nos permite concluir. □

**Teorema 10.4.** En el contexto descrito en este capítulo, si  $\theta_0$  es tal que para todo  $\theta \neq \theta_0$  existe  $x$  con  $f(x|\theta) \neq f(x|\theta_0)$ <sup>2</sup>, el soporte<sup>3</sup> de  $f(\cdot|\theta)$  no depende de  $\theta$  y  $\theta_0 \in \Theta^\circ$ , entonces  $\hat{\theta}_{ML} \xrightarrow{\mathbb{P}} \theta_0$ .

**Teorema 10.5.** Supongamos que se satisfacen las condiciones del teorema 10.4. Asumamos además que  $g(x_i|\theta)$  es clase  $C^3(\Theta)$ ,<sup>4</sup> que se cumplen las hipótesis del teorema de Leibiniz<sup>5</sup> en el par  $(x, \theta)$  y que para cierta función  $M$  tal que  $\mathbb{E}[M(X_i)] < \infty, \forall i$ ,

$$\left| \frac{\partial^3 \ln g(x_i|\theta)}{\partial \theta^3} \right| \leq M(x).$$

Entonces,

$$\sqrt{n}(\hat{\theta}_{MV} - \theta_0) \xrightarrow{d} N(0, I_g^{-1}(\theta_0))$$

con

$$I_g(\theta) = \mathbb{E}_\theta \left[ \left( \frac{\partial \ell(\theta|X)}{\partial \theta} \right)^2 \right].$$

<sup>2</sup>La generalización es  $\mathbb{P}\{f(x|\theta) \neq f(x|\theta_0)\} > 0$ .

<sup>3</sup> $S$  tal que  $\int_S dF = 1$ .

<sup>4</sup>Nuevamente,  $x_i$  es la realización de una v.a.  $X_i$ . Esto es,  $X_1, \dots, X_n$  es una m.a.

<sup>5</sup> $f(x, t)$  función tal que  $f_x(x, t)$  es continua en  $t$  y  $x$  para alguna región del plano que incluye  $a_1(x) \leq t \leq a_2(x), x_0 \leq x \leq x_1$ . Supóngase además que  $a, b \in U$  con  $[x_0, x_1] \subset U$ . Entonces,

$$\frac{d}{dx} \left( \int_{a(x)}^{b(x)} f(x, t) dt \right) = f(x, b(x))b'(x) - f(x, a(x))a'(x) + \int_{a(x)}^{b(x)} f_x(x, t) dt.$$

Las pruebas de los teoremas 10.4 y 10.5 se encuentran en las siguientes notas de clase, (Mikusheva, 2007) y no son directas. Los dejamos como ejercicios al lector.

Para dos estimadores insesgados de  $\theta$ , la proporción entre sus varianzas se conoce como *eficiencia relativa*. Un estimador insesgado es considerado eficiente si su varianza alcanza la cota mínima  $1/nI(\theta)$ , donde  $I(\theta)$  representa la información de Fisher. Como el estimador de Máxima Verosimilitud (MLE, por sus siglas en inglés) alcanza esta cota mínima de manera asintótica, se le denomina *asintóticamente eficiente*. Esto significa que, para tamaños de muestra grandes ( $n \rightarrow \infty$ ), el MLE logra la menor varianza posible dentro de todos los estimadores insesgados. La cota inferior de Cramér-Rao establece que ningún estimador insesgado puede tener una varianza asintóticamente menor que la alcanzada por el MLE.

Culminamos la sección con un último resultado de teoría asintótica para el caso del estimador de MV.

**Teorema 10.6.** Sea  $X_1, \dots, X_n$  una muestra aleatoria de una distribución con parámetro  $\theta$ . Sea  $\hat{\theta}_{MV}$  el estimador de máxima verosimilitud de  $\theta$ . Entonces, bajo ciertas condiciones de regularidad estándares<sup>6</sup>,

1.  $\hat{\theta}_{MV}$  es asintóticamente consistente, es decir, para todo  $\epsilon > 0$

$$\lim_{n \rightarrow \infty} \mathbb{P}\{|\hat{\theta}_{MV} - \theta| > \epsilon\} = 0.$$

2.  $\hat{\theta}_{MV}$  es asintóticamente insesgado, es decir,

$$\lim_{n \rightarrow \infty} \mathbb{E}[\hat{\theta}_{MV}] = \theta$$

3. Cuando  $n \rightarrow \infty$ ,

$$\frac{\hat{\theta}_{MV} - \theta}{\sqrt{\text{Var}(\hat{\theta}_{MV})}} \xrightarrow{d} N(0, 1).$$

## 10.4. Estimador de MV vs el estimador de MCO

En esta sección comparamos el estimador de Máxima Verosimilitud (MV) y el estimador de Mínimos Cuadrados Ordinarios (MCO), considerando sus fundamentos

---

<sup>6</sup>Compacidad de  $\Theta$ , existencia de  $\mathbb{E}[\sup_{\theta \in \Theta} |\ell_{\theta\theta}|]$ ,  $\theta_0 \in \Theta^\circ$ , diferenciabilidad y validez de la regla de Leibniz.

teóricos, supuestos, propiedades computacionales y aplicaciones prácticas. Además, vinculamos estas comparaciones con la cota inferior de Cramér-Rao, discutida previamente, y las propiedades asintóticas del estimador MV.

1. **Fundamentos teóricos:** tanto el estimador de MV como el estimador de MCO se fundamentan en la optimización estadística. El estimador de MV busca maximizar la función de verosimilitud de los datos dados los parámetros del modelo, mientras que el estimador de MCO minimiza la suma de los residuos al cuadrado. En modelos de regresión lineal con errores normalmente distribuidos, los estimadores obtenidos de ambos métodos son idénticos, ya que minimizar los errores al cuadrado es equivalente a maximizar la función de verosimilitud bajo la suposición de normalidad. En un contexto más general, el estimador de MV se basa en la maximización de la verosimilitud para cualquier familia de distribuciones, permitiendo una mayor flexibilidad. Como se muestra en el teorema de la cota inferior de Cramér-Rao, el estimador de MV alcanza asintóticamente esta cota, siendo eficiente al minimizar la varianza entre los estimadores insesgados.

2. **Supuestos:**

- El estimador de MCO asume linealidad, homocedasticidad, independencia de los errores y residuos normalmente distribuidos. Estas condiciones aseguran la consistencia y eficiencia dentro de la clase de estimadores lineales insesgados (MELI o BLUE por sus siglas en inglés).
- El estimador de MV, en contraste, no requiere linealidad o normalidad, siempre que la función de verosimilitud esté correctamente especificada. Bajo las condiciones de regularidad estándar descritas en el Teorema 10.4, el de MV es consistente y converge en probabilidad al parámetro verdadero.

3. **Propiedades computacionales:**

- El estimador de MCO tiene una solución cerrada en el caso de regresión lineal:

$$\hat{\beta}_{\text{MCO}} = (X^T X)^{-1} X^T Y.$$

Esto lo hace eficiente y fácil de implementar, incluso para grandes conjuntos de datos.

- El estimador de MV, por otro lado, generalmente no tiene una solución cerrada y requiere métodos numéricos iterativos como Newton-Raphson o Expectación-Maximización (EM), lo que incrementa su complejidad computacional. Sin embargo, estas técnicas permiten su aplicación en modelos no lineales o distribuciones complejas. De hecho, en la siguiente sección discutimos aspectos computacionales relacionados al estimador de MV.

4. **Convergencia:** Ambos estimadores convergen bajo ciertas condiciones:

- El estimador de MCO es consistente si los supuestos de Gauss-Markov se cumplen, asegurando que  $\hat{\beta}_{\text{MCO}} \xrightarrow{\mathbb{P}} \beta$  conforme  $n \rightarrow \infty$ .
- El estimador de MV es consistente bajo las condiciones generales del teorema 10.4. Más aún, como establece el teorema 10.5, el estimador de MV es asintóticamente normal:

$$\sqrt{n}(\hat{\theta}_{MV} - \theta_0) \xrightarrow{d} N(0, I_g^{-1}(\theta_0)),$$

donde  $I_g(\theta_0)$  es la información de Fisher.

5. **Eficiencia:** el estimador de MV es asintóticamente eficiente, alcanzando la cota inferior de Cramér-Rao. Esto significa que tiene la menor varianza posible entre los estimadores insesgados conforme  $N \rightarrow \infty$ . En contraste, el estimador de MCO es eficiente únicamente dentro de la clase de estimadores lineales insesgados, lo que lo hace menos óptimo si se violan los supuestos del modelo clásico.

6. **Robustez:**

- El estimador de MCO es sensible a la heterocedasticidad y a los valores atípicos, lo que puede llevar a errores estándar incorrectos y estimaciones inestables.
- El estimador de MV, aunque más robusto a la heterocedasticidad si se modela correctamente, también es más sensible a errores en la especificación de la función de verosimilitud.

7. **Flexibilidad:** el estimador de MV es aplicable a una amplia variedad de distribuciones, como las de la familia exponencial, permitiendo el modelado en contextos no lineales o no gaussianos. Esto lo hace adecuado para aplicaciones avanzadas, como los modelos lineales generalizados (GLMs). En contraste, el de MCO es más limitado, siendo ideal para casos donde los datos y el modelo cumplen con los supuestos lineales clásicos.

En resumen, mientras que el de MV ofrece mayor flexibilidad y eficiencia bajo condiciones ideales, el de MCO es más sencillo de implementar y computacionalmente eficiente en escenarios donde sus supuestos son válidos. La elección entre ambos depende de las características de los datos y el contexto del modelo.

## 10.5. Computación

A continuación algunas técnicas para computar el estimado de máxima verosimilitud. Seguimos fundamentalmente a (Wooldridge, 2001) y (Rau, 2016). Esto además cierra el capítulo e invitamos al lector consultar, por ejemplo, (Weiss, 1971), (Self and Liang, 1987) o (Wooldridge, 2001) para una discusión más profunda y extensa sobre el estimador de MV.

Lo que buscamos es  $\hat{\theta}_N$  tal que

$$\mathbb{E}_N[L_\theta(\hat{\theta}_N)] = R(\theta) = \frac{1}{N} \sum_{i=1}^N \ell(\theta, x) = 0.$$

En la literatura clásica, se proponen los siguientes métodos:

1. Búsqueda de grilla: se busca resolver  $\max_{\theta \in [a,b]} R(\theta)$ . Para ello se divide  $[a, b]$  en sub-intervalos  $\{[a, \theta_1], \dots, [\theta_n, b]\}$  y se evalúa  $R$  en  $\theta_i$ . Luego, se escoge donde  $R$  toma el valor más grande (digamos  $\theta_k$ ) y se escogen los intervalos  $[\theta_{k-1}, \theta_k]$  y  $[\theta_k, \theta_{k+1}]$ . Se suele iterar hasta que  $|R(\theta_k) - R(\theta_{k+1})| < 10^{-5}$  o  $|\theta_k - \theta_{k+1}| < 10^{-5}$ .
2. Aproximación por polinomios:  $R(\theta) = a + b(\theta - \theta_0) + \frac{1}{2}c(\theta - \theta_0)^2$ . La CPO provee  $\theta^* = \theta_0 - \frac{b}{c}$ . Los coeficientes  $a, b$  y  $c$  se obtienen aplicando una expansión de Taylor de orden 2. Esto se repite para diferentes  $\theta_0$  y se elige aquel que maximice la función objetivo  $R$ .

3. Búsqueda lineal: dado un valor inicial  $\theta_1$  y una dirección de búsqueda  $\delta$ , resolvemos

$$\lambda^* = \operatorname{argmax}_\lambda R(\theta_1 + \lambda\delta).$$

Luego, se toma  $\theta_2 = \theta_1 + \lambda^*\delta$ .

4. Forma cuadrática: planteamos

$$R(\theta) = a + b^T\theta + \frac{1}{2}\theta^T C\theta,$$

con  $C$  simétrica. Luego,

$$\begin{aligned}\frac{\partial R}{\partial \theta} &= b + C\theta \\ \frac{\partial^2 R}{\partial \theta^2} &= C^T.\end{aligned}$$

$R$  alcanza su máximo en  $\theta^* = -C^{-1}b$ . Notemos que

$$\begin{aligned}\theta^* &= -C^{-1}b \\ \theta^* &= \theta_1 - C^{-1}(b + C\theta_1) \\ \theta^* &= \theta_1 - R_{\theta\theta}(\theta_1)^{-1}R_\theta(\theta_1).\end{aligned}$$

Haciendo  $\delta = -R_{\theta\theta}(\theta_1)^{-1}R_\theta(\theta_1)$  y  $\lambda = 1$ , se aplica una búsqueda lineal.

5. Newton-Raphson: sea

$$\delta_{NR} = \left\{ -\mathbb{E}_N \left[ \frac{\partial^2 \ell}{\partial \theta^2}(\theta_1) \right] \right\}^{-1} \mathbb{E}_N \left[ \frac{\partial \ell}{\partial \theta}(\theta_1) \right]$$

y  $\lambda_1$ . Así,

$$\theta_{k+1} = \theta_k + \delta_{NR}.$$

La derivación de Newton-Raphson se basa en una expansión de Taylor de segundo orden de  $\mathbb{E}_N[\ell(\theta)]$  en  $\theta_1$ . Véase (Suli and Mayers, 2003).

6. Algoritmo BHHH (Berndt-Hall-Hall-Hausman): se imputa en la búsqueda lineal

$$\delta_{BHHH} = \left\{ \mathbb{E}_N \left[ \frac{\partial \ell}{\partial \theta}(\theta_1) \frac{\partial \ell}{\partial \theta}(\theta_1)^T \right] \right\} \mathbb{E}_N \left[ \frac{\partial \ell}{\partial \theta}(\theta_1) \right].$$

Finalmente, un criterio muy común de convergencia, es

$$\|\theta_i - \theta_{i-1}\| < 10^{-5}.$$

Cuando la función de log verosimilitud es estrictamente cóncava, entonces los métodos descritos funcionan por lo general bien<sup>7</sup> pues solo existe un único máximo global.

## Ejercicios

**Ejercicio 10.1.** Considere las siguientes distribuciones. Para cada una:

1. Plantee la función de verosimilitud para una muestra independiente y de tamaño  $n$ ,  $\{x_1, x_2, \dots, x_n\}$ .
2. Derive el logaritmo de la función de verosimilitud.
3. Obtenga las estimaciones de los parámetros mediante el método de Máxima Verosimilitud.

a) **Distribución Gamma:** La función de densidad de probabilidad para la distribución Gamma es:

$$f_X(x; \alpha, \beta) = \frac{\beta^\alpha}{\Gamma(\alpha)} x^{\alpha-1} e^{-\beta x}, \quad x > 0, \alpha, \beta > 0,$$

donde  $\alpha$  es el parámetro de forma y  $\beta$  es el parámetro de escala.

b) **Distribución Uniforme (continua):** La función de densidad para la distribución uniforme es:

$$f_X(x; a, b) = \begin{cases} \frac{1}{b-a}, & a \leq x \leq b, \\ 0, & \text{en otro caso,} \end{cases}$$

donde  $a$  y  $b$  son los límites inferior y superior respectivamente, con  $a < b$ .

c) **Distribución de Bernoulli:** La función de probabilidad para la distribución de Bernoulli es:

$$\mathbb{P}(X = x; p) = p^x (1-p)^{1-x}, \quad x \in \{0, 1\}, \quad 0 < p < 1,$$

donde  $p$  es la probabilidad de éxito.

---

<sup>7</sup>Asumiendo diferenciabilidad del orden adecuado.

**Ejercicio 10.2.** Sea una variable aleatoria  $X$  con función de densidad:

$$f_X(x; \theta) = \frac{\theta}{x^{\theta+1}}, \quad x \geq 1, \theta > 0.$$

Para una muestra independiente  $\{x_1, x_2, \dots, x_n\}$ :

1. Plantee la función de verosimilitud  $L(\theta)$  y el logaritmo de la función de verosimilitud  $\ell(\theta)$ .
2. Obtenga la derivada de  $\ell(\theta)$  con respecto a  $\theta$ .
3. Resuelva la ecuación  $\frac{\partial \ell(\theta)}{\partial \theta} = 0$  para encontrar el estimador de  $\theta$  por MV,  $\hat{\theta}_{MV}$ .
4. Verifique si el estimador maximiza  $\ell(\theta)$  calculando la segunda derivada y evaluando su signo.

**Ejercicio 10.3.** Considere que tenemos una muestra independiente e idénticamente distribuida (i.i.d.) de tamaño  $n$ , donde las observaciones siguen una distribución *Half-Normal* con densidad:

$$f_H(x) = \frac{2}{\sqrt{\pi}} \cdot \frac{1}{\sqrt{v}} \exp\left(-\frac{x^2}{2v}\right), \quad x \geq 0, v > 0.$$

Los momentos de esta distribución son:

$$\mathbb{E}_H[X] = \sqrt{\frac{2}{\pi}} \cdot \sqrt{v} \equiv \mu_x, \quad \text{Var}_H[X] = \left(1 - \frac{2}{\pi}\right)v.$$

Ahora, considere que el logaritmo de la función de verosimilitud de la muestra es:

$$L(v | x) = n \ln \frac{2}{\sqrt{\pi}} - \frac{n}{2} \ln v - \frac{1}{2v} \sum_{i=1}^n x_i^2.$$

1. **Derive el estimador de Máxima Verosimilitud (MLE) de  $v$ :**
  - Obtenga la derivada de la función de verosimilitud con respecto a  $v$ .
  - Resuelva la ecuación  $\frac{\partial L}{\partial v} = 0$  para encontrar el estimador  $\hat{v}_{MLE}$ .
2. **Calcule la información de Fisher para  $v$ :** use que la segunda derivada de la función de log-verosimilitud es:

$$\frac{\partial^2 L(v | x)}{\partial v^2} = \frac{n}{2v^2} - \frac{1}{v^3} \sum_{i=1}^n x_i^2.$$

Obtenga la información de Fisher:

$$I(v) = -\mathbb{E} \left[ \frac{\partial^2 L(v | x)}{\partial v^2} \right].$$

3. **Cota de Cramér-Rao para  $\mu_x$ :** recuerde que  $\mu_x = \sqrt{\frac{2}{\pi}}\sqrt{v}$ . La información de Fisher para  $\mu_x$  es:

$$I(\mu_x) = I(v) \cdot \left( \frac{\partial \mu_x}{\partial v} \right)^{-2}.$$

Use esta relación para derivar la cota inferior de Cramér-Rao para  $\mu_x$ :

$$\text{CRLB}(\mu_x) = \frac{v}{n\pi}.$$

4. **Mal Especificación:** suponga ahora que, incorrectamente, asumimos que los datos siguen una distribución exponencial:

$$g(x) = \frac{1}{\beta} \exp\left(-\frac{x}{\beta}\right), \quad x \geq 0, \beta > 0.$$

La media en este caso es  $\beta$ . El estimador de MLE para  $\beta$  bajo esta suposición es:

$$\hat{\beta}_{MLE} = \bar{x} = \frac{1}{n} \sum_{i=1}^n x_i.$$

- a) Demuestre que este estimador es insesgado bajo la verdadera distribución Half-Normal.
- b) Calcule la varianza del estimador bajo la verdadera distribución Half-Normal:

$$\text{Var}(\hat{\beta}_{MLE}) = \frac{1}{n} \text{Var}_H[X] = \frac{1}{n} \left(1 - \frac{2}{\pi}\right)v.$$

5. **Eficiencia Relativa:** compare la varianza de  $\hat{\beta}_{MLE}$  con la cota inferior de Cramér-Rao para  $\mu_x$ :

$$\text{Eficiencia Relativa} = \frac{\text{CRLB}(\mu_x)}{\text{Var}(\hat{\beta}_{MLE})}.$$

Verifique que:

$$\text{Eficiencia Relativa} = \frac{1}{\pi - 2} \approx 0,876.$$

Este ejercicio muestra que, aunque el estimador  $\hat{\beta}_{MLE}$  basado en la densidad mal especificada es insesgado, no logra alcanzar la cota de Cramér-Rao y, por lo tanto, es menos eficiente que el MLE basado en la densidad correcta.

# Capítulo 11

## Introducción al análisis de series de tiempo

En este último capítulo presentamos una breve introducción a la teoría y análisis de series de tiempo. Los temas que abordamos son usualmente tratados en las primeras clases de un curso de series de tiempo: operadores de rezago, ecuaciones en diferencia y modelos ARMA. En este documento no abordamos temas más avanzados y específicos del área, como los son los modelos autorregresivos vectoriales VAR ([Sims, 1980](#)), los tests de raíz unitaria ([Perron, 1989](#)), análisis asintótico (que dicho sea de paso involucra el estudio del movimiento Browniano y el cálculo de Ito ([Karatzas and Shreve, 1991](#))), la cointegración ([Engle and Granger, 1987](#)) o el filtro de Kallman ([Kalman, 1960](#)). Recomendamos al lector consultar ([Hamilton, 1994](#)), ([Brockwell and Davis, 1991](#)) o el mismo ([Greene, 2018](#)) para un análisis completo de estos temas.

### 11.1. Conceptos básicos

**Definición 11.1.1.** Una serie de tiempo es una secuencia de observaciones separadas por intervalos de tiempo de forma regular: anual, semestral, trimestral, mensual, diaria, entre otras.

Los precios de las acciones en la bolsa, así como los precios de los metales y el tipo de cambio nominal o real, son ejemplos de series de tiempo observadas a una frecuencia diaria, lo que permite un análisis detallado de variaciones rápidas y patrones intradía.

En contraste, variables como la temperatura media mensual, la inflación mensual y las tasas de empleo y desempleo anual reflejan dinámicas de mediano y largo plazo, siendo adecuadas para estudios de estacionalidad y tendencias macroeconómicas. Además, datos anuales como el número de habitantes, la mortalidad infantil, los niveles de CO2 en Lima Metropolitana o los niveles de mercurio en los ríos ofrecen un panorama de procesos lentos que afectan el medio ambiente y la demografía, esenciales para evaluar impactos sociales y ecológicos en periodos prolongados. Estas series ilustran cómo diferentes frecuencias temporales y contextos se adaptan a diversas necesidades de análisis y modelado.

## 11.2. Ecuaciones en diferencia y operadores de rezagos

Una ecuación dinámica de orden 1 es una expresión que determina el valor en el instante  $t$  de una variable de interés  $y$  (esto se denota  $y_t$ ) según la ecuación dinámica

$$y_t = \phi y_{t-1} + u_t,$$

donde  $y_{t-1}$  es el valor de  $y_t$  rezagado 1 periodo,  $u_t$  es una variable exógena en el tiempo  $t$  y  $\phi \in \mathbb{R}$ . En este modelo, tanto  $\phi$  como  $\{u_t\}_{t \in \mathbb{Z}}$  son conocidos. Luego,

$$\begin{aligned} y_t &= \phi y_{t-1} + u_t \\ y_{t+1} &= \phi y_t + u_{t+1} \\ &= \phi(\phi y_{t-1} + u_t) + u_{t+1} \\ &= \phi^2 y_{t-1} + \phi u_t + u_{t+1} \\ y_{t+2} &= \phi y_{t+1} + u_{t+2} \\ &= \phi(\phi^2 y_{t-1} + \phi u_t + u_{t+1}) + u_{t+2} \\ &= \phi^3 y_{t-1} + \phi^2 u_t + \phi u_{t+1} + u_{t+2} \\ &\vdots \\ y_{t+j} &= \phi^{j+1} y_{t-1} + \phi^j u_t + \phi^{j-1} u_{t+1} + \dots + \phi u_{t+j-1} + u_{t+j}. \end{aligned}$$

A este modelo se le conoce también como AR(1). En la siguiente sección profundizamos y generalizamos este modelo. Antes, algunas definiciones claves en dinámica discreta.

**Definición 11.2.1. Multiplicador dinámico.** Es la respuesta de  $y$  luego de  $j$  periodos de haberse dado un impulso  $u$  en  $t$ .<sup>1</sup> Esto es:

$$\frac{\partial y_{t+j}}{\partial u_t} = \psi_j.$$

**Ejemplo 11.1.** Para una ED(1), con  $|\phi| < 1$ ,

$$\psi_j = \frac{\partial y_{t+j}}{\partial u_t} = \phi^j.$$

**Definición 11.2.2. Cambio transitorio.** Es el efecto sobre  $y_{t+j}$  considerando que  $w$  cambia en  $t$ :

$$\frac{\partial y_{t+j}}{\partial u_t} = \psi_j.$$

En este caso,  $u$  no cambia en  $t + 1, \dots, t + j$ , por lo que, simbólicamente,

$$\frac{\partial y_{t+j}}{\partial u_{t+\ell}} = 0, \quad \ell = 1, \dots, j.$$

El efecto total sobre  $y_{t+j}$  viene dado por

$$\sum_{\ell=0}^j \frac{\partial y_{t+j}}{\partial u_{t+\ell}} = \psi_j,$$

y el efecto de largo plazo de un cambio transitorio en  $u$  sobre  $y$  será entonces

$$\lim_{j \rightarrow \infty} \sum_{\ell=0}^j \frac{\partial y_{t+j}}{\partial u_{t+\ell}} = \lim_{j \rightarrow \infty} \psi_j.$$

**Ejemplo 11.2.** Para una ED(1), donde  $|\phi| < 1$ ,  $\lim_{j \rightarrow \infty} \psi_j = \lim_{j \rightarrow \infty} \phi^j = 0$ .

**Definición 11.2.3. Cambio transitorio.** Es el efecto sobre  $y_{t+j}$  considerando que varía  $w$  en  $t$  está dado por

$$\frac{\partial y_{t+j}}{\partial u_t} = \psi_j.$$

Los efectos sobre  $y_{t+j}$  para cada cambio de  $u$  en  $t + 1, \dots, t + j$  están dados por

$$\frac{\partial y_{t+j}}{\partial u_{t+1}} = \psi_{j-1}, \dots, \frac{\partial y_{t+j}}{\partial u_{t+j}} = \psi_0.$$

En este caso, el efecto total viene dado por  $\sum_{\ell=0}^j \psi_\ell$ . O sea, el efecto de largo plazo de un cambio permanente en  $u$  sobre  $y$  será

$$\lim_{j \rightarrow \infty} [\psi_j + \psi_{j-1} + \dots + \psi_0].$$

---

<sup>1</sup>Podemos tener por ejemplo un impulso de magnitud unitaria  $\Delta u_t = 1$  o uno de magnitud una desviación estándar  $\Delta u_t = \sigma_Y$ .

**Ejemplo 11.3.** En el caso de una ED(1),

$$\lim_{j \rightarrow \infty} [\psi_j + \psi_{j-1} + \cdots + \psi_0] = \lim_{j \rightarrow \infty} \sum_{\ell=0}^j \phi^\ell = \frac{1}{1 - \phi}.$$

El estudio de las ecuaciones en diferencia lineales tanto como no lineales ha sido ampliamente analizado en la literatura, ver por ejemplo (Chávez, 2022) o (Elaydi, 2005). Nosotros no vamos a profundizar en el estudio de ecuaciones en diferencia de orden 1 (estabilidad, caso no lineal, etc.) y es por ello que rápidamente nos movemos a los modelos con más de un rezago, i.e., ecuaciones dinámicas de mayor orden.

**Definición 11.2.4.** Una ED( $p$ ), i.e. ecuación dinámica de orden  $p$ , es una dinámica de la siguiente forma:

$$y_t = \phi_1 y_{t-1} + \phi_2 y_{t-2} + \cdots + \phi_p y_{t-p} + u_t. \quad (11.1)$$

En (11.1)  $u_t$  es exógeno y son conocidos los coeficientes  $\phi_1, \dots, \phi_p$ , así como la secuencia  $\{u_t\}_{t \in \mathbb{Z}}$ .

La relación dada en (11.1) puede representarse vectorialmente de la siguiente forma:

$$\boldsymbol{\varrho}_t = \mathbf{F} \boldsymbol{\varrho}_{t-1} + \mathbf{v}_t,$$

con

$$\boldsymbol{\varrho}_t = \begin{bmatrix} y_t \\ y_{t-1} \\ \vdots \\ y_{t-(p-2)} \\ y_{t-(p-1)} \end{bmatrix} \in \mathbb{R}^p, \quad \mathbf{F} = \begin{pmatrix} \phi_1 & \phi_2 & \phi_3 & \cdots & \phi_{p-1} & \phi_p \\ 1 & 0 & 0 & \cdots & 0 & 0 \\ 0 & 1 & 0 & \cdots & 0 & 0 \\ 0 & 0 & 1 & \cdots & 0 & 0 \\ \vdots & \vdots & \vdots & \cdots & \vdots & 0 \\ 0 & 0 & 0 & \cdots & 1 & 0 \end{pmatrix}, \quad \mathbf{v}_t = \begin{bmatrix} u_t \\ 0 \\ 0 \\ \vdots \\ 0 \\ 0 \end{bmatrix}.$$

De este modo, la ED( $p$ ) escalar se transforma en una ED(1) vectorial. Note que tanto  $\boldsymbol{\varrho}_{t-1}$  como  $\{\mathbf{v}_t\}_{t \in \mathbb{Z}}$  con conocidos. Finalmente,

$$\boldsymbol{\varrho}_{t+j} = \mathbf{F}^{j+1} \boldsymbol{\varrho}_{t-1} + \mathbf{F}^j \mathbf{v}_t + \mathbf{F}^{j-1} \mathbf{v}_{t+1} + \cdots + \mathbf{F} \mathbf{v}_{t+j-1} + \mathbf{v}_{t+j}. \quad (11.2)$$

Se sigue de (11.2) que

$$\frac{\partial y_{t+j}}{\partial u_t} = f_{11}^{(j)},$$

donde  $f_{k\ell}^{(j)} = [\mathbf{F}^j]_{k\ell}$ . De este modo, es de gran interés poder calcular  $f_{11}^{(j)}$ . Usando elementos básicos de álgebra lineal, se deduce que, si  $\lambda_1, \dots, \lambda_p$  son los valores propios de  $\mathbf{F}$ , que satisfacen

$$\lambda^p - \phi_1\lambda^{p-1} - \phi_2\lambda^{p-2} - \dots - \phi_{p-1}\lambda - \phi_p = 0,$$

entonces,

$$\frac{\partial y_{t+j}}{\partial u_t} = f_{11}^{(j)} = \delta_1\lambda_1^j + \dots + \delta_p\lambda_p^j,$$

con

$$\delta_i = \frac{\lambda_i^{p-1}}{\prod_{k \neq i} (\lambda_i - \lambda_k)}.$$

Por último, el sistema será estable si  $|\lambda_i| < 1$  para todo  $i = 1, \dots, p$ . La justificación se encuentra en (Elaydi, 2005).

**Definición 11.2.5. Operador de rezago.** Es el operador (es decir aplicación lineal), que permite desplazar una serie hacia atrás (un periodo):

$$Lx_t = x_{t-1}.$$

**Ejemplo 11.4.** Se tiene que:

1.  $x_{t-2} = Lx_{t-1} = L^2x_t$ .
2.  $ax_t + bx_{t-1} = (a + bL)x_t$ .
3.  $[1 - (\lambda_1 + \lambda_2)L + \lambda_1\lambda_2L^2]x_t = (1 - \lambda_1L)(1 - \lambda_2L)x_t$ .

**Definición 11.2.6.** Un polinomio de grado finito para  $L$  es, por ejemplo:

$$\Upsilon_q(L) = \psi_0 + \psi_1L + \dots + \psi_qL^q.$$

Por otro lado, un polinomio de grado infinito para  $L$  es:

$$\Upsilon_\infty(L) = \psi_0 + \psi_1L + \dots = \sum_{j=0}^{\infty} \psi_jL^j.$$

Note que si  $c$  es una constante,  $\Upsilon(L)c = \Upsilon(1)c$ . Por lo tanto,  $Lc = c$ ,  $(a + bL)c = a + bc$ , etc.

**Definición 11.2.7. Operador de avance.** Se define al operador de avance  $L^{-1}$  como aquel operador tal que  $L^{-1}x_t = x_{t+1}$ .

**Ejemplo 11.5.** Por ejemplo,  $x_t = y_t + \beta y_{t+1} + \dots + \beta^T y_{t+T} = \left( \sum_{j=0}^T \beta^j L^{-j} \right) y_t$ .

En el caso de una ED(1),

$$\begin{aligned} y_t &= \phi y_{t-1} + u_t \\ y_t &= \phi L y_t + u_t \\ (1 - \phi L) y_t &= u_t \\ (1 - \phi^{t+1} L^{t+1}) y_t &= (1 + \phi L + \phi^2 L^2 + \dots + \phi^t L^t) u_t \\ y_t &= \phi^{t+1} y_{-1} + u_t + \phi u_{t-1} + \dots + \phi^t u_0. \end{aligned}$$

En caso  $|\phi| < 1$ ,  $\phi^{t+1} y_{-1} \rightarrow 0$ . Por lo tanto,

$$y_t = (1 + \phi L + \phi^2 L^2 + \dots) u_t = (1 - \phi L)^{-1} u_t = \left( \frac{1}{1 - \phi L} \right) u_t.$$

**Definición 11.2.8. Ecuación en diferencias de orden 2.** Una ED(2) es una ecuación de la forma

$$y_t = \phi_1 y_{t-1} + \phi_2 y_{t-2} + u_t.$$

Usando el operador de rezago, podemos escribirla como

$$(1 - \phi_1 L - \phi_2 L^2) y_t = u_t.$$

Ahora bien,

$$\Phi(L) = 1 - \phi_1 L - \phi_2 L^2 = (1 - \lambda_1 L)(1 - \lambda_2 L),$$

donde  $\lambda_1 + \lambda_2 = \phi_1$ , y  $\lambda_1 \lambda_2 = -\phi_2$ . De manera general, las raíces de  $\Phi(z) = 1 - \phi_1 z - \phi_2 z^2 = 0$  son

$$z_1 = \frac{\phi_1 + \sqrt{\phi_1^2 + 4\phi_2}}{-2\phi_2}, \quad z_2 = \frac{\phi_1 - \sqrt{\phi_1^2 + 4\phi_2}}{-2\phi_2}.$$

Por lo tanto  $\lambda_1 = \frac{1}{z_1}$  y  $\lambda_2 = \frac{1}{z_2}$ . Reemplazando  $z$  por  $\lambda^{-1}$ , se obtiene el polinomio característico de la ED(2),

$$p_2(\lambda) = \lambda^2 - \phi_1 \lambda - \phi_2.$$

Una ED(2) es estable siempre que  $|\lambda_1|, |\lambda_2| < 1$ . Esto es, que  $|z_1|, |z_2| > 1$ . Note que los  $\lambda_i$  son justamente las raíces del polinomio característico de  $\mathbf{F} \in \mathcal{M}_{2 \times 2}$ :

$$\mathbf{F} = \begin{bmatrix} \phi_1 & \phi_2 \\ 1 & 0 \end{bmatrix}.$$

Dado que ED(2) se puede escribir como  $\underbrace{(1 - \phi_1 L - \phi_2 L^2)}_{\Phi(L)} y_t = u_t$ ,

$$\begin{aligned} y_t &= (1 - \lambda_1 L)^{-1} (1 - \lambda_2 L)^{-1} u_t \\ &= \left[ \left( \frac{1}{\lambda_1 - \lambda_2} \right) \left( \frac{\lambda_1}{1 - \lambda_1 L} - \frac{\lambda_2}{1 - \lambda_2 L} \right) \right] u_t \\ &= \left[ \underbrace{\left( \frac{\lambda_1}{\lambda_1 - \lambda_2} \right)}_{=c_1} \left( \frac{1}{1 - \lambda_1 L} \right) + \underbrace{\left( -\frac{\lambda_2}{\lambda_1 - \lambda_2} \right)}_{=c_2} \left( \frac{1}{1 - \lambda_2 L} \right) \right] u_t \\ &= [c_1(1 + \lambda_1 L + \lambda_1^2 L^2 + \dots) + c_2(1 + \lambda_2 L + \lambda_2^2 L^2 + \dots)] u_t \\ &= (\psi_0 + \psi_1 L + \psi_2 L^2 + \dots) u_t \\ &= \underbrace{\Upsilon(L)}_{=[\Phi(L)]^{-1}} u_t. \end{aligned}$$

Puesto que

$$y_{t+j} = \Upsilon(L) u_{t+j} = \psi_0 u_{t+j} + \psi_1 u_{t+j-1} + \dots + \psi_j u_t,$$

se tiene que

$$\frac{\partial y_{t+j}}{\partial u_t} = \psi_j = \delta_1 \lambda_1^j + \delta_2 \lambda_2^j,$$

donde

$$\begin{aligned} \delta_1 &= \frac{\lambda_1}{\lambda_1 - \lambda_2} \\ \delta_2 &= -\frac{\lambda_2}{\lambda_1 - \lambda_2} \\ \delta_2 &= 1 - \delta. \end{aligned}$$

A grandes rasgos, las series de tiempo pueden clasificarse en las que son estacionarias y las que no lo son. Una serie es estacionaria cuando es estable, en otras palabras, cuando la media y la variabilidad son constantes a lo largo del tiempo. Esto se refleja gráficamente en que los valores de la serie tienden a oscilar alrededor de una media constante y la variabilidad con respecto a esa media también permanece constante en el tiempo. Por otro lado, las no estacionarias son series en las cuales la media y/o variabilidad cambian en el tiempo. Los cambios en la media determinan una tendencia a crecer o decrecer a largo plazo, por lo que la serie no oscila alrededor de un valor constante. A continuación vamos a explorar los modelos univariados estacionarios.

### 11.3. Modelos univariados estacionarios

Primero, algunos conceptos elementales de series de tiempo:

1. Una serie de tiempo es una secuencia de observaciones de una variable que han sido registradas en momentos sucesivos del tiempo y se representa como  $\{y_t\}_{t=1}^T$ .
2. El horizonte para el cual se dispone la serie es finito,  $t = 1, \dots, T$ .
3.  $T$  es la talla de la muestra.
4. Una serie de tiempo puede ser vista como un segmento finito de una secuencia doblemente infinita  $\{y_t\}_{t \in \mathbb{Z}}$ .
5. La frecuencia de una serie de tiempo es la periodicidad con la que se registran observaciones.
6. Tick: frecuencia en el ámbito financiero que no sigue una escala temporal fija.

**Definición 11.3.1. Proceso estocástico.** Es una secuencia de variables aleatorias  $\{Y_t\}_{t \in \mathcal{T}}$  definidas sobre un espacio de probabilidad  $(\Omega, \mathcal{F}, \mathbb{P})$ . Se denota  $y_t$  la realización de  $Y_t$ , donde  $Y_t \sim \mathcal{D}(\theta)$ . Esto es,  $\{y = Y(\omega) : \omega \in \Omega\}$  son las realizaciones sobre sendas muestrales del proceso estocástico.

Una serie de tiempo suele denominar la realización pero también el proceso generador de datos de dicha realización: hay que tener cuidado.

**Definición 11.3.2. Modelo ARMA.** Es un modelo que describe la dependencia lineal entre observaciones pasadas y presentes.<sup>2</sup>

**Ejemplo 11.6.** Por ejemplo, un ARMA(2, 0) es de la forma:

$$Y_t = c + \phi_1 Y_{t-1} + \phi_2 Y_{t-2} + \epsilon_t, \quad \epsilon_t \sim \mathcal{N}(0, \sigma^2).$$

**Definición 11.3.3. Modelos ARCH (modelo de volatilidad).** Son modelos que modelan variabilidad cambiante en el tiempo.<sup>3</sup>

<sup>2</sup>Daremos una definición más detallada más adelante en este capítulo.

<sup>3</sup>Estos modelos no se estudian en este capítulo pues, corresponden a un curso propiamente de series de tiempo.

**Ejemplo 11.7.** Por ejemplo, los siguientes son modelos ARCH

1.  $Y_t = \mu + \epsilon_t$  con  $\epsilon_t \sim \mathcal{N}(0, \sigma_t^2)$
2.  $\sigma_t^2 = \omega + \alpha_1 \epsilon_{t-1}^2 + \beta \sigma_{t-1}^2$ .

**Definición 11.3.4. Proceso generador de datos vs modelo.** Es el mecanismo real, desconocido, que genera los datos observados. El modelo es una aproximación simplificada del proceso generador de datos. Por ejemplo, el PGD de las acciones puede incluir factores económicos fundamentales (PBI, tasa de interés, desempleo, inflación...), noticias y eventos (fusiones, cambios regulatorios), sentimiento del mercado y psicología de los inversores, eventos globales.

**Definición 11.3.5. Especificación.** La especificación completa de una serie de tiempo se realiza mediante:

1. La forma funcional del modelo: linealidad, interacciones, etc.
2. Distribución de los términos de error.
3. Parámetros.

**Ejemplo 11.8.** En este ejemplo presentamos algunas sencillas series de tiempo determinísticas y no determinísticas. Para el caso de las series de tiempo determinísticas podemos tener, por ejemplo:

1. Intercepto o constante:  $y_t = \delta$ .
2. Tendencia lineal sin intercepto:  $y_t = \gamma t$ .
3. Tendencia lineal con intercepto:  $y_t = \delta + \gamma t$ .

En cuanto a las no determinísticas, por ejemplo:

1. Ruido blanco (Gaussian noise):  $Y_t = \epsilon_t$  con  $\epsilon_t \sim \mathcal{N}(0, \sigma^2)$ .
2. AR(1):  $Y_t = c + \phi Y_{t-1} + \epsilon_t$ , con  $\epsilon_t \sim \mathcal{N}(0, \sigma^2)$ .

Una vez especificado el modelo, se estimada utilizando técnicas de máxima verosimilitud o mínimos cuadrados ordinarios. Luego de la estimación, se realiza un diagnóstico. Básicamente consiste en evaluar si el modelo ajustado es adecuado para los datos. Esto es, se hacen pruebas de bondad de ajuste, pruebas de normalidad en los residuos, análisis de autocorrelación serial o heterocedasticidad etc. Finalmente, una vez validado el modelo, se puede utilizar para realizar pronósticos (forecast). Veamos ahora cómo se descompone una serie de tiempo y dos conceptos de estacionariedad más específicos.

## 11.4. Descomposición y estacionariedad

El objetivo es descomponer la serie de tiempo observable en componentes no observables que permitan evidenciar definitivamente sus características. Se plantea

$$Y_t = f(T_t, S_t, C_t, \epsilon_t),$$

donde  $T_t$  es la tendencia,  $S_t$  el componente estacional,  $C_t$  el componente cíclico y  $\epsilon_t$  el residuo. Tanto  $T_t$  como  $S_t$  son determinísticos. Luego, existen diversas descomposiciones. Por ejemplo, la aditiva ( $Y_t = T_t + S_t + I_t$ ), o la multiplicativa  $Y_t = T_t S_t I_t$ . El componente tendencial<sup>4</sup> es de largo plazo, mientras que  $C_t$  y  $S_t$ <sup>5</sup> son movimientos a corto plazo y  $\epsilon_t$  las fluctuaciones. Finalmente, en el caso de la descomposición multiplicativa,  $Y_t = T_t S_t I_t$ , se suelen aplicar logaritmos

$$\ln Y_t = \ln T_t + \ln S_t + \ln I_t,$$

volviendo así a una descomposición aditiva.

**Definición 11.4.1.** Un proceso  $\{Y_t\}$  es **débilmente estacionario** si su primer y segundo momento no dependen de  $t$ . Esto es,

1.  $\mu_t = \mathbb{E}[Y_t] = \mu$
2.  $\kappa_{0,t} = \text{Var}[Y_t] = \mathbb{E}[(Y_t - \mu)^2] = \kappa_0$

<sup>4</sup>Por ejemplo si es creciente, decreciente o plano. No muestra variabilidad a corto plazo ni movimiento rápidos.

<sup>5</sup>El componente estacional, que resulta de la asociación de la serie en  $t$  con su valor en  $t - d$ . Es clave que se desestacione la serie para poder obtener hacer inferencia estadística.

$$3. \kappa_{j,t} = \text{Cov}[Y_t, Y_{t-j}] = \kappa_j.$$

Recordemos que

$$\begin{aligned} \kappa_{j,t} &= \text{Cov}[Y_t, Y_{t-j}] \\ &= \mathbb{E}[(Y_t - \mu_t)(Y_{t-j} - \mu_{t-j})] \\ &= \int \cdots \int (y_t - \mu_t)(y_{t-j} - \mu_{t-j}) f_{Y_t, Y_{t-1}, \dots, Y_1}(y_t, \dots, y_{t-j}) dy_t dy_{t-1} \cdots dy_1. \end{aligned}$$

**Definición 11.4.2.** Un proceso es **estrictamente estacionario** si para cualesquiera conjunto de índices  $(j_1, \dots, j_n)$ , la distribución  $(Y_t, Y_{t+j_1}, \dots, Y_{t+j_n})$  y  $(Y_\tau, Y_{\tau+j_1}, \dots, Y_{\tau+j_n})$  son las mismas.

**Definición 11.4.3. Ergodicidad.** Sea  $(Y_1, \dots, Y_T)$  el conjunto de variables aleatorias generadora del conjunto de realizaciones  $(y_1, \dots, y_T)$ . El promedio temporal se define como  $\bar{Y}_T = \frac{1}{T} \sum_{t=1}^T Y_t$ . Entonces, diremos que el proceso es ergódico para el primer momento si  $\bar{Y}_T \rightarrow \mathbb{E}[Y_t]$ .

Un proceso estacionario  $\{Y_t\}$  será ergódico para la media siempre que cumpla condición de suficiencia

$$\underbrace{\sum_{j=0}^{\infty} |\kappa_j|}_{\text{sumabilidad absoluta de autocovarianzas}} < \infty .$$

## 11.5. Procesos ARMA

Los conceptos que presentamos en esta sección ya han sido introducidos en el capítulo 9. Sin embargo, en esta sección profundizamos más en diferentes aspectos que conciernen los modelos ARMA. El objetivo es también calcular la función de autocorrelación de los modelos ARMA.

**Ejemplo 11.9.** Considere un proceso de ruido blanco independiente  $\{\epsilon_t\}$ . Éste satisface las condiciones  $\mathbb{E}[\epsilon_t] = 0$ ,  $\text{Var}[\epsilon_t] = \sigma^2$  y  $\epsilon_t \perp \epsilon_\tau$ . Como resultado,  $\text{Cov}[\epsilon_t, \epsilon_\tau] = 0$  para  $t \neq \tau$ . En particular,  $\kappa_j = \text{Cov}[\epsilon_t, \epsilon_{t-j}] = 0$ . Por lo tanto, la función de autocorrelación (ACF) del ruido blanco está definida como

$$\rho_j = \frac{\psi_j}{\psi_0} = \begin{cases} 1, & \text{si } j = 0 \\ 0, & \text{caso contrario.} \end{cases}$$

Los modelos de medias móviles (MA) son una clase de procesos estocásticos que expresan la variable observada como una combinación lineal de perturbaciones aleatorias pasadas. Estos modelos capturan la dependencia temporal mediante los rezagos de los términos de error. El caso más sencillo de modelo MA es el modelo MA(1), estudiado en el siguiente ejemplo.

**Ejemplo 11.10.** Un modelo MA(1) especifica que

$$Y_t = \mu + \epsilon_t + \theta\epsilon_{t-1},$$

donde  $\epsilon_t \sim \text{i.i.d.}(0, \sigma^2)$ . Utilizando el operador de rezago, esta expresión puede escribirse como

$$Y_t = \Theta(L)\epsilon_t,$$

con  $\Theta(L) = 1 + \theta L$ . En este caso,  $\mu = \mathbb{E}[Y_t] = 0$ ,  $\gamma_0 = \text{Var}[Y_t] = (1 + \theta^2)\sigma^2$ , y  $\kappa_j = \theta\sigma^2$  para  $j = 1$ , mientras que  $\kappa_j = 0$  para  $j > 1$ . Por lo tanto, la función de autocorrelación está definida como

$$\rho_j = \frac{\kappa_j}{\kappa_0} = \begin{cases} 1, & \text{si } j = 0 \\ \frac{\theta}{1+\theta^2} & \text{si } j = 1 \\ 0 & \text{caso contrario.} \end{cases}$$

**Ejemplo 11.11.** Para un modelo MA( $q$ ), la expresión general es

$$Y_t = \mu + \epsilon_t + \theta_1\epsilon_{t-1} + \theta_2\epsilon_{t-2} + \dots + \theta_q\epsilon_{t-q}.$$

Esto puede representarse usando el operador de rezago como

$$\Theta(L) = 1 + \theta_1L + \theta_2L^2 + \dots + \theta_qL^q.$$

Se tiene que  $\mu = \mathbb{E}[Y_t] = 0$ ,  $\kappa_0 = \text{Var}[Y_t] = (1 + \theta_1^2 + \dots + \theta_q^2)\sigma^2$ , y para  $\kappa_j$ , si  $j \leq q$ , la expresión está dada por  $\kappa_j = (\theta_j + \theta_{j+1}\theta_1 + \theta_{j+2}\theta_2 + \dots + \theta_q\theta_{q-j})\sigma^2$ , mientras que  $\kappa_j = 0$  para  $j > q$ . En este caso, la función de autocorrelación es

$$\rho_j = \frac{\kappa_j}{\kappa_0} = \begin{cases} 1, & \text{si } j = 0 \\ \frac{\theta_j + \theta_{j+1}\theta_1 + \dots + \theta_q\theta_{q-j}}{1 + \theta_1^2 + \dots + \theta_q^2}, & \text{si } j = 1, 2, \dots, q \\ 0, & \text{para } j > q \end{cases}$$

Tras analizar los modelos de medias móviles (MA), ahora consideremos los modelos autorregresivos (AR), los cuales incorporan la dependencia lineal entre las observaciones pasadas y la actual.

**Ejemplo 11.12.** El modelo AR(1) está definido como

$$Y_t = c + \phi Y_{t-1} + \epsilon_t,$$

con  $\epsilon_t \sim \text{i.i.d.}(0, \sigma^2)$ .<sup>6</sup> Utilizando el operador de rezago, esto se escribe como  $\Phi(L)Y_t = c + \epsilon_t$ , donde  $\Phi(L) = 1 - \phi L$ . La media del proceso es  $\mu = \mathbb{E}[Y_t] = \frac{c}{1-\phi}$ , y la varianza está dada por  $\kappa_0 = \text{Var}[Y_t] = \left(\frac{1}{1-\phi^2}\right)\sigma^2$ . A partir de esto deducimos que la función de autocovarianza es  $\kappa_j = \phi^j \kappa_0$ , y la función de autocorrelación es

$$\rho_j = \frac{\kappa_j}{\kappa_0} = \phi^j.$$

**Ejemplo 11.13.** En el caso general de un modelo AR( $p$ ), la ecuación que define el modelo es

$$Y_t = c + \phi_1 Y_{t-1} + \phi_2 Y_{t-2} + \dots + \phi_p Y_{t-p} + \epsilon_t,$$

con  $\epsilon_t \sim \text{i.i.d.}(0, \sigma^2)$ . El operador de rezago está dado por  $\Phi(L) = 1 - \phi_1 L - \dots - \phi_p L^p$ . Si las raíces de  $\Phi(z)$  caen fuera del círculo unitario, se puede representar el proceso como  $Y_t = \mu + \Upsilon(L)\epsilon_t$ , donde  $\Upsilon(L)$  es la inversa de  $\Phi(L)$ . La media del proceso es

$$\mu = \mathbb{E}[Y_t] = \frac{c}{1 - \sum_{k=1}^p \phi_k},$$

y la varianza está determinada por una relación recursiva entre las autocovarianzas:  $\kappa_0 = \phi_1 \kappa_1 + \dots + \phi_p \kappa_p + \sigma^2$  y  $\kappa_j = \phi_1 \kappa_{j-1} + \phi_2 \kappa_{j-2} + \dots + \phi_p \kappa_{j-p}$  para  $j = 1, 2, \dots$ . Finalmente, la función de autocorrelación está definida de la manera siguiente:

$$\rho_j = \frac{\kappa_j}{\kappa_0} = \begin{cases} 1, & \text{si } j = 0 \\ \phi_1 \rho_{j-1} + \dots + \phi_p \rho_{j-p} & \text{si } j = 1, 2, \dots \end{cases}$$

Los modelos ARMA son justamente aquellos que combinan la estructura autorregresiva de los modelos AR con las medias móviles del MA. Para un modelo ARMA( $p, q$ ), la expresión general es

$$Y_t = c + \phi_1 Y_{t-1} + \phi_2 Y_{t-2} + \dots + \phi_p Y_{t-p} + \epsilon_t + \theta_1 \epsilon_{t-1} + \dots + \theta_q \epsilon_{t-q}.$$

---

<sup>6</sup>Note la similitud con una ED(1).

Nuevamente,  $p$  indica los rezagos a considerar en la variable  $Y$  mientras que  $q$  indica los rezagos en los errores. Luego, el operador de rezago para el ARMA se define como  $\Phi(L)Y_t = c + \Theta(L)\epsilon_t$ , donde  $\Phi(L) = 1 - \phi_1L - \dots - \phi_pL^p$  y  $\Theta(L) = 1 + \theta_1L + \dots + \theta_qL^q$ . La estacionariedad del proceso está garantizada si todas las raíces de  $\Phi(z) = 0$  caen fuera del círculo unitario, mientras que la invertibilidad se asegura si las raíces de  $\Theta(z) = 0$  también cumplen esta condición. En este caso, el proceso puede representarse como un  $MA(\infty)$  o  $AR(\infty)$  dependiendo de las propiedades del polinomio característico. En efecto, en caso el proceso sea estacionario,

$$Y_t = \left( \frac{1}{\Phi(L)} \right) c + \left( \frac{\Theta(L)}{\Phi(L)} \right) \epsilon_t = \mu + \Upsilon(L)\epsilon_t.$$

Si definimos

$$\Upsilon(L) = \frac{1 + \theta_1L + \theta_2L^2 + \dots + \theta_qL^q}{1 - \phi_1L - \phi_2L^2 - \dots - \phi_pL^p} = \psi_0 + \psi_1L + \dots$$

siendo  $\psi_0, \psi_1, \dots$  los parámetros del  $MA(\infty)$  con  $\psi_0 = 1$  y  $\sum_{j=0}^{\infty} |\psi_j| < \infty$ , logramos expresar  $Y_t$  como un  $MA(\infty)$ . Además, cuando  $\Theta$  es invertible,

$$\begin{aligned} \Phi(L)(Y_t - \mu) &= \Theta(L)\epsilon_t \\ \left( \frac{\Phi(L)}{\Theta(L)} \right) (Y_t - \mu) &= \epsilon_t \\ \Omega(L)(Y_t - \mu) &= \epsilon_t \\ \Omega(L) &= \frac{1 - \sum_{k=1}^p \phi_k L^k}{1 + \sum_{k=1}^q \theta_k L^k}. \end{aligned}$$

Obtenemos así la representación  $AR(\infty)$ .

Para analizar una muestra observada  $\{Y_t\}_{t=1, \dots, T}$ , y hacer inferencia, se comienza calculando la media muestral  $\hat{\mu}$ , definida como:

$$\hat{\mu} = \frac{1}{T} \sum_{t=1}^T Y_t.$$

Posteriormente, se estima la función de autocovarianza muestral  $\hat{\gamma}_j$ , la cual está dada por:

$$\hat{\gamma}_j = \frac{1}{T} \sum_{t=j+1}^T (Y_t - \hat{\mu})(Y_{t-j} - \hat{\mu}).$$

A partir de esta, se define la función de autocorrelación muestral  $\hat{\rho}_j$ , expresada como:

$$\hat{\rho}_j = \frac{\hat{\gamma}_j}{\hat{\gamma}_0} = \frac{\sum_{t=j+1}^T (Y_t - \hat{\mu})(Y_{t-j} - \hat{\mu})}{\sum_{t=1}^T (Y_t - \hat{\mu})^2}.$$

Estos elementos permiten evaluar la presencia de autocorrelación en los datos.

Para contrastar la hipótesis nula de no autocorrelación,  $H_0 : \rho_j = 0$ , se utiliza el estadístico  $\sqrt{T}(\hat{\rho}_j - 0)$ , el cual, según el Teorema Central del Límite, converge en distribución a  $N(0, 1)$ . Esto implica que  $H_0$  se rechaza al nivel de significancia individual  $\alpha$  si

$$|\sqrt{T}\hat{\rho}_j| > z_{1-\alpha/2}.$$

Por ejemplo, para  $\alpha = 0,05$ ,  $H_0$  se rechaza si:

$$|\hat{\rho}_j| > \frac{1,96}{\sqrt{T}}.$$

Además, la hipótesis de no autocorrelación grupal, definida como  $\rho_1 = \rho_2 = \dots = \rho_J = 0$ , puede evaluarse utilizando pruebas conjuntas (ya estudiadas en el capítulo 2). (Box and Pierce, 1970) proponen el estadístico:

$$Q(J) = T \sum_{j=1}^J \hat{\rho}_j^2,$$

que asintóticamente sigue una distribución  $\chi^2(J)$ . Por lo tanto, se rechaza  $H_0$  al nivel de significancia  $\alpha$  si:

$$Q(J) > \chi_{1-\alpha}^2(J).$$

(Ljung and Box, 1978) mejoran este enfoque introduciendo el estadístico:

$$Q^*(J) = T(T+2) \sum_{j=1}^J \frac{\hat{\rho}_j^2}{T-j},$$

que también sigue una distribución  $\chi^2(J)$ .

Algunos comentarios finales para terminar esta sección. Otro concepto clave es la función de autocorrelación parcial (PACF), que mide la dependencia lineal entre  $Y_t$  y su rezago  $Y_{t-j}$ , eliminando el efecto de los rezagos intermedios. Formalmente, el coeficiente  $\phi_{jj}$  se obtiene de la regresión de orden  $j$ , representada como:

$$Y_t - \mu = \phi_{1j}(Y_{t-1} - \mu) + \dots + \phi_{jj}(Y_{t-j} - \mu) + \epsilon_t.$$

La PACF muestral (SPACF) de orden  $j$ ,  $\hat{\phi}_{jj}$ , puede calcularse mediante la recursión de Durbin-Levinson. Ver (Levinson, 1946) y (Durbin, 1960).

Por último, para seleccionar un modelo ARMA que se ajuste adecuadamente a los datos, se emplean criterios de información como el criterio de Akaike (AIC) y el criterio bayesiano (BIC). El AIC se define como:

$$AIC(p, q) = \ln \hat{\sigma}^2 + \frac{2(p+q)}{T},$$

mientras que el BIC se expresa como:

$$BIC(p, q) = \ln \hat{\sigma}^2 + \frac{\ln T(p+q)}{T}.$$

Ambos criterios equilibran el ajuste del modelo con una penalización por la complejidad, evitando sobreajuste. Para aplicar estos criterios, se establecen cotas superiores para los parámetros  $p$  y  $q$ , digamos  $P$  y  $Q$ , y se estiman los parámetros del modelo ARMA( $p, q$ ) para cada combinación dentro de este rango. El mejor modelo es aquel que minimiza el criterio seleccionado, es decir:

$$(p^*, q^*) = \operatorname{argmin}_{p \leq P, q \leq Q} IC(p, q),$$

donde  $IC$  puede ser AIC o BIC dependiendo del criterio elegido.

A continuación algunos ejemplos que retoman desde la perspectiva empírica conceptos teóricos presentados en este capítulo: descomposición STL, modelos ARMA (más adelante también los ARIMA) y criterios de información. Veamos.

**Ejemplo 11.14.** En este ejemplo, trabajamos exclusivamente con series de tiempo mensuales, extraídas desde la API del Banco Central de Reserva del Perú (BCRP). El ejemplo introduce conceptos clave como los modelos ARIMA, la descomposición STL, e ilustra el uso de los los criterios de selección de modelos. Las series mensuales son ideales para el análisis de mediano plazo y el modelado de patrones regulares, ya que permiten identificar componentes estructurales de manera más clara en comparación con las series diarias, que capturan fluctuaciones más rápidas. Para este propósito, la descomposición STL (Seasonal-Trend Decomposition using LOESS).<sup>7</sup>

<sup>7</sup>LOESS (Locally Estimated Scatterplot Smoothing) es un método no paramétrico de suavizamiento que ajusta regresiones locales en subconjuntos de datos para estimar tendencias sin asumir una forma funcional fija. Se basa en ponderar puntos cercanos usando funciones kernel y ajustar regresiones polinómicas locales. En STL (Seasonal-Trend Decomposition using LOESS), LOESS se usa para separar tendencia y estacionalidad en series temporales, permitiendo capturar patrones no lineales de manera flexible.

Como se muestra en las figuras 11.1 y 11.2 se revela una clara tendencia ascendente acompañada de fluctuaciones estacionales, probablemente vinculadas a exportaciones de productos agrícolas o mineros. La descomposición STL permite separar la serie en sus componentes principales: la tendencia, que refleja cambios a largo plazo con posibles variaciones asociadas a eventos estructurales; la estacionalidad, que muestra un patrón repetitivo, ya sea anual o mensual; y los residuos, que capturan la variabilidad no explicada, incluyendo picos asociados a eventos excepcionales, como incrementos en los precios de commodities.

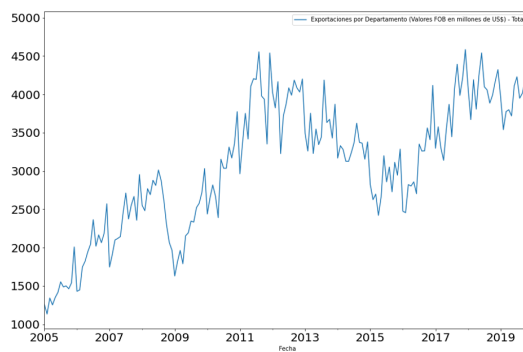


Figura 11.1 Exportaciones por Departamento.

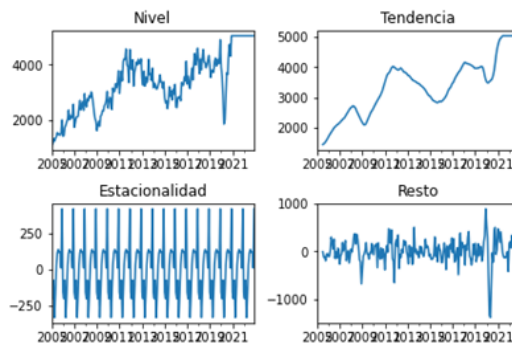


Figura 11.2 Tendencia, Estacionalidad y Resto.

El mismo análisis se efectúa para la liquidez de las sociedades creadoras de depósito (figuras 11.3 y 11.4), y el índice de precios Lima Metropolitana. La figura 11.5 evidencia que la serie posee tendencia (no es estacionaria). Lo mismo aplica para el PBI, figuras 11.7 y 11.8.

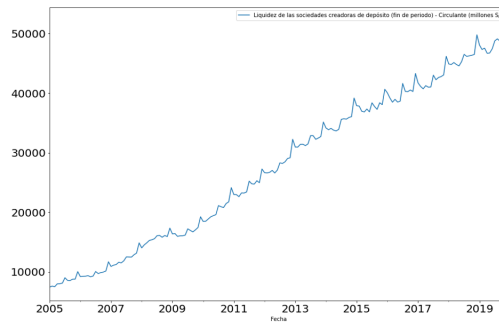


Figura 11.3 Liquidez de las sociedades creadoras de depósito.

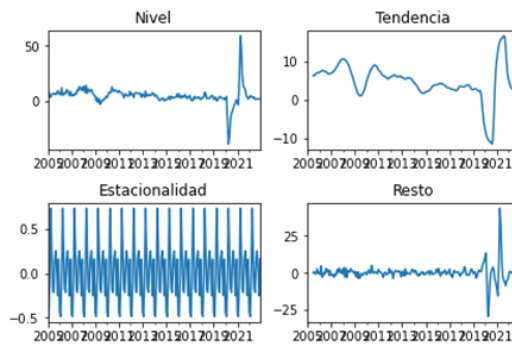


Figura 11.4 Tendencia, Estacionalidad y Resto.

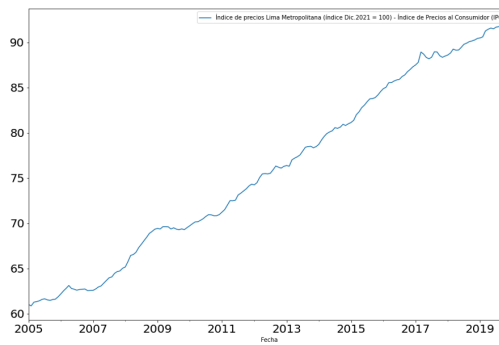


Figura 11.5 Índice de precios Lima Metropolitana

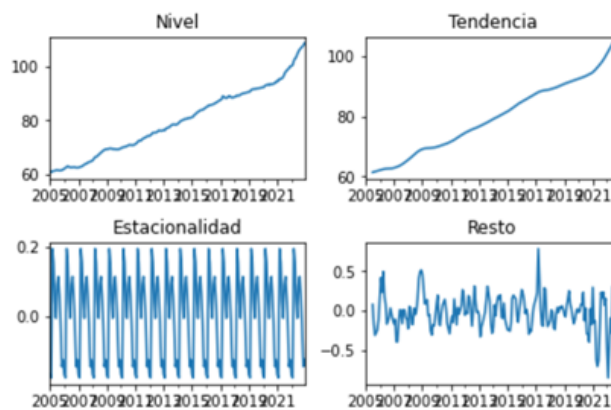


Figura 11.6 Tendencia, Estacionalidad y Resto.

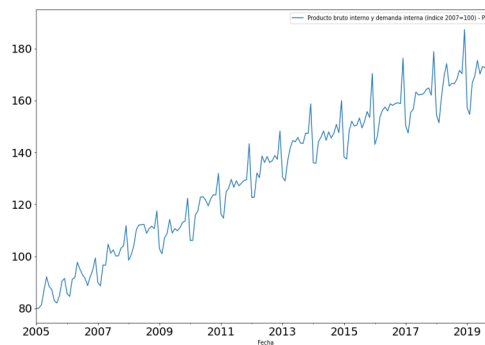


Figura 11.7 Producto bruto interno y demanda interna.

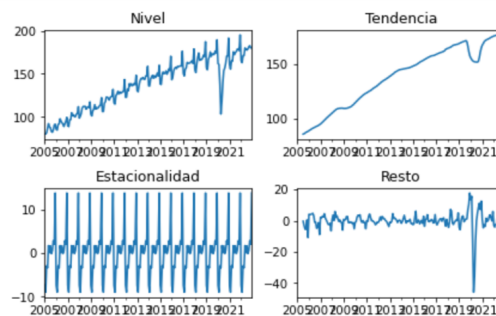


Figura 11.8 Tendencia, Estacionalidad y Resto.

Para poder entender el siguiente ejemplo, es necesario definir los modelos ARIMA. La principal diferencia entre un modelo ARMA (Autoregressive Moving Average) y un modelo ARIMA (Autoregressive Integrated Moving Average) radica en su tratamiento de la estacionariedad y la cantidad de parámetros involucrados. El modelo ARMA

asume que la serie de tiempo es estacionaria, es decir, que no presenta tendencia ni varianza cambiante, y se define mediante dos parámetros:  $p$  (orden de la parte autorregresiva) y  $q$  (orden de la parte de media móvil). En contraste, el modelo ARIMA extiende esta estructura al incluir un componente de diferenciación, representado por el parámetro  $d$  (grado de diferenciación), que transforma una serie no estacionaria en estacionaria antes de aplicar las partes AR y MA. Este proceso permite a ARIMA trabajar con series de tiempo más complejas, caracterizándose por tres parámetros principales:  $(p, d, q)$ . Además, al incorporar componentes estacionales mediante SARIMA (Seasonal ARIMA), se añaden parámetros adicionales  $(P, D, Q, m)$ . Estos parámetros permiten capturar tanto la dinámica regular de corto plazo como las fluctuaciones periódicas estacionales. El parámetro  $P$  representa el orden autorregresivo estacional,  $D$  es el grado de diferenciación estacional,  $Q$  es el orden de la parte de media móvil estacional, y  $m$  es la periodicidad estacional (por ejemplo,  $m = 12$  para datos mensuales).

**Ejemplo 11.15.** En este ejemplo, se aborda el uso del modelo ARIMA para series de tiempo mensuales, optimizando sus parámetros mediante validación cruzada y evaluando su precisión con métricas clave como el RMSE y el MAPE. El RMSE mide el error absoluto penalizando grandes desviaciones y proporciona resultados en unidades de la variable original, mientras que el MAPE mide el error relativo en términos porcentuales, facilitando la interpretación del desempeño del modelo. La combinación de estas métricas permite seleccionar el modelo óptimo y garantizar predicciones más precisas. En su forma general, un proceso ARIMA se define como

$$y_t^d = c + \phi_1 y_{t-1}^d + \cdots + \phi_p y_{t-p}^d + \varepsilon_t + \theta_1 \varepsilon_{t-1} + \cdots + \theta_q \varepsilon_{t-q},$$

donde  $d$  es el número de diferenciaciones necesarias para estacionalizar la serie. Usando el operador de rezago, esto se escribe como

$$(1 - \phi_1 L - \cdots - \phi_p L^p)(1 - L)^d y_t = c + (1 + \theta_1 L + \cdots + \theta_q L^q) \varepsilon_t.$$

La validación cruzada, una técnica utilizada para evaluar el rendimiento de modelos predictivos, se basa en dividir los datos originales en subconjuntos de entrenamiento y prueba para asegurar que el modelo generalice bien a datos no vistos. En este contexto, la validación cruzada se realiza dividiendo la serie en datos de entrenamiento y prueba,

evaluando el RMSE (Root Mean Square Error) para medir el error de predicción y optimizar los parámetros del modelo.

$$\sqrt{\frac{1}{k} \sum_{h=1}^k e_{T+h}^2},$$

y el MAPE

$$\frac{1}{|J|} \sum_{t \in J} \left| \frac{100\varepsilon_t}{y_t} \right|,$$

donde  $k$  es el número de predicciones y  $|J|$  el tamaño de las observaciones. El mejor ajuste, considerando  $d = 1$ , para las exportaciones por departamento  $\{y_t\}$  es

$$y_t^1 = c + \sum_{j=1}^8 \phi_j y_{t-j}^1 + \sum_{j=1}^6 \theta_j \varepsilon_{t-j},$$

mientras que para el PBI  $\{z_t\}$  es

$$z_t^1 = c + \sum_{j=1}^7 \phi_j z_{t-j}^1 + \sum_{j=1}^6 \theta_j \varepsilon_{t-j}.$$

El gráfico 11.9 representa la evolución de las exportaciones por departamento en millones de USD, mostrando una tendencia creciente a lo largo del tiempo con notables fluctuaciones cíclicas. Los picos pronunciados hacia el final sugieren la presencia de eventos excepcionales o cambios significativos en la demanda internacional. Estas variaciones pueden estar influenciadas por factores estacionales o fluctuaciones en los precios internacionales de los productos exportados, destacando la importancia de un análisis de series de tiempo para descomponer y entender estos patrones.

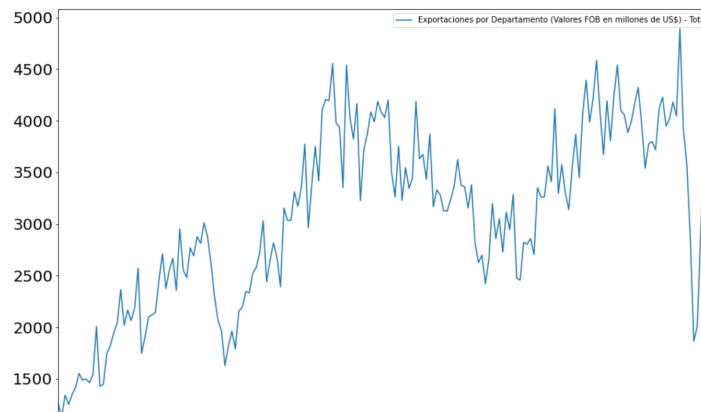


Figura 11.9 Evolución de las exportaciones.

En la figura 11.10 se ilustra el ajuste.

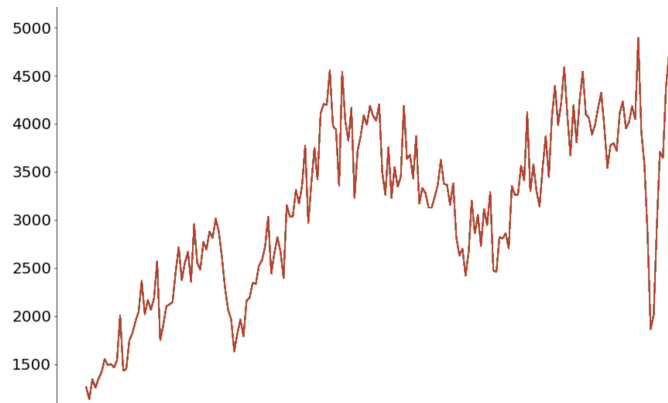


Figura 11.10 Ajuste del modelo ARIMA.

Cuando se realizó la validación cruzada (CV), el modelo fue optimizado sobre el RMSE y el MAPE, ajustando los parámetros para minimizar el Root Mean Square Error (RMSE) y el Mean Absolute Percentage Error (MAPE), priorizando así la precisión de las predicciones como se muestra en la figura 11.11. En la validación cruzada, los parámetros de estacionalidad y diferenciación ( $P$ ,  $D$ ,  $Q$ ,  $m$ ) no se exploraron de manera exhaustiva, lo que limitó el rango de combinaciones probadas.

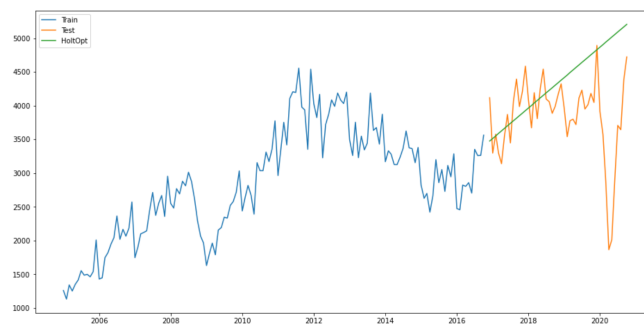


Figura 11.11 Optimización según RMSE MAPE.

Las predicciones de los modelos se ejecutan internamente en los programas según las técnicas que veremos en la siguiente sección. Recomendamos consultar antes el anexo de teoría de la probabilidad, donde introducimos la definición y propiedades de la esperanza condicional.

## 11.6. Predicción

El objetivo en un contexto de predicción es, estando en el tiempo  $t$ , proyectar  $h$  periodos hacia adelante la variable observable  $Y$ , condicionado al conjunto de información disponible en  $t$ , representado por  $\mathbf{X}_t$ . El error de proyección está dado por  $Y_{t+h} - Y_{t+h|t}$ , y se evalúa utilizando una función de pérdida cuadrática definida como  $L(Y_{t+h}, Y_{t+h|t}) = (Y_{t+h} - Y_{t+h|t})^2$ . A partir de esta, el error cuadrático medio (MSE) se expresa como  $\mathbb{E}[(Y_{t+h} - Y_{t+h|t})^2]$ , y la proyección óptima es aquella que minimiza este MSE. Tal como se demuestra en (Hamilton, 1994), la proyección  $Y_{t+1|t}^*$  que minimiza el MSE es igual a la esperanza condicional, es decir:

$$Y_{t+1|t}^* = \operatorname{argmin}_{Y_{t+1|t}} \operatorname{MSE}[Y_{t+1|t}, Y_{t+1}] = \mathbb{E}[Y_{t+1} | \mathbf{X}_t].$$

Consideremos una estructura lineal para la proyección, donde  $\mathbb{E}[Y_{t+1} | \mathbf{X}_t] = \boldsymbol{\alpha}^T \mathbf{X}_t$ . Si la condición  $\mathbb{E}[(Y_{t+1} - \boldsymbol{\alpha}^T \mathbf{X}_t) \mathbf{X}_t^T] = \mathbf{0}$  se cumple, entonces  $\boldsymbol{\alpha}^T \mathbf{X}_t$  es la proyección lineal de  $Y_{t+1}$  sobre  $\mathbf{X}_t$ , y se tiene que la predicción óptima es:

$$\hat{Y}_{t+1|t} = \boldsymbol{\alpha}^T \mathbf{X}_t.$$

La relación entre los momentos condicionales es:

$$\mathbb{E}[Y_{t+1} \mathbf{X}_t^T] = \boldsymbol{\alpha}^T \mathbb{E}[\mathbf{X}_t \mathbf{X}_t^T].$$

Por lo tanto, los coeficientes  $\boldsymbol{\alpha}^T$  pueden calcularse como:

$$\boldsymbol{\alpha}^T = \mathbb{E}[Y_{t+1} \mathbf{X}_t^T] (\mathbb{E}[\mathbf{X}_t \mathbf{X}_t^T])^{-1}.$$

Recordemos que en el caso del modelo de regresión lineal  $y_{t+1} = \mathbf{x}_t^T \boldsymbol{\beta} + u_t$ , el estimador de mínimos cuadrados ordinarios (MCO) para  $\boldsymbol{\beta}$  está dado por:

$$\hat{\boldsymbol{\beta}} = \left[ \frac{1}{T} \sum_{t=1}^T \mathbf{x}_t \mathbf{x}_t^T \right]^{-1} \left[ \frac{1}{T} \sum_{t=1}^T \mathbf{x}_t y_{t+1} \right].$$

La suma de residuos muestrales se define como:

$$SSR(\boldsymbol{\beta}) = \sum_{t=1}^T (y_{t+1} - \boldsymbol{\beta}^T \mathbf{x}_t)^2,$$

y el valor de  $\beta$  que minimiza esta suma de residuos es precisamente el estimador MCO dado anteriormente. Si el proceso estocástico  $\{\mathbf{X}_t, Y_{t+1}\}$  es estacionario y ergódico, se cumple que:

$$\frac{1}{T} \sum_{t=1}^T \mathbf{X}_t \mathbf{X}_t^T \rightarrow \mathbb{E}[\mathbf{X}_t \mathbf{X}_t^T] \quad \text{y} \quad \frac{1}{T} \sum_{t=1}^T \mathbf{X}_t Y_{t+1} \rightarrow \mathbb{E}[\mathbf{X}_t Y_{t+1}].$$

Un resultado importante relacionado con la predicción es el teorema de la descomposición de Wald ([Hamilton, 1994](#)), el cual establece que cualquier proceso estacionario  $Y_t$  con media cero puede ser representado como:

$$Y_t = \sum_{j=0}^{\infty} \psi_j \epsilon_{t-j} + \kappa_t,$$

donde  $\psi_0 = 1$ ,  $\sum_{j=0}^{\infty} \psi_j^2 < \infty$ , y  $\epsilon_t \sim GN$ . El término  $\epsilon_t$  se define como  $Y_t - \hat{\mathbb{E}}[Y_t | Y_{t-1}, Y_{t-2}, \dots]$ , mientras que  $\kappa_t$  no está correlacionado con  $\epsilon_{t-j}$  para cualquier  $j$ . Este resultado implica que el proceso MA( $\infty$ ), dado por  $Y_t = \mu + \sum_{j \geq 0} \psi_j \epsilon_{t-j}$ , es fundamental para describir cualquier serie de tiempo estacionaria.

**Ejemplo 11.16.** Sea el modelo autorregresivo de orden 1:

$$Y_t = \phi_0 + \phi_1 Y_{t-1} + u_t$$

donde  $u_t \sim N(0, \sigma^2)$ . El estimador de Mínimos Cuadrados Ordinarios para  $\phi_1$  es:

$$\hat{\phi}_1 = \frac{\sum_{t=1}^{T-1} (Y_t - \bar{Y})(Y_{t+1} - \bar{Y})}{\sum_{t=1}^{T-1} (Y_t - \bar{Y})^2}.$$

El estimador de  $\phi_0$  es:

$$\hat{\phi}_0 = \bar{Y} - \hat{\phi}_1 \bar{Y},$$

donde

$$\bar{Y} = \frac{1}{T-1} \sum_{t=1}^{T-1} Y_t.$$

El pronóstico  $h$  pasos adelante se calcula como:

$$\hat{Y}_{t+h} = \hat{\phi}_0 \frac{1 - \hat{\phi}_1^h}{1 - \hat{\phi}_1} + \hat{\phi}_1^h Y_t$$

Además, si  $|\hat{\phi}_1| < 1$ , se cumple que:

$$\lim_{h \rightarrow \infty} \hat{Y}_{t+h} = \frac{\hat{\phi}_0}{1 - \hat{\phi}_1}$$

**Ejemplo 11.17.** Sea el modelo autorregresivo de orden 2:

$$Y_t = \phi_0 + \phi_1 Y_{t-1} + \phi_2 Y_{t-2} + u_t$$

donde  $u_t \sim N(0, \sigma^2)$ . El estimador de Mínimos Cuadrados Ordinarios para  $\phi = (\phi_0, \phi_1, \phi_2)^T$  es:

$$\hat{\phi} = (\mathbf{X}^T \mathbf{X})^{-1} \mathbf{X}^T \mathbf{Y}$$

donde

$$\mathbf{X} = \begin{bmatrix} 1 & Y_2 & Y_1 \\ 1 & Y_3 & Y_2 \\ \vdots & \vdots & \vdots \\ 1 & Y_{T-1} & Y_{T-2} \end{bmatrix}, \quad \mathbf{Y} = \begin{bmatrix} Y_3 \\ Y_4 \\ \vdots \\ Y_T \end{bmatrix}$$

La expresión explícita para los coeficientes es:

$$\begin{bmatrix} \hat{\phi}_0 \\ \hat{\phi}_1 \\ \hat{\phi}_2 \end{bmatrix} = \left( \sum_{t=3}^T \begin{bmatrix} 1 & Y_{t-1} & Y_{t-2} \\ Y_{t-1} & Y_{t-1}^2 & Y_{t-1}Y_{t-2} \\ Y_{t-2} & Y_{t-1}Y_{t-2} & Y_{t-2}^2 \end{bmatrix} \right)^{-1} \sum_{t=3}^T \begin{bmatrix} Y_t \\ Y_t Y_{t-1} \\ Y_t Y_{t-2} \end{bmatrix}$$

$$\hat{\phi}_1 = \frac{\sum_{t=3}^T (Y_t - \bar{Y})(Y_{t-1} - \bar{Y}) - \rho \sum_{t=3}^T (Y_t - \bar{Y})(Y_{t-2} - \bar{Y})}{\sum_{t=3}^T (Y_{t-1} - \bar{Y})^2 - \rho \sum_{t=3}^T (Y_{t-1} - \bar{Y})(Y_{t-2} - \bar{Y})}$$

$$\hat{\phi}_2 = \frac{\sum_{t=3}^T (Y_t - \bar{Y})(Y_{t-2} - \bar{Y}) - \rho \sum_{t=3}^T (Y_t - \bar{Y})(Y_{t-1} - \bar{Y})}{\sum_{t=3}^T (Y_{t-2} - \bar{Y})^2 - \rho \sum_{t=3}^T (Y_{t-1} - \bar{Y})(Y_{t-2} - \bar{Y})}$$

$$\hat{\phi}_0 = \bar{Y} - \hat{\phi}_1 \bar{Y} - \hat{\phi}_2 \bar{Y}$$

donde

$$\bar{Y} = \frac{1}{T-2} \sum_{t=3}^T Y_t, \quad \rho = \frac{\sum_{t=3}^T (Y_{t-1} - \bar{Y})(Y_{t-2} - \bar{Y})}{\sum_{t=3}^T (Y_{t-2} - \bar{Y})^2}$$

El pronóstico  $h$  pasos adelante se calcula iterativamente como:

$$\hat{Y}_{t+1} = \hat{\phi}_0 + \hat{\phi}_1 Y_t + \hat{\phi}_2 Y_{t-1}$$

$$\hat{Y}_{t+2} = \hat{\phi}_0 + \hat{\phi}_1 \hat{Y}_{t+1} + \hat{\phi}_2 Y_t$$

$$\hat{Y}_{t+h} = \hat{\phi}_0 + \hat{\phi}_1 \hat{Y}_{t+h-1} + \hat{\phi}_2 \hat{Y}_{t+h-2}$$

Si  $|\lambda_1| < 1$  y  $|\lambda_2| < 1$ , donde  $\lambda_1$  y  $\lambda_2$  son las raíces del polinomio característico, el pronóstico converge a:

$$\lim_{h \rightarrow \infty} \hat{Y}_{t+h} = \frac{\hat{\phi}_0}{1 - \hat{\phi}_1 - \hat{\phi}_2}$$

## 11.7. Raíz unitaria

Cerramos este capítulo abordando, de forma bastante introductoria y tangencial, un tema crucial en el análisis de series de tiempo: las raíces unitarias. Este concepto es fundamental para evaluar la estacionariedad de una serie, ya que un proceso con raíz unitaria implica la presencia de un paseo aleatorio, lo que afecta significativamente las propiedades estadísticas y predictivas del modelo.

Las pruebas de raíz unitaria, como la prueba de Dickey-Fuller aumentada (Dickey and Fuller, 1979), evalúan si el coeficiente de rezago,  $\phi$ , es igual a uno ( $H_0 : \phi = 1$ ) o menor que uno en valor absoluto ( $H_a : |\phi| < 1$ ). El modelo básico de prueba puede representarse como:

$$Y_t = \phi Y_{t-1} + \epsilon_t, \quad \epsilon_t \sim \text{RB}(0, \sigma^2), \quad (11.3)$$

y su forma equivalente al trabajar con diferencias se escribe como:

$$\Delta Y_t = (\phi - 1)Y_{t-1} + \epsilon_t = \theta Y_{t-1} + \epsilon_t, \quad (11.4)$$

donde  $\theta = \phi - 1$ . Bajo la hipótesis nula  $H_0$ , se verifica si  $\theta = 0$  mediante una regresión y la significancia del coeficiente asociado al rezago de  $Y_{t-1}$ .

Caso 1:

$$H_0 : \phi = 1 \quad \text{vs} \quad H_a : |\phi| < 1 \quad (11.5)$$

$$Y_t = \phi Y_{t-1} + \epsilon_t, \quad \epsilon_t \sim \text{RB}(0, \sigma^2) \quad (11.6)$$

$$Y_t - Y_{t-1} = \phi Y_{t-1} - Y_{t-1} + \epsilon_t \quad (11.7)$$

$$\Delta Y_t = (\phi - 1)Y_{t-1} + \epsilon_t \quad (11.8)$$

$$\Delta Y_t = \theta Y_{t-1} + \epsilon_t \quad (11.9)$$

Caso 2:

$$H_0 : \phi = 1 \quad \text{vs} \quad H_a : |\phi| < 1 \quad (11.10)$$

$$Y_t = m + \phi Y_{t-1} + \epsilon_t, \quad \epsilon_t \sim \text{RB}(0, \sigma^2) \quad (11.11)$$

$$Y_t - Y_{t-1} = m + \phi Y_{t-1} - Y_{t-1} + \epsilon_t \quad (11.12)$$

$$\Delta Y_t = m + (\phi - 1)Y_{t-1} + \epsilon_t \quad (11.13)$$

$$\Delta Y_t = m + \theta Y_{t-1} + \epsilon_t \quad (11.14)$$

Caso 3:

$$H_0 : \phi = 1 \quad \text{vs} \quad H_a : |\phi| < 1 \quad (11.15)$$

$$Y_t = m + \phi Y_{t-1} + d_t + \epsilon_t, \quad \epsilon_t \sim \text{RB}(0, \sigma^2) \quad (11.16)$$

$$Y_t - Y_{t-1} = m + \phi Y_{t-1} - Y_{t-1} + d_t + \epsilon_t \quad (11.17)$$

$$\Delta Y_t = m + (\phi - 1)Y_{t-1} + d_t + \epsilon_t \quad (11.18)$$

$$\Delta Y_t = m + \theta Y_{t-1} + d_t + \epsilon_t \quad (11.19)$$

La prueba de Dickey-Fuller aumentada ([Dickey and Fuller, 1979](#)) también puede representarse de manera general para incluir múltiples rezagos en diferencias:

$$\Delta Y_t = \theta Y_{t-1} + \sum_{i=2}^p \beta_i \Delta Y_{t-i+1} + \epsilon_t. \quad (11.20)$$

El principal desafío en este enfoque radica en seleccionar el número óptimo de rezagos  $p$ . Sin embargo, se puede emplear los criterios de Akaike y Bayes para seleccionar al modelo que mejor ajusta, tomando en cuenta que el mejor modelo es el que tiene el menor valor.

Otras pruebas de raíz unitaria han sido desarrolladas para abordar limitaciones específicas. La prueba de Phillips-Perron ([Phillips and Perron, 1988](#)) es una modificación del test de Dickey-Fuller que toma en consideración la posible autocorrelación serial y heterocedasticidad de los errores del modelo. Por otro lado, el test GLS-ADF ([Elliott et al., 1996](#)) es similar al test de Dickey-Fuller aumentado, pero transforma la serie utilizando la regresión de Mínimos Cuadrados Generalizados antes de realizar el análisis. El desafío de estos tests estadístico radica en que, para poder definir la distribución asintótica de los estadísticos, se requiere emplear el Teorema del Límite Central Funcional de Lindeberg-Feller ([Karatzas and Shreve, 1991](#)).

# Anexo

# Apéndice A

## Elementos de teoría de la probabilidad

En este apéndice brindamos los fundamentos de la teoría de la probabilidad que son de gran utilidad para tener un entendimiento más profundo y adecuado de los temas desarrollados en este texto. Asimismo, constituye una base sólida para el estudio de temas más avanzados en econometría. Este apéndice está basado en las notas de clase de los cursos dictados en la PUCP, Análisis Real 2 (dictado por el profesor Johel Beltrán) y Probabilidad y Estadística (dictado por el profesor Jonathan Farfán).

**Definición A.0.1.** Dado un conjunto  $\Omega$ , un  $\sigma$ -álgebra sobre  $\Omega$  es una colección de conjuntos de  $\Omega$ ,  $\mathcal{F} \subset \mathcal{P}(\Omega)$ <sup>1</sup> tales que

1.  $\Omega \in \mathcal{F}$
2.  $A \in \mathcal{F} \implies A^c \in \mathcal{F}$
3.  $A_n \in \mathcal{F}, \forall n \in \mathbb{N} \implies \bigcup_{n \in \mathbb{N}} A_n \in \mathcal{F}$ .

**Definición A.0.2.** Sea  $(\Omega, \mathcal{F})$  un espacio medible<sup>2</sup> Una medida sobre  $(\Omega, \mathcal{F})$  es una aplicación  $\mu : \mathcal{F} \rightarrow \mathbb{R}_+ \cup \{\infty\}$ <sup>3</sup> tal que

1.  $\mu(\emptyset) = 0$

---

<sup>1</sup> $\mathcal{P}(\Omega)$  denota el conjunto potencia de  $\Omega$ : todos los posibles sub-conjuntos de  $\Omega$

<sup>2</sup> $\Omega$  es cualquier conjunto y  $\mathcal{F}$  un  $\sigma$ -álgebra.

<sup>3</sup>Véase recta real extendida en (Folland, 1984).

2. si  $A_n \in \mathcal{F}$ ,  $\forall n \in \mathbb{N}$  y  $A_n \cap A_m = \emptyset$ ,  $n \neq m$ , entonces

$$\mu \left( \biguplus_{n \in \mathbb{N}} A_n \right) = \sum_{n=1}^{\infty} \mu(A_n).$$

**Definición A.0.3.** Una medida de probabilidad  $\mathbb{P}$  sobre un espacio de medida  $(\Omega, \mathcal{F})$  es una medida tal que

$$\mathbb{P} : \mathcal{F} \rightarrow [0, 1]$$

y se cumple que  $\mathbb{P}(\Omega) = 1$ . A partir de esto se deduce que

1.  $\mathbb{P}(A) + \mathbb{P}(A^c) = 1$ ,  $\forall A \in \mathcal{F}$ .
2.  $\{A_1, \dots, A_n, \dots\}$  disjuntos dos a dos:  $\mathbb{P}(\bigcup_{n=1}^{\infty} A_n) = \sum_{n=1}^{\infty} \mathbb{P}(A_n)$ .
3.  $\mathbb{P}(A \cup B) + \mathbb{P}(A \cap B) = \mathbb{P}(A) + \mathbb{P}(B)$ .
4.  $\mathbb{P}(A) + \mathbb{P}(B - A) = \mathbb{P}(A \cup B)$ .
5.  $\mathbb{P}(\bigcup_{n=1}^{\infty} A_n) \leq \sum_{n=1}^{\infty} \mathbb{P}(A_n)$ .

A continuación, consideramos en todo momento un espacio de probabilidad implícito  $(\Omega, \mathcal{F}, \mathbb{P})$ .

**Definición A.0.4. Probabilidad condicional.** Sea  $\mathbb{P}$  una probabilidad. Entonces, la probabilidad de  $A$  dado  $B$ , con  $A, B \in \mathcal{F}$  y  $\mathbb{P}(A), \mathbb{P}(B) > 0$  es

$$\mathbb{P}(A|B) = \frac{\mathbb{P}(A \cap B)}{\mathbb{P}(B)}.$$

**Teorema A.1. Regla de Bayes.** Se cumple que

$$\mathbb{P}(A|B) = \frac{\mathbb{P}(B|A)\mathbb{P}(A)}{\mathbb{P}(B)}.$$

*Demostración.* Por definición,

$$\begin{aligned} \mathbb{P}(A|B) &= \frac{\mathbb{P}(A \cap B)}{\mathbb{P}(B)} \\ \mathbb{P}(B|A) &= \frac{\mathbb{P}(A \cap B)}{\mathbb{P}(A)}. \end{aligned}$$

Entonces,

$$\mathbb{P}(A|B)\mathbb{P}(B) = \mathbb{P}(B|A)\mathbb{P}(A) = \mathbb{P}(A \cap B).$$

Así,

$$\mathbb{P}(A|B) = \frac{\mathbb{P}(B|A)\mathbb{P}(A)}{\mathbb{P}(B)}.$$

□

Si tenemos  $A_1, \dots, A_n \in \mathcal{F}$ , y  $\Omega = \biguplus_{k=1}^n A_k$ , entonces

$$\mathbb{P}(A) = \sum_{k=1}^n \mathbb{P}(A \cap A_k).$$

Por otro lado, si  $\mathbb{P}(A_k) > 0$

$$\mathbb{P}(A) = \sum_{k=1}^n \mathbb{P}(A|A_k)\mathbb{P}(A_k).$$

**Definición A.0.5.** Sean  $A_\lambda$  con  $\lambda \in \Lambda$  eventos. Decimos que los eventos son independientes cuando

$$\mathbb{P}\left(\bigcap_{k=1}^n A_{\lambda_k}\right) = \prod_{k=1}^n \mathbb{P}(A_{\lambda_k}), \quad \forall n \in \mathbb{Z}, \quad \forall \lambda_1, \dots, \lambda_k \in \Lambda.$$

**Definición A.0.6.** Sean  $A_1, A_2, \dots$  una sucesión de conjuntos. Definimos

$$\begin{aligned} \limsup A_n &= \bigcap_{n=1}^{\infty} \bigcup_{k=n}^{\infty} A_k \\ \liminf A_n &= \bigcup_{n=1}^{\infty} \bigcap_{k=n}^{\infty} A_k. \end{aligned}$$

Note que si  $\omega \in \limsup A_n$ , entonces  $\omega \in A_k$  para infinitos  $A_k$ . Por otro lado, si  $\omega \in \liminf A_n$ ,  $\omega \notin A_k$  para un número finito de  $k$ 's.

**Teorema A.2.** Se cumple que

1.  $\liminf A_n \subset \limsup A_n$
2.  $B_n = \bigcup_{k \geq n} A_k$ , entonces  $B_n \downarrow \limsup A_n$
3.  $C_n = \bigcap_{k \geq n} A_k$ , entonces  $C_n \uparrow \liminf A_n$

**Teorema A.3. Primer Lema de Borel Cantelli.** Sean  $A_1, A_2, \dots, A_n, \dots$  una sucesión de eventos tales que  $\sum_n \mathbb{P}(A_n) < \infty$ . Entonces,

$$\mathbb{P}(\limsup A_n) = 0.$$

**Teorema A.4. Segundo Lema de Borel Cantelli.** Sean  $A_1, A_2, \dots, A_n, \dots$  una sucesión de eventos independientes tales que  $\sum_n \mathbb{P}(A_n) = \infty$ . Entonces,

$$\mathbb{P}(\text{lím sup } A_n) = 1.$$

**Definición A.0.7.** Un vector aleatorio es una función  $X : \Omega \rightarrow \mathbb{R}^k$ . Cuando  $k = 1$ , diremos que se trata de una variable aleatoria (v.a.).

Cuando trabajamos con  $\mathbb{R}^k$ , consideramos, salvo que se diga lo contrario, el  $\sigma$ -álgebra de Borel  $\mathcal{B}_{\mathbb{R}^k}$  (Folland, 1984).

**Definición A.0.8.** La ley o distribución de un vector aleatorio  $X$  es una medida de probabilidad en  $(\mathbb{R}^k, \mathcal{B}_{\mathbb{R}^k})$ :

$$\begin{aligned} \mathbb{P}_X &: \mathcal{B}_{\mathbb{R}^k} \rightarrow \mathbb{R} \\ A &\rightarrow \mathbb{P}(X^{-1}(A)). \end{aligned}$$

**Ejemplo A.1.** Sea  $X \sim B(n, p)$ . Entonces,

$$\mathbb{P}_X\{k\} = \mathbb{P}(X = k) = \binom{n}{k} p^k (1-p)^{n-k}, \quad k = 0, \dots, n.$$

De hecho, dado  $A \in \mathcal{B}_{\mathbb{R}}$ ,

$$\begin{aligned} \mathbb{P}_X &: \mathcal{B}_{\mathbb{R}} \rightarrow \mathbb{R} \\ A &\rightarrow \sum_{k \in A} \binom{n}{k} p^k (1-p)^{n-k}. \end{aligned}$$

**Ejemplo A.2.** Sea  $X \sim N(0, 1)$

$$\mathbb{P}_X([a, b]) = \mathbb{P}(a \leq X \leq b) = \int_a^b \varphi(x) dx, \quad \forall a < b,$$

donde

$$\varphi(x) = \frac{1}{\sqrt{2\pi}} e^{-\frac{x^2}{2}}.$$

Para poder integrar sobre todo los Borelianos, en relación al ejemplo A.2.

A continuación, nos enfocamos en los vectores aleatorios discretos. Esto es, aquellos que poseen la siguiente propiedad:

$$\exists A \subset \mathbb{R}^k \text{ enumerable} : \mathbb{P}(X \in A) = 1.$$

**Definición A.0.9.** La función de probabilidad de un vector aleatorio discreto es

$$\begin{aligned}\mathbb{P}_X : A &\rightarrow \mathbb{R} \\ x &\rightarrow \mathbb{P}\{X = x\}.\end{aligned}$$

**Definición A.0.10.** Sea  $A$  tal que  $\mathbb{P}\{X \in A\} = 1$ , con  $A$  enumerable,. La esperanza de una variable aleatoria discreta es

$$\begin{aligned}\mathbb{E}[X] &= \sum_{k=1}^n x_k \mathbb{P}_X(x_k) \quad \text{para el caso finito} \\ \mathbb{E}[X] &= \sum_{k=1}^{\infty} x_k \mathbb{P}_X(x_k) \quad \text{para el caso enumerable no finito.}\end{aligned}$$

**Teorema A.5.** Sean  $X, Y$  dos variables aleatorias discretas y  $\alpha \in \mathbb{R}$ :

1.  $\alpha X$  es discreta y  $\mathbb{E}[\alpha X] = \alpha \mathbb{E}[X]$
2.  $\mathbb{E}[X + Y] = \mathbb{E}[X] + \mathbb{E}[Y]$
3. Si  $X \leq Y$  ( $X(\omega) \leq Y(\omega)$ ,  $\forall \omega \in \Omega$ ), entonces  $\mathbb{E}[X] \leq \mathbb{E}[Y]$
4. Si  $g : \mathbb{R} \rightarrow \mathbb{R}$  es Borel medible, entonces  $\mathbb{E}[g(X)] = \sum_{k=1}^n g(x_k) \mathbb{P}_X(x_k)$  (en el caso finito),  $\mathbb{E}[X] = \sum_{k=1}^{\infty} g(x_k) \mathbb{P}_X(x_k)$  (en el caso enumerable no finito).

**Definición A.0.11.** Sea  $X$  una v.a. tal que  $\mathbb{E}[X] < \infty$ ,

$$\text{Var}(X) = \mathbb{E}[(X - \mathbb{E}[X])^2].$$

A  $\sqrt{\text{Var}[X]}$  se le conoce como desviación estándar y se le denota  $\sigma_X$ .

**Teorema A.6.** Sea  $X$  una variable aleatoria discreta con media finita. Entonces:

1. Si  $c \in \mathbb{R}$ ,  $\text{Var}(cX) = c^2 \text{Var}(X)$ .
2. Si  $c \in \mathbb{R}$ ,  $\text{Var}(X + c) = \text{Var}(X)$ .
3.  $\text{Var}(X) = \mathbb{E}[X^2] - (\mathbb{E}[X])^2$ .

Abordamos a continuación la cuestión de la independencia de vectores aleatorios, siempre en el caso discreto.

Sean  $X_\lambda : \Omega \rightarrow \mathbb{R}^{n_\lambda}$ ,  $\lambda \in \Lambda$  una familia de vectores aleatorios. Decimos que son independientes cuando

$$\mathbb{P}\{X_{\lambda_1} = x_1, \dots, X_{\lambda_k} = x_k\} = \prod_{i=1}^k \mathbb{P}\{X_{\lambda_i} = x_i\},$$

$\forall k \geq 2, \forall \lambda_1, \dots, \lambda_k \in \Lambda, \forall x_j \in \mathbb{R}^{n_{\lambda_j}}$ .

A continuación, abordamos el caso de vectores aleatorios que ya no son necesariamente discretos.

**Definición A.0.12.** Sea  $X : \Omega \rightarrow \mathbb{R}^k$  un vector aleatorio continuo. Decimos que  $X$  es un vector aleatorio absolutamente continuo cuando existe una función  $f : \mathbb{R}^k \rightarrow \mathbb{R}_+$  tal que

$$\mathbb{P}\{X \leq a\} = \int_{-\infty}^{a_1} dx_1 \int_{-\infty}^{a_2} \dots \int_{-\infty}^{a_k} dx_k f(x_1, \dots, x_k), \quad \forall a \in \mathbb{R}^k.$$

La función  $f$  es conocida como la densidad de  $X$ .

Note que<sup>4</sup>

$$\mathbb{P}_X(A) = \underbrace{\int_A f(x) dx}_{\text{integral de Lebesgue}}, \quad \forall A \in \mathcal{B}_{\mathbb{R}^k}.$$

Por otro lado, denotaremos

$$f(x) = \frac{d\mathbb{P}_X}{dx}.$$

Cuando  $X$  es una variable aleatoria absolutamente continua con función de densidad  $f$  y  $g : \mathbb{R}^k \rightarrow \mathbb{R}$  Borel medible,

$$\begin{aligned} \mathbb{E}[X] &= \int_{\mathbb{R}} x f(x) dx \\ \mathbb{E}[g(X)] &= \int_{\mathbb{R}} g(x) f(x) dx \end{aligned}$$

**Definición A.0.13.** Sea  $X : \Omega \rightarrow \mathbb{R}^k$  un vector aleatorio. La función de distribución de  $X$  es la función  $F : \mathbb{R}^k \rightarrow \mathbb{R}$  dada por

$$F_X(a) = \mathbb{P}\{X \leq a\} = \mathbb{P}_X \left\{ \prod_{i=1}^k (-\infty, a_i] \right\}.$$

**Teorema A.7.** Sea  $X$  una v.a.

<sup>4</sup>Más adelante definiremos con rigor la integral de Lebesgue.

1.  $0 \leq F_X(t) \leq 1, \forall t \in \mathbb{R}$ .
2.  $F_X$  es una función no decreciente. En particular, existen los límites por la izquierda.
3.  $F_X$  es continua por la derecha.
4.  $\lim_{t \rightarrow -\infty} F_X(t) = 0$  y  $\lim_{t \rightarrow \infty} F_X(t) = 1$ .

**Definición A.0.14.** El  $\sigma$ -álgebra generado por un vector aleatorio  $X : \Omega \rightarrow \mathbb{R}^k$  es

$$\sigma(X) = \{X^{-1}(B) : B \in \mathcal{B}_{\mathbb{R}^k}\}.$$

Si  $X_\lambda : \Omega \rightarrow \mathbb{R}^{n_\lambda}, \lambda \in \Lambda$  es una familia de vectores aleatorios, el  $\sigma$ -álgebra generado por la familia es

$$\sigma(\{X_\lambda : \lambda \in \Lambda\}) = \sigma(\{X_\lambda^{-1}(B) : \lambda \in \Lambda, B \in \mathcal{B}_{\mathbb{R}^{n_\lambda}}\}).$$

**Definición A.0.15.** Diremos que los vectores aleatorios  $\{X_\lambda\}_{\lambda \in \Lambda}$  son independientes si  $\sigma(X_\lambda)$  son independientes.<sup>5</sup>

Para poder definir correctamente la noción de esperanza cuando la variable aleatoria ya no es discreta ni absolutamente continua, requerimos una definición formal de la integral de Lebesgue. Para esto, recordemos algunos aspectos claves de la teoría de la integración.

Sea  $(\Omega, \mathcal{F}, \mu)$  un espacio de medida.

$$\mu : \mathcal{F} \rightarrow [0, \infty]$$

$$\mu(\emptyset) = 0$$

$$A_1, A_2, \dots, \in \mathcal{F}$$

$$A_i \cap A_j = \emptyset, \forall i \neq j : \mu\left(\bigcup_{k \in \mathbb{N}} A_k\right) = \sum_{k=1}^{\infty} \mu(A_k).$$

**Definición A.0.16.** Una función  $f : \Omega \rightarrow \mathbb{R}$  es medible si  $f^{-1}(B) \in \mathcal{F}$  para todo  $A \in \mathcal{B}_{\mathbb{R}}$ .

<sup>5</sup>Para la noción de independencia de  $\sigma$ -álgebras, consultar (Gall, 2022).

**Definición A.0.17.** Decimos que una función medible  $f$  es simple cuando  $f$  toma una cantidad finita de valores. Es decir,

$$f(\Omega) = \{f(\omega) : \omega \in \Omega\}$$

es finito .

**Definición A.0.18.** Decimos que  $f$  es una función positiva cuando  $f(\omega) \geq 0, \forall \omega \in \Omega$ .

Sea  $f : \Omega \rightarrow \mathbb{R}$  medible, simple y positiva. Entonces,

$$f(\Omega) = \{x_1, \dots, x_n\},$$

y, si  $A_k = f^{-1}(\{x_k\})$ :

$$\Omega = \sum_{k=1}^n A_k = \begin{cases} A_1, A_2, \dots & \text{disjuntos 2 a 2} \\ \bigsqcup_{k=1}^n A_k = \Omega \end{cases}$$

$$f(\omega) = \begin{cases} x_1, & \text{si } \omega \in A_1 \\ x_2, & \text{si } \omega \in A_2 \\ \vdots & \\ x_n, & \text{si } \omega \in A_n. \end{cases}$$

Así pues,

$$f = \sum_{k=1}^n x_k \mathbf{1}_{A_k}.$$

Definimos<sup>6</sup>

$$\int_{\Omega} f d\mu = \sum_{k=1}^n x_k \mu(A_k).$$

Por convención, consideramos que

$$a \cdot \infty = \infty, \quad a > 0$$

$$a \cdot \infty = 0, \quad a = 0.$$

---

6

$$\frac{1}{b-a} \int_a^b f(x) dx \simeq \underbrace{\frac{1}{b-a} \sum_{k=1}^n f(x_k^*) (t_k - t_{k-1})}_{\text{promedio ponderado}}$$

$$\frac{1}{b-a} \sum_{k=1}^n (t_k - t_{k-1}) = 1.$$

Si  $y_1, \dots, y_m \geq 0$  y  $B_1, \dots, B_m \in \mathcal{F}$  y

$$g = \sum_{j=1}^m y_j \mathbf{1}_{B_j}.$$

Entonces,  $g$  es medible (combinación lineal de medibles), simple (toma a lo mucho  $2^m$  valores), positiva ( $y_i \geq 0$ ) y

$$\int_{\Omega} g d\mu = \sum_{j=1}^m y_j \mu(B_j).$$

Sea  $f : \Omega \rightarrow \overline{\mathbb{R}}$  una función medible positiva.

$$\overline{\mathbb{R}} = \mathbb{R} \cup \{-\infty, \infty\}$$

$$\mathcal{B}(\overline{\mathbb{R}}) = \{A = B \cup C : B \in \mathcal{B}(\mathbb{R}) \wedge C \subset \{-\infty, \infty\}\}.$$

**Definición A.0.19.** Definimos

$$\int_{\Omega} f d\mu = \sup \left\{ \int_{\Omega} g d\mu : g \text{ es medible simple positiva y } g \leq f \right\}.$$

**Definición A.0.20.** Dado  $A \subset \mathbb{R}$

$$\sup A = \begin{cases} \sup A & \text{si } A \neq \emptyset \text{ y } A \text{ acotado superiormente} \\ \infty & \text{si } A \neq \emptyset \text{ y } A \text{ no es acotado superiormente} \\ -\infty, & \text{si } A = \emptyset. \end{cases}$$

**Teorema A.8.** Sea  $f : \Omega \rightarrow \overline{\mathbb{R}}$  una función medible positiva. Para cada  $n \geq 1$ , sea

$$f_n(\omega) = \sum_{k=0}^{n2^n-1} \frac{k}{2^n} \mathbf{1}_{f^{-1}([\frac{k}{2^n}, \frac{k+1}{2^n}))} + n \mathbf{1}_{f^{-1}(\infty)}.$$

Entonces,  $f_n \uparrow f$ . Esto es

$$\begin{cases} f_1(\omega) \leq f_2(\omega) \leq \dots & \forall \omega \in \Omega \\ \lim_{n \rightarrow \infty} f_n(\omega) = f(\omega) & , \forall \omega \in \Omega. \end{cases}$$

**Teorema A.9.** Sean  $f, g : \Omega \rightarrow \overline{\mathbb{R}}$  funciones medibles positivas.

1. Si  $\alpha \geq 0$  entonces  $\alpha f$  es medible positiva y  $\int \alpha f = \alpha \int f$
2.  $f + g$  es medible positiva y  $\int f + g = \int f + \int g$ . Lo mismo vale para simples.

3. Si  $f \leq g$ , entonces  $\int f \leq \int g$ .

**Teorema A.10. Convergencia monótona.** Sean  $f, f_1, f_2, \dots$  funciones medibles positivas. Si  $f_n \uparrow f$  entonces  $\int f_n \rightarrow \int f$ .

**Teorema A.11. Fatou.** Sea  $(\Omega, \mathcal{F}, \mu)$  un espacio de medida y  $f_1, f_2, \dots : \Omega \rightarrow \overline{\mathbb{R}}$  funciones medibles positivas

$$\int \liminf f_n \leq \liminf \int f_n.$$

Note que si definimos  $x_n = \int_{\Omega} f_n d\mu \in [0, \infty]$ ,

$$\liminf x_n = \sup_{n \geq 1} \inf \{x_k : k \geq n\} = \lim_{n \rightarrow \infty} \inf \{x_k : k \geq n\}.$$

Así, el  $\liminf$  de las integrales está bien definido. Por otro lado,

$$h(\omega) = \liminf f_n(\omega) \in [0, \infty]$$

es una función medible bien definida.

**Teorema A.12.** Fijamos  $(\Omega, \mathcal{F}, \mu)$ , espacio de medida. Sea  $f : \Omega \rightarrow \overline{\mathbb{R}}$  una función medible positiva. Entonces

a) La función  $\nu : \mathcal{F} \rightarrow [0, \infty]$  tal que

$$\nu(A) = \int_{\Omega} f \cdot \mathbf{1}_A d\mu$$

es una medida en  $(\Omega, \mathcal{F})$ .

b) Si  $g : \Omega \rightarrow \overline{\mathbb{R}}$  es una función medible positiva, entonces

$$\int_{\Omega} g d\nu = \int_{\Omega} g \cdot f d\mu.$$

**Teorema A.13. Cambio de Variable.** Sean  $(\Omega_1, \mathcal{F}_1)$  y  $(\Omega_2, \mathcal{F}_2)$  espacios medibles y  $g : \Omega_2 \rightarrow \overline{\mathbb{R}}$  una función medible positiva.

a) Si  $\mu$  es una medida en  $(\Omega_1, \mathcal{F}_1)$  entonces la función  $\nu = \mu f^{-1} : \mathcal{F}_2 \rightarrow [0, \infty]$ , tal que  $A \rightarrow \mu(f^{-1}(A))$  es una medida en  $(\Omega_2, \mathcal{F}_2)$ .

b)  $\int_{\Omega_2} g d\nu = \int_{\Omega_1} g \circ f d\mu$ .

Sea  $f : \Omega \rightarrow \overline{\mathbb{R}}$  una función medible. Definimos la parte positiva de  $f$  y la parte negativa de  $f$  por

$$f^+ : \Omega \rightarrow \overline{\mathbb{R}}, \quad f^- : \Omega \rightarrow \overline{\mathbb{R}}$$

$$f^+(\omega) = \begin{cases} f(\omega), & \text{si } f(\omega) \geq 0 \\ 0, & \text{si } f(\omega) < 0 \end{cases}$$

y

$$f^-(\omega) = \begin{cases} 0, & \text{si } f(\omega) > 0 \\ f(\omega), & \text{si } f(\omega) \leq 0 \end{cases}$$

Cuando al menos una de las integrales  $\int f^+$ ,  $\int f^-$  es finita, decimos que la integral de  $f$  con respecto a  $\mu$  está bien definida y su valor es

$$\int_{\Omega} f d\mu = \int_{\Omega} f^+ d\mu - \int_{\Omega} f^- d\mu.$$

Luego, cuando ambas  $\int f^+$ ,  $\int f^-$  son finitas, decimos que  $f$  es  $\mu$ -integrable.

**Teorema A.14.** Sea  $f : \Omega \rightarrow \overline{\mathbb{R}}$  una función medible. Entonces,

$$f \text{ integrable} \Leftrightarrow \int_{\Omega} |f| d\mu < \infty.$$

**Teorema A.15.** Sean  $f$  y  $g$  funciones medibles integrables.

1. Si  $c \in \mathbb{R}$  entonces  $cf$  es integrable y

$$\int cf = c \int f.$$

2.  $f + g$  es integrable y  $\int f + g = \int f + \int g$
3. Si  $f \leq g$  entonces  $\int f \leq \int g$ . En particular,  $|\int f| \leq \int |f|$ .
4. Si  $A_1, \dots, A_n \in \mathcal{F}$  y  $A_1, \dots, A_n$  son disjuntos dos a dos,

$$\int_{\bigcup_{k=1}^n A_k} f d\mu = \sum_{k=1}^n \int_{A_k} f d\mu.$$

5. Lo anterior vale para una colección infinita numerable

$$\int_{\bigcup_{k=1}^{\infty} A_k} f d\mu = \sum_{k=1}^{\infty} \int_{A_k} f d\mu.$$

6. Si  $A_1, A_2, \dots \in \mathcal{F}$  y  $A_n \downarrow A$  o bien  $A_n \uparrow A$ , entonces

$$\lim_{n \rightarrow \infty} \int_{A_n} f d\mu = \int_A f d\mu.$$

**Teorema A.16.** Sean  $f, g, f_1, f_2, \dots : \Omega \rightarrow \overline{\mathbb{R}}$  funciones medibles tales que

1.  $\lim_{n \rightarrow \infty} f_n = f$ .
2.  $|f_n| \leq g$ , para todo  $n \geq 1$
3.  $g$  es integrable.

Entonces  $\lim_{n \rightarrow \infty} \int f_n = \int f$ .

Los resultados enunciados previamente valen si se agrega «casi seguramente». Esto es, que la propiedad vale salvo eventualmente en un conjunto  $\mathcal{N}$  tal que  $\mu(\mathcal{N}) = 0$ .

Los siguientes dos teoremas requieren de ciertos preliminares que no vamos a presentar (teorema de Carathéodory, medida producto, sigma álgebra producto). El lector puede consultar (Folland, 1984).

**Teorema A.17. Tonelli.** Sean  $(\Omega_1, \mathcal{F}_1, \mu_1)$ ,  $(\Omega_2, \mathcal{F}_2, \mu_2)$  espacios de medida  $\sigma$ -finitos<sup>7</sup> y  $f : \Omega_1 \times \Omega_2 \rightarrow \overline{\mathbb{R}}$  una función  $\mathcal{F}_1 \otimes \mathcal{F}_2$ -medible positiva. Entonces:

1. Para cada  $x \in \Omega_1$ , la función  $f_x : \Omega_2 \rightarrow \overline{\mathbb{R}}$ ,  $y \rightarrow f(x, y)$  es  $\mathcal{F}_2$  medible y positiva.
2. La función  $\varphi : \Omega_1 \rightarrow \overline{\mathbb{R}}$  tal que  $x \rightarrow \int_{\Omega_2} f(x, y) d\mu_2(y)$  es  $\mathcal{F}_1$  medible.
3. Para cada  $y \in \Omega_2$ , la función  $f^y : \Omega_1 \rightarrow \overline{\mathbb{R}}$  es  $\mathcal{F}_1$ -medible positiva.
4. La función  $\psi : \Omega_2 \rightarrow \overline{\mathbb{R}}$ ,  $y \rightarrow \int_{\Omega_1} f^y(x) d\mu_1(x)$  es  $\mathcal{F}_2$  medible.
5. Y

$$\int_{\Omega_1 \times \Omega_2} f(x, y) d(\mu_1 \times \mu_2)(x, y) = \int_{\Omega_1} \varphi(x) d\mu_1(x) = \int_{\Omega_2} \psi(y) d\mu_2(y).$$

**Teorema A.18. Fubini.** Sean  $(\Omega_1, \mathcal{F}_1, \mu_1)$ ,  $(\Omega_2, \mathcal{F}_2, \mu_2)$  espacios de medida  $\sigma$ -finitos y  $f : \Omega_1 \times \Omega_2 \rightarrow \overline{\mathbb{R}}$  una función  $\mathcal{F}_1 \otimes \mathcal{F}_2$  medible integrable. Entonces,

1. Para cada  $x \in \Omega_1$  la función  $f_x : \Omega \rightarrow \overline{\mathbb{R}}$ ,  $y \rightarrow f(x, y)$  es  $\mathcal{F}_2$  medible.

---

<sup>7</sup> $\mu_i$  es medida sobre  $\Omega_i$  y existen  $\{A_k^i\}_{k \geq 1}$  tales que  $\mu(A_k^i) < \infty$  y  $\bigcup_{k=1}^{\infty} A_k^i = \Omega_i$ .

2.  $f_x$  es  $\mu_2$  integrable  $\mu_1$ -c.s.
3. La función  $\varphi : \Omega_1 \rightarrow \overline{\mathbb{R}}$  tal que  $x \rightarrow \int_{\Omega_2} f_x(y) d\mu_2(y)$  definida  $\mu_1$ -c.s. es  $\mathcal{F}_1$  medible y  $\mu_1$  integrable.
4. Para cada  $y \in \Omega_2$ , la función  $f^y : \Omega_1 \rightarrow \overline{\mathbb{R}}$  es  $\mathcal{F}_1$ -medible.
5.  $f^y$  es  $\mu_1$ -integrable  $\mu_2$ -c.s.
6. La función  $\psi : \Omega_2 \rightarrow \overline{\mathbb{R}}$  tal que  $y \rightarrow \int_{\Omega_1} f(x, y) d\mu_1(x)$  definida  $\mu_2$  c.s. es  $\mathcal{F}_2$  medible y  $\mu_2$  integrable.
7.  $\int_{\Omega_1 \times \Omega_2} f(x, y) d(\mu_1 \times \mu_2)(x, y) = \int_{\Omega_1} \varphi(x) d\mu_1(x) = \int_{\Omega_2} \psi(y) d\mu_2(y)$ .

Antes de terminar con el breve repaso de teoría de la medida, enunciamos el teorema de Radon-Nikodym. Enseguida, pasamos a la definición de esperanza condicional en el caso general.

Sean  $\mu$  y  $\nu$  medidas en el espacio medible  $(\Omega, \mathcal{F})$ . Decimos que  $\nu$  es absolutamente continua con respecto a  $\mu$  cuando

$$\nu(A) = 0, \forall A \in \mathcal{F}, \text{ con } \mu(A) = 0.$$

Denotamos esta situación por  $\nu \ll \mu$ .

**Teorema A.19. Radon-Nikodym.** Sean  $\mu$  y  $\nu$  medidas  $\sigma$ -finitas en el espacio medible  $(\Omega, \mathcal{F})$  tales que  $\nu < \mu$ .

1. Existe  $f : \Omega \rightarrow \overline{\mathbb{R}}$  medible positiva tal que  $d\nu = f d\mu$ :  $f = \frac{d\nu}{d\mu}$ .
2.  $f$  es  $\mu$ -única (si  $g$  es otra función,  $g = f$  c.s.)

Regresamos al mundo de la probabilidad. Sea  $(\Omega, \mathcal{F}, \mathbb{P})$  un espacio de probabilidad y  $X : \Omega \rightarrow \overline{\mathbb{R}}$  una variable aleatoria. La media o esperanza de  $X$  es definida por

$$\mathbb{E}[X] = \int_{\Omega} X d\mathbb{P}.$$

Si  $X : \Omega \rightarrow \mathbb{R}^k$  es un vector aleatorio y  $g : \mathbb{R}^k \rightarrow \mathbb{R}$  es una función Borel medible, entonces

$$\mathbb{E}[g(X)] = \int_{\mathbb{R}^k} g(x) \underbrace{d\mathbb{P}_X(x)}_{\text{medida que induce } X}.$$

**Definición A.0.21.** Sean  $(\Omega_1, \mathcal{F}_1, \mathbb{P}^1)$ ,  $(\Omega_2, \mathcal{F}_2, \mathbb{P}^2)$  espacios de probabilidad y  $X : \Omega_1 \rightarrow \mathbb{R}^k$  y  $Y : \Omega_2 \rightarrow \mathbb{R}^k$  vectores aleatorios. Diremos que  $X$  e  $Y$  están idénticamente distribuidos si  $\mathbb{P}_X^1 = \mathbb{P}_Y^2$ . Denotamos esto por  $X \sim Y$ .

**Teorema A.20.** Si  $X \sim Y$ , entonces:

1. Si  $g : \mathbb{R}^k \rightarrow \mathbb{R}$  es función Borel medible, entonces

$$g(X) = g(Y).$$

2. Si  $k = 1$ , y las v.a son integrables,  $\mathbb{E}[X] = \mathbb{E}[Y]$ .

**Teorema A.21.** Sean  $(\Omega, \mathcal{F}, \mathbb{P})$  un espacio de probabilidad y  $X : \Omega \rightarrow \overline{\mathbb{R}}$  una v.a. positiva. Entonces

$$\mathbb{E}[X] = \int_0^\infty \mathbb{P}(X > x) dx = \int_0^\infty \mathbb{P}(X \geq x) dx.$$

*Demostración.* Tenemos que

$$\int_0^\infty \mathbb{P}(X > x) dx = \int_0^\infty \left[ \int_\Omega \mathbf{1}_{X>x}(\omega) d\mathbb{P}(\omega) \right] dx.$$

Ahora bien

$$\mathbf{1}_{X>x}(\omega) = \begin{cases} 1, & \text{si } \underbrace{X(\omega) > x}_{x \in [0, X(\omega)}} \\ 0, & \text{caso contrario.} \end{cases}$$

Luego, por el teorema de Tonelli

$$\begin{aligned} \int_0^\infty \left[ \int_\Omega \mathbf{1}_{X>x}(\omega) d\mathbb{P}(\omega) \right] dx &= \int_\Omega \left[ \int_0^\infty \mathbf{1}_{[0, X(\omega))}(x) dx \right] d\mathbb{P}(\omega) \\ &= \int_\Omega X(\omega) d\mathbb{P}(\omega) \\ &= \mathbb{E}[X]. \end{aligned}$$

□

**Teorema A.22.** Sea  $X : \Omega \rightarrow \mathbb{R}$  una variable aleatoria positiva. Entonces

$$\sum_{n=1}^\infty \mathbb{P}(X \geq n) \leq \mathbb{E}[X] \leq 1 + \sum_{n=1}^\infty \mathbb{P}(X \geq n).$$

*Demostración.* Para  $n \geq 1$ , sea  $A_n = \{n - 1 \leq X < n\}$ . Entonces, definiendo  $B_n = \{X \geq n\}$ <sup>8</sup>

$$\begin{aligned}
 \mathbb{E}[X] &= \int_{\Omega} X d\mathbb{P} \\
 &= \sum_{n=1}^{\infty} \int_{A_n} X d\mathbb{P} \\
 &\leq \sum_{n=1}^{\infty} \int_{A_n} n d\mathbb{P} \\
 &= \sum_{n=1}^{\infty} \mathbb{P}(A_n) \\
 &= \sum_{n=1}^{\infty} n[\mathbb{P}(B_{n-1}) - \mathbb{P}(B_n)] \\
 &= \lim_{n \rightarrow \infty} \sum_{k=1}^{n+1} k[\mathbb{P}(B_{k-1}) - \mathbb{P}(B_k)] \\
 &= \lim_{n \rightarrow \infty} \left[ \mathbb{P}(B_0) + \sum_{k=1}^n \mathbb{P}(B_k) - (n+1)\mathbb{P}(B_n) \right] \\
 &\leq 1 + \lim_{n \rightarrow \infty} \sum_{k=1}^n \mathbb{P}(B_k) \\
 &= 1 + \sum_{k=1}^{\infty} \mathbb{P}(B_k).
 \end{aligned}$$

Respecto a la primera desigualdad,

$$\mathbb{E}[X] \geq \left[ \lim_{m \rightarrow \infty} \sum_{n=1}^m \mathbb{P}(B_n) - m\mathbb{P}(B_m) \right].$$

Si  $\mathbb{E}[X] = \infty$  ya está. En caso  $\mathbb{E}[X] < \infty$ , como  $B_m \downarrow \emptyset$ ,  $\nu$  tal que  $d\nu = X d\mathbb{P}$  es finita<sup>9</sup>

$$\begin{aligned}
 \nu(B_m) &= \int_{B_m} X d\mathbb{P} \geq \int_{B_m} m d\mathbb{P} = m\mathbb{P}(B_m) \geq 0 \\
 \implies \lim_m m \cdot \mathbb{P}(B_m) &= 0.
 \end{aligned}$$

Así,

$$\mathbb{E}[X] \geq \sum_{n=1}^{\infty} \mathbb{P}(B_n).$$

□

<sup>8</sup> $B_{n-1} = A_n \cup B_n$ .

<sup>9</sup>Pues  $\nu(\Omega) = \int_{\Omega} X d\mathbb{P} < \infty$ .

Sean  $(\Omega, \mathcal{F}, \mathbb{P})$  un espacio de probabilidad y  $X_1, X_2, \dots, X_n$  variables aleatorias. Sea  $X = (X_1, X_2, \dots, X_n) : \Omega \rightarrow \mathbb{R}^n$  vector aleatorio.

- $P_X$  es una medida de probabilidad en  $(\mathbb{R}^n, \mathcal{B}_{\mathbb{R}^n})$ .
- $\mathbb{P}_{X_1}, \dots, \mathbb{P}_{X_n}$  son medidas de probabilidad en  $(\mathbb{R}, \mathcal{B}_{\mathbb{R}})$  y  $\mathbb{P}_{X_1} \times \dots \times \mathbb{P}_{X_n}$  es una medida de probabilidad en

$$(\mathbb{R}^n, \mathcal{B}_{\mathbb{R}} \otimes \dots \otimes \mathcal{B}_{\mathbb{R}}) = (\mathbb{R}^n, \mathcal{B}_{\mathbb{R}^n}).$$

**Teorema A.23.** Son equivalentes

1.  $X_1, \dots, X_n$  son v.a. independientes
2.  $\mathbb{P}_{(X_1, \dots, X_n)} = \mathbb{P}_{X_1} \times \dots \times \mathbb{P}_{X_n}$ .

**Teorema A.24.** Si  $X_1, \dots, X_n$  son variables aleatorias independientes e integrables, entonces

$$\mathbb{E} \left[ \prod_{i=1}^n X_i \right] = \prod_{i=1}^n \mathbb{E}[X_i].$$

*Demostración.* Consideramos  $X : (\Omega, \mathcal{F}) \rightarrow (\mathbb{R}^n, \mathcal{B}_{\mathbb{R}^n})$  y  $g : \mathbb{R}^n \rightarrow \mathbb{R}$ ,  $g(x_1, \dots, x_n) = x_1 \cdots x_n$ . Entonces,  $X_1 \cdots X_n = g \circ X$ . Ahora bien,  $\tilde{g}(x_1, \dots, x_n) = |x_1 \cdots x_n|$ .

$$\begin{aligned} \mathbb{E}[|X_1 \cdots X_n|] &= \int_{\Omega} \tilde{g}(X) d\mathbb{P} \\ &= \int_{\mathbb{R}^n} \tilde{g}(x) d\mathbb{P}_X(x) \\ &= \int_{\mathbb{R}^n} |x_1 \cdots x_n| d(\mathbb{P}_{X_1} \times \dots \times \mathbb{P}_{X_n})(x) \\ &= \int_{\mathbb{R}} \left[ \int_{\mathbb{R}} \cdots \left[ \int_{\mathbb{R}} |x_1| \cdots |x_n| d\mathbb{P}_{X_n}(x_n) \right] \cdots d\mathbb{P}_{X_2}(x_2) \right] d\mathbb{P}_{X_1}(x_1) \\ &= \int_{\mathbb{R}} \left[ \int_{\mathbb{R}} \cdots |x_1| \cdots |x_{n-1}| \left[ \int_{\mathbb{R}} |x_n| d\mathbb{P}_{X_n}(x_n) \right] \cdots d\mathbb{P}_{X_2}(x_2) \right] d\mathbb{P}_{X_1}(x_1) \\ &= \mathbb{E}[X_n] \cdots \mathbb{E}[X_{n-1}] \cdots \mathbb{E}[|X_1|] < \infty. \end{aligned}$$

Así,  $X_1 \cdots X_n$  es integrable. Luego,

$$\begin{aligned} \mathbb{E}[X_1 \cdots X_n] &= \int_{\Omega} h(X) d\mathbb{P} = \int_{\mathbb{R}^n} g(x) d\mathbb{P}_X(x) \\ &= \cdots = \mathbb{E}[X_n] \cdots \mathbb{E}[X_1]. \end{aligned}$$

□

Sean  $(\Omega, \mathcal{F}, \mathbb{P})$  un espacio de probabilidad y  $X : \Omega \rightarrow \mathbb{R}$  una variable aleatoria integrable. Recordemos que la varianza de  $X$  se define como

$$\text{Var}(X) = \mathbb{E}[(X - \mathbb{E}[X])^2].$$

**Teorema A.25.** Sea  $X$  v.a.

- a)  $\text{Var}(X) = \mathbb{E}[X^2] - \mathbb{E}[X]^2$ .
- b)  $\text{Var}(X) \geq 0$ . En particular,  $\mathbb{E}[X^2] \geq \mathbb{E}[X]^2$ .
- c)  $\text{Var}(X) = 0$ , entonces  $X = \mathbb{E}[X]$  c.s.
- d)  $\text{Var}(cX) = c^2\text{Var}(X)$  para todo  $c \in \mathbb{R}$  y  $\text{Var}(X + c) = \text{Var}(X)$ .
- e) Si  $X_1, \dots, X_n$  son v.a. independientes e integrables tales que  $\mathbb{E}[X_j^2] < \infty$  para  $j = 1, \dots, n$ . Entonces

$$\text{Var}(X_1 + \dots + X_n) = \sum_{j=1}^n \text{Var}(X_j).$$

A continuación, algunas desigualdades clásicas en teoría de la probabilidad que aparecen con frecuencia a la hora de hacer inferencia estadística desde la perspectiva teórica.

**Teorema A.26. Desigualdad de Markov.** Sea  $X$  una v.a. y  $t > 0$ . Entonces

$$\mathbb{P}(\{|X| \geq t\}) \leq \frac{\mathbb{E}[|X|]}{t}.$$

*Demostración.* Tenemos

$$\begin{aligned} \mathbb{E}[|X|] &= \int_{\Omega} |X| d\mathbb{P} \\ &= \int_{\{|X| \geq t\}} |X| d\mathbb{P} + \int_{\{|X| < t\}} |X| d\mathbb{P} \\ &\geq \int_{\{|X| \geq t\}} t d\mathbb{P} = t\mathbb{P}\{|X| \geq t\}. \end{aligned}$$

□

**Teorema A.27. Desigualdad de Chebyshev.** Sea  $X$  una variable aleatoria integrable y  $t > 0$ , entonces

$$\mathbb{P}(|X - \mathbb{E}[X]| \geq t) \leq \frac{\text{Var}(X)}{t^2}.$$

*Demostración.* Escribimos  $Y = X - \mathbb{E}[X]$

$$\begin{aligned}
 \text{Var}(X) &= \mathbb{E}[Y^2] \\
 &= \int_{\Omega} Y^2 d\mathbb{P} \\
 &= \int_{\{|Y| \geq t\}} Y^2 d\mathbb{P} + \int_{\{|Y| < t\}} Y^2 d\mathbb{P} \\
 &\geq \int_{\{|Y| \geq t\}} t^2 d\mathbb{P} + \int_{\{|Y| < t\}} Y^2 d\mathbb{P} \\
 &\geq \int_{\{|Y| \geq t\}} t^2 d\mathbb{P} \\
 &= t^2 \mathbb{P}(\{|Y| \geq t\}).
 \end{aligned}$$

□

**Teorema A.28.** Sean  $Z$  una variable aleatoria positiva,  $\varphi : [0, \infty) \rightarrow [0, \infty)$  estrictamente creciente y  $t > 0$ . Entonces,

$$\mathbb{P}(Z \geq t) \leq \frac{\mathbb{E}[\varphi(Z)]}{\varphi(t)}.$$

*Demostración.* Tenemos

$$\begin{aligned}
 \mathbb{E}[\varphi(Z)] &= \int_{\{Z \geq t\}} \varphi(Z) d\mathbb{P} + \int_{\{Z < t\}} \varphi(Z) d\mathbb{P} \\
 &\geq \int_{\{Z \geq t\}} \varphi(t) d\mathbb{P} \\
 &= \varphi(t) \mathbb{P}(Z \geq t).
 \end{aligned}$$

□

**Teorema A.29. Desigualdad de Jensen.** Sean  $X$  una v.a. y  $\varphi : \mathbb{R} \rightarrow \mathbb{R}$  una función convexa tales que  $X$  y  $\varphi(X)$  son integrables. Entonces,

$$\mathbb{E}[\varphi(X)] \geq \varphi(\mathbb{E}[X]).$$

A continuación definimos la función generadores de momentos y la función característica asociada a una variable o vector aleatorio.

**Definición A.0.22.** Sea  $X$  una v.a. La función generadora de momentos de  $X$  es definida por

$$\psi_X(t) = \mathbb{E}[e^{tX}], \quad \forall t \in \mathbb{R}.$$

**Definición A.0.23.** La función característica de  $X$  es definida por

$$\varphi_X(t) = \mathbb{E}[e^{itX}] = \mathbb{E}[\cos(tX) + i \sin(tX)].$$

**Teorema A.30.** Si  $\mathbb{E}[e^{\delta|X|}] < \infty$  para algún  $\delta > 0$  entonces  $X^{(k)}$  es integrable y  $\mathbb{E}[X^k] = \psi_X^{(k)}(0)$ ,  $\forall k \in \mathbb{Z}_+$ .

**Teorema A.31.** Si  $\mathbb{E}[|X|^r] < \infty$  para algún  $r \in \mathbb{Z}_+$  entonces  $\varphi_X$  es de clase  $C^r$  y

$$\varphi_X(t) = \mathbb{E}[(iX)^r e^{itX}], \quad \forall t \in \mathbb{R}.$$

*Demostración.* Supongamos primero que  $r = 1$ .

$$\begin{aligned} \frac{\varphi(t+h) - \varphi(t)}{t} &= \frac{\mathbb{E}[e^{i(t+h)X}] - \mathbb{E}[e^{itX}]}{h} \\ &= \frac{1}{h} \left[ \int_{\mathbb{R}} e^{i(t+h)x} d\mathbb{P}_X(x) - \int_{\mathbb{R}} e^{itx} d\mathbb{P}_X(x) \right] \\ &= \int_{\mathbb{R}} \frac{e^{i(t+h)x} - e^{itx}}{h} d\mathbb{P}_X(x) \\ &= \int_{\mathbb{R}} \frac{e^{itx}(e^{ihx} - 1)}{h} d\mathbb{P}_X(x) \\ &= \int_{\mathbb{R}} ix \frac{e^{itx}(e^{ihx} - 1)}{ixh} d\mathbb{P}_X(x). \end{aligned}$$

Haciendo  $h \rightarrow 0$ , y usando el TCD

$$\lim_{h \rightarrow 0} \frac{\varphi(t+h) - \varphi(t)}{t} = \int_{\mathbb{R}} ix e^{itx} d\mathbb{P}_X(x).$$

En efecto, para  $h \in (-1, 1)$ ,  $x \neq 0$

$$\begin{aligned} \left| ix e^{itx} \frac{e^{ihx} - 1}{ihx} \right| &\leq \left| ix e^{itx} \frac{-1 + \cos(hx) + i \sin(hx)}{hx} \right| \\ &\leq |ix e^{itx}| \cdot \left( \underbrace{\left| \frac{1 - \cos(hx)}{hx} \right|}_{\leq \theta_0} + \underbrace{\left| \frac{\sin(hx)}{hx} \right|}_{\leq 1} \right) \\ &\leq \theta_1 |x|. \end{aligned}$$

De este modo, como

$$\int_{\mathbb{R}} \theta_1 |x| d\mathbb{P}_X(x) = \theta_1 \mathbb{E}[|X|] < \infty,$$

se sigue que

$$\lim_{h \rightarrow 0} \frac{\varphi(t+h) - \varphi(t)}{h} = \int_{\mathbb{R}} ix e^{itx} d\mathbb{P}_X(x) = \mathbb{E}[iX e^{itX}].$$

Ahora bien, para probar que es  $C^1$ , tenemos

$$\varphi(t+h) - \varphi(t) = \int_{\mathbb{R}} ix e^{itx} [e^{ihx} - 1] d\mathbb{P}_X(x).$$

Como

$$|ix e^{itx} [e^{ihx} - 1]| \leq 2|x|$$

por el Teorema de la Convergencia Dominada

$$\lim_{h \rightarrow 0} \varphi(t+h) - \varphi(t) = \int_{\mathbb{R}} 0 d\mathbb{P}_X(x) = 0.$$

Sea ahora  $r \in \mathbb{Z}_+$ . Primero, se cumple que  $\mathbb{E}[|X|^{r+1}] < \infty$  implica  $\mathbb{E}[|X|^r] < \infty$ . En efecto, en general, si  $0 < \alpha < \beta$ ,  $\mathbb{E}[|X|^\beta] < \infty \implies \mathbb{E}[|X|^\alpha] < \infty$ . Basta que probemos para  $\alpha = 1$  pues siempre podemos tomar  $Y = |X|^\alpha$  y considerar  $Y^\gamma$ , donde  $\gamma = \beta/\alpha > 1$ . Entonces,

$$\begin{aligned} \mathbb{E}[Y] &= \int_{\{Y \geq 1\}} Y + \int_{\{Y < 1\}} Y \\ &\leq \int_{\{Y \geq 1\}} Y^\gamma + \int_{\{Y < 1\}} Y \\ &\leq \mathbb{E}[Y^\gamma] + 1 < \infty. \end{aligned}$$

Otra forma es usando la desigualdad de Jensen:  $t^\gamma$  para  $\gamma > 1$  es convexa. Así,

$$\mathbb{E}[Y_N^\gamma] \geq (\mathbb{E}[Y_N])^\gamma.$$

Ahora bien, haciendo  $N \rightarrow \infty$ , por el Teorema de la Convergencia Monótona

$$\mathbb{E}[Y^\gamma] \geq (\mathbb{E}[Y])^\gamma.$$

Ahora bien,

$$\frac{\varphi^{(r)}(t+h) - \varphi^{(r)}(t)}{h} = \int_{\mathbb{R}} (ix)^r e^{itx} \left[ \frac{e^{ihx} - 1}{h} \right] d\mathbb{P}_X(x).$$

Luego,

$$\begin{aligned} (ix)^r e^{itx} \left[ \frac{e^{ihx} - 1}{h} \right] &\rightarrow (ix)^{r+1} e^{itx} \\ \left| (ix)^r e^{itx} \left[ \frac{e^{ihx} - 1}{h} \right] \right| &\leq \theta_1 |x|^{r+1} \\ \int_{\mathbb{R}} \theta_1 |x|^{r+1} d\mathbb{P}_X(x) &= \theta_1 \mathbb{E}[|X|^{r+1}] < \infty. \end{aligned}$$

Por el Teorema de la Convergencia Dominada

$$\begin{aligned} \lim_{h \rightarrow 0} \frac{\varphi^{(r)}(t+h) - \varphi^{(r)}(t)}{h} &= \int_{\mathbb{R}} (ix)^{r+1} e^{itx} d\mathbb{P}_X(x) \\ &= \mathbb{E}[(iX)^{r+1} e^{itX}]. \end{aligned}$$

La continuidad de  $\varphi^{(r+1)}$  se prueba de forma análoga. □

Note que

1.  $|\varphi(t)| \leq \varphi(0) = 1, \forall t \in \mathbb{R}$
2.  $\varphi$  es uniformemente continua.
3. Si  $a, b \in \mathbb{R}, \varphi_{aX+b}(t) = \varphi(at)e^{itb}$ .
4.  $\varphi(-t) = \overline{\varphi(t)}$ .
5.  $\varphi$  toma valores reales si y solo si  $X$  es una v.a. simétrica. Esto es,  $\mathbb{P}_X(B) = \mathbb{P}_X(-B)$ .

*Demostración.* Inciso por inciso:

1.  $|\varphi(t)| \leq |\mathbb{E}[e^{itX}]| \leq \mathbb{E}[|e^{itX}|] = 1 = \varphi(0), \forall t \in \mathbb{R}$ .
2.  $|\varphi(t+h) - \varphi(t)| = \left| \int_{\mathbb{R}} e^{itx}(e^{ih} - 1) d\mathbb{P}_X(x) \right| \leq \int_{\mathbb{R}} |e^{ihx} - 1| d\mathbb{P}_X(x)$ .
3.  $\varphi_{aX+b}(t) = \mathbb{E}[e^{it(aX+b)}] = e^{itb} \mathbb{E}[e^{itaX}] = e^{itb} \varphi(ta)$ .
4.  $\varphi(-t) = \mathbb{E}[e^{-itX}] = \mathbb{E}[\overline{e^{itX}}] = \overline{\mathbb{E}[e^{itX}]} = \overline{\varphi(t)}$ .
5.  $\varphi_{-X}(t) = \mathbb{E}[e^{it(-X)}] = \varphi_X(-t) = \overline{\varphi_X(t)} = \varphi_X(t), \forall t \in \mathbb{R}$ . Recíprocamente,

$$\varphi_X(t) = \varphi_{-X}(t) = \overline{\varphi_X(t)} \implies \varphi_X(t) \in \mathbb{R}.$$

□

**Teorema A.32.** Sea  $\varphi$  la función característica del vector aleatorio  $X : \Omega \rightarrow \mathbb{R}^n$ . Entonces,

1.  $|\varphi(t)| \leq \varphi(0) = 1$ .

2.  $\varphi$  es uniformemente continua.
3. Si  $a \in \mathbb{R}$  y  $b \in \mathbb{R}^n$ , entonces

$$\varphi_{aX+b}(t) = \varphi(at)e^{it \cdot b}, \quad \forall t \in \mathbb{R}^n.$$

4. Las v.a.  $X_1, \dots, X_n$  son independientes si y solo si  $\varphi(t) = \prod_{k=1}^n \varphi_{X_k}(t_k), \forall t \in \mathbb{R}^n$ .
5. Si  $Y : \tilde{\Omega} \rightarrow \mathbb{R}$  es un vector aleatorio y  $\varphi_Y = \varphi$ , entonces  $Y \sim X$ .

Las funciones características son de mucha utilidad a la hora de probar cuestiones relacionadas a la convergencia de variables aleatorias. Esto se ilustra a continuación.

**Teorema A.33.** Sean  $X_1, X_2, \dots$  v.a. independientes e idénticamente distribuidas (iid). Si

$$\mathbb{E}[X_1] = m < \infty$$

entonces

$$\underbrace{\frac{1}{n} \sum_{k=1}^n X_k}_{=S_n/n} \rightarrow m = Y$$

en distribución.

*Demostración.*

$$\begin{aligned} \varphi_{S_n/n}(t) &= \mathbb{E}[e^{it \frac{S_n}{n}}] \\ &= \mathbb{E}\left[e^{\sum_{k=1}^n \frac{itX_k}{n}}\right] \\ &= \mathbb{E}\left[\prod_{k=1}^n e^{\frac{itX_k}{n}}\right] \\ &= \prod_{k=1}^n \mathbb{E}\left[e^{\frac{itX_k}{n}}\right] \\ &= \prod_{k=1}^n \mathbb{E}\left[e^{\frac{itX_1}{n}}\right] \\ &= \left(\mathbb{E}\left[e^{\frac{itX_1}{n}}\right]\right)^n \\ &= \varphi_{X_1}\left(\frac{t}{n}\right)^n. \end{aligned}$$

Usando una aproximación lineal de primer orden,

$$\varphi_{X_1} \left( \frac{t}{n} \right) = \left[ 1 + im \frac{t}{n} + o \left( \left| \frac{t}{n} \right| \right) \right]^n.$$

Haciendo  $n \rightarrow \infty$ ,

$$\lim_{n \rightarrow \infty} \varphi_{S_n/n}(t) = e^{itm} = \varphi_Y(t).$$

Así, concluimos, pues la convergencia de las funciones características implica la convergencia en distribución.  $\square$

**Teorema A.34. Límite central.** Sean  $X_1, X_2, \dots$  v.a. independientes e idénticamente distribuidas (iid). Si  $\mathbb{E}[X_1^2] < \infty$ ,  $\mathbb{E}[X_1] = m$  y  $\text{Var}(X_1) = \sigma^2$ , entonces

$$\frac{S_n - mn}{\sigma\sqrt{n}} \rightarrow N(0, 1)$$

en distribución.

*Demostración.* Sea  $Y_k = X_k - \mathbb{E}[X_k] = X_k - m$  y  $T_n = \sum_{k=1}^n Y_k = S_n - mn$ .

$$\begin{aligned} \varphi_{\frac{T_n}{\sigma\sqrt{n}}} &= \prod_{k=1}^n \mathbb{E} \left[ e^{\frac{itY_k}{\sigma\sqrt{n}}} \right] \\ &= \left( \mathbb{E} \left[ e^{\frac{itY_1}{\sigma\sqrt{n}}} \right] \right)^n \\ &= \left( \varphi_{Y_1} \left( \frac{t}{\sigma\sqrt{n}} \right) \right)^n \\ &= \left[ 1 + i \cdot 0 \frac{t}{\sigma\sqrt{n}} + \frac{1}{2} i^2 \sigma^2 \left( \frac{t}{\sigma\sqrt{n}} \right)^2 + o \left( \frac{t^2}{\sigma^2 n} \right) \right]^n \\ &= \left[ 1 + \frac{t^2}{n} \left( -\frac{1}{2} + \frac{b_n}{\sigma^2} \right) \right]^n. \end{aligned}$$

Como  $\frac{b_n t^2}{\sigma^2 n} \rightarrow 0$ ,

$$\varphi_{\frac{T_n}{\sigma\sqrt{n}}} \rightarrow e^{-\frac{t^2}{2}} = \varphi_Z(t).$$

$\square$

Seguimos con una breve discusión acerca de los espacios  $L^p$ . Esta última nos permitirá abordar el tema de los modos de convergencia de las variables aleatorias.

Sean  $(\Omega, \mathcal{F}, \mu)$  un espacio de medida y  $p > 0$ . Definimos

$$L^p(\Omega, \mathcal{F}, \mu) = \left\{ f : \Omega \rightarrow \mathbb{R} : \int_{\Omega} |f|^p d\mu < \infty \right\}$$

para  $f$  medible.

**Teorema A.35.** El espacio  $L^p(\Omega, \mathcal{F}, \mu)$  es un espacio vectorial<sup>10</sup>.

<sup>10</sup>Véase la definición en (Axler, 2015).

*Demostración.* Dado que  $L^p(\Omega, \mathcal{F}, \mu)$  es subconjunto de  $\{f : \Omega \rightarrow \mathbb{R}\}$ , solo debemos probar que  $f + \lambda g \in L^p$  cuando  $f, g \in L^p$  y  $\lambda \in \mathbb{R}$ .

$$\begin{aligned} |f + \lambda g|^p &\leq (|f| + |\lambda g|)^p \\ &\leq (2 \max\{|f|, |\lambda g|\})^p \\ &= 2^p (\max\{|f|^p, |\lambda g|^p\}) \\ &\leq 2^p (|f|^p + |\lambda|^p \cdot |g|^p) \\ \int |f + \lambda g|^p &\leq 2^p \left[ \int |f|^p + |\lambda|^p \int |g|^p \right] < \infty \\ f + \lambda g &\in L^p. \end{aligned}$$

□

**Teorema A.36. Desigualdad de Young.** Sean  $p, q > 1$  tales que  $\frac{1}{p} + \frac{1}{q} = 1$ . Si  $x, y \geq 0$ , entonces

$$xy \leq \frac{x^p}{p} + \frac{y^q}{q}.$$

*Demostración.* Si  $x = 0$  o  $y = 0$  es directo. Si  $x, y > 0$ , sean  $a = \ln x$  y  $b = \ln y$ . Entonces,

$$\frac{x^p}{p} + \frac{y^q}{q} = \frac{1}{p} e^{ap} + \frac{1}{q} e^{bq} \geq e^{a+b} = xy.$$

Estamos usando que  $x \rightarrow e^x$  es convexa.

□

Note, en relación a la desigualdad de Young, que también vale que si  $p_1, \dots, p_k > 0$  y  $\sum_{i=1}^k \frac{1}{p_i} = 1$  y  $x_1, \dots, x_k \geq 0$ , entonces

$$\prod_{i=1}^k x_i \leq \sum_{i=1}^k \frac{x_i^{p_i}}{p_i}.$$

**Teorema A.37. Desigualdad de Holder.** Sean  $p, q > 1$  tales que  $\frac{1}{p} + \frac{1}{q} = 1$  y  $f, g : \Omega \rightarrow \mathbb{R}$  funciones medibles. Entonces

$$\int |fg| \leq \left( \int |f|^p \right)^{1/p} \left( \int |g|^q \right)^{1/q}.$$

Además, cuando  $f \in L^p$ ,  $g \in L^q$ , vale la desigualdad si y solo si existen constantes  $a, b \geq 0$  tales que  $a^2 + b^2 \neq 0$  y  $b|f|^p = a|g|^q$  c.s.

*Demostración.* Primero, si  $\int |f|^p = 0$ ,  $f = 0$  c.s., por lo que  $|fg| = 0$  c.s. Análogo si  $\int |g|^q = 0$ . En caso  $\int |f|^p = \infty$  o  $\int |g|^q = \infty$ , también tenemos la desigualdad.

En caso  $\int |f|^p = \int |g|^q = 1$ , por la desigualdad de Young

$$1 = \frac{1}{p} \int |f|^p + \frac{1}{q} \int |g|^q \geq \int |fg|.$$

Si  $\int |f|^p, \int |g|^q \in (0, \infty)$ , sean

$$\tilde{f} = \frac{f}{(\int |f|^p)^{1/p}}, \quad \tilde{g} = \frac{g}{(\int |g|^q)^{1/q}}$$

Entonces,  $\int |\tilde{f}|^p = \int |\tilde{g}|^q = 1$  y concluimos. □

También vale que, dados  $p_1, \dots, p_k > 0$  con  $\frac{1}{p_1} + \dots + \frac{1}{p_k} = 1$  y  $f_1, \dots, f_k : \Omega \rightarrow \mathbb{R}$  funciones medibles, entonces

$$\prod_{i=1}^k \left( \int |f_i|^{p_i} \right)^{\frac{1}{p_i}} \geq \int |f_1 \cdots f_k|.$$

**Teorema A.38. Desigualdad de Minkowski.** Sean  $p \geq 1$  y  $f, g \in L^p$ . Entonces,

$$\|f + g\|_p \leq \|f\|_p + \|g\|_p.$$

*Demostración.* Para  $p = 1$  es consecuencia de la desigualdad triangular. Para  $p > 1$ , sea  $q = \frac{p}{p-1}$  y  $\theta = \frac{p}{q} = p - 1$ . Entonces,

$$\begin{aligned} \|f\|_p \cdot \|(f + g)^\theta\|_q &\geq \int |f| \cdot |f + g|^\theta \\ \|g\|_p \cdot \| |f + g|^\theta \|_q &\geq \int |g| \cdot |f + g|^\theta \\ (\|f\|_p + \|g\|_p) \|f + g\|_p^\theta &\geq \int (|f| + |g|) |f + g|^\theta \\ &\geq \int |f + g|^p. \end{aligned}$$

□

¿Es  $\|\cdot\|_p$  una norma en  $L^p$ ? Tenemos la desigualdad triangular (Minkowski), homogeneidad y  $f = 0 \implies \|f\|_p = 0$ . Sin embargo, no tenemos que  $\|f\|_p = 0$  implique  $f = 0$ , podemos concluir solo que  $f = 0$  c.s. Es por ello que frecuentemente se considera  $L^p / \sim$ : el espacio  $L^p$  cocientado por la relación de equivalencia « $f = g$  c.s.  $\Leftrightarrow f \sim g$ ».

**Teorema A.39.** El conjunto de funciones simples es denso en  $L^p$ .

*Demostración.* Para la prueba véase (Folland, 1984). □

Sea  $(\Omega, \mathcal{F}, \mu)$  un espacio de medida. Para cada función  $f : \Omega \rightarrow \mathbb{R}$  definimos el supremo esencial de  $|f|$  como

$$\|f\|_\infty = \inf\{a \in \mathbb{R} : \mu(\{|f| > a\}) = 0\}.$$

El espacio  $L^\infty = L^\infty(\Omega, \mathcal{F}, \mu)$  es definido como el conjunto de funciones medibles  $f : \Omega \rightarrow \mathbb{R}$  tales que  $\|f\|_\infty < \infty$ .

**Teorema A.40.** Si  $0 < p < q < r \leq \infty$ , entonces

1.  $L^q \subset L^p + L^r$ .
2.  $L^p \cap L^r \subset L^q$  y  $\|f\|_q \leq \|f\|_p^\lambda \|f\|_r^{1-\lambda}$ , con  $\lambda = \frac{q^{-1}-r^{-1}}{p^{-1}-r^{-1}}$ .

*Demostración.* Para (1), escribimos  $f = f\mathbf{1}_{\{|f| \leq 1\}} + f\mathbf{1}_{\{|f| > 1\}} = g + h$ . Entonces,

$$\begin{aligned} \int |g|^r &= \int |f|^r \mathbf{1}_{\{|f| \leq 1\}} \leq \int |f|^q \mathbf{1}_{\{|f| \leq 1\}} < \infty \\ \implies g &\in L^r \\ \int |h|^p &= \int |f|^p \mathbf{1}_{\{|f| > 1\}} \\ &\leq \int |f|^q \mathbf{1}_{\{|f| > 1\}} < \infty \\ \implies h &\in L^p. \end{aligned}$$

Luego, para (2), sean  $\alpha = \frac{r-p}{r-q}$ ,  $\beta = \frac{r-p}{q-p}$ ,  $a = \frac{p(r-q)}{r-p}$ ,  $b = \frac{r(q-p)}{r-p}$ . Por Holder (teorema A.37),

$$\| |f|^q \|_1 \leq \| |f|^a \|_\alpha \| |f|^b \|_\beta.$$

Entonces,

$$\begin{aligned} \int |f|^q &\leq \left( \int |f|^p \right)^{\frac{r-q}{r-p}} \left( \int |f|^r \right)^{\frac{q-p}{r-p}} \\ &= \|f\|_p^{\frac{p(r-q)}{r-p}} \|f\|_r^{\frac{r(q-p)}{r-p}} \\ \|f\|_q &\leq \|f\|_p^{\frac{p(r-q)}{q(r-p)}} \|f\|_r^{\frac{r(q-p)}{q(r-p)}}. \end{aligned}$$

□

**Teorema A.41.** Si  $\mu$  es una medida finita y  $0 < p < q \leq \infty$ , entonces  $L^q \subset L^p$  y  $\|f\|_p \leq \|f\|_q \mu(\Omega)^{\frac{1}{q} - \frac{1}{p}}$ , para toda  $f : \Omega \rightarrow \mathbb{R}$  medible.

*Demostración.* Sean  $\alpha = \frac{q}{p}$ ,  $\beta = \frac{q}{q-p}$ . Se tiene que  $\frac{1}{\alpha} + \frac{1}{\beta} = 1$ . Luego,

$$\begin{aligned} \| |f|^p \|_1 &\leq \| |f|^p \|_\alpha \| 1 \|_\beta \\ &= \left( \int |f|^p \left( \int |f|^q \right)^{\frac{p}{q}} \left( \int 1 \right)^{\frac{q-p}{q}} \right) \\ \|f\|_p &\leq \|f\|_q (\mu(\Omega))^{\frac{q-p}{qp}}. \end{aligned}$$

□

Continuamos este apéndice con el estudio de los modos de convergencia.

**Definición A.0.24.** Sean  $(X_n)$  una sucesión de variables aleatorias y  $X$  una variable aleatoria. Decimos que  $X_n$  converge casi seguramente (c.s) a  $X$  cuando

$$\mathbb{P}\{\omega \in \Omega : \lim_{n \rightarrow \infty} X_n(\omega) = X(\omega)\} = 1.$$

Se denota  $X_n \rightarrow X$  c.s.

**Definición A.0.25.** Decimos que  $X_n$  converge a  $X$  en probabilidad cuando

$$\lim_{n \rightarrow \infty} \mathbb{P}(|X_n - X| \geq \varepsilon) = 0, \forall \varepsilon > 0.$$

Esto es,

$$\lim_{n \rightarrow \infty} \mathbb{P}(|X_n - X| < \varepsilon) = 1, \forall \varepsilon > 0.$$

Se denota  $X_n \rightarrow X$  en  $\mathbb{P}$ .

**Definición A.0.26.** Decimos que  $X_n$  converge a  $X$  en  $L^p$  con  $p > 0$  cuando

1.  $X, X_1, X_2, X_3, \dots, \in L^p$
2.  $\lim_{n \rightarrow \infty} \mathbb{E}(|X_n - X|^p) = 0$ .

Denotamos esta situación  $X_n \rightarrow X$  en  $L^p$ .

Un caso interesante de la convergencia en  $L^p$  es el caso de la convergencia en media cuadrática véase (Rau, 2016) o (Casella and Berger, 2002).

**Definición A.0.27.** Decimos que  $X_n$  converge a  $X$  en distribución (o en ley) cuando se cumple una (y por lo tanto todas) de las siguientes condiciones

1.  $\lim_{n \rightarrow \infty} F_{X_n}(t) = F_X(t)$ , para todo  $t$  que es punto de continuidad de  $F_X$ .
2.  $\lim_{n \rightarrow \infty} \varphi_{X_n}(t) = \varphi_X(t)$ ,  $\forall t \in \mathbb{R}$ .
3.  $\lim_{n \rightarrow \infty} \mathbb{E}[g(X_n)] = \mathbb{E}[g(X)]$  para todo  $g : \mathbb{R} \rightarrow \mathbb{R}$  Borel medible y acotada. A esto se le denomina convergencia débil.

El siguiente teorema relaciona los modos de convergencia (casi segura, en probabilidad, en  $L^p$  y en distribución).

**Teorema A.42.** Sean  $(X_n)$  una sucesión de variables aleatorias y  $X$  una v.a. Entonces,

1. Si  $X_n \rightarrow X$  c.s., entonces  $X_n \rightarrow X$  en probabilidad.
2. Si  $X_n \rightarrow X$  en  $L^p$ , entonces  $X_n \rightarrow X$  en probabilidad.
3. Si  $X_n \rightarrow X$  en probabilidad, entonces  $X_n \rightarrow X$  en distribución.

**Teorema A.43.** Si  $X_n \rightarrow X$  en probabilidad, entonces existe una subsucesión  $(X_{n_k})_{k \in \mathbb{N}}$  de  $(X_n)$  tal que  $X_{n_k} \rightarrow X$  c.s.

Para la prueba de los teoremas A.42 y A.43, consultar por ejemplo (Gall, 2022). Por otro lado, como consecuencia del teorema A.43, dada una sucesión de v.a., podemos concluir que son equivalentes

1.  $X_n \rightarrow X$  en probabilidad.
2. Toda sub-sucesión de  $X_n$  posee una sub-sucesión que converge a  $X$  c.s.

A continuación una serie de propiedades que se cumplen en función del modo de convergencia:

- Sean  $X, X_1, \dots, Y, Y_1, \dots : \Omega \rightarrow \mathbb{R}$  variables aleatorias tales que  $X_n \rightarrow X$  c.s. y  $Y_n \rightarrow Y$  c.s. Entonces:
  - $\forall c \in \mathbb{R}, cX_n \rightarrow cX$  c.s.
  - $X_n + Y_n \rightarrow X + Y$  c.s.

- $X_n Y_n \rightarrow XY$  c.s.
  - $\varphi : \mathbb{R} \rightarrow \mathbb{R}$  continua, entonces  $\varphi \circ X_n \rightarrow \varphi \circ X$  c.s.
- Sean  $X, X_1, \dots, Y, Y_1, \dots : \Omega \rightarrow \mathbb{R}$  variables aleatorias tales que  $X_n \rightarrow X$  c.s. y  $Y_n \rightarrow Y$  en  $\mathbb{P}$ . Entonces:
- $\forall c \in \mathbb{R}, cX_n \rightarrow cX$  en  $\mathbb{P}$
  - $X_n + Y_n \rightarrow X + Y$  en  $\mathbb{P}$
  - $X_n Y_n \rightarrow XY$  en  $\mathbb{P}$
  - $\varphi : \mathbb{R} \rightarrow \mathbb{R}$  continua, entonces  $\varphi \circ X_n \rightarrow \varphi \circ X$  en  $\mathbb{P}$ .
- Sean  $p \geq 1$  y  $X, X_1, \dots, Y, Y_1, \dots$  v.a. en  $L^p$ . Entonces:
- Si  $c \in \mathbb{R}$  y  $X_n \rightarrow X$  en  $L^p$ , entonces  $cX_n \rightarrow cX$  en  $L^p$ .
  - Si  $X_n \rightarrow X$  en  $L^p$  y  $Y_n \rightarrow Y$  en  $L^p$  entonces  $X_n + Y_n \rightarrow X + Y$  en  $L^p$ .
  - Si  $X_n \rightarrow X$  en  $L^p$  y  $Y_n \rightarrow Y$  en  $L^q$  donde  $\frac{1}{p} + \frac{1}{q} = 1$ , entonces  $X_n Y_n \rightarrow XY$  en  $L^1$ .
- Sea  $c \neq 0$  y suponga que  $X_n \rightarrow X$  en distribución y  $Y_n \rightarrow y_0$  en distribución<sup>11</sup>. Entonces:
- $cX_n \rightarrow cX$  en distribución
  - $X_n + Y_n \rightarrow X + y_0$  en distribución
  - $X_n Y_n \rightarrow 0$  en distribución (para  $y_0 = 0$ ).
  - Si  $g$  es continua,  $g(X_n) \rightarrow g(X)$  en distribución.

A los ítems 1 y 2 se les conoce como Teorema de Slutsky, mientras que al ítem 4 se le conoce como teorema de Mann-Wald.

**Teorema A.44.** Sea  $(X_n)_{n \in \mathbb{N}}$  una sucesión tal que  $X_n \rightarrow X$  en probabilidad y tal que existe  $r \in (1, \infty)$  tal que  $\{\mathbb{E}[|X_n|^r]\}_{n \in \mathbb{N}}$  es acotada. Entonces,  $\mathbb{E}[|X|^r] < \infty$  y para todo  $p \in [1, r)$  la sucesión  $(X_n)_{n \in \mathbb{N}}$  converge casi seguramente a  $X$  en  $L^p$ .

<sup>11</sup>Como  $y_0$  es una constante, entonces la convergencia es en probabilidad.

Llegamos finalmente al último tópico de teoría de la probabilidad que se expone en este apéndice: el concepto de esperanza condicional.

Dada una variable aleatoria  $X$  integrable y  $\mathcal{G}$  un sub  $\sigma$ -álgebra de  $\mathcal{F}$ , queremos encontrar una v.a.  $Y$  tal que

1.  $Y$  es  $\mathcal{G}$ -medible.
2.  $\int_A Y d\mathbb{P} = \int_A X d\mathbb{P}, \forall A \in \mathcal{G}$ .

$\mathbb{P} : \mathcal{F} \rightarrow \mathbb{R}, \mathbb{P}|_{\mathcal{G}} : \mathcal{G} \rightarrow \mathbb{R}$  es una medida de probabilidad en  $(\Omega, \mathcal{G})$ . Sean  $\nu_1 : \mathcal{G} \rightarrow \mathbb{R}$  que hace  $A \rightarrow \int_A X^+ d\mathbb{P}$  y  $\nu_2 : \mathcal{G} \rightarrow \mathbb{R}$  que hace  $A \rightarrow \int_A X^- d\mathbb{P}$ . Entonces,  $\nu_1, \nu_2 \ll \mathbb{P}|_{\mathcal{G}}$ . Por Radon-Nikodym,  $d\nu_1 = Y_1 d\mathbb{P}|_{\mathcal{G}}$  y  $d\nu_2 = Y_2 d\mathbb{P}|_{\mathcal{G}}$ . Definimos  $Y = Y_1 - Y_2$ . Por un lado, es  $\mathcal{G}$  medible. Por otro lado, si  $A \in \mathcal{G}$

$$\nu_1(A) = \int_A Y_1 d\mathbb{P}|_{\mathcal{G}} = \int_A Y_1 d\mathbb{P}.$$

Luego,

$$\int_A X d\mathbb{P} = \int_A Y d\mathbb{P}, \forall A \in \mathcal{G}.$$

**Teorema A.45.** Sean  $X$  una v.a. integrable y  $\mathcal{G}$  un sub- $\sigma$ -álgebra de  $\mathcal{F}$ .

a) Existe una v.a.  $Y$  tal que

- $Y$  es  $\mathcal{G}$ -medible.
- $\int_A Y d\mathbb{P} = \int_A X d\mathbb{P}, \forall A \in \mathcal{G}$ .

b) Si  $Z$  es otra v.a. que cumple con las 2 condiciones, entonces  $Z = Y$  c.s.

A  $Y$  se le conoce como la esperanza condicional de  $X$  dado  $\mathcal{G}$  y es denotada por  $\mathbb{E}[X|\mathcal{G}]$ .

**Ejemplo A.3.** Si  $X = c$  constante, entonces  $\mathbb{E}[c|\mathcal{G}] = c$ .

**Ejemplo A.4.** Si  $\mathcal{G} = \{\Omega, \emptyset\}$ , entonces  $\mathbb{E}[X|\mathcal{G}] = \mathbb{E}[X]$ .

**Ejemplo A.5.** Si  $\Omega = \sum_{k=1}^n B_k$  con  $B_1, \dots, B_n \in \mathcal{F}, \mathcal{G} = \sigma(\{B_1, B_2, \dots, B_n\})$ , entonces

$$\mathbb{E}[X|\mathcal{G}] = \sum_{1 \leq k \leq n} \left( \frac{1}{\mathbb{P}(B_k)} \int_{B_k} X d\mathbb{P} \right) \mathbf{1}_{B_k}.$$

**Ejemplo A.6.** Si  $\Omega = \sum_{k=1}^{\infty} B_k$  con  $B_1, \dots, B_n, \dots \in \mathcal{F}$ , y definimos  $\mathcal{G} = \sigma(\{B_k : k \geq 1\})$ , entonces

$$\mathbb{E}[X|\mathcal{G}] = \sum_{k \geq 1} \left( \frac{1}{\mathbb{P}(B_k)} \int_{B_k} X d\mathbb{P} \right) \mathbf{1}_{B_k}.$$

**Ejemplo A.7.** Sea  $A \in \mathcal{F}$  y  $\mathcal{G} \subset \mathcal{F}$ . La probabilidad condicional de  $A$  dado  $\mathcal{G}$  es definida como

$$\mathbb{P}[A|\mathcal{G}] = \mathbb{E}[\mathbf{1}_A|\mathcal{G}].$$

**Teorema A.46.** Sean  $X, Z$  variables aleatorias integrables y  $\mathcal{G}$  un sub  $\sigma$ -álgebra de  $\mathcal{F}$ .

1. Si  $\alpha \in \mathbb{R}$ , entonces  $\mathbb{E}[\alpha X|\mathcal{G}] = \alpha \mathbb{E}[X|\mathcal{G}]$ .
2.  $\mathbb{E}[X + Z|\mathcal{G}] = \mathbb{E}[X|\mathcal{G}] + \mathbb{E}[Z|\mathcal{G}]$ .
3. Si  $X \leq Z$ , entonces  $\mathbb{E}[X|\mathcal{G}] \leq \mathbb{E}[Z|\mathcal{G}]$ .
4.  $\mathbb{E}(\mathbb{E}[X|\mathcal{G}]) = \mathbb{E}[X]$ .
5. Si  $\mathcal{H} \subset \mathcal{G}$ , entonces

$$\mathbb{E}[\mathbb{E}[X|\mathcal{G}]|\mathcal{H}] = \mathbb{E}[X|\mathcal{H}].$$

6. Si  $Z \in \mathcal{G}$  y  $ZX$  es integrable, entonces

$$\mathbb{E}[ZX|\mathcal{G}] = Z\mathbb{E}[X|\mathcal{G}].$$

7. Si  $X$  es independiente de  $\mathcal{G}$ , entonces

$$\mathbb{E}[X|\mathcal{G}] = \mathbb{E}[X].$$

**Teorema A.47. Desigualdad de Jensen para esperanza condicional.** Supongamos que  $\phi$  es una función convexa y  $X$  una variable aleatoria sobre la cual se define la esperanza condicional respecto a una  $\sigma$ -álgebra  $\mathcal{G}$ . Entonces,

$$\phi(\mathbb{E}[X|\mathcal{G}]) \leq \mathbb{E}[\phi(X)|\mathcal{G}].$$

En todo momento, se asume integrabilidad de.

**Teorema A.48.** Sea  $(X_n)$  una sucesión de v.a. integrables:

1. Si  $X_n \uparrow X$  entonces  $\mathbb{E}[X_n|\mathcal{G}] \uparrow \mathbb{E}[X|\mathcal{G}]$ .
2. Si  $X_n \downarrow X$  entonces  $\mathbb{E}[X_n|\mathcal{G}] \downarrow \mathbb{E}[X|\mathcal{G}]$ .
3. Si  $X_n \geq 0, \forall n \geq 1$  entonces

$$\mathbb{E}[\liminf_n X_n|\mathcal{G}] \leq \liminf_n \mathbb{E}[X_n|\mathcal{G}].$$

4. Si  $|X_n| \leq Z$  para todo  $n \geq 1$  y  $X_n \rightarrow X$ , entonces  $\mathbb{E}[X_n|\mathcal{G}] \rightarrow \mathbb{E}[X|\mathcal{G}]$ .

La prueba de los teoremas A.46, A.47 y A.48 se encuentran en (Gall, 2022).

**Definición A.0.28.** Sea  $(\Omega, \mathcal{F}, \mathbb{P})$  un espacio de probabilidad y  $X$  una v.a. integrable. Si  $Y$  es una v.a. definimos

$$\mathbb{E}[X|Y] = \mathbb{E}[X|\sigma(Y)].$$

Si  $Y_i, i \in I$  son v.a., definimos

$$\mathbb{E}[X|Y_i, i \in I] = \mathbb{E}[X|\sigma(\{Y_i : i \in I\})].$$

**Teorema A.49.** Sean  $Y, Z$  variables aleatorias. Las siguientes condiciones son equivalentes:

1.  $\sigma(Z) \subset \sigma(Y)$ .
2.  $Z$  es  $\sigma(Y)$ -medible.
3. Existe una función Borel medible  $g : \mathbb{R} \rightarrow \mathbb{R}$  tal que  $Z = g(Y)$ .

Para la prueba de este teorema, sugerimos consultar (Gall, 2022). Como consecuencia tenemos que, si  $X$  es una v.a. integrable y  $Y$  es una v.a. entonces

$$\mathbb{E}[X|Y] = g(Y), \tag{A.1}$$

donde  $g : \mathbb{R} \rightarrow \mathbb{R}$  es una función Borel medible. Luego, si  $y \in \mathbb{R}$  y  $g$  cumple (A.1), definimos

$$\mathbb{E}[X|Y = y] = g(y).$$

**Teorema A.50.** Sean  $X$  una v.a. positiva integrable y  $Y$  una v.a. Sean  $\mathbb{P}_Y$  la ley de  $Y$  y  $\nu : \mathcal{B}_{\mathbb{R}} \rightarrow \mathbb{R}$ ,

$$\nu : A \rightarrow \int_{Y^{-1}(A)} X d\mathbb{P}.$$

Entonces,

1.  $\nu$  es una medida en  $(\mathbb{R}, \mathcal{B}_{\mathbb{R}})$ .
2.  $\mathbb{E}[X|Y = y] = \frac{d\nu}{d\mathbb{P}_Y}(y)$ .

Note que si  $y_0 \in \mathbb{R}$  es tal que  $\mathbb{P}(Y = y_0) > 0$ , entonces

$$\begin{aligned} \mathbb{E}[X|Y = y_0] &= \mathbb{E}[X|\{Y = y_0\}] \\ &= \frac{1}{\mathbb{P}\{Y = y_0\}} \int_{\{Y=y_0\}} X d\mathbb{P}. \end{aligned}$$

**Teorema A.51.** Sean  $X, Y \in L^2$ . Entonces:

1. Las variables aleatorias  $X, Y, \mathbb{E}[X|Y], X\mathbb{E}[X|Y], \mathbb{E}[Y|X]^2$  son integrables.
2.  $\text{Cov}(X, Y) = \text{Cov}(X, \mathbb{E}[Y|X])$ .
3.  $\text{Var}[\mathbb{E}[Y|X]] \leq \text{Var}[Y]$ .

*Demostración.* Dado que  $X, Y \in L^2$ , sabemos que  $\mathbb{E}[X^2] < \infty$  y  $\mathbb{E}[Y^2] < \infty$ . Esto implica que tanto  $X$  como  $Y$  son integrables.

- $\mathbb{E}[X|Y]$  es integrable porque  $\mathbb{E}[\mathbb{E}[X|Y]^2] \leq \mathbb{E}[X^2] < \infty$  (por la desigualdad de Jensen para esperanzas condicionales).
- $X\mathbb{E}[X|Y]$  es integrable, dado que:

$$\begin{aligned} \mathbb{E}[(X\mathbb{E}[X|Y])^2] &\leq \mathbb{E}[X^2\mathbb{E}[X|Y]^2] \\ &\leq \mathbb{E}[X^2]\mathbb{E}[\mathbb{E}[X|Y]^2] \\ &\leq \mathbb{E}[X^2]\mathbb{E}[X^2] < \infty. \end{aligned}$$

- $\mathbb{E}[Y|X]^2$  es integrable ya que:

$$\int \mathbb{E}[Y|X]^2 \leq \int \mathbb{E}[Y^2|X] = \int Y^2 < \infty.$$

Para demostrar que  $\text{Cov}(X, Y) = \text{Cov}(X, \mathbb{E}[Y|X])$ , observamos que:

$$\begin{aligned} \text{Cov}(X, Y) &= \mathbb{E}[XY] - \mathbb{E}[X]\mathbb{E}[Y], \\ \text{Cov}(X, \mathbb{E}[Y|X]) &= \mathbb{E}[X\mathbb{E}[Y|X]] - \mathbb{E}[X]\mathbb{E}[\mathbb{E}[Y|X]]. \end{aligned}$$

Dado que  $\mathbb{E}[\mathbb{E}[Y|X]] = \mathbb{E}[Y]$  y

$$\mathbb{E}[X\mathbb{E}[Y|X]] = \mathbb{E}[\mathbb{E}[XY|X]] = \mathbb{E}[XY]$$

concluimos que ambas covarianzas son iguales.

Finalmente, la varianza condicional satisface la desigualdad:

$$\begin{aligned}\text{Var}(\mathbb{E}[Y|X]) &= \mathbb{E}[\mathbb{E}[Y|X]^2] - (\mathbb{E}[\mathbb{E}[Y|X]])^2 \\ &= \mathbb{E}[\mathbb{E}[Y|X]^2] - \mathbb{E}[Y]^2 \\ &\leq \mathbb{E}[Y^2] - \mathbb{E}[Y]^2\end{aligned}$$

que proviene directamente de la ley de la varianza total y la desigualdad de Jensen.  $\square$

**Definición A.0.29.** Definimos la varianza condicional de una variable aleatoria  $Y$  dada una variable aleatoria  $X$  como

$$\text{Var}[Y|X] = \mathbb{E}[(Y - \mathbb{E}[Y|X])^2|X].$$

La varianza es la desviación cuadrática esperada entre una variable aleatoria (digamos,  $Y$ ) y su valor esperado. El valor esperado puede considerarse una predicción razonable de los resultados del experimento aleatorio. De hecho, el valor esperado es la mejor predicción constante cuando las predicciones se evalúan por el error cuadrático medio esperado. Así, una interpretación de la varianza es que proporciona el menor error cuadrático medio posible.

Si tenemos conocimiento de otra variable aleatoria  $X$  que podemos usar para predecir  $Y$ , podemos potencialmente usar este conocimiento para reducir el error cuadrático medio esperado. Resulta que la mejor predicción de  $Y$  dado  $X$  es la esperanza condicional.

En particular, para cualquier función medible  $f : \mathbb{R} \rightarrow \mathbb{R}$ :

$$\begin{aligned}\mathbb{E}[(Y - f(X))^2] &= \mathbb{E}[(Y - \mathbb{E}(Y|X) + \mathbb{E}(Y|X) - f(X))^2] \\ &= \mathbb{E}[\mathbb{E}\{(Y - \mathbb{E}(Y|X) + \mathbb{E}(Y|X) - f(X))^2|X\}] \\ &= \mathbb{E}[\text{Var}(Y|X)] + \mathbb{E}[(\mathbb{E}(Y|X) - f(X))^2].\end{aligned}$$

# Apéndice B

## Elementos de estadística

En este apéndice nos concentramos en ciertos aspectos fundamentales de la inferencia estadística. En particular, estudiamos las distribuciones bivariadas, las distribuciones multivariadas y aspectos vinculados a las muestras aleatorias. Los temas de estimación puntual y por intervalos son abordados a lo largo del cuerpo principal de este texto. Fundamentalmente seguimos a (Casella and Berger, 2002) y para la estructura<sup>1</sup>, las notas de clase del profesor Tomás Rau de la Pontificia Universidad Católica de Chile (Rau, 2016).

En el apéndice A, ya hemos definido formalmente lo que es una variable aleatoria, su función de distribución y, cuando existe, la función de densidad. Suponga que  $X$  es una v.a. con función de distribución  $F_X$ , y considere una variable aleatoria  $Y = aX + b$  donde  $a > 0$  y  $b \in \mathbb{R}$ . Entonces,

$$F_Y(y) = F_X\left(\frac{y - b}{a}\right).$$

Además, si  $X$  es continua y posee función de densidad,

$$f_Y(y) = \frac{1}{a}f_X\left(\frac{y - b}{a}\right).$$

Nos preguntamos a continuación si hay una forma sistemática de analizar, dada una v.a.  $X$ , la distribución y densidad de  $Y = g(X)$ , con  $g$  una función Borel medible.

**Teorema B.1.** Sea  $X$  una v.a. con distribución  $F_X(x)$ . Sea  $Y = g(X)$  y  $\mathcal{X} = \{x : f_X(x) > 0\}$  y  $\mathcal{Y} = \{y : y = g(x), x \in \mathcal{X}\}$ . Entonces:

---

<sup>1</sup>Secuencia de temas presentados.

1. Si  $g$  es creciente sobre  $\mathcal{X}^2$ ,

$$F_Y(y) = F_X(g^{-1}(y)), \quad y \in \mathcal{Y}.$$

2. Si  $g$  es decreciente en  $\mathcal{X}$  y  $X$  es continua,

$$F_Y(y) = 1 - F_X(g^{-1}(y)), \quad \forall y \in \mathcal{Y}.$$

La demostración y enunciado original del teorema B.1 se encuentran en (Casella and Berger, 2002).

**Ejemplo B.1.** Sea  $X \sim U[0, 1]$  (véase el apéndice C). Sea  $Y = g(X) = -\ln X$ . Entonces, como  $g$  es estrictamente decreciente sobre  $\mathbb{R}_{++}$  y  $g^{-1}(y) = e^{-y}$ :

$$F_Y(y) = 1 - F_X(g^{-1}(y)) = 1 - F_X(e^{-y}) = 1 - e^{-y}.$$

**Teorema B.2.** Sea  $X$  con función de densidad  $f_X(x)$  y  $Y = g(X)$  con  $g$  una función monótona. Sean  $\mathcal{X} = \{x : f_X(x) > 0\}$  y  $\mathcal{Y} = \{y : y = g(x), x \in \mathcal{X}\}$ . Supongamos que  $f_X$  es continua sobre  $\mathcal{X}$  y que  $g^{-1} \in C^1(\mathcal{Y})$ . Entonces,

$$f_Y(y) = \begin{cases} f_X(g^{-1}(y)) \left| \frac{d}{dy} g^{-1}(y) \right|, & \text{si } y \in \mathcal{Y} \\ 0, & \text{caso contrario.} \end{cases}$$

La prueba es simplemente derivar aplicando regla de la cadena.

**Ejemplo B.2.** Sea  $f_X(x)$  la densidad de  $X \sim \Gamma(n, \beta)$ :

$$f_X(x) = \frac{1}{(n-1)! \beta^n} x^{n-1} e^{-x/\beta}, \quad 0 < x < \infty.$$

Sea  $g(x) = \frac{1}{x}$ . En este caso,  $\mathcal{X} = \mathcal{Y} = \mathbb{R}_{++}$ . Si hacemos  $y = g(x)$ , entonces  $g^{-1}(y) = 1/y$  y

$$\frac{d}{dy} g^{-1}(y) = -\frac{1}{y^2}.$$

Así, de acuerdo con el teorema B.2

$$f_Y(y) = \frac{1}{(n-1)! \beta^n} \left(\frac{1}{y}\right)^{n-1} e^{-\frac{1}{\beta y}} \frac{1}{y^2} = \frac{1}{(n-1)! \beta^n} \left(\frac{1}{y}\right)^{n+1} e^{-\frac{1}{\beta y}}.$$

---

<sup>2</sup>El soporte de  $f$

A continuación, abordamos el caso de las distribuciones bivariadas y multivariadas. Dicho análisis nos conduce al estudio de los resultados presentados anteriormente en el caso más general.

**Definición B.0.1.** Un vector aleatoria bivariado es un vector  $(X, Y)$  es un vector  $(X, Y)$  donde  $X$  e  $Y$  son variables aleatorias (definidas en un espacio de probabilidad implícito  $(\Omega, \mathcal{F}, \mathbb{P})$ ).

En este caso,  $X : \Omega \rightarrow \mathbb{R}^2$  induce un espacio de probabilidad  $(\mathbb{R}^2, \mathcal{B}_{\mathbb{R}^2}, \mathbb{P}_{X,Y})$ , donde

$$\mathbb{P}_{X,Y}(B) = \mathbb{P}\{\omega \in \Omega : (X(\omega), Y(\omega)) \in B\}.$$

**Definición B.0.2.** Una función de distribución conjunta de  $(X, Y)$  es la función  $F_{X,Y} : \mathbb{R}^2 \rightarrow [0, 1]$  definida por

$$\begin{aligned} F_{X,Y}(x, y) &= \mathbb{P}_{X,Y}((-\infty, x], (-\infty, y]) \\ &= \mathbb{P}\{\omega : X(\omega) \leq x, Y(\omega) \leq y\}, \quad (x, y) \in \mathbb{R}^2. \end{aligned}$$

Note que si conocemos  $F_{X,Y}$  conocemos  $\mathbb{P}_{X,Y}$ .

**Teorema B.3.** Una función  $F : \mathbb{R}^2 \rightarrow \mathbb{R}$  es una función de distribución si y solo si

1.  $\lim_{x \rightarrow -\infty} F(x, y) = 0$  para todo  $y$ ,  $\lim_{y \rightarrow -\infty} F(x, y) = 0$  para cualquier  $x$  y donde  $\lim_{x \rightarrow \infty, y \rightarrow \infty} F(x, y) = 1$ .
2.  $F$  no es decreciente, esto es,  $F(x', y') \geq F(x, y)$  cuando  $x' \geq x$ ,  $y' \geq y$ .
3.  $F$  es continua por la derecha.

Cuando  $(X, Y)$  admite una densidad,

- cuando  $(X, Y)$  es discreto

$$F_{X,Y}(x, y) = \sum_{s \leq x} \sum_{t \leq y} f_{X,Y}(s, t), \quad \forall (x, y) \in \mathbb{R}^2$$

- cuando  $(X, Y)$  es continuo

$$F_{X,Y}(x, y) = \int_{(-\infty, x]} \int_{(-\infty, y]} f_{X,Y}(t, s) ds dt, \quad \forall (x, y) \in \mathbb{R}^2.$$

Note que  $f_{X,Y}$  es densidad si y solo si (Casella and Berger, 2002)

- para el caso discreto

$$\sum_{(x,y) \in \mathbb{R}^2} f(x,y) = 1$$

- para el caso continuo

$$\int_{\mathbb{R}} \int_{\mathbb{R}} f(x,y) dx dy = 1.$$

**Ejemplo B.3.** Sea  $(X,Y)$  con densidad conjunta

$$f(x,y) = \begin{cases} 6xy^2, & \text{si } 0 < x < 1, 0 < y < 1 \\ 0, & \text{caso contrario.} \end{cases}$$

Se cumple que

$$\begin{aligned} \iint_{\mathbb{R}^2} f(x,y) dx dy &= \int_0^1 \int_0^1 6xy^2 dx dy \\ &= \int_0^1 3y^2 dy = 1. \end{aligned}$$

A partir de la densidad conjunta, es posible recuperar las densidades marginales  $f_X(x)$  y  $f_Y(y)$ . En efecto,

$$f_X(x) = \sum_{y \in \mathbb{R}} f_{X,Y}(x,y)$$

en el caso discreto, y<sup>3</sup>

$$f_X(x) = \int_{\mathbb{R}} f_{X,Y}(x,y) dy.$$

**Definición B.0.3.** Sea  $(X,Y)$  un vector aleatorio con densidad conjunta  $f_{X,Y}$  y  $f_X$  densidad marginal de  $X$ . Para cualquier  $x \in \mathcal{X}^4$ , la densidad condicional de  $Y$  dado  $X$  es

$$f_{Y|X}(y|x) = \frac{f_{X,Y}(x,y)}{f_X(x)}, \quad \forall y \in \mathbb{R}.$$

El resultado es análogo cuando intercambiamos  $X$  por  $Y$ :

$$f_{X|Y}(x|y) = \frac{f_{X,Y}(x,y)}{f_Y(y)}, \quad \forall x \in \mathbb{R}.$$

Esto aplica para el caso discreto como continuo.

<sup>3</sup>Cuando  $\int_{\mathbb{R}} f_{X,Y}(x,y) dy < \infty$ .

<sup>4</sup>El soporte de  $f_X$ .

**Definición B.0.4.** Sea  $(X, Y)$  un vector aleatorio con densidad  $f_{X,Y}$  y marginales  $f_X$  y  $f_Y$ . Si  $X, Y$  son independientes (véase el apéndice A), entonces

$$f_{X,Y}(X, Y) = f_X(x)f_Y(y).$$

Esto aplica para el caso discreto como continuo.

**Definición B.0.5.** Sea  $(X, Y)$  un vector aleatorio discreto y sea  $g : \mathbb{R} \rightarrow \mathbb{R}$  una función Borel medible. Para cualquier  $y$  tal que  $f_Y(y) > 0$ , el valor esperado condicional de  $g(X)$  dado  $Y = y$ , denotado  $\mathbb{E}[g(X)|Y = y]$  está dado

$$\mathbb{E}[g(X)|Y = y] = \sum_{x \in \mathbb{R}} g(x)f_{X|Y}(x, y),$$

siempre y cuando  $g(X)$  sea integrable. Para el caso continuo esto es análogo,

$$\mathbb{E}[g(X)|Y = y] = \int_{\mathbb{R}} g(x)f_{X|Y}(x|y)dx.$$

En particular, la media condicional de  $X$  dado  $Y = y$  es  $\mathbb{E}[X|Y = y]$  y la varianza condicional de  $X$  dado  $Y = y$  es

$$\mathbb{E}[X^2|Y = y] - \mathbb{E}[X|y]^2.$$

**Definición B.0.6.** Sea  $(X, Y)$  un vector aleatorio bivariado con densidad conjunta  $f_{X,Y}$ . Sea  $g : \mathbb{R}^2 \rightarrow \mathbb{R}$  Borel medible. Entonces,

$$\mathbb{E}[g(X, Y)] = \sum_{(x,y) \in \mathbb{R}^2} g(x, y)f_{X,Y}(x, y).$$

**Definición B.0.7.** La covarianza de  $X$  e  $Y$ , con  $X, Y, XY \in L^1(\Omega)$  se define como

$$\begin{aligned} \text{Cov}(X, Y) &= \mathbb{E}[(X - \mathbb{E}[X])(Y - \mathbb{E}[Y])] \\ &= \mathbb{E}[XY] - \mathbb{E}[X]\mathbb{E}[Y] \\ &= \text{Cov}(Y, X). \end{aligned}$$

**Definición B.0.8.** La correlación de  $X$  y  $Y$   $\rho_{XY}$  es definido por

$$\rho_{XY} = \frac{\text{Cov}(X, Y)}{\sqrt{\text{Var}(X)}\sqrt{\text{Var}(Y)}}.$$

**Definición B.0.9.** Sea  $(X, Y)$  un vector aleatorio bivariado. La media de  $(X, Y)$  es

$$\mathbb{E} \begin{bmatrix} X \\ Y \end{bmatrix} = \begin{bmatrix} \mathbb{E}[X] \\ \mathbb{E}[Y] \end{bmatrix}.$$

**Definición B.0.10.** La matriz de covarianza de  $(X, Y)$  es

$$\text{Var} \begin{bmatrix} X \\ Y \end{bmatrix} = \begin{bmatrix} \text{Var}(X) & \text{Cov}(X, Y) \\ \text{Cov}(X, Y) & \text{Var}(Y) \end{bmatrix}.$$

**Teorema B.4.** Sea  $(X, Y)$  un vector aleatorio bivariado. Si  $X$  e  $Y$  son independientes, entonces  $\text{Cov}(X, Y) = \rho_{XY} = 0$ .

**Teorema B.5.** Si  $(X, Y)$  es un vector aleatorio bivariado,

$$\text{Var}(X + Y) = \text{Var}(X) + \text{Var}(Y) + 2\text{Cov}(X, Y).$$

La prueba es por definición.

**Teorema B.6. Desigualdad de Cauchy-Schwarz.** Si  $X, Y \in L^2$  es un vector aleatorio bivariado, entonces

$$|\mathbb{E}[XY]| \leq \mathbb{E}[|XY|] \leq \sqrt{\mathbb{E}[X^2]} \sqrt{\mathbb{E}[Y^2]}.$$

Sea ahora  $(X, Y)$  un vector aleatorio con distribución conjunta conocida (distribución de probabilidad conocida) y definamos  $U = g_1(X)$  y  $V = g_2(Y)$ , donde  $g_1, g_2$  son Borel medibles. Si  $B \subset \mathbb{R}^2$ , entonces

$$(U, V) \in B \Leftrightarrow (X, Y) \in A = \{(x, y) : (g_1(x, y), g_2(x, y)) \in B\}.$$

Por ende,

$$\mathbb{P}\{(U, V) \in B\} = \mathbb{P}\{(X, Y) \in A\}.$$

A continuación vemos como computar  $\mathbb{P}\{(U, V) \in B\}$ . Para esto, asumiremos que conocemos  $f_{X,Y}(x, y)$ . Sea

$$J(u, v) = \begin{bmatrix} \frac{\partial x}{\partial u} & \frac{\partial x}{\partial v} \\ \frac{\partial y}{\partial u} & \frac{\partial y}{\partial v} \end{bmatrix}.$$

Entonces,

$$f_{U,V}(u, v) = f_{X,Y}(h_1(u, v), h_2(u, v)) |J|$$

con  $x = h_1(u, v)$  y  $x_2 = h_2(u, v)$  y

$$J(u, v) = |J(u, v)| = \frac{\partial x}{\partial u} \frac{\partial y}{\partial v} - \frac{\partial x}{\partial v} \frac{\partial y}{\partial u}.$$

**Ejemplo B.4.** Sea  $X \sim \text{Beta}(\alpha, \beta)$  y  $Y \sim \text{Beta}(\alpha + \beta, \gamma)$  variables aleatorias independientes. Entonces,

$$f_{X,Y}(x, y) = \frac{\Gamma(\alpha + \beta)}{\Gamma(\alpha)\Gamma(\beta)} x^{\alpha-1} (1-x)^{\beta-1} \frac{\Gamma(\alpha + \beta + \gamma)}{\Gamma(\alpha + \beta)\Gamma(\gamma)} y^{\alpha+\beta-1} (1-y)^{\gamma-1}.$$

Consideremos  $U = XY$  y  $V = X$ . Entonces,  $B = \{(u, v) : 0 < u < v < 1\}$  y  $x = h_1(u, v) = v$ ,  $y = h_2(u, v) = u/v$ . Luego,

$$J = \begin{vmatrix} 0 & 1 \\ \frac{1}{v} & -\frac{u}{v^2} \end{vmatrix} = -\frac{1}{v}.$$

Así,

$$f_{U,V}(u, v) = \frac{\Gamma(\alpha + \beta + \gamma)}{\Gamma(\alpha)\Gamma(\beta)\Gamma(\gamma)} v^{\alpha-1} (1-v)^{\beta-1} \left(\frac{u}{v}\right)^{\alpha+\beta-1} \left(1 - \frac{u}{v}\right)^{\gamma-1} \frac{1}{v}.$$

A continuación pasamos al análisis de las distribuciones multivariadas.

**Definición B.0.11.** Un vector aleatorio  $n$ -dimensional es un vector  $X = (X_1, \dots, X_k)^T$  donde  $X_1, \dots, X_k$  son variables aleatorias definidas en un mismo espacio de probabilidad. La medida de probabilidad inducida en  $\mathbb{R}^k$  por  $X$  es

$$\mathbb{P}_X(B) = \mathbb{P}\{\omega \in \Omega : X(\omega) \in B\}, \quad B \in \mathcal{B}_{\mathbb{R}^k}.$$

**Definición B.0.12.** La distribución (conjunta) de un vector aleatorio  $k$ -dimensional  $X$  es la función  $F_X : \mathbb{R}^k \rightarrow [0, 1]$  definida por

$$F_X(x) = \mathbb{P}_X \left\{ \prod_{i=1}^k (-\infty, x_i] \right\}, \quad x = (x_1, \dots, x_k)^T \in \mathbb{R}^k.$$

**Definición B.0.13.** Sea  $X$  un vector aleatorio  $k$ -dimensional con distribución conjunta  $F_X$ .

1. En caso  $X$  sea discreto con densidad  $f_X$ <sup>5</sup>

$$F_X(x) = \sum_{t \leq x} f_X(t), \quad x \in \mathbb{R}^k.$$

2. En caso  $X$  sea continua con densidad  $f_X$

$$F_X(x) = \iiint \cdots \iint_{t \leq x} f_X(t) dt, \quad x \in \mathbb{R}^k.$$

---

<sup>5</sup>  $f_X(t) = \mathbb{P}\{X = t\}$ .

Note que la notación  $t \leq x$  simboliza  $t_1 \leq x_1, \dots, t_k \leq x_k$  con  $t = (t_1, \dots, t_k)^T$  y  $x = (x_1, \dots, x_k)^T$ .

**Definición B.0.14.** Sea  $X$  un vector aleatorio discreto  $k$ -dimensional con densidad conjunta  $f_X$ . Sea  $g : \mathbb{R}^k \rightarrow \mathbb{R}$  Borel medible. Entonces, en caso  $g(X)$  sea integrable,

$$\mathbb{E}[g(X)] = \sum_{t \in \mathbb{R}^k} g(t) f_X(t).$$

En caso  $X$  sea continuo, la situación es análoga y

$$\mathbb{E}[g(X)] = \int_{\mathbb{R}^k} g(x) f_X(x) dx.$$

En el caso más general, en el que  $g : \mathbb{R}^k \rightarrow \mathbb{R}^{p \times m}$ ,

$$\mathbb{E}[g(X)] = \begin{bmatrix} \mathbb{E}[g_{11}(X)] & \cdots & \mathbb{E}[g_{1m}(X)] \\ \vdots & \ddots & \vdots \\ \mathbb{E}[g_{p1}(X)] & \cdots & \mathbb{E}[g_{pm}(X)] \end{bmatrix},$$

donde

$$\mathbb{E}[g_{ij}(X)] = \int_{\mathbb{R}^k} g_{ij}(x) f_X(x) dx < \infty,$$

provisto que la integral esté bien definida.

**Definición B.0.15.** Sea  $X : \Omega \rightarrow \mathbb{R}^k$ . Entonces,

$$\mathbb{E}[X] = \mu = \begin{bmatrix} \mu_1 \\ \vdots \\ \mu_k \end{bmatrix}$$

y

$$\text{Var}(X) = \mathbb{E}[(X - \mu)(X - \mu)^T] = \Sigma = \begin{bmatrix} \sigma_{11} & \cdots & \sigma_{1k} \\ \vdots & \ddots & \vdots \\ \sigma_{k1} & \cdots & \sigma_{kk} \end{bmatrix}.$$

En este contexto,

$$\sigma_{ij} = \text{Cov}(X_i, X_j), \quad 1 \leq i, j \leq k.$$

**Definición B.0.16.** Sea  $X = (X_1, \dots, X_k)^T$  un vector aleatorio  $k$ -dimensional. Si  $a_1, \dots, a_k, b_1, \dots, b_k$  con constantes, entonces

$$\mathbb{E} \left[ \sum_{i=1}^k a_i X_i \right] = \sum_{i=1}^k a_i \mathbb{E}[X_i]$$

$$\text{Cov} \left( \sum_{i=1}^k a_i X_i, \sum_{j=1}^k b_j X_j \right) = \sum_{i=1}^k \sum_{j=1}^k a_i b_j \text{Cov}(X_i, X_j).$$

En el caso especial en el que las  $X_i$  son independientes,

$$\text{Cov} \left( \sum_{i=1}^k a_i X_i, \sum_{j=1}^k b_j X_j \right) = \sum_{i=1}^k a_i^2 \text{Var}(X_i).$$

**Definición B.0.17.** Sea

$$X = \begin{bmatrix} Y \\ Z \end{bmatrix} \in \mathbb{R}^k$$

con  $Y \in \mathbb{R}^n$  y  $Z \in \mathbb{R}^{k-n}$ . Esto es  $Y = (X_1, \dots, X_n)^T$  y  $Z = (X_{n+1}, \dots, X_k)^T$ . Entonces, sobre el soporte<sup>6</sup> de  $Z$

$$f_{Y|Z}(y|z) = \frac{f_{Y,Z}(y, z)}{f_Z(z)}, \quad \forall y \in \mathbb{R}^n, \quad \forall z \in \mathbb{R}^{k-n} \cap \text{supp}(f_Z(\cdot))$$

Esto tanto para el caso discreto como continuo.

A continuación, una de las caracterizaciones más usuales de la independencia.

**Definición B.0.18.** Sean  $X_1, \dots, X_n$  vectores aleatorios discretos o continuos, no necesariamente de misma dimensión;  $X_i : \Omega \rightarrow \mathbb{R}^{k_i}$  con densidad  $f_{X_i}$ . Entonces,

$$f_{X_1 \dots X_n}(x_1, \dots, x_n) = \prod_{i=1}^n f_{X_i}(x_i), \quad \forall x_1, \dots, x_n.$$

A continuación, una de las distribuciones multivariadas más importantes y frecuentes en la práctica.

**Definición B.0.19.** Un vector aleatorio  $X = (X_1, \dots, X_k)^T : \Omega \rightarrow \mathbb{R}^k$  está

normalmente distribuido, con media  $\mu = \begin{bmatrix} \mu_1 \\ \vdots \\ \mu_k \end{bmatrix}$  y varianza  $\Sigma = \begin{bmatrix} \sigma_{11} & \cdots & \sigma_{1k} \\ \vdots & \ddots & \vdots \\ \sigma_{k1} & \cdots & \sigma_{kk} \end{bmatrix}$ ,

denotado  $X \sim N(\mu, \Sigma)$ , si  $X$  es continuo y con densidad conjunta dada por

$$f_X(x) = \frac{1}{(2\pi)^{k/2} |\Sigma|^{1/2}} \exp \left( -\frac{1}{2} (x - \mu)^T \Sigma^{-1} (x - \mu) \right), \quad x \in \mathbb{R}^k.$$

**Teorema B.7.** Sea  $X \sim N(\mu, \Sigma)$  un vector aleatorio  $k$  dimensional. Si  $A \in \mathcal{M}_{m \times k}$  y  $b \in \mathbb{R}^m$ . Entonces,

$$AX + b \sim N(A\mu + b, A\Sigma A^T).$$

*Demostración.* Por definición. □

---

<sup>6</sup>supp( $f_Z(\cdot)$ ).

Sea

$$X = [X_1, X_2]^T \sim N \left( \mu = \begin{bmatrix} \mu_1 \\ \mu_2 \end{bmatrix}, \Sigma = \begin{bmatrix} \Sigma_{11} & \Sigma_{12} \\ \Sigma_{21} & \Sigma_{22} \end{bmatrix} \right),$$

donde  $X_1 : \Omega \rightarrow \mathbb{R}^n$  y  $X_2 : \Omega \rightarrow \mathbb{R}^{k-n}$ . Entonces,

$$X_1 \sim N(\mu_1, \Sigma_{11})$$

$$X_2 \sim N(\mu_2, \Sigma_{22})$$

$$X_1|X_2 = x_2 \sim N(\mu_1 + \Sigma_{12}\Sigma_{22}^{-1}(x_2 - \mu_2), \Sigma_{11} - \Sigma_{12}\Sigma_{22}^{-1}\Sigma_{12}^T)$$

$$X_2|X_1 = x_1 \sim N(\mu_2 + \Sigma_{12}^T\Sigma_{11}^{-1}(x_1 - \mu_1), \Sigma_{22} - \Sigma_{12}^T\Sigma_{11}^{-1}\Sigma_{12}).$$

Concluimos este apéndice con el tema de las muestras aleatorias.

**Definición B.0.20.** Sea  $X = (X_1, \dots, X_n)$  un vector aleatorio  $n$  dimensional. Las variables aleatorias  $X_1, \dots, X_n$  se llaman muestra aleatoria si es que son mutuamente independientes y además, tienen la misma distribución (marginal). Esto se denota  $X_i$  iid. En dicho caso,

$$F_{X_1 \dots X_n}(x_1, \dots, x_n) = \prod_{i=1}^n F_{X_i}(x_i) = \prod_{i=1}^n F(x_i)$$

$$f_{X_1 \dots X_n}(x_1, \dots, x_n) = \prod_{i=1}^n f_{X_i}(x_i) = \prod_{i=1}^n f(x_i).$$

**Definición B.0.21.** Dada una muestra aleatoria  $X_1, \dots, X_n$  y una función medible  $T : \mathbb{R}^n \rightarrow \mathbb{R}^m$ , el vector aleatorio

$$Y = T(X_1, \dots, X_n)$$

se llama estadístico, y su distribución se llama distribución muestral de  $Y$ .

**Ejemplo B.5.** Un ejemplo de estadístico es la media muestral:

$$\bar{X} = \frac{1}{n} \sum_{i=1}^n X_i.$$

Otro estadístico ampliamente usado es la varianza muestral

$$S^2 = \frac{1}{n-1} \sum_{i=1}^n (X_i - \bar{X})^2 = \frac{1}{n-1} \sum_{i=1}^n \left[ X_i - \frac{1}{n} \sum_{i=1}^n X_i \right]^2.$$

Quizás llame la atención el factor  $\frac{1}{n-1}$  en la definición de la varianza muestral: uno podría anticipar un factor  $\frac{1}{n}$ . El motivo se explica por el siguiente teorema.

**Teorema B.8.** Sea  $X_1, \dots, X_n$  una muestra aleatoria tal que  $\mathbb{E}[X_1] = \mu$  y  $\text{Var}(X_1) = \sigma^2$ . Entonces,

1.  $\mathbb{E}[\bar{X}] = \mu$ .
2.  $\text{Var}(\bar{X}) = \frac{\sigma^2}{n}$ .
3.  $\mathbb{E}[S^2] = \sigma^2$ .

*Demostración.* Inciso, por inciso:

$$\begin{aligned}\mathbb{E}[\bar{X}] &= \mathbb{E}\left[\frac{1}{n} \sum_{i=1}^n X_i\right] \\ &= \frac{1}{n} \mathbb{E}\left[\sum_{i=1}^n X_i\right] \\ &= \frac{1}{n} \sum_{i=1}^n \mathbb{E}[X_i] \\ &= \frac{1}{n} \sum_{i=1}^n \mu \\ &= \mu.\end{aligned}$$

Luego,

$$\begin{aligned}\text{Var}(\bar{X}) &= \text{Var}\left(\frac{1}{n} \sum_{i=1}^n X_i\right) \\ &= \frac{1}{n^2} \text{Var}\left(\sum_{i=1}^n X_i\right) \\ &= \frac{1}{n^2} \sum_{i=1}^n \text{Var}(X_i) \\ &= \frac{\sigma^2}{n}.\end{aligned}$$

Finalmente,

$$\begin{aligned}\mathbb{E}[S^2] &= \mathbb{E} \left[ \frac{1}{n-1} \left( \sum_{i=1}^n X_i^2 - n\bar{X}^2 \right) \right] \\ &= \frac{1}{n-1} \mathbb{E} \left[ \sum_{i=1}^n X_i^2 - n\bar{X}^2 \right] \\ &= \frac{1}{n-1} \left[ \sum_{i=1}^n \mathbb{E}[X_i^2] - n\mathbb{E}[\bar{X}^2] \right] \\ &= \frac{1}{n-1} \left[ \sum_{i=1}^n (\sigma^2 + \mu^2) - n \left( \frac{\sigma^2}{n} + \mu^2 \right) \right] \\ &= \sigma^2.\end{aligned}$$

Note que se ha hecho uso de la siguiente relación,

$$\mathbb{E}[X_i^2] = \text{Var}(X_i) + \mathbb{E}[X_i]^2 = \sigma^2 + \mu^2.$$

□

Esto concluye el apéndice sobre elementos de estadística. A lo largo del cuerpo principal de este documento se abordan otros temas de la inferencia estadística: los estimadores, los intervalos de confianza etc.

# Apéndice C

## Distribuciones usuales

### 1. Binomial $B(n, p)$

$$a) \mathbb{P}\{X = k\} = \binom{n}{k} p^k (1 - p)^{n-k}$$

$$b) M_X(t) = (1 - p + pe^t)^n$$

$$c) \varphi_X(t) = (1 - p + pe^{it})^n$$

$$d) \mathbb{E}[X] = np$$

$$e) \text{Var}[X] = np(1 - p).$$

### 2. Geométrica $G(p)$

$$a) \mathbb{P}\{X = k\} = p(1 - p)^{k-1}$$

$$b) M_X(t) = \frac{pe^t}{1 - (1-p)e^t}$$

$$c) \varphi_X(t) = \frac{pe^{it}}{1 - (1-p)e^{it}}$$

$$d) \mathbb{E}[X] = \frac{1}{p}$$

$$e) \text{Var}[X] = \frac{1-p}{p^2}$$

3. Binomial negativa  $BN(r, p)$ 

$$a) \mathbb{P}\{X = k\} = p^r (1-p)^k \binom{r+k-1}{k}$$

$$b) M_X(t) = \left( \frac{p}{1-(1-p)e^t} \right)^r$$

$$c) \varphi_X(t) = \left( \frac{p}{1-(1-p)e^{it}} \right)^r$$

$$d) \mathbb{E}[X] = \frac{r(1-p)}{p}$$

$$e) \text{Var}[X] = \frac{r(1-p)}{p^2}$$

4. Multinomial  $B(n, p_1, \dots, p_k)$ 

$$a) \mathbb{P}\{X = (X_1, \dots, X_k) = (n_1, \dots, n_k)\} = \frac{n!}{n_1! \dots n_k!} p_1^{n_1} \dots p_k^{n_k}$$

$$b) M_X(t) = \left( \sum_{i=1}^k p_i e^{t_i} \right)^n$$

$$c) \varphi_X(t) = \left( \sum_{j=1}^k p_j e^{it_j} \right)^n$$

$$d) \mathbb{E}[X_i] = np_i$$

$$e) \text{Var}[X_i] = np_i(1-p_i)$$

5. Poisson  $\mathcal{P}(\lambda)$ 

$$a) \mathbb{P}\{X = k\} = \frac{\lambda^k e^{-\lambda}}{k!}$$

$$b) M_X(t) = e^{\lambda(e^t-1)}$$

$$c) \varphi_X(t) = e^{\lambda(e^{it}-1)}$$

$$d) \mathbb{E}[X] = \lambda$$

$$e) \text{Var}[X] = \lambda$$

6. Normal  $N(\mu, \sigma)$ 

$$a) \mathbb{P}\{X \in A\} = \int_A \frac{1}{\sqrt{2\pi}\sigma} e^{-\frac{(x-\mu)^2}{2\sigma^2}} dx$$

$$b) M_X(t) = e^{\mu t + \frac{\sigma^2 t^2}{2}}$$

$$c) \varphi_X(t) = e^{\mu it - \frac{\sigma^2 t^2}{2}}$$

$$d) \mathbb{E}[X] = \mu$$

$$e) \text{Var}[X] = \sigma^2$$

7. Uniforme  $U([a, b])$

a)  $\mathbb{P}\{X \in A\} = \int_A \mathbf{1}_{[a,b]} \frac{1}{b-a} dx$

b)  $M_X(t) = \frac{e^{tb} - e^{ta}}{t(b-a)}$

c)  $\varphi_X(t) = \frac{e^{itb} - e^{ita}}{it(b-a)}$

d)  $\mathbb{E}[X] = \frac{a+b}{2}$

e)  $\text{Var}[X] = \frac{(b-a)^2}{12}$

8. Exponencial  $Exp(\lambda)$

a)  $\mathbb{P}\{X \in A\} = \int_A \mathbf{1}_{[0,\infty)} \lambda e^{-\lambda t} dt$ <sup>1</sup>

b)  $M_X(t) = \frac{\lambda}{\lambda-t}$

c)  $\varphi_X(t) = \frac{\lambda}{\lambda-it}$

d)  $\mathbb{E}[X] = \frac{1}{\lambda}$

e)  $\text{Var}[X] = \frac{1}{\lambda^2}$

9. Gamma  $\Gamma(\alpha, \lambda)$

a)  $\mathbb{P}\{X \in A\} = \int_A \mathbf{1}_{\mathbb{R}_{++}} \frac{\lambda(\lambda x)^{\alpha-1} e^{-\lambda x}}{\Gamma(\alpha)} dx$

b)  $M_X(t) = \left(\frac{\lambda}{\lambda-t}\right)^\alpha$

c)  $\varphi_X(t) = \left(\frac{\lambda}{\lambda-it}\right)^\alpha$

d)  $\mathbb{E}[X] = \frac{\alpha}{\lambda}$

e)  $\text{Var}[X] = \frac{\alpha}{\lambda^2}$

10. Weibull  $W(\alpha, \lambda)$

a)  $\mathbb{P}\{X \in A\} = \int_A \mathbf{1}_{\mathbb{R}_{++}} \lambda \alpha (\lambda x)^{\alpha-1} e^{-(\lambda x)^\alpha} dx$

b)  $M_X(t) = \sum_{n=0}^{\infty} \frac{t^n}{n! \lambda^n} \Gamma\left(1 + \frac{n}{\alpha}\right)$

c)  $\varphi_X(t) = \sum_{n=0}^{\infty} \frac{(it)^n}{n! \lambda^n} \Gamma\left(1 + \frac{n}{\alpha}\right)$

11. Cauchy  $\mathcal{C}(x_0, \gamma)$

a)  $\mathbb{P}\{X \in A\} = \int_A \frac{1}{\pi \gamma \left[1 + \left(\frac{x-x_0}{\gamma}\right)^2\right]}$

b)  $\varphi_X(t) = e^{x_0 it - \gamma |t|}$

---

<sup>1</sup> $F_X(t) = 1 - e^{-\lambda t}$

$$c) \mathbb{E}[X] = x_0$$

12. Lognormal<sup>2</sup>

$$a) \mathbb{P}\{X \in A\} = \int_A \mathbf{1}_{\mathbb{R}_{++}} \frac{1}{x\sigma\sqrt{2\pi}} e^{-\frac{(\ln x - \mu)^2}{2\sigma^2}} dx$$

$$b) \mathbb{E}[X] = e^{\mu + \frac{\sigma^2}{2}}$$

$$c) \text{Var}[X] = (e^{\sigma^2} - 1)(e^{2\mu + \sigma^2}).$$

Note que algunas distribuciones, como la Cauchy, Weibull o Lognormal, no tienen definidas una función generadora de momento o su varianza. Por otro lado, recordemos los siguiente. Cuando tenemos

$$\mathbb{P}\{X \in A\} = \int_A f_X(x) dx,$$

entonces decimos que  $f_X(x)$  es la densidad de  $X$ . Además, para una v.a. continua, podemos definir

$$F(x) = \mathbb{P}\{X \leq x\} = \int_{-\infty}^x f_X(x) dx,$$

que resulta la función de distribución o densidad acumulada de  $X$ . En el caso discreto,

$$F_X(x) = \sum_{t \leq x} p_X(t), \quad p_X(t) = \mathbb{P}\{X = t\}.$$

Notar que, en ambas situaciones  $f_X(x) \geq 0$  ( $p_X(t) \geq 0$ ) y

$$\begin{aligned} \sum_{x \in \mathbb{R}} f(x) &= 1 \\ \sum_{t \in I \subset \mathbb{R}} p_X(t) &= 1, \quad I \text{ enumerable infinito o finito.} \end{aligned}$$

A  $I$  se le conoce como el soporte de  $X$ .

---

<sup>2</sup>Si  $X \sim Ln(\mu, \sigma^2)$ , entonces  $Y = \ln X \sim N(\mu, \sigma^2)$

# Bibliografía

- Angrist, J. (1990a). Lifetime earnings and the vietnam era draft lottery: Evidence from social security administrative records. *The American Economic Review*, 80(3):313–336.
- Angrist, J. and Krueger, A. (1991a). Does compulsory school attendance affect schooling and earnings? *Quarterly Journal of Economics*, 106(4):979–1014.
- Angrist, J. and Pischke, J.-S. (2009). *Mostly Harmless Econometrics: An Empiricist's Companion*. Princeton University Press, 1 edition.
- Angrist, J. D. (1990b). Lifetime earnings and the vietnam era draft lottery: Evidence from social security administrative records. *American Economic Review*, 80(3):313–336.
- Angrist, J. D. and Krueger, A. B. (1991b). Does compulsory school attendance affect schooling and earnings? *Quarterly Journal of Economics*, 106(4):979–1014.
- Axler, S. (2015). *Linear Algebra Done Right*. Springer, 3 edition.
- Bai, J. and Perron, P. (1998). Estimating and testing linear models with multiple structural changes. *Econometrica*, 66(1):47–78.
- Barro, R. and Martin, X. S. I. (2003). *Economic Growth*. MIT Press, 1 edition.
- Belsley, D. A., Kuh, E., and Welsch, R. E. (1980). *Regression Diagnostics: Identifying Influential Data and Sources of Collinearity*. Wiley, New York.
- Borjas, G. (2000). *Labor Economics*. McGraw-Hill, 2 edition.

- Box, G. E. and Pierce, D. A. (1970). Distribution of residual autocorrelations in autoregressive-integrated moving average time series models. *Journal of the American Statistical Association*, 65(332):1509–1526.
- Boyd, S. and Vandenberghe, L. (2004). *Convex Optimization*. Cambridge University Press, 1 edition.
- Breusch, T. S. and Pagan, A. R. (1979). A simple test for heteroscedasticity and random coefficient variation. *Econometrica*, 47(5):1287–1294.
- Brockwell, P. J. and Davis, R. A. (1991). *Time Series: Theory and Methods*. Springer.
- Card, D. (1993). Using geographic variation in college proximity to estimate the return to schooling. Working Paper 4483, National Bureau of Economic Research.
- Card, D. (1995). Using geographic variation in college proximity to estimate the return to schooling. *National Bureau of Economic Research Working Paper*, (4483).
- Casella, G. and Berger, R. (2002). *Statistical Inference*. Thomson Learning, 2 edition.
- Chavez, J. and Gallardo, M. (2025). *Álgebra Lineal y Optimización para el Análisis Económico*. Pre-published: Fondo Editorial PUCP, 1 edition.
- Chow, G. (1960). Tests of equality between sets of coefficients in two linear regressions. *Econometrica*, 28(3):591–605.
- Chávez, J. (2022). *Sistemas dinámicos para el análisis económico*. Pontificia Universidad Católica del Perú, Departamento Académico de Ciencias.
- Cohen, J. (1988). *Statistical Power Analysis for the Behavioral Sciences*. Lawrence Erlbaum Associates, 2 edition.
- Conley, T. G., Hansen, C. B., and Rossi, P. E. (2012). Plausibly exogenous. *The Review of Economics and Statistics*, 94(1):260–272.
- de la Fuente, A. (2000). *Mathematical Methods and Models for Economists*. Cambridge University Press.

- Dickey, D. A. and Fuller, W. A. (1979). Distribution of the estimators for autoregressive time series with a unit root. *Journal of the American Statistical Association*, 74(366):427–431.
- Douglas Staiger, J. H. S. (1997). Instrumental variables regression with weak instruments. *Econometrica*, 65(3):557–586.
- Durbin, J. (1960). The fitting of time-series models. *Revue de l'Institut International de Statistique / Review of the International Statistical Institute*, 28(3):233–244.
- Durbin, J. and Watson, G. (1950). Testing for serial correlation in least squares regression: I. *Biometrika*, 37(3):409–428.
- Elaydi, S. (2005). *An Introduction to Difference Equations*. Undergraduate Texts in Mathematics. Springer, 3rd edition.
- Elliott, G., Rothenberg, T. J., and Stock, J. H. (1996). Efficient tests for an autoregressive unit root. *Econometrica*, 64(4):813–836.
- Engle, R. F. and Granger, C. W. J. (1987). Co-integration and error correction: Representation, estimation, and testing. *Econometrica*, 55(2):251–276.
- Folland, G. (1984). *Real Analysis: Modern Techniques and Their Applications*. Wiley, 1 edition.
- Frankel, J. A. and Romer, D. (1999). Does trade cause growth? *American Economic Review*, 89(3):379–399.
- Gall, J.-F. L. (2022). *Measure Theory, Probability, and Stochastic Processes*. Springer Verlag, 1 edition.
- Gareth James, Trevor Hastie, D. W. R. T. (2013). *An Introduction to Statistical Learning: With Applications in R*. Springer Verlag, 1 edition.
- Girfone, J. (2018). *Algebre Linéaire*. Cepadues, 6 edition.
- Godfrey, L. (1978). Testing against general autoregressive and moving average error models when the regressors include lagged dependent variables. *Econometrica*, 46(6):1293–1301.

- Greene, W. (2015). *Econometric Analysis*. Prentice Hall, 5 edition.
- Greene, W. H. (2018). *Econometric Analysis*. Pearson Education.
- Gujarati, D. and Porter, D. (2010). *Econometría*. McGraw Hill, 5 edition.
- Gupta, A. and Seo, M. H. (2019). Robust inference on infinite and growing dimensional time series regression. *arXiv preprint*, arXiv:1911.08637.
- Hamilton, J. D. (1994). *Time Series Analysis*. Princeton University Press.
- Hansen, L. P. (1982a). Large sample properties of generalized method of moments estimators. *Econometrica*, 50(4):1029–1054.
- Hansen, L. P. (1982b). Large sample properties of generalized method of moments estimators. *Econometrica*, 50(4):1029–1054.
- Hausman, J. A. (1978). Specification tests in econometrics. *Econometrica*, 46(6):1251–1271.
- Jarque, C. M. and Bera, A. K. (1980). Efficient tests for normality, homoscedasticity and serial independence of regression residuals. *Economics Letters*, 6(3):255–259.
- John Bound, David A. Jaeger, R. M. B. (1995). Problems with instrumental variables estimation when the correlation between the instruments and the endogenous explanatory variable is weak. *Journal of the American Statistical Association*, 90(430):443–450.
- John Chao, N. S. (2005). Consistent estimation with a large number of weak instruments. *Econometrica*, 73(5):1673–1692.
- John G. Cragg, S. G. D. (1993). Testing identifiability and specification in instrumental variable models. *Econometric Theory*, 9(2):222–240.
- Kalai, A., Kanade, V., and Mansour, Y. (2023). Approximation in learning, games, and auctions. *arXiv preprint arXiv:2307.07970*.
- Kalman, R. E. (1960). A new approach to linear filtering and prediction problems. *Transactions of the ASME—Journal of Basic Engineering*, 82(Series D):35–45.

- Karatzas, I. and Shreve, S. E. (1991). *Brownian Motion and Stochastic Calculus*, volume 113 of *Graduate Texts in Mathematics*. Springer, New York, NY, 2nd edition.
- Laub, A. J. (2005). *Matrix Analysis for Scientists and Engineers*. SIAM.
- Levinson, N. (1946). The wiener (root mean square) error criterion in filter design and prediction. *Journal of Mathematics and Physics*, 25(1-2):261–278.
- Ljung, G. M. and Box, G. E. P. (1978). On a measure of lack of fit in time series models. *Biometrika*, 65(2):297–303.
- Lucas, R. E. (1988). On the mechanics of economic development. *Journal of Monetary Economics*, 22(1):3–42.
- Manski, C. (1988). *Analog Estimation Methods in Economics*. Chapman and Hall, 1 edition.
- Marquardt, D. W. (1970). Generalized inverses, ridge regression, biased linear estimation, and nonlinear estimation. *Technometrics*, 12(3):591–612.
- Mas-Colell, A., Whinston, M., and Green, J. (1995). *Microeconomic Theory*. Oxford University Press, 1 edition.
- Mikusheva, A. (2007). Uniform inference in autoregressive models. *Econometrica*, 75(5):1411–1452.
- Nevo, A. and Rosen, A. M. (2021). Identification with imperfect instruments. *The Review of Economics and Statistics*, 103(3):442–457.
- Nielsen, B. and Whitby, A. (2012). A joint chow test for structural instability. *Nuffield College, University of Oxford*.
- O'Brien, R. M. (2007). A caution regarding rules of thumb for variance inflation factors. *Quality & Quantity*, 41(5):673–690.
- Perron, P. (1989). The great crash, the oil price shock, and the unit root hypothesis. *Econometrica*, 57(6):1361–1401.
- Phillips, P. C. B. and Perron, P. (1988). Testing for a unit root in time series regression. *Biometrika*, 75(2):335–346.

- Polachek, S. (2007). Earning over the lifecycle the mincer earning function and its applications. *IZA*, (3181).
- Quarteroni, A., Sacco, R., and Saleri, F. (2000). *Numerical Mathematics*. Springer, Berlin.
- Rau, T. (2016). *Teoría Econométrica I*. Notas de clase, 1 edition.
- Roman, S. (2008). *Advanced Linear Algebra*. Springer Verlag.
- Romer, P. M. (1990). Endogenous technological change. *Journal of Political Economy*, 98(5):S71–S102.
- Rothenberg, T. J. (1984). Approximating the distributions of econometric estimators and test statistics. *Handbook of Econometrics*, 2:881–935.
- Sargan, J. D. (1958). The estimation of economic relationships using instrumental variables. *Econometrica*, 26(3):393–415.
- Self, S. and Liang, K.-Y. (1987). Asymptotic properties of maximum likelihood estimators and likelihood ratio tests under nonstandard conditions. *Journal of the American Statistical Association*, 82(398).
- Simon, C. and Blume, L. (1994). *Mathematics for Economists*. W.W Norton and Company, 1 edition.
- Sims, C. A. (1980). Macroeconomics and reality. *Econometrica*, 48(1):1–48.
- Stock, J. H. and Yogo, M. (2005). Testing for weak instruments in linear iv regression. *Cambridge University Press*.
- Suli, E. and Mayers, D. F. (2003). *An Introduction to Numerical Analysis*. Cambridge University Press, Cambridge.
- Sun, Y. and Wang, X. (2019). An asymptotically f-distributed chow test in the presence of heteroscedasticity and autocorrelation. *arXiv preprint*, arXiv:1911.03771.
- Sundaram, R. (1996). *A First Course in Optimization Theory*. Cambridge University Press, 1 edition.

- Theil, H. (1953). Estimation and simultaneous correlation in complete equation systems. Mimeograph, Central Planning Office, The Hague.
- Valdivieso, L. (2020). *Notas de Técnicas de Muestreo*. Fondo Editorial PUCP, 1 edition.
- Weiss, L. (1971). Asymptotic properties of maximum likelihood estimators in some nonstandard cases. *Journal of the American Statistical Association*, 66(334):345–350.
- White, H. (1980). A heteroskedasticity-consistent covariance matrix estimator and a direct test for heteroskedasticity. *Econometrica*, 48.
- Wooldridge, J. (2001). *Econometric Analysis of Cross Section and Panel Data*. MIT University Press, 1 edition.